


## ASSE VIARIO MARCHE – UMBRIA E QUADRILATERO DI PENETRAZIONE INTERNA MAXI LOTTO 2

LAVORI DI COMPLETAMENTO DELLA DIRETTRICE PERUGIA ANCONA:  
SS. 318 DI “VALFABBRICA”. TRATTO PIANELLO – VALFABBRICA  
SS. 76 “VAL D’ESINO”. TRATTI FOSSATO VICO – CANCELLI E ALBACINA – SERRA SAN QUIRICO  
“PEDEMONTANA DELLE MARCHE”, TRATTO FABRIANO – MUCCIA – SFERCIA

### PROGETTO ESECUTIVO

<p><b>CONTRAENTE GENERALE:</b></p> 	<p><i>Il responsabile del Contraente Generale:</i></p> <p style="text-align: center;">Ing. Federico Montanari</p>	<p><i>Il responsabile Integrazioni delle Prestazioni Specialistiche:</i></p> <p style="text-align: center;">Ing. Salvatore Lieto</p>
--	---	--

*PROGETTAZIONE: Associazione Temporanea di Imprese*

*Mandatataria:*

PROGETTAZIONE  
GRANDI  
INFRASTRUTTURE  
**PROGIN** s.p.a.

**LOMBARDI SA**  
INGEGNERI CONSULENTI

**LOMBARDI-REICO**  
INGEGNERIA S.r.l.

**SGAI s.r.l.**  
di E. Forlani & C.  
Studio di Ingegneria e Geologia Applicata  
Via Marconi, 20 - 41013 Soriano di Romagna (RN) - ITALY  
P.IVA 0204040420 - telefono 0543/301902277 - e-mail sgai@sgai.com  
www.sgai.com

*RESPONSABILE DELLA  
PROGETTAZIONE PER L'ATI*

*Ing. Antonio Grimaldi*  
  
*GEOLOGO*  
*Dott. Geol. Fabrizio Pontoni*

*COORDINATORE DELLA  
SICUREZZA IN FASE DI  
PROGETTAZIONE*  
*Ing. Michele Curiale*



*IL RESPONSABILE DEL  
PROCEDIMENTO*

*Ing. Giulio Petrizzelli*

### 2.1.2 PEDEMONTANA DELLE MARCHE

**Secondo stralcio funzionale: Matelica Nord – Matelica Sud/Castelraimondo Nord**

#### OPERE D'ARTE MINORI: Opere di sostegno e dreni

Muri di controripa in sinistra da 5+494.52 a 5+590.45  
Relazione tecnica e di calcolo

SCALA:

DATA:

Maggio 2017

Codice Unico di Progetto (CUP) F12C03000050021 (Assegnato CIPE 23-12-2015)

Codice Elaborato:	Opera	Tratto	Settore	CEE	WBS	Id. doc.	N. prog.	Rev
	L 0 7 0 3	2 1 2	E	1 7	O S 1 1 0 0	R E L	0 1	A

REV.	DATA	DESCRIZIONE	Redatto		Controllato	Approvato
A	Maggio 2017	Emissione per Validazione RINA	PROGIN	PROGIN	S. LIETO	A.GRIMALDI

## I N D I C E

<b>1. GENERALITA'</b> .....	<b>3</b>
1.1 DESCRIZIONE DELLE OPERE .....	3
<b>2. UNITA' DI MISURA</b> .....	<b>4</b>
<b>3. NORMATIVA DI RIFERIMENTO</b> .....	<b>4</b>
<b>4. CARATTERISTICHE DEI MATERIALI IMPIEGATI</b> .....	<b>5</b>
4.1 CALCESTRUZZO PARAMENTO MURI C25/30.....	5
4.2 CALCESTRUZZO C32/40 .....	5
4.3 ACCIAIO DI ARMATURA B450C .....	6
<b>5. CARATTERIZZAZIONE GEOTECNICA</b> .....	<b>7</b>
5.1 CAPACITA' PORTANTE DEI PALI.....	7
<b>6. CARATTERIZZAZIONE SISMICA</b> .....	<b>9</b>
<b>7. VERIFICHE STRUTTURALI – CRITERI GENERALI</b> .....	<b>11</b>
7.1 VERIFICA SLE .....	11
7.2 VERIFICHE ALLO SLU .....	13
<b>8. CRITERI DI ANALISI E VERIFICA DEI MURI DI SOSTEGNO</b> .....	<b>17</b>
8.1 STATI LIMITE E COMBINAZIONI DI CALCOLO AI SENSI DM 14.01.08 .....	17
<b>9. ANALISI DEI CARICHI</b> .....	<b>18</b>
9.1 CARICHI FISSI.....	18
9.2 SPINTE DEL TERRENO.....	18
9.3 SOVRACCARICHI ACCIDENTALI.....	20
9.4 AZIONE SISMICA .....	22
<b>10. COMBINAZIONI DI CALCOLO</b> .....	<b>25</b>
<b>11. RISULTATI ANALISI E VERIFICHE</b> .....	<b>27</b>
11.1 RISULTATI ANALISI E VERIFICHE MURI DI TIPO 1 .....	27
11.1.1 Modelli di calcolo.....	27
11.1.2 Risultati analisi di stabilità locale.....	28
11.1.3 Risultati analisi di stabilità globale .....	31
11.1.4 Armature di progetto .....	31
11.1.5 Verifiche strutturali (SLU - SLE) .....	32
11.1.6 Verifiche a taglio .....	36
11.1.7 Verifica strutturale del dente di fondazione.....	37
11.2 RISULTATI ANALISI E VERIFICHE MURI DI TIPO 2 .....	39
11.3 RISULTATI ANALISI E VERIFICHE MURI DI TIPO 3.....	49
<b>ALLEGATO 1</b> .....	<b>59</b>
<b>TABULATI DI CALCOLO MURO TIPO 1</b> .....	<b>59</b>
<b>ALLEGATO 1</b> .....	<b>107</b>
<b>TABULATI DI CALCOLO MURO TIPO 2</b> .....	<b>107</b>
<b>ALLEGATO 2</b> .....	<b>151</b>
<b>TABULATI DI CALCOLO MURO TIPO 3</b> .....	<b>151</b>

## 2.1.2 PEDEMONTANA DELLE MARCHE

Secondo stralcio funzionale: Matelica Nord – Matelica Sud/Castelraimondo Nord

Opere d'arte minori: Opere di sostegno e dreni

Muri di controripa in dx in c.a. da 4+680.00 a 4+844.40

Relazione tecnica e di calcolo

Opera L073	Tratto 212	Settore E	CEE 17	WBS OS1100	Id.doc. REL	N. prog. 01	Rev. A	Pag. di Pag. 3 di 195
---------------	---------------	--------------	-----------	---------------	----------------	----------------	-----------	--------------------------

## 1. GENERALITA'

Nell'ambito dei lavori di completamento della direttrice Perugia – Ancona “Pedemontana delle Marche”: Sub Lotto 2.2 Tratto Fabriano – Muccia Sfercia, è prevista la realizzazione di muri in sinistra situati tra Pk 5+494.52 e Pk 5+590.45. Nella presente relazione viene riportato il dimensionamento, le analisi e le verifiche strutturali e geotecniche delle opere.

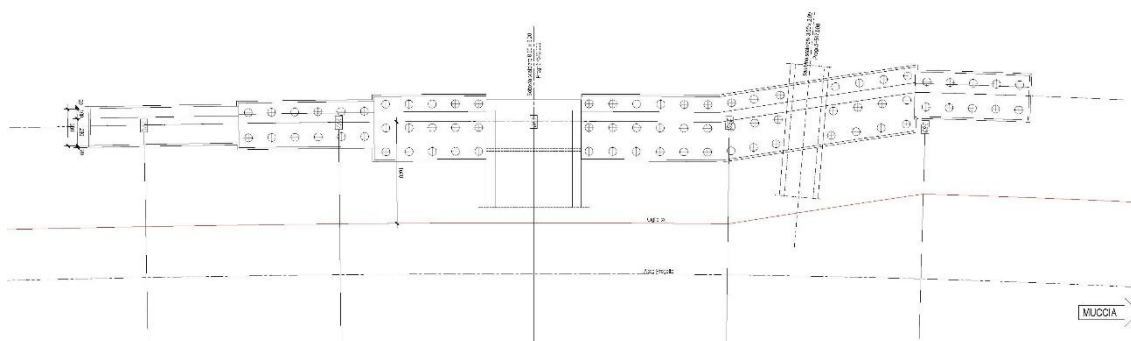
### 1.1 DESCRIZIONE DELLE OPERE

Nella seguente tabella vengono riassunte le caratteristiche geometriche dei muri in oggetto:

Lato	Pk. IN (Km)	Pk. FIN (Km)	Descrizione	Denominazione
SX	5+494	5+590	Muro di controripa su fondazione diretta	<b>Tipo 1</b>
			Muro di controripa con 2 pali allineati	<b>Tipo 2A</b>
			Muro di controripa con 2 pali allineati	<b>Tipo 2B</b>
			Muro di controripa su 3 file di pali allineati	<b>Tipo 3A</b>
			Muro di controripa su 3 file di pali allineati	<b>Tipo 3B</b>

Denominazione	Hmax	Lfond	Sfond.	n° Pali	Lpali
	[m]	[m]	[m]	[Allineati]	[m]
<b>Tipo 1</b>	3.0	3.6	1.3	-	-
<b>Tipo 2A</b>	4.0	4.6	0.8	2	14
<b>Tipo 2B</b>	4.5	4.6	1.0	2	14
<b>Tipo 3A</b>	5.0	6.5	1.0	3	16
<b>Tipo 3B</b>	6.5	6.5	1.3	3	16

Di seguito si riporta a titolo indicativo la pianta dei muri in esame:



**Figura 1: Pianta Muri**

Per ulteriori dettagli si rimanda agli elaborati grafici di riferimento.

## 2.1.2 PEDEMONTANA DELLE MARCHE

Secondo stralcio funzionale: Matelica Nord – Matelica Sud/Castelraimondo Nord

Opere d'arte minori: Opere di sostegno e dreni

Muri di controripa in dx in c.a. da 4+680.00 a 4+844.40

Relazione tecnica e di calcolo

Opera L073	Tratto 212	Settore E	CEE 17	WBS OS1100	Id.doc. REL	N. prog. 01	Rev. A	Pag. di Pag. 4 di 195
---------------	---------------	--------------	-----------	---------------	----------------	----------------	-----------	--------------------------

## 2. UNITA' DI MISURA

Nel seguito si adotteranno le seguenti unità di misura:

per le lunghezze	⇒ m, mm
per i carichi	⇒ kN, kN/m <sup>2</sup> , kN/m <sup>3</sup>
per le azioni di calcolo	⇒ kN, kNm
per le tensioni	⇒ MPa, kPa

## 3. NORMATIVA DI RIFERIMENTO

Nella redazione del progetto esecutivo si è fatto riferimento ai seguenti documenti normativi.

- D.M. 14/01/2008.  
*Norme tecniche per le costruzioni (NTC).*
- Circolare del 02/02/2009.  
*Istruzioni per l'applicazione delle "Norme tecniche per le costruzioni" di cui al D.M. del 14/01/2008.*
- UNI EN1993 -1-1.  
*EUROCODICE 2, parte 1.1. Progettazione delle strutture in calcestruzzo. Regole generali e regole per gli edifici.*
- UNI EN1993 -1-1.  
*EUROCODICE 3, parte 1.1. Progettazione delle strutture in acciaio. Regole generali e regole per gli edifici.*
- UNI EN1993 -1-2.  
*EUROCODICE 3, Parte 2. Progettazione delle strutture in acciaio. Ponti di acciaio.*
- UNI EN 1998-1.  
*EUROCODICE 8, parte 1. Progettazione delle strutture per la resistenza sismica. Regole generali, azioni sismiche e regole per gli edifici*
- UNI EN 1998-2.  
*EUROCODICE 8, parte 2. Ponti.*

## 4. CARATTERISTICHE DEI MATERIALI IMPIEGATI

Per la realizzazione delle strutture sono stati previsti i materiali di seguito descritti. Per i controlli si fa riferimento a quanto previsto dal DM 14/01/2008

**Tabella – Calcestruzzi: classi di resistenza, classi di esposizione e specifiche**

Elemento	Classe	Classe di Esposizione	a/c	Tipi di cementi	Quantitativo di cemento [kg/m <sup>3</sup> ]	Classi di consistenza
Calcestruzzo per magrone di fondazione	C12/15	-	-	CEM III-IV	-	-
Calcestruzzo per strutture in Elevazione	C25/30	XC2	0.5	CEM III-IV	300	S4
Calcestruzzo armato fondazione	C32/40	XA2	0.5	CEM III-IV	360	S4

Per le barre d'armatura del calcestruzzo si utilizza acciaio ad aderenza migliorata B450C.

### 4.1 CALCESTRUZZO PARAMENTO MURI C25/30

- $R_{ck} = 30$  MPa resistenza caratteristica cubica a 28 giorni
- $f_{ck} = 24.9$  MPa resistenza caratteristica cilindrica a 28 giorni
- $f_{cm} = f_{ck} + 8 = 32.9$  MPa resistenza cilindrica valore medio
- $f_{ctm} = 0.30 \cdot f_{ck}^{2/3} = 2.56$  MPa resistenza media a trazione semplice (assiale)
- $f_{ctk} = 0.7 \cdot f_{ctm} = 1.79$  MPa resistenza caratteristica a trazione
- $E_{cm} = 22000 [f_{cm}/10]^{0.3} = 31447$  MPa modulo elastico
- $\gamma = 25.0$  kN/m<sup>3</sup> peso per unità di volume

#### Resistenze di progetto allo SLU

- $f_{cd} = 0.85 \cdot f_{ck} / \gamma_c = 14.1$  MPa;  $\gamma_c = 1.50$  resistenza di progetto a compressione
- $f_{ctd} = f_{ctk} / \gamma_c = 1.19$  MPa resistenza di progetto a trazione

#### Resistenze di progetto allo SLE

- $\sigma_{c,r} = 0.60 \cdot f_{ck} = 14.9$  MPa tensione limite in comb. caratteristica (rara)
- $\sigma_{c,f} = 0.45 \cdot f_{ck} = 11.2$  MPa tensione limite in comb. quasi permanente
- $ot = f_{ctm} / 1.2 = 2.13$  MPa tensione limite di fessurazione (trazione)

### 4.2 CALCESTRUZZO C32/40

- $R_{ck} = 40$  MPa resistenza caratteristica cubica a 28 giorni
- $f_{ck} = 32$  MPa resistenza caratteristica cilindrica a 28 giorni
- $f_{cm} = f_{ck} + 8 = 40$  MPa resistenza cilindrica valore medio
- $f_{ctm} = 0.30 \cdot f_{ck}^{2/3} = 3.02$  MPa resistenza media a trazione semplice (assiale)
- $f_{ctk} = 0.7 \cdot f_{ctm} = 2.12$  MPa resistenza caratteristica a trazione
- $E_{cm} = 22000 [f_{cm}/10]^{0.3} = 33346$  MPa modulo elastico
- $\gamma = 25.0$  kN/m<sup>3</sup> peso per unità di volume

#### Resistenze di progetto allo SLU

- $f_{cd} = 0.85 \cdot f_{ck} / \gamma_c = 18.1$  MPa;  $\gamma_c = 1.50$  resistenza di progetto a compressione
- $f_{ctd} = f_{ctk} / \gamma_c = 1.41$  MPa resistenza di progetto a trazione

## 2.1.2 PEDEMONTANA DELLE MARCHE

Secondo stralcio funzionale: Matelica Nord – Matelica Sud/Castelraimondo Nord

Opere d'arte minori: Opere di sostegno e dreni

Muri di controripa in dx in c.a. da 4+680.00 a 4+844.40

Relazione tecnica e di calcolo

Opera L073	Tratto 212	Settore E	CEE 17	WBS OS1100	Id.doc. REL	N. prog. 01	Rev. A	Pag. di Pag. 6 di 195
---------------	---------------	--------------	-----------	---------------	----------------	----------------	-----------	--------------------------

### Resistenze di progetto allo SLE

- $\sigma_{c,r} = 0.60 \cdot f_{ck} = 19.2$  MPa      tensione limite in comb. caratteristica (rara)
- $\sigma_{c,f} = 0.45 \cdot f_{ck} = 14.4$  MPa      tensione limite in comb. quasi permanente
- $\sigma_t = f_{ctm}/1.2 = 2.52$  MPa      tensione limite di fessurazione (trazione)

## 4.3 ACCIAIO DI ARMATURA B450C

- $f_{yk} = 450$  MPa      resistenza caratteristica di snervamento
- $f_{tk} = 540$  MPa      resistenza caratteristica a rottura
- $E_s = 210000$  MPa      modulo elastico

### Resistenza di progetto allo SLU

- $f_{yd} = f_{yk}/\gamma_s = 391$  MPa;  $\gamma_s = 1.15$       resistenza di progetto a compressione

### Resistenza di progetto allo SLE

- $\sigma_{s,r} = 0.80 \cdot f_{yk} = 360$  MPa      tensione limite in comb. rara

## 5. CARATTERIZZAZIONE GEOTECNICA

Nel presente paragrafo si riporta la caratterizzazione geotecnica specifica per l'opera in esame. Per dettagli si rimanda alla *Relazione Geotecnica Generale*.

La stratigrafia di progetto è indicata nelle tabelle seguenti.

**Tabella 1 – Stratigrafia di riferimento**

Unità geotecnica	Profondità [m] da p.c.	
Ala	0.0 - 12.0	Depositi alluvionali limoso argillosi
Salt	12.0 - 15.0	Substrato alterato limoso argilloso
Ap/Pa	>15.0	Substrato arenaceo pelitico / Substrato pelitico arenaceo

Falda: si assume a quota -3.0 m da piano campagna

I parametri geotecnici considerati per l'opera in esame sono riportati nella seguente tabella.

**Tabella 2 – Parametri geotecnici**

	$\gamma$ [kN/m <sup>3</sup> ]	$\phi'$ [°]	$c'$ [kPa]	$c_u$ [kPa]
Ala	19.0	25	10	130
Salt	20.0	27	20	300
Ap/Pa (**)	23.0	31	120	300

$\gamma$  = peso di volume naturale

$\phi'$  = angolo di resistenza al taglio

$c'$  = coesione drenata

### 5.1 CAPACITA' PORTANTE DEI PALI

Nella seguente tabella si riportano i parametri principali per il calcolo della capacità portante dei pali dell'opera in esame.

I parametri di calcolo della portanza dei pali vengono riportati nella seguente tabella, mentre per la metodologia di calcolo si rimanda alla *Relazione Geotecnica Generale*.

**Tabella 3 – Parametri per il calcolo della capacità portante dei pali**

Approccio	n. di verticali indagate	$\xi_s$	$\gamma_s$	$\gamma_b$	$F_{SL}$	$F_{SB}$	$D_{palo}$ [mm]
2 (A1+M1+R3)	2	1.65	1.15	1.35	1.9	2.2	800

Nella tabella seguente si riportano i valori della portata di progetto ( $Q_d$ ) per l'opera in esame; il significato dei termini riportati è il seguente:

- $L_p$  = Lunghezza utile del palo
- $Q_{ll}$  = Portata laterale limite
- $Q_{bl}$  = Portata di base limite
- $W_p$  = Peso efficace del palo
- $Q_u$  = Portata totale limite
- $Q_d$  = Portata di progetto =  $Q_{ll}/F_{S,l} + Q_{bl}/F_{S,b} - W_p$

## 2.1.2 PEDEMONTANA DELLE MARCHE

Secondo stralcio funzionale: Matelica Nord – Matelica Sud/Castelraimondo Nord

Opere d'arte minori: Opere di sostegno e dreni

Muri di controripa in dx in c.a. da 4+680.00 a 4+844.40

Relazione tecnica e di calcolo

Opera L073	Tratto 212	Settore E	CEE 17	WBS OS1100	Id.doc. REL	N.prog. 01	Rev. A	Pag. di Pag. 8 di 195
---------------	---------------	--------------	-----------	---------------	----------------	---------------	-----------	--------------------------

**Tabella – Capacità portante palo D=800 mm**

Capacità a compressione      Capacità a trazione

L	Q <sub>u,d</sub>	L	Q <sub>u,d</sub>
[m]	[kN]	[m]	[kN]
10	1453	10	739
11	1583	11	851
12	2012	12	643
13	2114	13	732
14	2217	14	822
15	2321	15	912
16	2426	16	1003
17	2531	17	1094
18	2635	18	1185
19	2738	19	1275
20	2854	20	1376
21	2988	21	1492
22	3128	22	1613
23	3274	23	1739
24	3426	24	1871
25	3585	25	2008
26	3749	26	2150
27	3920	27	2297
28	4098	28	2450
29	4281	29	2608
30	4471	30	2771



Opera L073	Tratto 212	Settore E	CEE 17	WBS OS1100	Id.doc. REL	N.prog. 01	Rev. A	Pag. di Pag. 9 di 195
---------------	---------------	--------------	-----------	---------------	----------------	---------------	-----------	--------------------------

## 6. CARATTERIZZAZIONE SISMICA

L'opera è progettata per una vita nominale  $V_N$  pari a 50 anni. Gli si attribuisce inoltre una classe d'uso III ("Ponti e reti ferroviarie la cui interruzione provochi situazioni di emergenza.") ai sensi del D. Min. 14/01/2008, da cui scaturisce un coefficiente d'uso  $C_U = 1.5$ .

L'azione sismica di progetto è valutata a partire dalla pericolosità sismica di base del sito su cui l'opera insiste, descritta in termini geografici e temporali:

- attraverso i valori di accelerazione orizzontale di picco  $a_g$  (attesa in condizioni di campo libero su sito di riferimento rigido con superficie topografica orizzontale) e le espressioni che definiscono le ordinate del relativo spettro di risposta elastico in accelerazione  $S_e(T)$ ;
- in corrispondenza del punto del reticolo che individua la posizione geografica dell'opera;
- con riferimento a prefissate probabilità di eccedenza PVR.

In particolare, la forma spettrale prevista dalla normativa è definita, su sito di riferimento rigido orizzontale, in funzione di tre parametri:

- $a_g$ , accelerazione orizzontale massima del terreno
- $F_0$ , valore massimo del fattore di amplificazione dello spettro in accelerazione orizzontale
- $T_C^*$ , periodo di inizio del tratto a velocità costante dello spettro in accelerazione orizzontale.

I suddetti parametri sono calcolati come media pesata dei valori assunti nei quattro vertici della maglia elementare del reticolo di riferimento che contiene il punto caratterizzante la posizione dell'opera, utilizzando come pesi gli inversi delle distanze tra il punto in questione ed i quattro vertici.

In particolare, si può notare come  $F_0$  descriva la pericolosità sismica locale del sito su cui l'opera insiste. Infatti, da quest'ultimo, attraverso le espressioni fornite dalla normativa, sono valutati i valori d'amplificazione stratigrafica e topografica. Di seguito sono riassunti i valori dei parametri assunti per l'opera in oggetto.

- Vita nominale  $V_N$  = 50 anni;
- Classe d'uso = III;
- Coefficiente d'uso  $C_U$  = 1.5;
- Periodo di riferimento  $V_R$  = 75 anni;
- $T_{R,SLV}$  = 712 anni;
- Comune = Fabriano;
- $a_{g,SLV}$  = **0.206 g**;
- $F_{0,SLV}$  = **2.526**;
- $T_{C,SLV}^*$  = **0.331 sec.**

## 2.1.2 PEDEMONTANA DELLE MARCHE

Secondo stralcio funzionale: Matelica Nord – Matelica Sud/Castelraimondo Nord

Opere d'arte minori: Opere di sostegno e dreni

Muri di controripa in dx in c.a. da 4+680.00 a 4+844.40

Relazione tecnica e di calcolo

Opera L073	Tratto 212	Settore E	CEE 17	WBS OS1100	Id.doc. REL	N. prog. 01	Rev. A	Pag. di Pag. 10 di 195
---------------	---------------	--------------	-----------	---------------	----------------	----------------	-----------	---------------------------

Accelerazione ( $a_g$ ), fattore ( $F_0$ ) e periodo ( $T^*c$ ) per comune di riferimento - Fabriano

$V_R$ [anni]	Stato Limite	$PV_R$ -	$T_R$ [anni]	$a_g$ [g]	$F_0$ [-]	$T_c^*$ [s]
75	SLO	81%	45	0.073	2.450	0.286
	SLD	63%	75	0.090	2.454	0.297
	SLV	10%	712	0.206	2.526	0.331
	SLC	5%	1462	0.262	2.555	0.339

Lo spettro di risposta elastico per la descrizione della componente orizzontale del moto sismico è infine costruito a partire dai parametri seguenti.

- Categoria di suolo = B;
- Categoria topografica = T1;
- $S_s$ , fattore stratigrafico = 1.25;
- $S_{T_r}$ , fattore topografico = 1.0;
- $C_c$ , fattore correttivo del periodo  $TC^*$  = 1.5.

## 7. VERIFICHE STRUTTURALI – CRITERI GENERALI

### 7.1 VERIFICA SLE

La verifica nei confronti degli Stati limite di esercizio, consiste nel controllare, con riferimento alle Combinazioni di Calcolo allo SLE, il tasso di Lavoro nei Materiali e l'ampiezza delle fessure nel calcestruzzo attesa, secondo quanto di seguito specificato:

#### 7.1.1 Verifiche delle tensioni

La verifica delle tensioni in esercizio consiste nel controllare il rispetto dei limiti tensionali previsti per il calcestruzzo e per l'acciaio per ciascuna delle combinazioni di carico caratteristiche "Rara" e "Quasi Permanente"; i valori tensionali nei materiali sono valutati secondo le note teorie di analisi delle sezioni in c.a. in campo elastico e con calcestruzzo "non reagente" adottando come limiti di riferimento, quelli di seguito indicati, in accordo alle prescrizioni della normativa vigente:

Per il caso in esame risulta in particolare:

#### CALCESTRUZZO C32/40

$$\sigma_{\text{cmax QP}} = (0,45 f_{\text{ck}}) = \mathbf{14.94} \text{ MPa} \quad (\text{Combinazione di Carico Quasi Permanente})$$

$$\sigma_{\text{cmax R}} = (0,60 f_{\text{ck}}) = \mathbf{19.92} \text{ MPa} \quad (\text{Combinazione di Carico Caratteristica - Rara})$$

#### CALCESTRUZZO C25/30

$$\sigma_{\text{cmax QP}} = (0,45 f_{\text{ck}}) = \mathbf{11.21} \text{ MPa} \quad (\text{Combinazione di Carico Quasi Permanente})$$

$$\sigma_{\text{cmax R}} = (0,60 f_{\text{ck}}) = \mathbf{14.94} \text{ MPa} \quad (\text{Combinazione di Carico Caratteristica - Rara})$$

#### ACCIAIO

$$\sigma_{\text{fmax}} = (0,80 f_{\text{yk}}) = \mathbf{360} \text{ MPa} \quad (\text{Combinazione di Carico Caratteristica (Rara)})$$

### 7.1.2 Verifiche a fessurazione

La verifica di fessurazione consiste nel controllare l'ampiezza dell'apertura delle fessure sotto combinazione di carico frequente e combinazione quasi permanente. Essendo la struttura a contatto col terreno si considerano condizioni ambientali aggressive; le armature di acciaio ordinario sono ritenute poco sensibili [NTC – Tabella 4.1.IV]

In relazione all'aggressività ambientale e alla sensibilità dell'acciaio, l'apertura limite delle fessure è riportato nel prospetto seguente:

Gruppi di esigenza	Condizioni ambientali	Combinazione di azione	Armatura			
			Sensibile		Poco sensibile	
			Stato limite	wd	Stato limite	wd
a	Ordinarie	frequente	ap. fessure	$\leq w_2$	ap. fessure	$\leq w_3$
		quasi permanente	ap. fessure	$\leq w_1$	ap. fessure	$\leq w_2$
b	Aggressive	frequente	ap. fessure	$\leq w_1$	ap. fessure	$\leq w_2$
		quasi permanente	decompressione	-	ap. fessure	$\leq w_1$
c	Molto Aggressive	frequente	formazione fessure	-	ap. fessure	$\leq w_1$
		quasi permanente	decompressione	-	ap. fessure	$\leq w_1$

Risultando in particolare: :

$$w_1 = 0.2 \text{ mm} \quad w_2 = 0.3 \text{ mm} \quad w_3 = 0.4 \text{ mm}$$

Nel caso in esame si ha:

- Per le strutture di fondazione:

Condizioni Ambientali: aggressive

Armature: Poco Sensibili

- Per le strutture in elevazione:

Condizioni Ambientali: Ordinarie

Armature: Poco Sensibili

Conseguentemente dovrà risultare:

Combinazione Quasi permanente :  $w \leq 0.2 \text{ mm}$

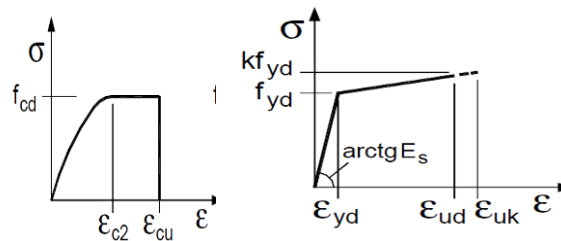
Combinazione Frequente :  $w \leq 0.3 \text{ mm}$

Riguardo infine il valore di calcolo dell'ampiezza delle fessure da confrontare con i valori limite fissati dalla norma, si è utilizzata la procedura del D.M. 9 gennaio 1996, in accordo a quanto previsto al punto " C4.1.2.2.4.6 Verifica allo stato limite di fessurazione" della Circolare n.617/09.

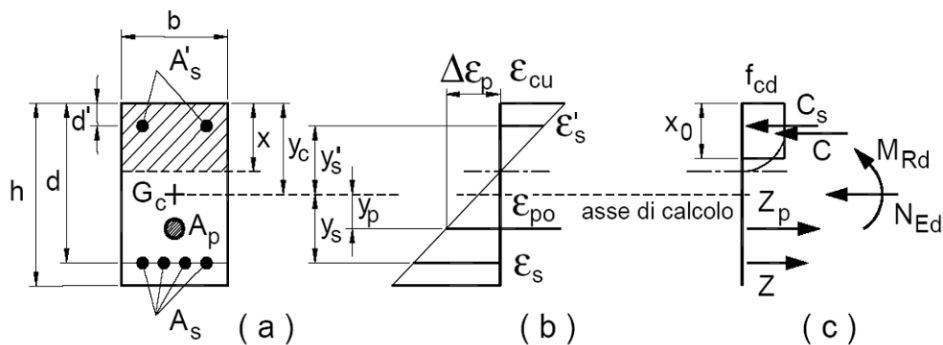
## 7.2 VERIFICHE ALLO SLU

### 7.2.1 Pressoflessione

La determinazione della capacità resistente a flessione/pressoflessione della generica sezione, viene effettuata con i criteri di cui al punto 4.1.2.1.2.4 delle NTC08, secondo quanto riportato schematicamente nelle figure seguito, tenendo conto dei valori delle resistenze e deformazioni di calcolo riportate al paragrafo dedicato alle caratteristiche dei materiali:



Legami costitutivi Calcestruzzo ed Acciaio -



Schema di riferimento per la valutazione della capacità resistente a pressoflessione generica sezione -

La verifica consisterà nel controllare il soddisfacimento della seguente condizione:

$$M_{Rd} = M_{Rd}(N_{Ed}) \geq M_{Ed}$$

dove

$M_{Rd}$  è il valore di calcolo del momento resistente corrispondente a  $N_{Ed}$ ;

$N_{Ed}$  è il valore di calcolo della componente assiale (sforzo normale) dell'azione;

$M_{Ed}$  è il valore di calcolo della componente flettente dell'azione.



**QUADRILATERO**

Marche Umbria S.p.A.

## 2.1.2 PEDEMONTANA DELLE MARCHE

**Secondo stralcio funzionale: Matelica Nord – Matelica Sud/Castelraimondo Nord**

Opere d'arte minori: Opere di sostegno e dreni

Muri di controripa in dx in c.a. da 4+680.00 a 4+844.40

Relazione tecnica e di calcolo

Opera L073	Tratto 212	Settore E	CEE 17	WBS OS1100	Id.doc. REL	N. prog. 01	Rev. A	Pag. di Pag. 14 di 195
---------------	---------------	--------------	-----------	---------------	----------------	----------------	-----------	---------------------------

Opera L073	Tratto 212	Settore E	CEE 17	WBS OS1100	Id.doc. REL	N.prog. 01	Rev. A	Pag. di Pag. 15 di 195
---------------	---------------	--------------	-----------	---------------	----------------	---------------	-----------	---------------------------

### 7.2.2 Taglio

La resistenza a taglio  $V_{Rd}$  della membratura priva di armatura specifica risulta pari a:

$$V_{Rd} = \left\{ 0.18 \cdot k \cdot \frac{(100 \cdot \rho_1 \cdot f_{ck})^{1/3}}{\gamma_c + 0.15 \cdot \sigma_{cp}} \right\} \cdot b_w \cdot d \geq v_{\min} + 0.15 \cdot \sigma_{cp} \cdot b_w d$$

Dove:

- $v_{\min} = 0.035 \cdot k^{3/2} \cdot f_{ck}^{1/2}$ ;
- $k = 1 + (200/d)^{1/2} \leq 2$ ;
- $\rho_1 = A_{sw} / (b_w \cdot d)$
- $d$  = altezza utile per piedritti soletta superiore ed inferiore;
- $b_w = 1000$  mm larghezza utile della sezione ai fini del taglio.

In presenza di armatura, invece, la resistenza a taglio  $V_{Rd}$  è il minimo tra la resistenza a taglio trazione  $V_{Rsd}$  e la resistenza a taglio compressione  $V_{Rcd}$

$$V_{Rsd} = 0.9 \cdot d \cdot \frac{A_{sw}}{s} \cdot f_{yd} \cdot (\operatorname{ctg} \alpha + \operatorname{ctg} \theta) \cdot \sin \alpha$$

$$V_{Rcd} = 0.9 \cdot d \cdot b_w \cdot \alpha_c \cdot f'_{cd} \cdot \frac{(\operatorname{ctg} \alpha + \operatorname{ctg} \theta)}{(1 + \operatorname{ctg}^2 \theta)}$$

Essendo:

$$1 \leq \operatorname{ctg} \theta \leq 2,5$$

Per quanto riguarda in particolare le verifiche a taglio per elementi armati a taglio, si è fatto riferimento al metodo del traliccio ad inclinazione variabile, in accordo a quanto prescritto al punto 4.1.2.1.3 delle NTC08, considerando ai fini delle verifiche, un angolo  $\theta$  di inclinazione delle bielle compresse del traliccio resistente tale da rispettare la condizione.

$$1 \leq \operatorname{ctg} \theta \leq 2,5 \quad 45^\circ \geq \theta \geq 21,8^\circ$$

## 2.1.2 PEDEMONTANA DELLE MARCHE

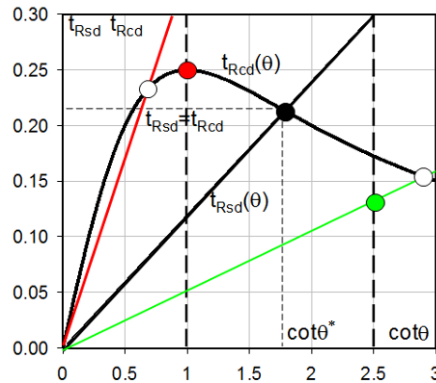
Secondo stralcio funzionale: Matelica Nord – Matelica Sud/Castelraimondo Nord

Opere d'arte minori: Opere di sostegno e dreni

Muri di controripa in dx in c.a. da 4+680.00 a 4+844.40

Relazione tecnica e di calcolo

Opera L073	Tratto 212	Settore E	CEE 17	WBS OS1100	Id.doc. REL	N.prog. 01	Rev. A	Pag. di Pag. 16 di 195
---------------	---------------	--------------	-----------	---------------	----------------	---------------	-----------	---------------------------



L'angolo effettivo di inclinazione delle bielle ( $\theta$ ) assunto nelle verifiche è stato in particolare valutato, nell'ambito di un problema di verifica, tenendo conto di quanto di seguito indicato :

$$\cot \theta^* = \sqrt{\frac{v \cdot \alpha_c}{\omega_{sw}} - 1}$$

(  $\theta^*$  angolo di inclinazione delle bielle cui corrisponde la crisi contemporanea di bielle compresse ed armature)

dove

$$v = f'_{cd} / f_{cd} = 0.5$$

$f'_{cd}$  = resistenza a compressione ridotta del calcestruzzo d'anima

$f_{cd}$  = resistenza a compressione di calcolo del calcestruzzo d'anima

$\alpha_c$	coefficiente maggiorativo pari a	1	per membrature non compresse
		$1 + \sigma_{cp}/f_{cd}$	per $0 \leq \sigma_{cp} < 0.25 f_{cd}$
		1,25	per $0.25 f_{cd} \leq \sigma_{cp} \leq 0.5 f_{cd}$
		$2,5(1 - \sigma_{cp}/f_{cd})$	per $0.5 f_{cd} < \sigma_{cp} < f_{cd}$

$\omega_{sw}$  : Percentuale meccanica di armatura trasversale.

$$\omega_{sw} = \frac{A_{sw} f_{yd}}{b s f_{cd}}$$

- Se la  $\cot \theta^*$  è compresa nell'intervallo (1,0-2,5) è possibile valutare il taglio resistente  $V_{Rd}(=V_{Rcd}=V_{Rsd})$
- Se la  $\cot \theta^*$  è maggiore di 2,5 la crisi è da attribuirsi all'armatura trasversale e il taglio resistente  $V_{Rd}(=V_{Rsd})$  coincide con il massimo taglio sopportato dalle armature trasversali valutabile per una  $\cot \theta = 2,5$ .
- Se la  $\cot \theta^*$  è minore di 1,0 la crisi è da attribuirsi alle bielle compresse e il taglio resistente  $V_{Rd}(=V_{Rcd})$  coincide con il massimo taglio sopportato dalle bielle di calcestruzzo valutabile per una  $\cot \theta = 1,0$ .



## 8. CRITERI DI ANALISI E VERIFICA DEI MURI DI SOSTEGNO

### 8.1 STATI LIMITE E COMBINAZIONI DI CALCOLO AI SENSI DM 14.01.08

Per i muri di sostegno o per altre strutture miste ad essi assimilabili, devono essere effettuate le verifiche con riferimento almeno ai seguenti stati limite:

- *SLU di tipo geotecnico (GEO) e di equilibrio di corpo rigido (EQU)*
  - stabilità globale del complesso opera di sostegno-terreno;
  - scorrimento sul piano di posa;
  - collasso per carico limite dell'insieme fondazione-terreno;
  - ribaltamento;
- *SLU di tipo strutturale (STR)*
  - raggiungimento della resistenza negli elementi strutturali,

La verifica di stabilità globale del complesso opera di sostegno-terreno deve essere effettuata secondo l'Approccio 1 - **Combinazione 2: (A2+M2+R2)**

Le rimanenti verifiche devono essere invece effettuate secondo uno dei seguenti approcci:

Approccio 1:

- Combinazione 1: (A1+M1+R1)
- Combinazione 2: (A2+M2+R2)

Approccio 2:

(A1+M1+R3)

tenendo conto dei coefficienti parziali riportati nelle Tabelle 6.2.I e 6.2.II per le azioni e i parametri geotecnici, e della Tabelle 6.5.I e 6.8.I per ciò che concerne i coefficienti parziali sulle resistenze che di seguito si riportano per maggiore chiarezza.

**Tabella 6.2.I – Coefficienti parziali per le azioni o per l'effetto delle azioni.**

CARICHI	EFFETTO	Coefficiente Parziale $\gamma_F$ (o $\gamma_E$ )	EQU	(A1) STR	(A2) GEO
Permanenti	Favorevole	$\gamma_{G1}$	0,9	1,0	1,0
	Sfavorevole		1,1	1,3	1,0
Permanenti non strutturali <sup>(1)</sup>	Favorevole	$\gamma_{G2}$	0,0	0,0	0,0
	Sfavorevole		1,5	1,5	1,3
Variabili	Favorevole	$\gamma_{Qi}$	0,0	0,0	0,0
	Sfavorevole		1,5	1,5	1,3

(1) Nel caso in cui i carichi permanenti non strutturali (ad es. i carichi permanenti portati) siano compiutamente definiti, si potranno adottare gli stessi coefficienti validi per le azioni permanenti.

## 2.1.2 PEDEMONTANA DELLE MARCHE

Secondo stralcio funzionale: Matelica Nord – Matelica Sud/Castelraimondo Nord

Opere d'arte minori: Opere di sostegno e dreni

Muri di controripa in dx in c.a. da 4+680.00 a 4+844.40

Relazione tecnica e di calcolo

Opera L073	Tratto 212	Settore E	CEE 17	WBS OS1100	Id.doc. REL	N.prog. 01	Rev. A	Pag. di Pag. 18 di 195
---------------	---------------	--------------	-----------	---------------	----------------	---------------	-----------	---------------------------

**Tabella 6.2.II – Coefficienti parziali per i parametri geotecnici del terreno**

PARAMETRO	GRANDEZZA ALLA QUALE APPLICARE IL COEFFICIENTE PARZIALE	COEFFICIENTE PARZIALE	(M1)	(M2)
<i>Tangente dell'angolo di resistenza al taglio</i>	$\tan \phi'_k$	$\gamma_M$ $\gamma_{\phi'}$	1,0	1,25
<i>Coesione efficace</i>	$c'_k$	$\gamma_c$	1,0	1,25
<i>Resistenza non drenata</i>	$c_{uk}$	$\gamma_{cu}$	1,0	1,4
<i>Peso dell'unità di volume</i>	$\gamma$	$\gamma_\gamma$	1,0	1,0

**Tabella 6.5.I - Coefficienti parziali  $\gamma_k$  per le verifiche agli stati limite ultimi STR e GEO di muri di sostegno**

VERIFICA	COEFFICIENTE PARZIALE (R1)	COEFFICIENTE PARZIALE (R2)	COEFFICIENTE PARZIALE (R3)
Capacità portante della fondazione	$\gamma_R = 1,0$	$\gamma_R = 1,0$	$\gamma_R = 1,4$
Scorrimento	$\gamma_R = 1,0$	$\gamma_R = 1,0$	$\gamma_R = 1,1$
Resistenza del terreno a valle	$\gamma_R = 1,0$	$\gamma_R = 1,0$	$\gamma_R = 1,4$

**Tabella 6.8.I – Coefficienti parziali per le verifiche di sicurezza di opere di materiali sciolti e di fronti di scavo.**

Coefficiente	R2
$\gamma_R$	1.1

Nel caso in esame si è fatto riferimento all'approccio di Verifica 1.

Le verifiche in condizioni sismiche vanno infine effettuati con gli stessi criteri di cui sopra, ponendo pari dell'unità i coefficienti parziali sulle Azioni ( $A1=1$  /  $A2=1$ ), in accordo a quanto specificato al punto 7.11.1 del DM 14.01.08

## 9. ANALISI DEI CARICHI

### 9.1 CARICHI FISSI

Per carichi fissi si intendono le azioni associate ai pesi propri del muro e del terrapieno spingente, valutati in automatico dal Software di calcolo utilizzato.

A tal riguardo, al calcestruzzo strutturale costituente il muro è stato assegnato un peso dell'unità di Volume  $\gamma=25$  KN/m<sup>3</sup>, mentre per il terreno si è assunto  $\gamma=20$  KN/m<sup>3</sup>

### 9.2 SPINTE DEL TERRENO

Per la valutazione delle spinte del terreno in fase statica, si è fatto riferimento al metodo di Culmann, che ben si adatta a superfici di pendio a monte dell'opera di forma generica.

## 2.1.2 PEDEMONTANA DELLE MARCHE

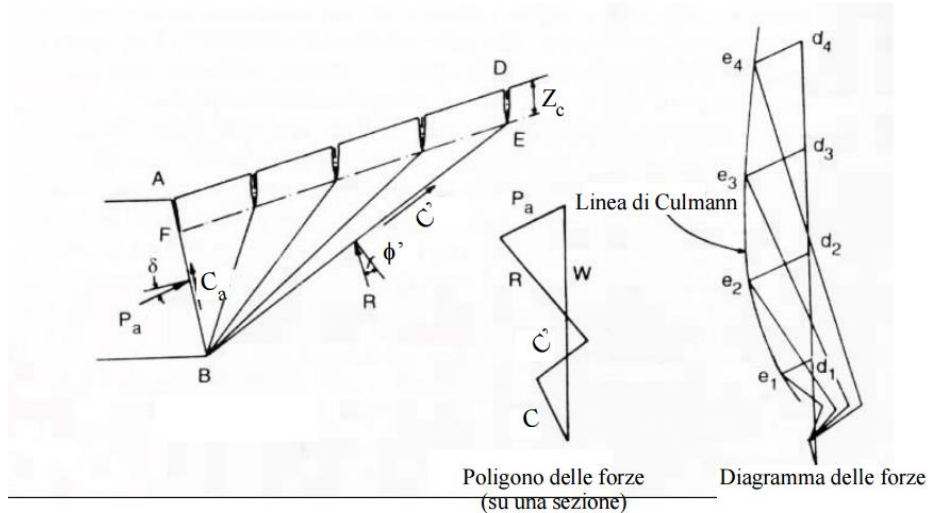
Secondo stralcio funzionale: Matelica Nord – Matelica Sud/Castelraimondo Nord

Opere d'arte minori: Opere di sostegno e dreni

Muri di controripa in dx in c.a. da 4+680.00 a 4+844.40

Relazione tecnica e di calcolo

Opera	Tratto	Settore	CEE	WBS	Id.doc.	N.prog.	Rev.	Pag. di Pag.
L073	212	E	17	OS1100	REL	01	A	19 di 195



Il metodo di Culmann adotta le stesse ipotesi di base del metodo di Coulomb.

La differenza sostanziale è che mentre Coulomb considera un terrapieno con superficie a pendenza costante e carico uniformemente distribuito (il che permette di ottenere una espressione in forma chiusa per il coefficiente di spinta) il metodo di Culmann consente di analizzare situazioni con profilo di forma generica e carichi sia concentrati che distribuiti comunque disposti. Inoltre, rispetto al metodo di Coulomb, risulta più immediato e lineare tener conto della coesione del massa spingente. Il metodo di Culmann, nato come metodo essenzialmente grafico, si è evoluto per essere trattato mediante analisi numerica (noto in questa forma come metodo del cuneo di tentativo).

Come il metodo di Coulomb anche questo metodo considera una superficie di rottura rettilinea.

I passi del procedimento risolutivo sono i seguenti:

- si impone una superficie di rottura (angolo di inclinazione  $\theta$  rispetto all'orizzontale) e si considera il cuneo di spinta delimitato dalla superficie di rottura stessa, dalla parete su cui si calcola la spinta e dal profilo del terreno;
- si valutano tutte le forze agenti sul cuneo di spinta e cioè peso proprio ( $W$ ), carichi sul terrapieno, resistenza per attrito e per coesione lungo la superficie di rottura ( $R$  e  $C'$ ) e resistenza per coesione lungo la parete ( $C_A$ );
- dal poligono di equilibrio si ricava quindi il valore della spinta  $S$  sulla parete ( $P_a$ ).

+

Questo processo viene iterato fino a trovare l'angolo di rottura per cui la spinta risulta massima.

La convergenza non si raggiunge se il terrapieno risulta inclinato di un angolo maggiore dell'angolo d'attrito del terreno.

Nei casi in cui è applicabile il metodo di Coulomb (profilo a monte rettilineo e carico uniformemente distribuito) i risultati ottenuti col metodo di Culmann coincidono con quelli del metodo di Coulomb.

Le pressioni sulla parete di spinta si ricavano quindi derivando l'espressione della spinta

S rispetto all'ordinata **z**. Noto il diagramma delle pressioni è possibile ricavare il punto di applicazione della spinta.

Analogamente, nota la Spinta complessiva **S**, è possibile ricavare eventualmente in maniera indiretta, il valore del coefficiente di spinta  $K_a$  della nota espressione di Coulomb:

$$S = 1/2 \times \gamma \times H^2 \times K_a$$

Si precisa infine che per la valutazione delle spinte al terreno di rilevato sono state assegnati i seguenti parametri fisico-meccanici:

$$\gamma = 20 \text{ KN/m}^3$$

$$c' = 0$$

$$\varphi' = 35$$

$$\delta = 0.5\varphi' \text{ (attrito terra muro)}$$

### 9.3 SOVRACCARICHI ACCIDENTALI

Per la determinazione dei carichi accidentali da applicare sul terrapieno a monte delle opere di sostegno sulla zona destinata al traffico veicolare, si è fatto riferimento agli schemi di carico stabilità al punto 5.1.3.3.3 del DM 14/01/08 di cui nel seguito:

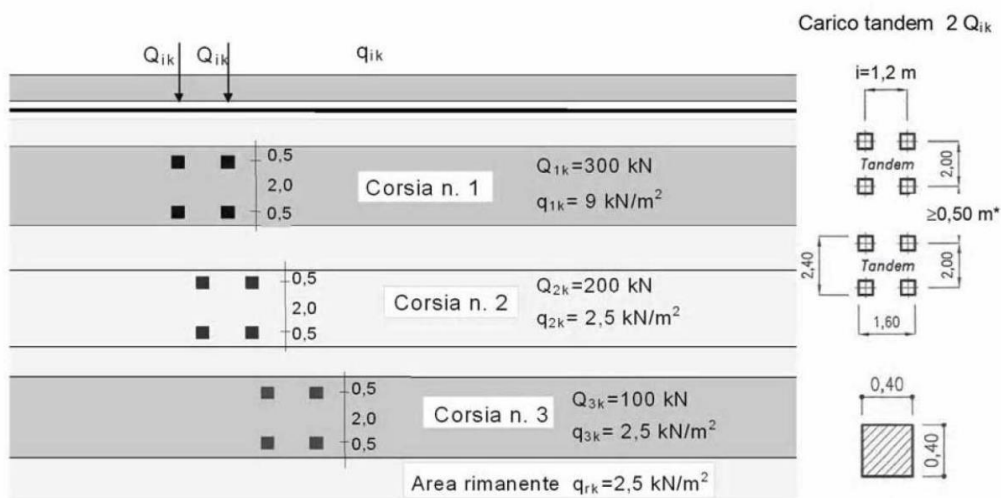


Figura 2 – Schema di carico 1

Lo schema di carico di Normativa, è in particolare costituito dalle seguenti colonne di carico:

- una colonna di carichi (ingombro = 3 m) costituita da un automezzo convenzionale  $Q_{1k}$  di 600 kN dotato di 2 assi di 2 ruote ciascuno, distanti 1.20 m in senso longitudinale e con interasse ruote in senso trasversale di 2.00 m; un carico ripartito  $q_{1k}$  di 9 kN/m<sup>2</sup> uniformemente distribuito;
- una seconda colonna di carichi (ingombro = 3 m), analoga alla precedente, ma con carichi pari rispettivamente a 400 kN di  $Q_{1k}$  e 2.5 kN/m<sup>2</sup> di  $q_{1k}$  e posta ad interasse di 3.00 m. da essa;

## 2.1.2 PEDEMONTANA DELLE MARCHE

**Secondo stralcio funzionale: Matelica Nord – Matelica Sud/Castelraimondo Nord**

Opere d'arte minori: Opere di sostegno e dreni

Muri di controripa in dx in c.a. da 4+680.00 a 4+844.40

Relazione tecnica e di calcolo

Opera L073	Tratto 212	Settore E	CEE 17	WBS OS1100	Id.doc. REL	N. prog. 01	Rev. A	Pag. di Pag. 21 di 195
---------------	---------------	--------------	-----------	---------------	----------------	----------------	-----------	---------------------------

- una terza colonna di carichi (ingombro = 3 m), analoga alla precedente, ma con carichi pari rispettivamente a 200 kN di Q1k e 2.5 kN/m<sup>2</sup> di q1k e posta ad interasse di 3.00 m. da essa;
- un carico uniforme qrk = 2.5 kN/m<sup>2</sup> nella zona di carreggiata non impegnata dai carichi precedenti.

Ai fini delle analisi, si è assunto di trasformare i carichi concentrati Qik, in un carico distribuiti equivalente,

tenendo conto tuttavia dell'effetto collaborazione dei muri in direzione longitudinale, in relazione a cui si è ipotizzato che detti carichi vadano ad interessare uno sviluppo complessivo longitudinale di muro di circa 5m, corrispondente, nel caso fondazioni su pali, alla lunghezza di un tratto tipo comprendente la singola fila di pali e le due adiacenti.

In questa ipotesi risulta dunque:

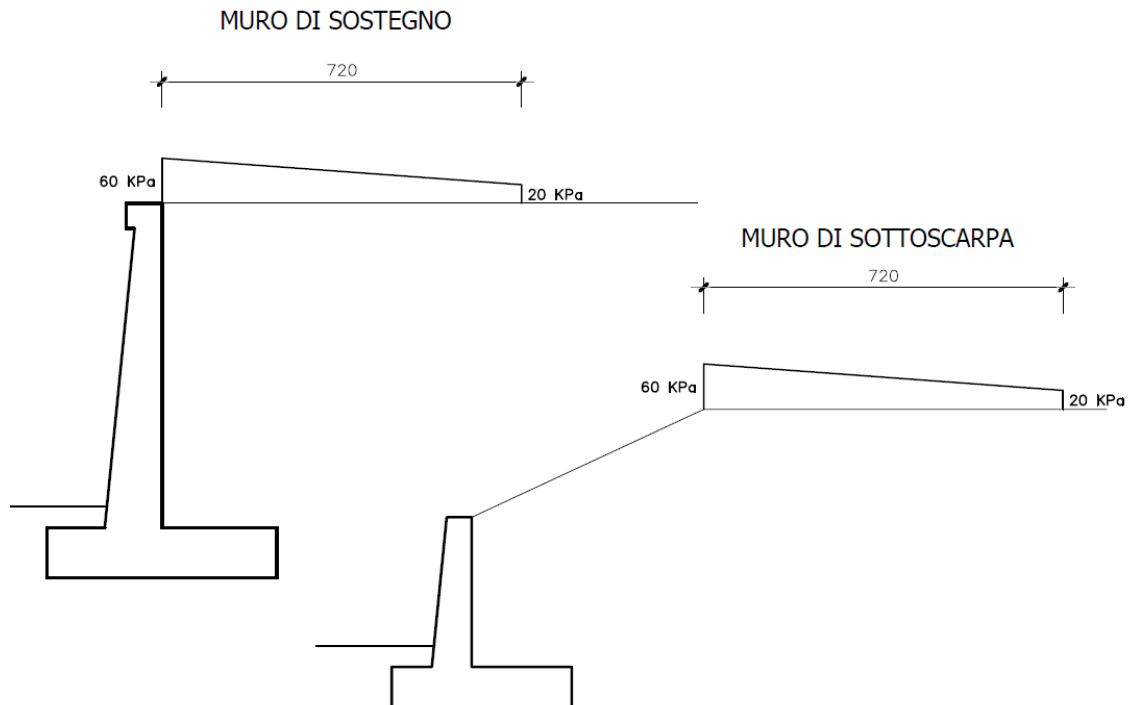
$$Q1k d = 600 / 2.40 \times 5.00 = 50 \text{ KN/m}^2$$

$$Q2k d = 400 / 2.40 \times 5.00 = 33 \text{ KN/m}^2$$

$$Q3k d = 200 / 2.40 \times 5.00 = 17 \text{ KN/m}^2$$

In aggiunta, sul lato corsia 1, va considerato un ulteriore carico distribuito di 9KN/m<sup>2</sup>, mentre sul lato corsia 3, il carico aggiuntivo è pari a 2.5 KN/m<sup>2</sup>.

In definitiva, nell'ipotesi di disporre le tre corsie in affiancamento, è possibile considerare, ai fini delle analisi, il carico uniforme equivalente negli schemi di figura seguente:


Schemi Carico Azioni da traffico Veicolare

## 9.4 AZIONE SISMICA

Per la Valutazione degli effetti dell'azione sismica sulle masse e sui coefficienti di spinta del terreno, si è fatto riferimento al metodo pseudo-statico previsto al punto 7.1.1.3.5.2 - "Metodi di Analisi" - delle NTC secondo il quale, nelle verifiche allo stato limite ultimo, i valori dei coefficienti sismici orizzontale  $k_h$  e verticale  $k_v$  possono essere valutati mediante le seguenti espressioni:

$$k_h = \beta_m \cdot \frac{a_{max}}{g} \quad (7.11.6)$$

$$k_v = \pm 0,5 \cdot k_h \quad (7.11.7)$$

dove

$a_{max}$  = accelerazione orizzontale massima attesa al sito;

$g$  = accelerazione di gravità.

In assenza di analisi specifiche della risposta sismica locale, l'accelerazione massima può essere valutata con la relazione

$$a_{max} = S \cdot a_g = S_s \cdot S_T \cdot a_g \quad (7.11.8)$$

dove

$S$  = coefficiente che comprende l'effetto dell'amplificazione stratigrafica ( $S_s$ ) e dell'amplificazione topografica ( $S_T$ ), di cui al § 3.2.3.2;

$a_g$  = accelerazione orizzontale massima attesa su sito di riferimento rigido.

Nella precedente espressione, il coefficiente  $\beta_m$  assume i valori riportati nella Tab. 7.11-II.

## 2.1.2 PEDEMONTANA DELLE MARCHE

Secondo stralcio funzionale: Matelica Nord – Matelica Sud/Castelraimondo Nord

Opere d'arte minori: Opere di sostegno e dreni

Muri di controripa in dx in c.a. da 4+680.00 a 4+844.40

Relazione tecnica e di calcolo

Opera L073	Tratto 212	Settore E	CEE 17	WBS OS1100	Id.doc. REL	N. prog. 01	Rev. A	Pag. di Pag. 23 di 195
---------------	---------------	--------------	-----------	---------------	----------------	----------------	-----------	---------------------------

**Tabella 7.11.II - Coefficienti di riduzione dell'accelerazione massima attesa al sito.**

	Categoria di sottosuolo	
	A	B, C, D, E
	$\beta_m$	$\beta_m$
$0.2 < a_g(g) \leq 0.4$	0.31	0.31
$0.1 < a_g(g) \leq 0.2$	0.29	0.24
$a_g(g) \leq 0.1$	0.20	0.18

Tenendo tuttavia conto della specifica che prescrive, nel caso di muri che non siano in grado di subire spostamenti (quale è il caso dei muri su pali) un valore del coefficiente  $\beta_m$  pari ad 1.0. Assumendo tale valore si considera che, cautelativamente, il terreno di riempimento è rigidamente connesso all'opera e non subisce deformazioni o movimenti relativi rispetto ad essa.

Nel caso in specie si ha:

- Per i muri su fondazione diretta:
  - $a_g/g = 0.206$ ;
  - $a_{max}/g = 0.285$
  - $\beta_m = 0.31$ ;
  - $K_h = 0.089$
- Per i muri su pali:
  - $a_g/g = 0.206$ ;
  - $a_{max}/g = 0.285$
  - $\beta_m = 1$ ;
  - $K_h = 0.285$

## 2.1.2 PEDEMONTANA DELLE MARCHE

Secondo stralcio funzionale: Matelica Nord – Matelica Sud/Castelraimondo Nord

Opere d'arte minori: Opere di sostegno e dreni

Muri di controripa in dx in c.a. da 4+680.00 a 4+844.40

Relazione tecnica e di calcolo

Opera L073	Tratto 212	Settore E	CEE 17	WBS OS1100	Id.doc. REL	N.prog. 01	Rev. A	Pag. di Pag. 24 di 195
---------------	---------------	--------------	-----------	---------------	----------------	---------------	-----------	---------------------------

### 9.4.1 Forze d'inerzia

Per le verifiche in fase sismica verranno pertanto applicate a tutti carichi fissi le seguenti forze d'inerzia:

$F_h = K_h \cdot W_i$  (Forza d'inerzia legata alla componente orizzontale del sisma)

$F_v = \pm 0.5 K_h \cdot W_i$  (Forza d'inerzia legata alla componente verticale del sisma)

essendo  $W_i$  il peso dell'elemento in esame o l'entità del carico fisso.

### 9.4.2 Effetti sismici sulle spinte del terreno

Il metodo di Culmann tiene conto automaticamente dell'incremento di spinta.

Per le verifiche in fase sismica infatti, nell'equazione risolutiva dell'equilibrio del cuneo, vengono infatti aggiunte anche le forze d'inerzia proprie del Cuneo  $F_h$  e  $F_v$ .

La superficie di rottura nel caso di sisma risulta generalmente meno inclinata della corrispondente superficie in assenza di sisma.

### 9.4.3 Effetti dell'Azione sismica sulla falda

Normalmente gli effetti idrodinamici considerati per il calcolo delle paratie sono calcolati con il metodo di Westergaard (Westergaard, 1931) e sono applicate sempre come pressioni esterne. La pressione idrodinamica viene calcolata come in particolare come segue:

$$p_w = \frac{7}{8} a_x \gamma_w \sqrt{z_w H}$$

$H$  è l'altezza del livello di falda rispetto a fondo scavo

$z_w$  è la profondità del punto considerato dalla superficie libera della falda



Opera L073	Tratto 212	Settore E	CEE 17	WBS OS1100	Id.doc. REL	N.prog. 01	Rev. A	Pag. di Pag. 25 di 195
---------------	---------------	--------------	-----------	---------------	----------------	---------------	-----------	---------------------------

## 10. COMBINAZIONI DI CALCOLO

Si riporta nel seguito il riepilogo delle Combinazioni di Carico esaminate per l'Analisi e Verifica dei muri di Sottoscarpa.

### Simbologia adottata

F/S	Effetto dell'azione (FAV: Favorevole, SFAV: Sfavorevole)
$\gamma$	Coefficiente di partecipazione della condizione
$\Psi$	Coefficiente di combinazione della condizione

#### Combinazione n° 1 - Caso A1-M1 (STR)

	S/F	$\gamma$	$\Psi$	$\gamma * \Psi$
Peso proprio muro	FAV	1,00	1,00	1,00
Peso proprio terrapieno	FAV	1,00	1,00	1,00
Spinta terreno	SFAV	1,30	1,00	1,30

#### Combinazione n° 2 - Caso A1-M1 (STR)

	S/F	$\gamma$	$\Psi$	$\gamma * \Psi$
Peso proprio muro	FAV	1,00	1,00	1,00
Peso proprio terrapieno	FAV	1,00	1,00	1,00
Spinta terreno	SFAV	1,30	1,00	1,30
SOVRACCARICO STRADALE	SFAV	1,50	1,00	1,50

#### Combinazione n° 3 - Caso A1-M1 (STR) - Sisma Vert. positivo

	S/F	$\gamma$	$\Psi$	$\gamma * \Psi$
Peso proprio muro	SFAV	1,00	1,00	1,00
Peso proprio terrapieno	SFAV	1,00	1,00	1,00
Spinta terreno	SFAV	1,00	1,00	1,00

#### Combinazione n° 4 - Caso A1-M1 (STR) - Sisma Vert. negativo

	S/F	$\gamma$	$\Psi$	$\gamma * \Psi$
Peso proprio muro	SFAV	1,00	1,00	1,00
Peso proprio terrapieno	SFAV	1,00	1,00	1,00
Spinta terreno	SFAV	1,00	1,00	1,00

#### Combinazione n° 5 - Caso A1-M1 (STR) - Sisma Vert. positivo

	S/F	$\gamma$	$\Psi$	$\gamma * \Psi$
Peso proprio muro	FAV	1,00	1,00	1,00
Peso proprio terrapieno	FAV	1,00	1,00	1,00
Spinta terreno	SFAV	1,00	1,00	1,00

#### Combinazione n° 6 - Quasi Permanente (SLE)

	S/F	$\gamma$	$\Psi$	$\gamma * \Psi$
Peso proprio muro	--	1,00	1,00	1,00
Peso proprio terrapieno	--	1,00	1,00	1,00
Spinta terreno	--	1,00	1,00	1,00

#### Combinazione n° 7 - Frequente (SLE)

	S/F	$\gamma$	$\Psi$	$\gamma * \Psi$
Peso proprio muro	--	1,00	1,00	1,00
Peso proprio terrapieno	--	1,00	1,00	1,00
Spinta terreno	--	1,00	1,00	1,00
SOVRACCARICO STRADALE	SFAV	1,00	0,75	0,75

#### Combinazione n° 8 - Rara (SLE)

	S/F	$\gamma$	$\Psi$	$\gamma * \Psi$
Peso proprio muro	--	1,00	1,00	1,00
Peso proprio terrapieno	--	1,00	1,00	1,00
Spinta terreno	--	1,00	1,00	1,00
SOVRACCARICO STRADALE	SFAV	1,00	1,00	1,00

## 2.1.2 PEDEMONTANA DELLE MARCHE

Secondo stralcio funzionale: Matelica Nord – Matelica Sud/Castelraimondo Nord

Opere d'arte minori: Opere di sostegno e dreni

Muri di controripa in dx in c.a. da 4+680.00 a 4+844.40

Relazione tecnica e di calcolo

Opera L073	Tratto 212	Settore E	CEE 17	WBS OS1100	Id.doc. REL	N.prog. 01	Rev. A	Pag. di Pag. 26 di 195
---------------	---------------	--------------	-----------	---------------	----------------	---------------	-----------	---------------------------

Si riporta nel seguito il riepilogo delle Combinazioni di Carico esaminate per l'Analisi e Verifica dei muri di sostegno.

### Combinazione n° 1 - Caso A1-M1 (STR)

	S/F	$\gamma$	$\Psi$	$\gamma * \Psi$
Peso proprio muro	FAV	1,00	1.00	1,00
Peso proprio terrapieno	FAV	1,00	1.00	1,00
Spinta terreno	SFAV	1,30	1.00	1,30

### Combinazione n° 2 - Caso A1-M1 (STR)

	S/F	$\gamma$	$\Psi$	$\gamma * \Psi$
Peso proprio muro	FAV	1,00	1.00	1,00
Peso proprio terrapieno	FAV	1,00	1.00	1,00
Spinta terreno	SFAV	1,30	1.00	1,30
SOVRACCARICO STRADALE	SFAV	1.50	1.00	1.50

### Combinazione n° 3 - Caso A1-M1 (STR)

	S/F	$\gamma$	$\Psi$	$\gamma * \Psi$
Peso proprio muro	FAV	1,00	1.00	1,00
Peso proprio terrapieno	FAV	1,00	1.00	1,00
Spinta terreno	SFAV	1,30	1.00	1,30
Urto Veicolo	SFAV	1.50	1.00	1.50

### Combinazione n° 4 - Caso A1-M1 (STR) - Sisma Vert. negativo

	S/F	$\gamma$	$\Psi$	$\gamma * \Psi$
Peso proprio muro	SFAV	1,00	1.00	1,00
Peso proprio terrapieno	SFAV	1,00	1.00	1,00
Spinta terreno	SFAV	1,00	1.00	1,00

### Combinazione n° 5 - Caso A1-M1 (STR) - Sisma Vert. positivo

	S/F	$\gamma$	$\Psi$	$\gamma * \Psi$
Peso proprio muro	SFAV	1,00	1.00	1,00
Peso proprio terrapieno	SFAV	1,00	1.00	1,00
Spinta terreno	SFAV	1,00	1.00	1,00

### Combinazione n° 6 - Quasi Permanente (SLE)

	S/F	$\gamma$	$\Psi$	$\gamma * \Psi$
Peso proprio muro	--	1,00	1.00	1,00
Peso proprio terrapieno	--	1,00	1.00	1,00
Spinta terreno	--	1,00	1.00	1,00

### Combinazione n° 7 - Frequente (SLE)

	S/F	$\gamma$	$\Psi$	$\gamma * \Psi$
Peso proprio muro	--	1,00	1.00	1,00
Peso proprio terrapieno	--	1,00	1.00	1,00
Spinta terreno	--	1,00	1.00	1,00
SOVRACCARICO STRADALE	SFAV	1.00	0.75	0.75

### Combinazione n° 8 - Rara (SLE)

	S/F	$\gamma$	$\Psi$	$\gamma * \Psi$
Peso proprio muro	--	1,00	1.00	1,00
Peso proprio terrapieno	--	1,00	1.00	1,00
Spinta terreno	--	1,00	1.00	1,00
SOVRACCARICO STRADALE	SFAV	1.00	1.00	1.00

Opera L073	Tratto 212	Settore E	CEE 17	WBS OS1100	Id.doc. REL	N. prog. 01	Rev. A	Pag. di Pag. 27 di 195
---------------	---------------	--------------	-----------	---------------	----------------	----------------	-----------	---------------------------

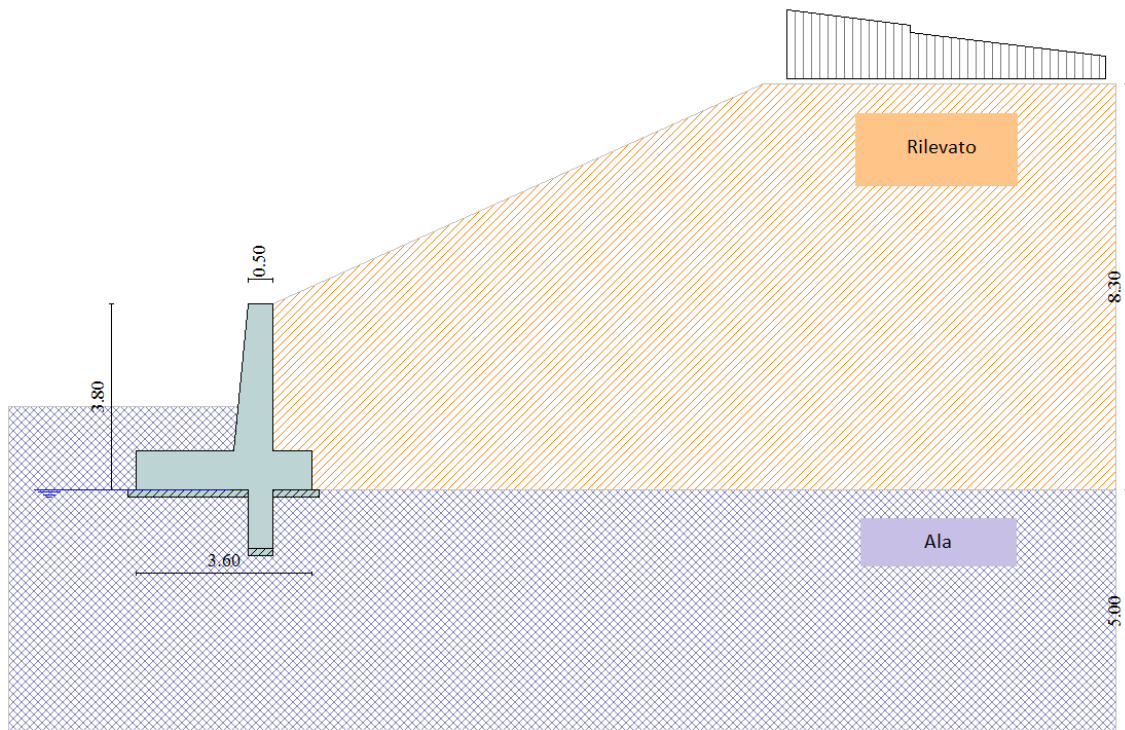
## 11. RISULTATI ANALISI E VERIFICHE

Si riportano di seguito risultati delle analisi e verifiche delle diverse sezioni tipo dei muri, in particolare si analizzano per ogni tipo le situazioni più gravose.

### 11.1 RISULTATI ANALISI E VERIFICHE MURI DI TIPO 1

#### 11.1.1 Modelli di calcolo

Di seguito si riportano i principali risultati delle analisi svolte sul muro di sostegno denominato. Per ulteriori dettagli si rimanda ai tabulati in allegato.



Modello di calcolo muro

## 2.1.2 PEDEMONTANA DELLE MARCHE

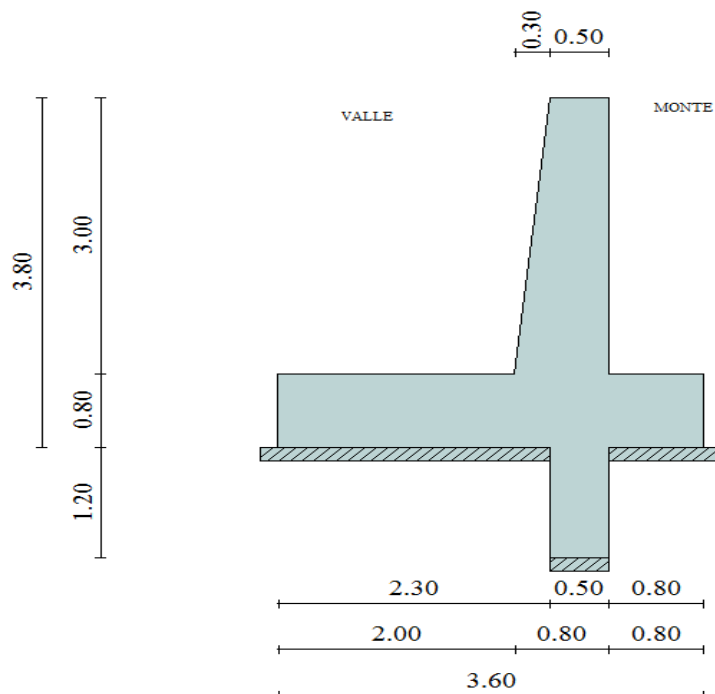
Secondo stralcio funzionale: Matelica Nord – Matelica Sud/Castelraimondo Nord

Opere d'arte minori: Opere di sostegno e dreni

Muri di controripa in dx in c.a. da 4+680.00 a 4+844.40

Relazione tecnica e di calcolo

Opera L073	Tratto 212	Settore E	CEE 17	WBS OS1100	Id.doc. REL	N. prog. 01	Rev. A	Pag. di Pag. 28 di 195
---------------	---------------	--------------	-----------	---------------	----------------	----------------	-----------	---------------------------



Geometria muro

### 11.1.2 Risultati analisi di stabilità locale

Di seguito si riportano i risultati in termini di coefficienti di sicurezza delle verifiche previste in accordo alla normativa NTC 2008 e descritte in dettaglio al paragrafo 10:

Dettagli coefficienti di sicurezza globali e spinte									
Comb.	Tipo comb.	Sisma	FS (ribalt)	FS (scorr)	FS (qult)	FS (stab)	Spinta[kN]	Incr. sism.[kN]	
1	A1-M1 - [1]	--	--	3,56	8,51	--	79,6727	0,0000	
2	A2-M2 - [1]	--	--	2,51	4,92	--	88,2447	0,0000	
3	EQU - [1]	--	4,15	--	--	--	97,8168	0,0000	
4	STAB - [1]	--	--	--	--	1,55	88,2447	0,0000	
5	A1-M1 - [2]	--	--	2,79	8,09	--	79,6727	0,0000	
6	A1-M1 - [3]	SismaH + SismaV positivo	--	2,77	7,56	--	61,2867	25,5360	
7	A1-M1 - [3]	SismaH + SismaV negativo	--	2,80	8,11	--	61,2867	20,7554	
8	A2-M2 - [3]	SismaH + SismaV positivo	--	<b>1,58</b>	<b>4,07</b>	--	85,5771	42,7879	
9	A2-M2 - [3]	SismaH + SismaV negativo	--	1,61	4,39	--	85,5771	35,9025	
10	EQU - [3]	SismaH + SismaV positivo	3,24	--	--	--	85,5771	42,7879	
11	EQU - [3]	SismaH + SismaV negativo	<b>2,93</b>	--	--	--	85,5771	35,9025	
12	STAB - [3]	SismaH + SismaV positivo	--	--	--	1,31	85,5771	42,7879	
13	STAB - [3]	SismaH + SismaV negativo	--	--	--	<b>1,31</b>	85,5771	35,9025	
14	SLEQ - [1]	--	--	4,56	9,51	--	61,2867	0,0000	
15	SLEF - [1]	--	--	4,56	9,51	--	61,2867	0,0000	
16	SLER - [1]	--	--	4,56	9,51	--	61,2867	0,0000	

Al fine di una migliore comprensione dei risultati, si riportano di seguito in maniera più dettagliata i risultati delle analisi per le combinazioni più gravose che risultano essere la combinazione 8 per la

## 2.1.2 PEDEMONTANA DELLE MARCHE

Secondo stralcio funzionale: Matelica Nord – Matelica Sud/Castelraimondo Nord

Opere d'arte minori: Opere di sostegno e dreni

Muri di controripa in dx in c.a. da 4+680.00 a 4+844.40

Relazione tecnica e di calcolo

Opera L073	Tratto 212	Settore E	CEE 17	WBS OS1100	Id.doc. REL	N.prog. 01	Rev. A	Pag. di Pag. 29 di 195
---------------	---------------	--------------	-----------	---------------	----------------	---------------	-----------	---------------------------

verifica a carico limite e per la verifica a scorrimento, e la combinazione 11 per la verifica a ribaltamento.

### COMBINAZIONE n° 8

Valore della spinta statica	85,5771	[kN]		
Componente orizzontale della spinta statica	80,9096	[kN]		
Componente verticale della spinta statica	27,8761	[kN]		
Punto d'applicazione della spinta	X = 0,80	[m]	Y = -2,41	[m]
Inclinaz. della spinta rispetto alla normale alla superficie	19,01	[°]		
Inclinazione linea di rottura in condizioni statiche	43,82	[°]		
Incremento sismico della spinta	42,7879	[kN]		
Punto d'applicazione dell'incremento sismico di spinta	X = 0,80	[m]	Y = -2,41	[m]
Inclinazione linea di rottura in condizioni sismiche	37,69	[°]		
Punto d'applicazione della spinta della falda	X = 0,80	[m]	Y = -3,80	[m]
Peso terrapieno gravante sulla fondazione a monte	50,8800	[kN]		
Baricentro terrapieno gravante sulla fondazione a monte	X = 0,41	[m]	Y = -1,41	[m]
Inerzia del muro	11,7916	[kN]		
Inerzia verticale del muro	5,8958	[kN]		
Inerzia del terrapieno fondazione di monte	4,5077	[kN]		
Inerzia verticale del terrapieno fondazione di monte	2,2539	[kN]		

### Risultanti

Risultante dei carichi applicati in dir. orizzontale	137,6631	[kN]
Risultante dei carichi applicati in dir. verticale	233,9394	[kN]
Resistenza passiva a valle del muro	-30,1804	[kN]
Resistenza passiva dente di fondazione	-148,8402	[kN]
Sforzo normale sul piano di posa della fondazione	233,9394	[kN]
Sforzo tangenziale sul piano di posa della fondazione	137,6631	[kN]
Eccentricità rispetto al baricentro della fondazione	-0,02	[m]
Lunghezza fondazione reagente	3,60	[m]
Risultante in fondazione	271,4384	[kN]
Inclinazione della risultante (rispetto alla normale)	30,47	[°]
Momento rispetto al baricentro della fondazione	-4,7645	[kNm]
Carico ultimo della fondazione	952,3356	[kN]

### Tensioni sul terreno

Lunghezza fondazione reagente	3,60	[m]
Tensione terreno allo spigolo di valle	62,79	[kPa]
Tensione terreno allo spigolo di monte	67,20	[kPa]

### Fattori per il calcolo della capacità portante

Coeff. capacità portante	$N_c = 16,14$	$N_q = 7,30$	$N_\gamma = 3,61$
Fattori forma	$s_c = 1,00$	$s_q = 1,00$	$s_\gamma = 1,00$
Fattori inclinazione	$i_c = 0,44$	$i_q = 0,44$	$i_\gamma = 0,18$
Fattori profondità	$d_c = 1,21$	$d_q = 1,11$	$d_\gamma = 1,11$
I coefficienti N' tengono conto dei fattori di forma, profondità, inclinazione carico, inclinazione piano di posa, inclinazione pendio.			
	$N'_c = 8,57$	$N'_q = 3,53$	$N'_\gamma = 0,74$

### COEFFICIENTI DI SICUREZZA

Coefficiente di sicurezza a scorrimento	1.58
Coefficiente di sicurezza a carico ultimo	4.07

### COMBINAZIONE n° 11

Valore della spinta statica	85,5771	[kN]
Componente orizzontale della spinta statica	80,9096	[kN]

## 2.1.2 PEDEMONTANA DELLE MARCHE

Secondo stralcio funzionale: Matelica Nord – Matelica Sud/Castelraimondo Nord

Opere d'arte minori: Opere di sostegno e dreni

Muri di controripa in dx in c.a. da 4+680.00 a 4+844.40

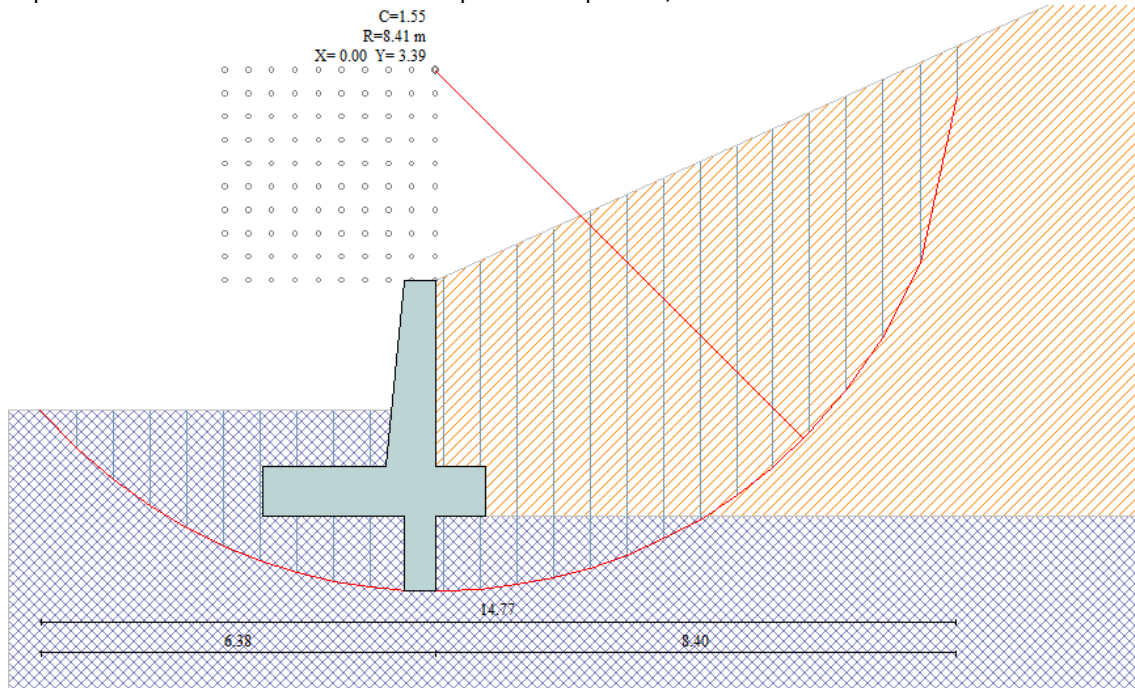
Relazione tecnica e di calcolo

Opera	Tratto	Settore	CEE	WBS	Id.doc.	N. prog.	Rev.	Pag. di Pag.
L073	212	E	17	OS1100	REL	01	A	30 di 195

Componente verticale della spinta statica	27,8761	[kN]						
Punto d'applicazione della spinta	X = 0,80	[m]				Y = -2,41		[m]
Inclinaz. della spinta rispetto alla normale alla superficie	19,01	[°]						
Inclinazione linea di rottura in condizioni statiche	43,82	[°]						
Incremento sismico della spinta	35,9025	[kN]						
Punto d'applicazione dell'incremento sismico di spinta	X = 0,80	[m]				Y = -2,41		[m]
Inclinazione linea di rottura in condizioni sismiche	37,38	[°]						
Punto d'applicazione della spinta della falda	X = 0,80	[m]				Y = -3,80		[m]
Peso terrapieno gravante sulla fondazione a monte	50,8800	[kN]						
Baricentro terrapieno gravante sulla fondazione a monte	X = 0,41	[m]				Y = -1,41		[m]
Inerzia del muro	11,7916	[kN]						
Inerzia verticale del muro	-5,8958	[kN]						
Inerzia del terrapieno fondazione di monte	4,5077	[kN]						
Inerzia verticale del terrapieno fondazione di monte	-2,2539	[kN]						
<b>Risultanti</b>								
Risultante dei carichi applicati in dir. orizzontale	131,1531	[kN]						
Risultante dei carichi applicati in dir. verticale	215,3973	[kN]						
Resistenza passiva a valle del muro	-30,1804	[kN]						
Resistenza passiva dente di fondazione	-144,9921	[kN]						
Momento ribaltante rispetto allo spigolo a valle	200,8810	[kNm]						
Momento stabilizzante rispetto allo spigolo a valle	588,1441	[kNm]						
Sforzo normale sul piano di posa della fondazione	215,3973	[kN]						
Sforzo tangenziale sul piano di posa della fondazione	131,1531	[kN]						
Eccentricità rispetto al baricentro della fondazione	0,00	[m]						
Lunghezza fondazione reagente	3,60	[m]						
Risultante in fondazione	252,1847	[kN]						
Inclinazione della risultante (rispetto alla normale)	31,34	[°]						
Momento rispetto al baricentro della fondazione	0,3915	[kNm]						
<b>COEFFICIENTI DI SICUREZZA</b>								
Coefficiente di sicurezza a ribaltamento	2.93							

### 11.1.3 Risultati analisi di stabilità globale

L'analisi di stabilità globale condotta secondo il metodo di Bishop semplificato a portato alla seguente superficie di scorrimento critica a cui compete in F.S. pari a 1,55:



*Superficie di scorrimento critica e relativo coeff. di sicurezza*

### 11.1.4 Armature di progetto

Nella tabella seguente si riportano le armature di progetto previste per la sezione di calcolo in questione, come desumibili dagli elaborati grafici di armatura delle opere relative :

Elemento	Armatura a flessione	
	Af 1	Af 2
PARAMENTO	1φ14/20	1φ12/20
FONDAZIONE	1φ14/20	1φ14/20
DENTE	1φ14/20	1φ14/20

**Af1=monte (paramento) , superiore (fondazione)**

**Af2=valle (paramento) , inferiore (fondazione)**

Ai fini delle verifiche si è fatto riferimento ad un copriferro di calcolo (asse armature) pari a 4 cm

Opera L073	Tratto 212	Settore E	CEE 17	WBS OS1100	Id.doc. REL	N. prog. 01	Rev. A	Pag. di Pag. 32 di 195
---------------	---------------	--------------	-----------	---------------	----------------	----------------	-----------	---------------------------

### 11.1.5 Verifiche strutturali (SLU – SLE)

Di seguito si riportano in dettaglio l'inviluppo dei valori delle sollecitazioni e delle resistenze per le combinazioni considerate. Inoltre si riporta la verifica a fessurazione per la combinazione più sfavorevole.

#### Inviluppo Sollecitazioni paramento

L'ordinata Y (espressa in [m]) è considerata positiva verso il basso con origine in testa al muro

B	base della sezione espressa in [m]
H	altezza della sezione espressa in [m]
A <sub>fs</sub>	area di armatura in corrispondenza del lembo di monte in [mq]
A <sub>fi</sub>	area di armatura in corrispondenza del lembo di valle in [mq]
σ <sub>c</sub>	tensione nel calcestruzzo espressa in [kPa]
τ <sub>c</sub>	tensione tangenziale nel calcestruzzo espressa in [kPa]
σ <sub>fs</sub>	tensione nell'armatura disposta sul lembo di monte in [kPa]
σ <sub>fi</sub>	tensione nell'armatura disposta sul lembo di valle in [kPa]
N <sub>u</sub>	sfuerzo normale ultimo espresso in [kN]
M <sub>u</sub>	momento ultimo espresso in [kNm]
CS	coefficiente sicurezza sezione
VRcd	Aliquota di taglio assorbito dal cls, espresso in [kN]
VRsd	Aliquota di taglio assorbito dall'armatura, espresso in [kN]
VRd	Resistenza al taglio, espresso in [kN]

#### Inviluppo combinazioni SLU

Nr.	Y	Nmin	Nmax	Mmin	Mmax	Tmin	Tmax
1	0,00	0,0000	0,0000	0,0000	30,0000	0,0000	20,0000
2	0,15	1,8662	1,8662	-0,0022	32,9978	0,0952	20,0952
3	0,30	3,7873	3,7873	0,0099	36,0099	0,3809	20,3809
4	0,45	5,7633	5,7633	0,0645	39,0645	0,8569	20,8569
5	0,60	7,7941	7,7941	0,1898	42,1898	1,5234	21,5234
6	0,75	9,8799	9,8799	0,4138	45,4138	2,3804	22,3804
7	0,90	12,0205	12,0205	0,7648	48,7648	3,4277	23,4277
8	1,05	14,2160	14,2160	1,2709	52,2709	4,6655	24,6655
9	1,20	16,4663	16,4663	1,9603	55,9603	6,0938	26,0938
10	1,35	18,7716	18,7716	2,8610	59,8610	7,7124	27,7124
11	1,50	21,1317	21,1317	4,0013	64,0013	9,5215	29,5215
12	1,65	23,5467	23,5467	5,4093	68,4093	11,5210	31,5210
13	1,80	26,0166	26,0166	7,1131	73,1131	13,7110	33,7110
14	1,95	28,5413	28,5413	9,1410	78,1410	16,0914	36,0914
15	2,10	31,1210	31,1210	11,5210	83,5210	18,6622	38,6622
16	2,25	33,7555	33,7555	14,2813	89,2813	21,4234	41,4234
17	2,40	36,4449	36,4449	17,4500	95,4500	24,3751	46,0335
18	2,55	39,1891	39,1891	21,0554	102,0554	27,5172	51,7944
19	2,70	41,9883	41,9883	25,1255	109,1255	30,8497	57,8946
20	2,85	44,8423	44,8423	29,6885	116,6885	34,3727	64,3341
21	3,00	47,7512	47,7512	34,7714	124,7714	38,0556	71,0593



## 2.1.2 PEDEMONTANA DELLE MARCHE

Secondo stralcio funzionale: Matelica Nord – Matelica Sud/Castelraimondo Nord

Opere d'arte minori: Opere di sostegno e dreni

Muri di controripa in dx in c.a. da 4+680.00 a 4+844.40

Relazione tecnica e di calcolo

Opera L073	Tratto 212	Settore E	CEE 17	WBS OS1100	Id.doc. REL	N. prog. 01	Rev. A	Pag. di Pag. 33 di 195
---------------	---------------	--------------	-----------	---------------	----------------	----------------	-----------	---------------------------

### Inviluppo combinazioni SLE

Nr.	Y	Nmin	Nmax	Mmin	Mmax	Tmin	Tmax
1	0,00	0,0000	0,0000	0,0000	0,0000	0,0000	0,0000
2	0,15	1,8662	1,8662	-0,0033	-0,0033	0,0732	0,0732
3	0,30	3,7873	3,7873	0,0011	0,0011	0,2930	0,2930
4	0,45	5,7633	5,7633	0,0349	0,0349	0,6592	0,6592
5	0,60	7,7941	7,7941	0,1195	0,1195	1,1719	1,1719
6	0,75	9,8799	9,8799	0,2765	0,2765	1,8311	1,8311
7	0,90	12,0205	12,0205	0,5275	0,5275	2,6367	2,6367
8	1,05	14,2160	14,2160	0,8941	0,8941	3,5889	3,5889
9	1,20	16,4663	16,4663	1,3978	1,3978	4,6875	4,6875
10	1,35	18,7716	18,7716	2,0601	2,0601	5,9326	5,9326
11	1,50	21,1317	21,1317	2,9027	2,9027	7,3242	7,3242
12	1,65	23,5467	23,5467	3,9470	3,9470	8,8623	8,8623
13	1,80	26,0166	26,0166	5,2147	5,2147	10,5469	10,5469
14	1,95	28,5413	28,5413	6,7273	6,7273	12,3780	12,3780
15	2,10	31,1210	31,1210	8,5063	8,5063	14,3555	14,3555
16	2,25	33,7555	33,7555	10,5734	10,5734	16,4796	16,4796
17	2,40	36,4449	36,4449	12,9500	12,9500	18,7501	18,7501
18	2,55	39,1891	39,1891	15,6578	15,6578	21,1671	21,1671
19	2,70	41,9883	41,9883	18,7183	18,7183	23,7306	23,7306
20	2,85	44,8423	44,8423	22,1530	22,1530	26,4405	26,4405
21	3,00	47,7512	47,7512	25,9826	25,9826	29,2736	29,2736

### Inviluppo Sollecitazioni fondazione di valle

#### Inviluppo combinazioni SLU

Nr.	X	Mmin	Mmax	Tmin	Tmax
1	0,00	0,0000	0,0000	0,0000	0,0000
2	0,20	0,1828	1,1282	1,9473	11,2196
3	0,40	0,8268	4,4630	4,6127	22,0664
4	0,60	2,0757	9,9299	7,9963	32,5403
5	0,80	4,0732	17,4542	12,0982	42,6413
6	1,00	6,9629	26,9615	16,9181	52,3694
7	1,20	10,8883	38,3772	22,4563	61,7247
8	1,40	15,9933	51,6266	28,7127	70,7072
9	1,60	22,4213	66,6352	35,6872	79,3168
10	1,80	30,3160	83,3284	43,3799	87,5535
11	2,00	39,8211	101,6317	51,7908	95,4173

#### Inviluppo combinazioni SLE

Nr.	X	Mmin	Mmax	Tmin	Tmax
1	0,00	0,0000	0,0000	0,0000	0,0000
2	0,20	0,0501	0,0501	0,6382	0,6382
3	0,40	0,3103	0,3103	2,1011	2,1011
4	0,60	0,9455	0,9455	4,3886	4,3886
5	0,80	2,1207	2,1207	7,5008	7,5008
6	1,00	4,0008	4,0008	11,4377	11,4377
7	1,20	6,7507	6,7507	16,1992	16,1992
8	1,40	10,5354	10,5354	21,7854	21,7854
9	1,60	15,5199	15,5199	28,1963	28,1963
10	1,80	21,8689	21,8689	35,4318	35,4318
11	2,00	29,7476	29,7476	43,4920	43,4920

## 2.1.2 PEDEMONTANA DELLE MARCHE

Secondo stralcio funzionale: Matelica Nord – Matelica Sud/Castelraimondo Nord

Opere d'arte minori: Opere di sostegno e dreni

Muri di controripa in dx in c.a. da 4+680.00 a 4+844.40

Relazione tecnica e di calcolo

Opera L073	Tratto 212	Settore E	CEE 17	WBS OS1100	Id.doc. REL	N. prog. 01	Rev. A	Pag. di Pag. 34 di 195
---------------	---------------	--------------	-----------	---------------	----------------	----------------	-----------	---------------------------

### Inviluppo Sollecitazioni fondazione di monte

#### Inviluppo combinazioni SLU

Nr.	X	Mmin	Mmax	Tmin	Tmax
1	0,00	0,0000	0,0000	0,0000	0,0000
2	0,08	-0,2026	-0,0040	-5,0433	-0,1051
3	0,16	-0,8033	-0,0174	-9,9521	-0,2333
4	0,24	-1,7914	-0,0420	-14,7263	-0,3848
5	0,32	-3,1560	-0,0796	-19,3660	-0,5595
6	0,40	-4,8863	-0,1321	-23,8711	-0,7575
7	0,48	-6,9718	-0,2014	-28,2418	-0,9787
8	0,56	-9,4014	-0,2894	-32,4778	-1,2231
9	0,64	-12,1646	-0,3977	-36,5794	-1,4907
10	0,72	-15,2506	-0,5285	-40,5464	-1,7815
11	0,80	-18,6485	-0,6834	-44,3788	-2,0956

#### Inviluppo combinazioni SLE

Nr.	X	Mmin	Mmax	Tmin	Tmax
1	0,00	0,0000	0,0000	0,0000	0,0000
2	0,08	0,0250	0,0250	0,6139	0,6139
3	0,16	0,0962	0,0962	1,1534	1,1534
4	0,24	0,2076	0,2076	1,6185	1,6185
5	0,32	0,3532	0,3532	2,0093	2,0093
6	0,40	0,5271	0,5271	2,3258	2,3258
7	0,48	0,7234	0,7234	2,5679	2,5679
8	0,56	0,9360	0,9360	2,7357	2,7357
9	0,64	1,1591	1,1591	2,8291	2,8291
10	0,72	1,3867	1,3867	2,8482	2,8482
11	0,80	1,6128	1,6128	2,7929	2,7929

### Inviluppo armature e tensioni nei materiali del muro

#### Inviluppo SLU

Nr.	Y	B, H	A <sub>fs</sub>	A <sub>fi</sub>	N <sub>u</sub>	M <sub>u</sub>	CS	V <sub>Rd</sub>	V <sub>Rcd</sub>	V <sub>Rsd</sub>
1	0,00	1,00, 0,50	0,000000	0,000565	0,00	0,00	0,03	176,18	--	--
2	0,15	1,00, 0,51	0,000770	0,000565	8,06	5,80	4,32	180,38	--	--
3	0,30	1,00, 0,53	0,000770	0,000565	15,64	-16,97	4,13	184,57	--	--
4	0,45	1,00, 0,54	0,000770	0,000565	22,86	-73,74	3,97	188,75	--	--
5	0,60	1,00, 0,56	0,000770	0,000565	29,78	-161,19	3,82	192,92	--	--
6	0,75	1,00, 0,57	0,000770	0,000565	36,43	-167,46	3,69	197,09	--	--
7	0,90	1,00, 0,59	0,000770	0,000565	42,83	-173,76	3,56	201,24	--	--
8	1,05	1,00, 0,60	0,000770	0,000565	48,97	-180,07	3,45	205,39	--	--
9	1,20	1,00, 0,62	0,000770	0,000565	54,85	-186,40	3,33	209,53	--	--
10	1,35	1,00, 0,63	0,000770	0,000565	60,44	-192,73	3,22	213,66	--	--
11	1,50	1,00, 0,65	0,000770	0,000565	65,72	-199,05	3,11	217,79	--	--
12	1,65	1,00, 0,66	0,000770	0,000565	70,68	-205,35	3,00	221,91	--	--
13	1,80	1,00, 0,68	0,000770	0,000565	75,30	-211,62	2,89	226,02	--	--
14	1,95	1,00, 0,69	0,000770	0,000565	79,57	-217,84	2,79	230,13	--	--
15	2,10	1,00, 0,71	0,000770	0,000565	83,47	-224,02	2,68	234,24	--	--
16	2,25	1,00, 0,72	0,000770	0,000565	87,01	-230,13	2,58	238,34	--	--
17	2,40	1,00, 0,74	0,000770	0,000565	90,18	-236,17	2,47	242,45	--	--
18	2,55	1,00, 0,75	0,000770	0,001131	93,22	-242,77	2,38	246,54	--	--
19	2,70	1,00, 0,77	0,000770	0,000565	95,43	-248,03	2,27	250,64	--	--
20	2,85	1,00, 0,78	0,000770	0,000565	97,55	-253,83	2,18	254,73	--	--

## 2.1.2 PEDEMONTANA DELLE MARCHE

Secondo stralcio funzionale: Matelica Nord – Matelica Sud/Castelraimondo Nord

Opere d'arte minori: Opere di sostegno e dreni

Muri di controripa in dx in c.a. da 4+680.00 a 4+844.40

Relazione tecnica e di calcolo

Opera L073	Tratto 212	Settore E	CEE 17	WBS OS1100	Id.doc. REL	N. prog. 01	Rev. A	Pag. di Pag. 35 di 195
---------------	---------------	--------------	-----------	---------------	----------------	----------------	-----------	---------------------------

21	3,00	1,00, 0,80	0,000770	0,000565	99,34	-259,56	2,08	258,82	--	--
----	------	------------	----------	----------	-------	---------	------	--------	----	----

### Inviluppo SLE

Nr.	Y	B, H	A <sub>fs</sub>	A <sub>fi</sub>	σ <sub>c</sub>	τ <sub>c</sub>	σ <sub>fs</sub>	σ <sub>fi</sub>
1	0,00	1,00, 0,50	0,000000	0,000565	0	0	0	0
2	0,15	1,00, 0,51	0,000770	0,000565	4	0	-53	-52
3	0,30	1,00, 0,53	0,000770	0,000565	7	1	-102	-105
4	0,45	1,00, 0,54	0,000770	0,000565	11	2	-143	-164
5	0,60	1,00, 0,56	0,000770	0,000565	16	3	-171	-232
6	0,75	1,00, 0,57	0,000770	0,000565	21	4	-184	-315
7	0,90	1,00, 0,59	0,000770	0,000565	28	6	-180	-413
8	1,05	1,00, 0,60	0,000770	0,000565	37	7	-155	-529
9	1,20	1,00, 0,62	0,000770	0,000565	46	9	-109	-666
10	1,35	1,00, 0,63	0,000770	0,000565	58	12	-40	-823
11	1,50	1,00, 0,65	0,000770	0,000565	71	14	75	-1012
12	1,65	1,00, 0,66	0,000770	0,000565	89	16	292	-1253
13	1,80	1,00, 0,68	0,000770	0,000565	111	19	684	-1562
14	1,95	1,00, 0,69	0,000770	0,000565	141	22	1352	-1953
15	2,10	1,00, 0,71	0,000770	0,000565	177	25	2410	-2435
16	2,25	1,00, 0,72	0,000770	0,000565	221	28	3942	-3003
17	2,40	1,00, 0,74	0,000770	0,000565	271	31	5986	-3647
18	2,55	1,00, 0,75	0,000770	0,001131	311	34	8223	-4136
19	2,70	1,00, 0,77	0,000770	0,000565	389	38	11609	-5121
20	2,85	1,00, 0,78	0,000770	0,000565	455	41	15171	-5943
21	3,00	1,00, 0,80	0,000770	0,000565	525	45	19225	-6818

### **Inviluppo armature e tensioni nei materiali della fondazione**

#### Fondazione di valle

(L'ascissa X, espressa in [m], è positiva verso monte con origine in corrispondenza dell'estremo libero della fondazione di valle)

#### Inviluppo SLU

Nr.	Y	B, H	A <sub>fs</sub>	A <sub>fi</sub>	N <sub>u</sub>	M <sub>u</sub>	CS	V <sub>Rcd</sub>	V <sub>Rcd</sub>	V <sub>Rsd</sub>
1	0,00	1,00, 0,80	0,000770	0,000770	0,00	0,00	1000,00	252,06	--	--
2	0,20	1,00, 0,80	0,000770	0,000770	0,00	225,69	200,05	252,06	--	--
3	0,40	1,00, 0,80	0,000770	0,000770	0,00	225,69	50,57	252,06	--	--
4	0,60	1,00, 0,80	0,000770	0,000770	0,00	225,69	22,73	252,06	--	--
5	0,80	1,00, 0,80	0,000770	0,000770	0,00	225,69	12,93	252,06	--	--
6	1,00	1,00, 0,80	0,000770	0,000770	0,00	225,69	8,37	252,06	--	--
7	1,20	1,00, 0,80	0,000770	0,000770	0,00	225,69	5,88	252,06	--	--
8	1,40	1,00, 0,80	0,000770	0,000770	0,00	225,69	4,37	252,06	--	--
9	1,60	1,00, 0,80	0,000770	0,000770	0,00	225,69	3,39	252,06	--	--
10	1,80	1,00, 0,80	0,000770	0,000770	0,00	225,69	2,71	252,06	--	--
11	2,00	1,00, 0,80	0,000770	0,000770	0,00	225,69	2,22	252,06	--	--

#### Inviluppo SLE

Nr.	X	B, H	A <sub>fs</sub>	A <sub>fi</sub>	σ <sub>c</sub>	τ <sub>c</sub>	σ <sub>fs</sub>	σ <sub>fs</sub>
12	0,00	1,00, 0,80	0,000770	0,000770	0	0	0	0
13	0,20	1,00, 0,80	0,000770	0,000770	1	1	89	-11
14	0,40	1,00, 0,80	0,000770	0,000770	6	3	550	-71
15	0,60	1,00, 0,80	0,000770	0,000770	20	7	1676	-217
16	0,80	1,00, 0,80	0,000770	0,000770	44	11	3760	-486
17	1,00	1,00, 0,80	0,000770	0,000770	83	17	7093	-918
18	1,20	1,00, 0,80	0,000770	0,000770	140	25	11969	-1548

## 2.1.2 PEDEMONTANA DELLE MARCHE

Secondo stralcio funzionale: Matelica Nord – Matelica Sud/Castelraimondo Nord

Opere d'arte minori: Opere di sostegno e dreni

Muri di controripa in dx in c.a. da 4+680.00 a 4+844.40

Relazione tecnica e di calcolo

Opera L073	Tratto 212	Settore E	CEE 17	WBS OS1100	Id.doc. REL	N. prog. 01	Rev. A	Pag. di Pag. 36 di 195
---------------	---------------	--------------	-----------	---------------	----------------	----------------	-----------	---------------------------

19	1,40	1,00, 0,80	0,000770	0,000770	218	33	18679	-2417
20	1,60	1,00, 0,80	0,000770	0,000770	321	43	27516	-3560
21	1,80	1,00, 0,80	0,000770	0,000770	453	54	38772	-5016
22	2,00	1,00, 0,80	0,000770	0,000770	616	66	52740	-6823

### Fondazione di monte

(L'ascissa X, espressa in [m], è positiva verso valle con origine in corrispondenza dell'estremo libero della fondazione di monte)

### Inviluppo SLU

Nr.	Y	B, H	A <sub>fs</sub>	A <sub>fi</sub>	N <sub>u</sub>	M <sub>u</sub>	CS	V <sub>Rd</sub>	V <sub>Rcd</sub>	V <sub>Rsd</sub>
1	0,00	1,00, 0,80	0,000770	0,000770	0,00	0,00	1000,00	252,06	--	--
2	0,08	1,00, 0,80	0,000770	0,000770	0,00	-225,69	1113,82	252,06	--	--
3	0,16	1,00, 0,80	0,000770	0,000770	0,00	-225,69	280,94	252,06	--	--
4	0,24	1,00, 0,80	0,000770	0,000770	0,00	-225,69	125,99	252,06	--	--
5	0,32	1,00, 0,80	0,000770	0,000770	0,00	-225,69	71,51	252,06	--	--
6	0,40	1,00, 0,80	0,000770	0,000770	0,00	-225,69	46,19	252,06	--	--
7	0,48	1,00, 0,80	0,000770	0,000770	0,00	-225,69	32,37	252,06	--	--
8	0,56	1,00, 0,80	0,000770	0,000770	0,00	-225,69	24,01	252,06	--	--
9	0,64	1,00, 0,80	0,000770	0,000770	0,00	-225,69	18,55	252,06	--	--
10	0,72	1,00, 0,80	0,000770	0,000770	0,00	-225,69	14,80	252,06	--	--
11	0,80	1,00, 0,80	0,000770	0,000770	0,00	-225,69	12,10	252,06	--	--

### Inviluppo SLE

Nr.	X	B, H	A <sub>fs</sub>	A <sub>fi</sub>	σ <sub>c</sub>	τ <sub>c</sub>	σ <sub>fi</sub>	σ <sub>fs</sub>
12	0,00	1,00, 0,80	0,000770	0,000770	0	0	0	0
13	0,08	1,00, 0,80	0,000770	0,000770	1	1	44	-6
14	0,16	1,00, 0,80	0,000770	0,000770	2	2	171	-22
15	0,24	1,00, 0,80	0,000770	0,000770	4	2	368	-48
16	0,32	1,00, 0,80	0,000770	0,000770	7	3	626	-81
17	0,40	1,00, 0,80	0,000770	0,000770	11	4	935	-121
18	0,48	1,00, 0,80	0,000770	0,000770	15	4	1282	-166
19	0,56	1,00, 0,80	0,000770	0,000770	19	4	1659	-215
20	0,64	1,00, 0,80	0,000770	0,000770	24	4	2055	-266
21	0,72	1,00, 0,80	0,000770	0,000770	29	4	2458	-318
22	0,80	1,00, 0,80	0,000770	0,000770	33	4	2859	-370

### 11.1.6 Verifiche a taglio

I risultati ottenuti dalle verifiche delle sezioni maggiormente sollecitate (a filo parete) per la struttura in esame sono riepilogati nella seguente tabella per un metro di lunghezza in direzione trasversale.

Sezione	V <sub>Ed</sub>	b	h	V <sub>Rd</sub> *	Verificato	STAFFE
[-]	[kN]	[cm]	[cm]	[kN]	[-]	
Paramento	71	100	75	302	SI	2.5Φ10/40
Fondazione	95.5	100	60	342	SI	2.5Φ12/40

## 2.1.2 PEDEMONTANA DELLE MARCHE

Secondo stralcio funzionale: Matelica Nord – Matelica Sud/Castelraimondo Nord

Opere d'arte minori: Opere di sostegno e dreni

Muri di controripa in dx in c.a. da 4+680.00 a 4+844.40

Relazione tecnica e di calcolo

Opera L073	Tratto 212	Settore E	CEE 17	WBS OS1100	Id.doc. REL	N.prog. 01	Rev. A	Pag. di Pag. 37 di 195
---------------	---------------	--------------	-----------	---------------	----------------	---------------	-----------	---------------------------

### 11.1.7 Verifica strutturale del dente di fondazione

La verifica del dente di fondazione è condotta considerando agente a valle del dente la spinta passiva secondo una distribuzione triangolare di pendenza " $\gamma K_p$ ", dove il coefficiente di spinta passiva è stato valutato secondo la formulazione di Rankine:

$$K_p = \frac{1 + \sin \varphi}{1 - \sin \varphi}$$

In tal modo si sono ottenute le seguenti sollecitazioni per metro di lunghezza:

$$V_{sd} = \frac{1}{2} \cdot \gamma \cdot K_p \cdot h_d^2 = 35,95 \text{ kN/m}$$

$$M_{sd} = \frac{1}{6} \cdot \gamma \cdot K_p \cdot h_d^3 = 14,4 \text{ kNm/m}$$

dove  $h_d$  è l'altezza del dente di fondazione pari a 120 cm.

Con queste sollecitazioni si sono effettuate le verifiche allo SLU e allo SLE ottenendo i seguenti risultati:

Geometrie				
b (cm)	H (cm)	c (cm)	d (cm)	Ac (mm <sup>2</sup> )
50	100	5	115,0	500000

Armature							
Armature taglio					Armature longitudinali .		
nb	$\varnothing$	p(cm)	Asw(mm <sup>2</sup> )	a°	n	$\varnothing$	mm <sup>2</sup>
2,5	10,0	40	196,35	90	5	14	769,7

### Verifiche allo SLU

Mx (daN*cm/cm)	My (daN*cm/cm)	N (daN/cm)	CS, Ncost
144000	0	0	18.83 > 1

V <sub>sd</sub> (KN)	V <sub>Rcd</sub> (KN)	V <sub>Rsd</sub> (KN)	V <sub>rd</sub> (KN)	c (V <sub>rd</sub> /V <sub>sd</sub> )	Esito
35.95	1159,25	194,48	194,48	5,40	Soddisfatta

### Verifiche a fessurazione

Unità di misura daN, cm

Sollecitazioni riferite al baricentro

Me	Ne	Es/Ec	Wk(mm)	Srm(mm)	fctd
135000	0	15	0	0	14.1



**QUADRILATERO**

Marche Umbria S.p.A.

## 2.1.2 PEDEMONTANA DELLE MARCHE

**Secondo stralcio funzionale: Matelica Nord – Matelica Sud/Castelraimondo Nord**

Opere d'arte minori: Opere di sostegno e dreni

Muri di controripa in dx in c.a. da 4+680.00 a 4+844.40

Relazione tecnica e di calcolo

Opera L073	Tratto 212	Settore E	CEE 17	WBS OS1100	Id.doc. REL	N. prog. 01	Rev. A	Pag. di Pag. 38 di 195
---------------	---------------	--------------	-----------	---------------	----------------	----------------	-----------	---------------------------

## 2.1.2 PEDEMONTANA DELLE MARCHE

Secondo stralcio funzionale: Matelica Nord – Matelica Sud/Castelraimondo Nord

Opere d'arte minori: Opere di sostegno e dreni

Muri di controripa in dx in c.a. da 4+680.00 a 4+844.40

Relazione tecnica e di calcolo

Opera L073	Tratto 212	Settore E	CEE 17	WBS OS1100	Id.doc. REL	N.prog. 01	Rev. A	Pag. di Pag. 39 di 195
---------------	---------------	--------------	-----------	---------------	----------------	---------------	-----------	---------------------------

## 11.2 RISULTATI ANALISI E VERIFICHE MURI DI TIPO 2

### 11.2.1 Modello di calcolo

Le sollecitazioni provenienti dal muro vengono ripartite sui pali restituendo le sollecitazioni nei pali in termini di Taglio, Momento e sforzo normale. Gli scarichi sui pali vengono determinati mediante il metodo delle rigidezze. La piastra di fondazione viene considerata infinitamente rigida (3 gradi di libertà) ed i pali vengono considerati incastrati o incernierati a tale piastra.

Viene effettuata una prima analisi di ogni palo di ciascuna fila (i pali di ogni fila hanno le stesse caratteristiche) per costruire una curva carichi-spostamenti del palo. Questa curva viene costruita considerando il palo elastico. Si tratta, in definitiva, della matrice di rigidezza del palo  $K_e$ , costruita imponendo traslazioni e rotazioni unitarie per determinare le corrispondenti sollecitazioni in testa al palo. Nota la matrice di rigidezza di ogni palo si assembla la matrice globale (di dimensioni  $3 \times 3$ ) della palificata,  $K$ . A questo punto, note le forze agenti in fondazione (N, T, M) si possono ricavare gli spostamenti della piastra (abbassamento, traslazione e rotazione) e le forze che si scaricano su ciascun palo. Infatti indicando con  $p$  il vettore dei carichi e con  $u$  il vettore degli spostamenti della piastra abbiamo:

$$u = K^{-1}p$$

Noti gli spostamenti della piastra, e quindi della testa dei pali, abbiamo gli scarichi su ciascun palo. Allora per ciascun palo viene effettuata un'analisi elastoplastica incrementale (tramite il metodo degli elementi finiti) che, tenendo conto della plasticizzazione del terreno, calcola le sollecitazioni in tutte le sezioni del palo., le caratteristiche del terreno (rappresentate da  $K_h$ ) sono tali che se non è possibile raggiungere l'equilibrio si ha collasso per rottura del terreno. In tale analisi i pali sono considerati incastrati alla fondazione di base. Di seguito si riportano i principali risultati delle analisi svolte sul muro su pali. Per ulteriori dettagli si ribanda ai tabulati in allegato.

Si riportano di seguito in forma tabellare i valori delle spinte di natura statica e sismica per le combinazioni analizzate, gli involuipi delle sollecitazioni nel muro, sulla fondazione e nei pali.

## 2.1.2 PEDEMONTANA DELLE MARCHE

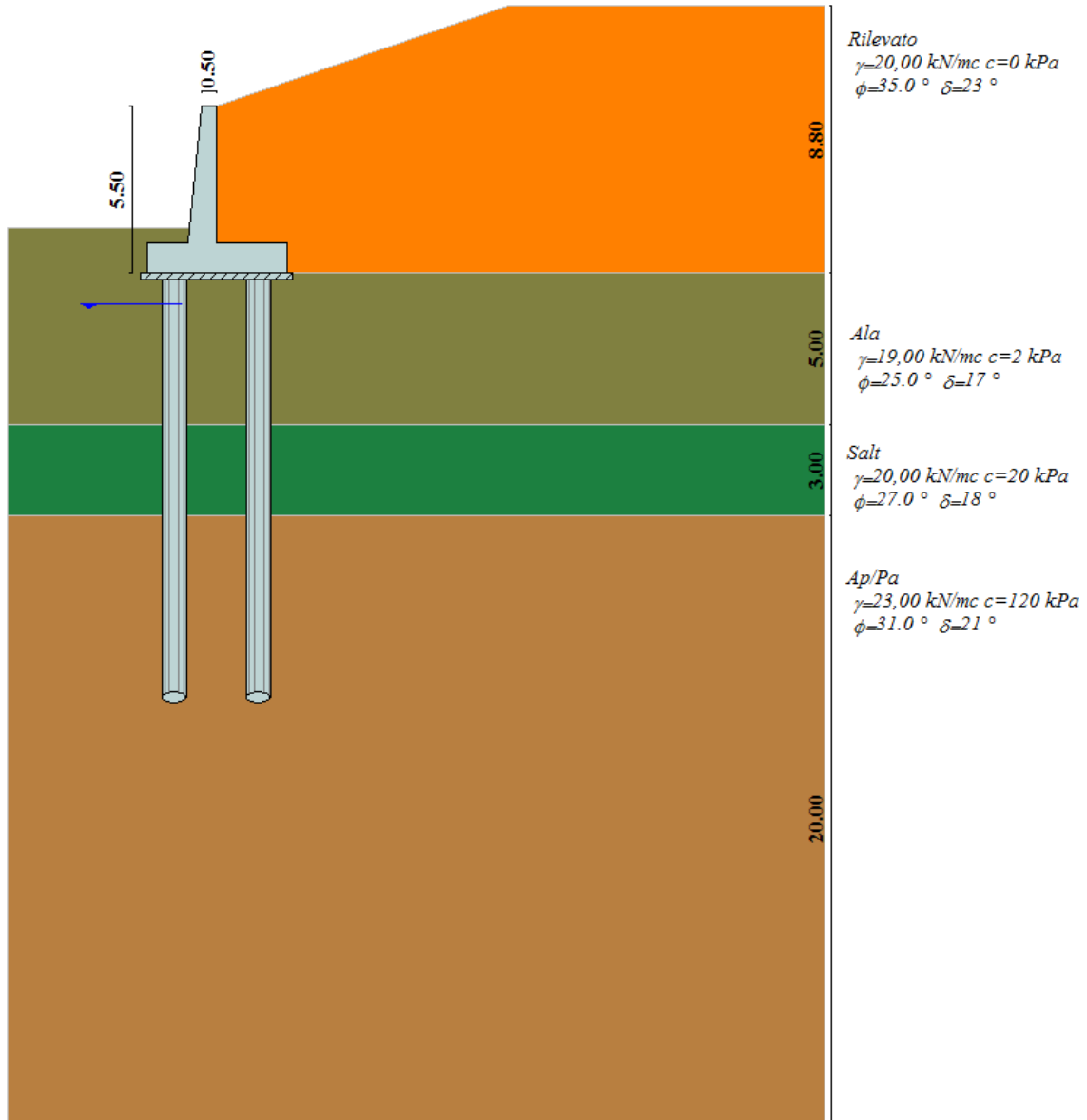
Secondo stralcio funzionale: Matelica Nord – Matelica Sud/Castelraimondo Nord

Opere d'arte minori: Opere di sostegno e dreni

Muri di controripa in dx in c.a. da 4+680.00 a 4+844.40

Relazione tecnica e di calcolo

Opera L073	Tratto 212	Settore E	CEE 17	WBS OS1100	Id.doc. REL	N. prog. 01	Rev. A	Pag. di Pag. 40 di 195
---------------	---------------	--------------	-----------	---------------	----------------	----------------	-----------	---------------------------



Modello di calcolo muro su PALI



## 2.1.2 PEDEMONTANA DELLE MARCHE

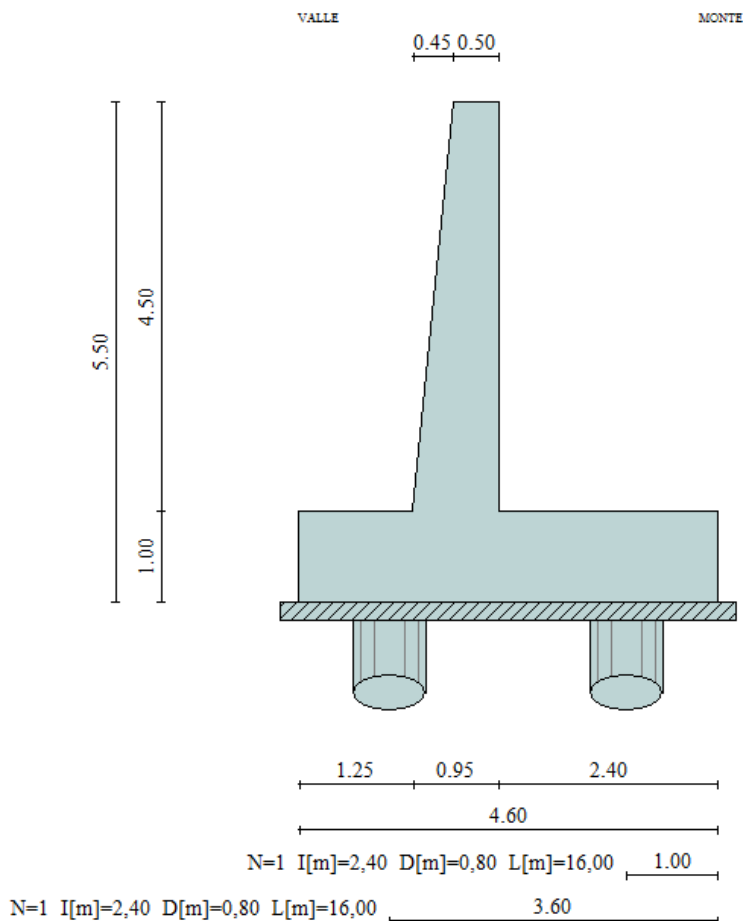
Secondo stralcio funzionale: Matelica Nord – Matelica Sud/Castelraimondo Nord

Opere d'arte minori: Opere di sostegno e dreni

Muri di controripa in dx in c.a. da 4+680.00 a 4+844.40

Relazione tecnica e di calcolo

Opera L073	Tratto 212	Settore E	CEE 17	WBS OS1100	Id.doc. REL	N.prog. 01	Rev. A	Pag. di Pag. 41 di 195
---------------	---------------	--------------	-----------	---------------	----------------	---------------	-----------	---------------------------



Geometria muro

Comb.	Tipo comb.	Sisma	FS (ribalt)	FS (scorr)	FS (qult)	FS (stab)	Spinta[kN]	Incr. sism.[kN]
1	A1-M1 - [1]	--	--	--	--	--	317,1581	0,0000
2	A1-M1 - [2]	--	--	--	--	--	328,0107	0,0000
3	A1-M1 - [3]	SismaH + SismaV positivo	--	--	--	--	243,9677	253,9174
4	A1-M1 - [3]	SismaH + SismaV negativo	--	--	--	--	243,9677	215,3830
5	A1-M1 - [4]	SismaH + SismaV positivo	--	--	--	--	243,9677	253,9174
6	SLEQ - [1]	--	--	--	--	--	243,9677	0,0000
7	SLEF - [1]	--	--	--	--	--	247,3666	0,0000
8	SLER - [1]	--	--	--	--	--	250,2619	0,0000

Azioni risultanti sul muro

## 2.1.2 PEDEMONTANA DELLE MARCHE

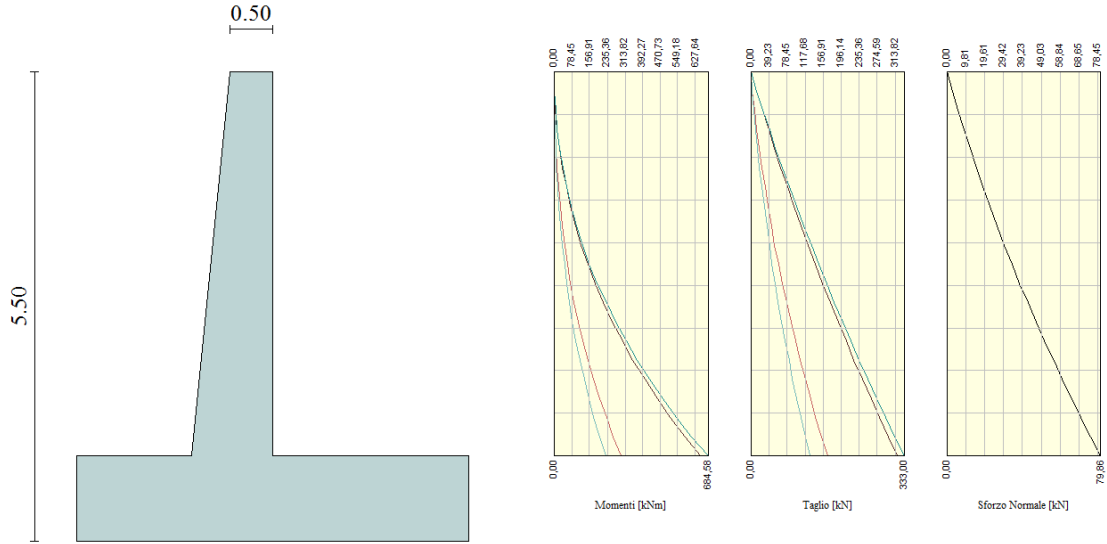
Secondo stralcio funzionale: Matelica Nord – Matelica Sud/Castelraimondo Nord

Opere d'arte minori: Opere di sostegno e dreni

Muri di controripa in dx in c.a. da 4+680.00 a 4+844.40

Relazione tecnica e di calcolo

Opera L073	Tratto 212	Settore E	CEE 17	WBS OS1100	Id.doc. REL	N. prog. 01	Rev. A	Pag. di Pag. 42 di 195
---------------	---------------	--------------	-----------	---------------	----------------	----------------	-----------	---------------------------



Inviluppo sollecitazioni sul muro

## 2.1.2 PEDEMONTANA DELLE MARCHE

Secondo stralcio funzionale: Matelica Nord – Matelica Sud/Castelraimondo Nord

Opere d'arte minori: Opere di sostegno e dreni

Muri di controripa in dx in c.a. da 4+680.00 a 4+844.40

Relazione tecnica e di calcolo

Opera L073	Tratto 212	Settore E	CEE 17	WBS OS1100	Id.doc. REL	N. prog. 01	Rev. A	Pag. di Pag. 43 di 195
---------------	---------------	--------------	-----------	---------------	----------------	----------------	-----------	---------------------------

### 11.2.2 Verifiche strutturali

Nella tabella seguente si riportano le armature di progetto previste per la sezione di calcolo in questione, come desumibili dagli elaborati grafici di armatura delle opere relative:

Elemento	Armatura a flessione		Elemento	Armatura a flessione	
	Lato monte	Lato valle		Lato inferiore	Lato superiore
PARAMENTO	1φ22/20	1φ18/20	FONDAZIONE	1φ22/20	1φ22/10

Ai fini delle verifiche si è fatto riferimento per la parte in elevazione (paramento e fondazione muro) ad un copriferro di calcolo (asse armature) pari a 4 cm, mentre per i pali si è assunto un copriferro di calcolo pari a 7 cm.

### Verifiche strutturali per paramento e fondazione

Di seguito si riporta l'inviluppo delle sollecitazioni nel paramento e nella fondazione ed i risultati delle verifiche strutturali.

#### Inviluppo Sollecitazioni paramento

##### Inviluppo combinazioni SLU

Nr.	Y	Nmin	Nmax	Mmin	Mmax	Tmin	Tmax
1	0,00	0,0000	0,0000	0,0000	0,0000	0,0000	0,0000
2	0,23	2,8199	2,8199	0,4254	1,4453	3,9994	13,0519
3	0,45	5,7633	5,7633	1,7706	5,8384	8,4629	26,4910
4	0,68	8,8301	8,8301	4,1374	13,2643	13,3806	40,3099
5	0,90	12,0205	12,0205	7,6263	23,8067	18,7503	54,5067
6	1,13	15,3343	15,3343	12,3376	37,5493	24,5719	69,0815
7	1,35	18,7716	18,7716	18,3715	54,5756	30,8455	84,0342
8	1,57	22,3323	22,3323	25,8283	74,9694	37,5709	99,3648
9	1,80	26,0166	26,0166	34,8084	98,8143	44,7483	115,0734
10	2,02	29,8243	29,8243	45,4120	126,1938	52,3777	131,1600
11	2,25	33,7555	33,7555	57,7394	157,1918	60,4589	147,6244
12	2,48	37,8101	37,8101	71,8909	191,8917	68,9921	164,4669
13	2,70	41,9883	41,9883	87,9668	230,3772	77,9772	181,6872
14	2,93	46,2899	46,2899	106,0673	272,7321	87,4142	199,2855
15	3,15	50,7150	50,7150	126,2928	319,0398	97,3032	217,2618
16	3,38	55,2636	55,2636	148,7436	369,3842	107,6441	235,6160
17	3,60	59,9356	59,9356	173,5199	423,8487	118,4369	254,3481
18	3,83	64,7312	64,7312	200,7220	482,5170	129,6817	273,4582
19	4,05	69,6502	69,6502	230,4502	545,4729	141,3783	292,9462
20	4,28	74,6927	74,6927	262,8048	612,7999	153,5270	312,8122
21	4,50	79,8586	79,8586	297,8818	684,5783	166,0552	333,0005

##### Inviluppo combinazioni SLE

Nr.	Y	Nmin	Nmax	Mmin	Mmax	Tmin	Tmax
1	0,00	0,0000	0,0000	0,0000	0,0000	0,0000	0,0000
2	0,23	2,8199	2,8199	0,3236	0,3236	3,0765	3,0765
3	0,45	5,7633	5,7633	1,3472	1,3472	6,5099	6,5099
4	0,68	8,8301	8,8301	3,1489	3,1489	10,2928	10,2928
5	0,90	12,0205	12,0205	5,8056	5,8056	14,4233	14,4233
6	1,13	15,3343	15,3343	9,3941	9,3941	18,9015	18,9015
7	1,35	18,7716	18,7716	13,9912	13,9912	23,7273	23,7273
8	1,57	22,3323	22,3323	19,6738	19,6738	28,9007	28,9007
9	1,80	26,0166	26,0166	26,5187	26,5187	34,4218	34,4218

## 2.1.2 PEDEMONTANA DELLE MARCHE

Secondo stralcio funzionale: Matelica Nord – Matelica Sud/Castelraimondo Nord

Opere d'arte minori: Opere di sostegno e dreni

Muri di controripa in dx in c.a. da 4+680.00 a 4+844.40

Relazione tecnica e di calcolo

Opera L073	Tratto 212	Settore E	CEE 17	WBS OS1100	Id.doc. REL	N. prog. 01	Rev. A	Pag. di Pag. 44 di 195
---------------	---------------	--------------	-----------	---------------	----------------	----------------	-----------	---------------------------

10	2,02	29,8243	29,8243	34,6028	34,6028	40,2905	40,2905
11	2,25	33,7555	33,7555	44,0027	44,0027	46,5069	46,5069
12	2,48	37,8101	37,8101	54,7954	54,7954	53,0708	53,0708
13	2,70	41,9883	41,9883	67,0577	67,0577	59,9825	59,9825
14	2,93	46,2899	46,2899	80,8664	80,8664	67,2417	67,2417
15	3,15	50,7150	50,7150	96,2983	96,2983	74,8486	74,8486
16	3,38	55,2636	55,2636	113,4303	113,4303	82,8032	82,8032
17	3,60	59,9356	59,9356	132,3391	132,3391	91,1053	91,1053
18	3,83	64,7312	64,7312	153,1016	153,1016	99,7551	99,7551
19	4,05	69,6502	69,6502	175,7946	175,7946	108,7526	108,7526
20	4,28	74,6927	74,6927	200,4950	200,4950	118,0977	118,0977
21	4,50	79,8586	79,8586	227,2762	227,2762	127,7348	127,7348

### Inviluppo armature e tensioni nei materiali del muro

L'ordinata Y (espressa in [m]) è considerata positiva verso il basso con origine in testa al muro

B	base della sezione espressa in [m]
H	altezza della sezione espressa in [m]
A <sub>fs</sub>	area di armatura in corrispondenza del lembo di monte in [mq]
A <sub>fi</sub>	area di armatura in corrispondenza del lembo di valle in [mq]
σ <sub>c</sub>	tensione nel calcestruzzo espressa in [kPa]
τ <sub>c</sub>	tensione tangenziale nel calcestruzzo espressa in [kPa]
σ <sub>fs</sub>	tensione nell'armatura disposta sul lembo di monte in [kPa]
σ <sub>fi</sub>	tensione nell'armatura disposta sul lembo di valle in [kPa]
N <sub>u</sub>	sforzo normale ultimo espresso in [kN]
M <sub>u</sub>	momento ultimo espresso in [kNm]
CS	coefficiente sicurezza sezione
VRd	Resistenza al taglio, espresso in [kN]

#### Inviluppo SLU

Nr.	Y	B, H	A <sub>fs</sub>	A <sub>fi</sub>	N <sub>u</sub>	M <sub>u</sub>	CS	V <sub>Rd</sub>	V <sub>Rcd</sub>	V <sub>Rsd</sub>
1	0,00	1,00, 0,50	0,000000	0,001272	0,00	0,00	1000,00	173,53	--	--
2	0,23	1,00, 0,52	0,001901	0,001272	1083,09	-555,12	384,09	205,59	--	--
3	0,45	1,00, 0,54	0,001901	0,001272	444,77	-450,57	77,17	210,46	--	--
4	0,68	1,00, 0,57	0,001901	0,001272	290,65	-436,60	32,92	215,26	--	--
5	0,90	1,00, 0,59	0,001901	0,001272	222,05	-439,77	18,47	220,02	--	--
6	1,13	1,00, 0,61	0,001901	0,001272	183,33	-448,92	11,96	224,72	--	--
7	1,35	1,00, 0,63	0,001901	0,001272	158,52	-460,87	8,44	229,38	--	--
8	1,57	1,00, 0,66	0,001901	0,001272	141,30	-474,35	6,33	233,99	--	--
9	1,80	1,00, 0,68	0,001901	0,001272	128,68	-488,76	4,95	238,56	--	--
10	2,02	1,00, 0,70	0,001901	0,001272	119,06	-503,77	3,99	243,10	--	--
11	2,25	1,00, 0,72	0,001901	0,001272	111,49	-519,20	3,30	247,61	--	--
12	2,48	1,00, 0,75	0,001901	0,001272	105,40	-534,94	2,79	252,08	--	--
13	2,70	1,00, 0,77	0,001901	0,001272	100,40	-550,89	2,39	256,52	--	--
14	2,93	1,00, 0,79	0,001901	0,001272	96,24	-567,02	2,08	260,94	--	--
15	3,15	1,00, 0,81	0,001901	0,001272	92,72	-583,29	1,83	265,33	--	--
16	3,38	1,00, 0,84	0,001901	0,001272	89,72	-599,66	1,62	269,70	--	--
17	3,60	1,00, 0,86	0,001901	0,001272	87,13	-616,13	1,45	274,04	--	--
18	3,83	1,00, 0,88	0,000000	0,001272	0,22	-1,66	0,00	278,77	--	--
19	4,05	1,00, 0,90	0,001901	0,001272	82,90	-649,26	1,19	284,90	--	--
20	4,28	1,00, 0,93	0,001901	0,001272	81,17	-665,91	1,09	291,03	--	--
21	4,50	1,00, 0,95	0,001901	0,001272	79,63	-682,61	1,00	297,16	--	--

#### Inviluppo SLE

Nr.	Y	B, H	A <sub>fs</sub>	A <sub>fi</sub>	σ <sub>c</sub>	τ <sub>c</sub>	σ <sub>fs</sub>	σ <sub>fi</sub>
1	0,00	1,00, 0,50	0,000000	0,001272	0	0	0	0
2	0,23	1,00, 0,52	0,001901	0,001272	11	8	6	-155
3	0,45	1,00, 0,54	0,001901	0,001272	39	15	406	-511

## 2.1.2 PEDEMONTANA DELLE MARCHE

Secondo stralcio funzionale: Matelica Nord – Matelica Sud/Castelraimondo Nord

Opere d'arte minori: Opere di sostegno e dreni

Muri di controripa in dx in c.a. da 4+680.00 a 4+844.40

Relazione tecnica e di calcolo

Opera L073	Tratto 212	Settore E	CEE 17	WBS OS1100	Id.doc. REL	N. prog. 01	Rev. A	Pag. di Pag. 45 di 195
---------------	---------------	--------------	-----------	---------------	----------------	----------------	-----------	---------------------------

4	0,68	1,00, 0,57	0,001901	0,001272	86	23	1529	-1075
5	0,90	1,00, 0,59	0,001901	0,001272	148	31	3373	-1811
6	1,13	1,00, 0,61	0,001901	0,001272	223	39	5915	-2705
7	1,35	1,00, 0,63	0,001901	0,001272	312	47	9138	-3746
8	1,57	1,00, 0,66	0,001901	0,001272	412	55	13031	-4929
9	1,80	1,00, 0,68	0,001901	0,001272	522	63	17585	-6246
10	2,02	1,00, 0,70	0,001901	0,001272	643	72	22793	-7691
11	2,25	1,00, 0,72	0,001901	0,001272	774	80	28647	-9259
12	2,48	1,00, 0,75	0,001901	0,001272	914	88	35143	-10946
13	2,70	1,00, 0,77	0,001901	0,001272	1063	97	42276	-12747
14	2,93	1,00, 0,79	0,001901	0,001272	1220	105	50041	-14658
15	3,15	1,00, 0,81	0,001901	0,001272	1384	114	58434	-16676
16	3,38	1,00, 0,84	0,001901	0,001272	1557	122	67453	-18797
17	3,60	1,00, 0,86	0,001901	0,001272	1737	131	77093	-21017
18	3,83	1,00, 0,88	0,000000	0,001272	325936	139	0	3088858
19	4,05	1,00, 0,90	0,001901	0,001272	2118	148	98228	-25747
20	4,28	1,00, 0,93	0,001901	0,001272	2318	157	109719	-28251
21	4,50	1,00, 0,95	0,001901	0,001272	2525	165	121820	-30843

### Inviluppo armature e tensioni nei materiali della fondazione

#### Fondazione di valle

(L'ascissa X, espressa in [m], è positiva verso monte con origine in corrispondenza dell'estremo libero della fondazione di valle)

#### Inviluppo SLU

Nr.	Y	B, H	A <sub>fs</sub>	A <sub>fi</sub>	N <sub>u</sub>	M <sub>u</sub>	CS	V <sub>Rd</sub>	V <sub>Rcd</sub>	V <sub>Rsd</sub>
1	0,00	1,00, 1,00	0,000000	0,000000	0,00	0,00	0,00	297,79	--	--
2	0,15	1,00, 1,00	0,000000	0,000000	0,00	0,00	0,00	297,79	--	--
3	0,30	1,00, 1,00	0,003801	0,001901	0,00	-1360,65	57,03	362,37	--	--
4	0,45	1,00, 1,00	0,003801	0,001901	0,00	-1360,65	26,74	362,37	--	--
5	0,60	1,00, 1,00	0,003801	0,001901	0,00	-1360,65	14,34	362,37	--	--
6	0,73	1,00, 1,00	0,003801	0,001901	0,00	-1360,65	9,18	362,37	--	--
7	0,87	1,00, 1,00	0,003801	0,001901	0,00	-1360,65	6,40	362,37	--	--
8	1,00	1,00, 1,00	0,003801	0,001901	0,00	689,50	4,84	362,37	--	--
9	1,17	1,00, 1,00	0,003801	0,001901	0,00	689,50	2,39	362,37	--	--
10	1,35	1,00, 1,00	0,003801	0,001901	0,00	689,50	1,03	362,37	--	--

#### Inviluppo SLE

Nr.	X	B, H	A <sub>fs</sub>	A <sub>fi</sub>	σ <sub>c</sub>	τ <sub>c</sub>	σ <sub>fi</sub>	σ <sub>fs</sub>
11	0,00	1,00, 1,00	0,000000	0,000000	0	4	0	0
12	0,15	1,00, 1,00	0,000000	0,000000	0	10	0	0
13	0,30	1,00, 1,00	0,003801	0,001901	40	23	2731	1016
14	0,45	1,00, 1,00	0,003801	0,001901	84	40	5774	2402
15	0,60	1,00, 1,00	0,003801	0,001901	201	69	10826	8130
16	0,73	1,00, 1,00	0,003801	0,001901	257	95	17001	10423
17	0,87	1,00, 1,00	0,003801	0,001901	357	215	24454	5532
18	1,00	1,00, 1,00	0,003801	0,001901	472	327	32323	-5442
19	1,17	1,00, 1,00	0,003801	0,001901	994	489	68019	-11452
20	1,35	1,00, 1,00	0,003801	0,001901	2478	714	169594	-28553

#### Fondazione di monte

(L'ascissa X, espressa in [m], è positiva verso valle con origine in corrispondenza dell'estremo libero della fondazione di monte)

#### Inviluppo SLU

Nr.	Y	B, H	A <sub>fs</sub>	A <sub>fi</sub>	N <sub>u</sub>	M <sub>u</sub>	CS	V <sub>Rd</sub>	V <sub>Rcd</sub>	V <sub>Rsd</sub>
1	0,00	1,00, 1,00	0,000000	0,000000	0,00	0,00	0,00	297,79	--	--
2	0,15	1,00, 1,00	0,000000	0,000000	0,00	0,00	0,00	297,79	--	--

## 2.1.2 PEDEMONTANA DELLE MARCHE

Secondo stralcio funzionale: Matelica Nord – Matelica Sud/Castelraimondo Nord

Opere d'arte minori: Opere di sostegno e dreni

Muri di controripa in dx in c.a. da 4+680.00 a 4+844.40

Relazione tecnica e di calcolo

Opera L073	Tratto 212	Settore E	CEE 17	WBS OS1100	Id.doc. REL	N. prog. 01	Rev. A	Pag. di Pag. 46 di 195
---------------	---------------	--------------	-----------	---------------	----------------	----------------	-----------	---------------------------

3	0,30	1,00, 1,00	0,003801	0,001901	0,00	-1360,65	97,06	362,37	--	--
4	0,45	1,00, 1,00	0,003801	0,001901	0,00	-1360,65	75,98	362,37	--	--
5	0,60	1,00, 1,00	0,003801	0,001901	0,00	-1360,65	32,16	362,37	--	--
6	0,73	1,00, 1,00	0,003801	0,001901	0,00	-1360,65	18,51	362,37	--	--
7	0,87	1,00, 1,00	0,003801	0,001901	0,00	-1360,65	11,92	362,37	--	--
8	1,00	1,00, 1,00	0,003801	0,001901	0,00	-1360,65	8,25	362,37	--	--
9	1,13	1,00, 1,00	0,003801	0,001901	0,00	-1360,65	6,02	362,37	--	--
10	1,27	1,00, 1,00	0,003801	0,001901	0,00	-1360,65	4,58	362,37	--	--
11	1,40	1,00, 1,00	0,003801	0,001901	0,00	-1360,65	3,61	297,79	--	--
12	1,55	1,00, 1,00	0,003801	0,001901	0,00	-1360,65	2,86	297,79	--	--
13	1,70	1,00, 1,00	0,003801	0,001901	0,00	-1360,65	2,28	362,37	--	--
14	1,85	1,00, 1,00	0,003801	0,001901	0,00	-1360,65	1,88	362,37	--	--
15	2,00	1,00, 1,00	0,003801	0,001901	0,00	-1360,65	1,59	362,37	--	--
16	2,15	1,00, 1,00	0,003801	0,001901	0,00	-1360,65	1,37	362,37	--	--
17	2,30	1,00, 1,00	0,003801	0,001901	0,00	-1360,65	1,18	362,37	--	--

Inviluppo SLE

Nr.	X	B, H	A <sub>fs</sub>	A <sub>fi</sub>	σ <sub>c</sub>	τ <sub>c</sub>	σ <sub>fi</sub>	σ <sub>fs</sub>
18	0,00	1,00, 1,00	0,000000	0,000000	0	0	0	0
19	0,15	1,00, 1,00	0,000000	0,000000	0	0	0	0
20	0,30	1,00, 1,00	0,003801	0,001901	45	0	-568	1813
21	0,45	1,00, 1,00	0,003801	0,001901	100	0	-1274	4065
22	0,60	1,00, 1,00	0,003801	0,001901	182	0	-2308	7365
23	0,73	1,00, 1,00	0,003801	0,001901	274	0	-3477	11093
24	0,87	1,00, 1,00	0,003801	0,001901	385	0	-4883	15578
25	1,00	1,00, 1,00	0,003801	0,001901	514	0	-6525	20819
26	1,13	1,00, 1,00	0,003801	0,001901	662	0	-8404	26812
27	1,27	1,00, 1,00	0,003801	0,001901	829	0	-10514	33545
28	1,40	1,00, 1,00	0,003801	0,001901	1013	0	-12850	41000
29	1,55	1,00, 1,00	0,003801	0,001901	1240	0	-15740	50218
30	1,70	1,00, 1,00	0,003801	0,001901	1493	0	-18942	60436
31	1,85	1,00, 1,00	0,003801	0,001901	1767	0	-22416	71520
32	2,00	1,00, 1,00	0,003801	0,001901	2061	0	-26151	83436
33	2,15	1,00, 1,00	0,003801	0,001901	2376	0	-30150	96196
34	2,30	1,00, 1,00	0,003801	0,001901	2713	0	-34426	109838

L'ordinata Y (espressa in [m]) è considerata positiva verso il basso con origine in testa al muro

A<sub>fs</sub> area di armatura in corrispondenza del lembo di monte in [mq]

A<sub>fi</sub> area di armatura in corrispondenza del lembo di valle in [mq]

M<sub>pf</sub> Momento di prima fessurazione espressa in [kNm]

M Momento agente nella sezione espressa in [kNm]

ε<sub>m</sub> deformazione media espressa in [%]

S<sub>m</sub> Distanza media tra le fessure espressa in [mm]

w Apertura media della fessura espressa in [mm]

### Verifica fessurazione paramento

N°	Y	A <sub>fs</sub>	A <sub>fi</sub>	M <sub>pf</sub>	M	ε <sub>m</sub>	S <sub>m</sub>	w
1	0,00	0,000000	0,001272	-59,91	0,00	0,0000	0,00	0,000
2	0,23	0,001901	0,001272	71,94	0,00	0,0000	0,00	0,000
3	0,45	0,001901	0,001272	-80,49	-0,04	0,0000	0,00	0,000
4	0,68	0,001901	0,001272	-86,94	-0,21	0,0000	0,00	0,000
5	0,90	0,001901	0,001272	-93,62	-0,57	0,0000	0,00	0,000
6	1,13	0,001901	0,001272	-100,54	-1,21	0,0000	0,00	0,000
7	1,35	0,001901	0,001272	-107,70	-2,21	0,0000	0,00	0,000
8	1,57	0,001901	0,001272	-115,10	-3,63	0,0000	0,00	0,000
9	1,80	0,001901	0,001272	-122,74	-5,56	0,0000	0,00	0,000
10	2,02	0,001901	0,001272	-130,61	-8,08	0,0000	0,00	0,000
11	2,25	0,001901	0,001272	-138,72	-11,25	0,0000	0,00	0,000
12	2,48	0,001901	0,001272	-147,07	-15,16	0,0000	0,00	0,000
13	2,70	0,001901	0,001272	-155,65	-19,89	0,0000	0,00	0,000
14	2,93	0,001901	0,001272	-164,48	-25,50	0,0000	0,00	0,000
15	3,15	0,001901	0,001272	-173,54	-32,09	0,0000	0,00	0,000
16	3,38	0,001901	0,001272	-182,84	-39,72	0,0000	0,00	0,000

## 2.1.2 PEDEMONTANA DELLE MARCHE

Secondo stralcio funzionale: Matelica Nord – Matelica Sud/Castelraimondo Nord

Opere d'arte minori: Opere di sostegno e dreni

Muri di controripa in dx in c.a. da 4+680.00 a 4+844.40

Relazione tecnica e di calcolo

Opera L073	Tratto 212	Settore E	CEE 17	WBS OS1100	Id.doc. REL	N. prog. 01	Rev. A	Pag. di Pag. 47 di 195
---------------	---------------	--------------	-----------	---------------	----------------	----------------	-----------	---------------------------

17	3,60	0,001901	0,001272	-192,37	-48,47	0,0000	0,00	0,000
18	3,83	0,000000	0,001272	-185,48	-58,41	0,0000	0,00	0,000
19	4,05	0,001901	0,001272	-212,16	-69,64	0,0000	0,00	0,000
20	4,28	0,001901	0,001272	-222,41	-82,21	0,0000	0,00	0,000
21	4,50	0,001901	0,001272	-232,89	-96,21	0,0000	0,00	0,000

### Verifica fessurazione fondazione

N°	Y	A <sub>fs</sub>	A <sub>fi</sub>	M <sub>pf</sub>	M	ε <sub>m</sub>	S <sub>m</sub>	w
1	-2,30	0,000000	0,000000	235,31	0,11	0,0000	0,00	0,000
2	-2,15	0,000000	0,000000	-235,31	-1,32	0,0000	0,00	0,000
3	-2,00	0,003801	0,001901	-278,23	-2,45	0,0000	0,00	0,000
4	-1,85	0,003801	0,001901	-278,23	-5,77	0,0000	0,00	0,000
5	-1,70	0,003801	0,001901	-278,23	-17,97	0,0000	0,00	0,000
6	-1,57	0,003801	0,001901	-278,23	-23,43	0,0000	0,00	0,000
7	-1,43	0,003801	0,001901	263,35	21,44	0,0000	0,00	0,000
8	-1,30	0,003801	0,001901	263,35	28,31	0,0000	0,00	0,000
9	-1,12	0,003801	0,001901	263,35	63,12	0,0000	0,00	0,000
10	-0,95	0,003801	0,001901	263,35	165,38	0,0000	0,00	0,000
11	0,00	0,003801	0,001901	-278,23	-164,75	0,0000	0,00	0,000
12	0,15	0,003801	0,001901	-278,23	-126,47	0,0000	0,00	0,000
13	0,30	0,003801	0,001901	-278,23	-103,95	0,0000	0,00	0,000
14	0,45	0,003801	0,001901	-278,23	-87,71	0,0000	0,00	0,000
15	0,60	0,003801	0,001901	-278,23	-75,30	0,0000	0,00	0,000
16	0,75	0,003801	0,001901	-278,23	-67,66	0,0000	0,00	0,000
17	0,90	0,003801	0,001901	-278,23	-68,22	0,0000	0,00	0,000
18	1,03	0,003801	0,001901	-278,23	-69,67	0,0000	0,00	0,000
19	1,17	0,003801	0,001901	-278,23	-67,08	0,0000	0,00	0,000
20	1,30	0,003801	0,001901	-278,23	-61,61	0,0000	0,00	0,000
21	1,43	0,003801	0,001901	-278,23	-53,68	0,0000	0,00	0,000
22	1,57	0,003801	0,001901	-278,23	-42,97	0,0000	0,00	0,000
23	1,70	0,003801	0,001901	-278,23	-28,50	0,0000	0,00	0,000
24	1,85	0,003801	0,001901	-278,23	-14,40	0,0000	0,00	0,000
25	2,00	0,003801	0,001901	-278,23	-7,17	0,0000	0,00	0,000
26	2,15	0,000000	0,000000	-235,31	-2,65	0,0000	0,00	0,000
27	2,30	0,000000	0,000000	235,31	0,28	0,0000	0,00	0,000

### VERIFICHE A TAGLIO

I risultati ottenuti dalle verifiche delle sezioni maggiormente sollecitate per la struttura in esame sono riepilogati nella seguente tabella.

Verifica a taglio (per metro lineare di sviluppo longitudinale)						
Sezione	V <sub>Ed</sub>	b	h	V <sub>Rd</sub>	ESITO	Armatura a taglio
[-]	[kN]	[cm]	[cm]	[kN]	[-]	[-]
Paramento	333	100	95	388	verificato	Spilli Φ12/40x40
Fondazione	502	100	100	737	verificato	Φ18/20

### VERIFICHE STRUTTURALI PALI DI FONDAZIONE

Per i pali di fondazione si prevedono le seguenti armature:

- Gabbia superiore 26φ24 e staffa a spirale φ16/20
- Gabbia inferiore 18φ20 e staffa a spirale φ14/20

Si riportano i risultati in termini di sollecitazione sul palo e verifiche a flessione e taglio:

## 2.1.2 PEDEMONTANA DELLE MARCHE

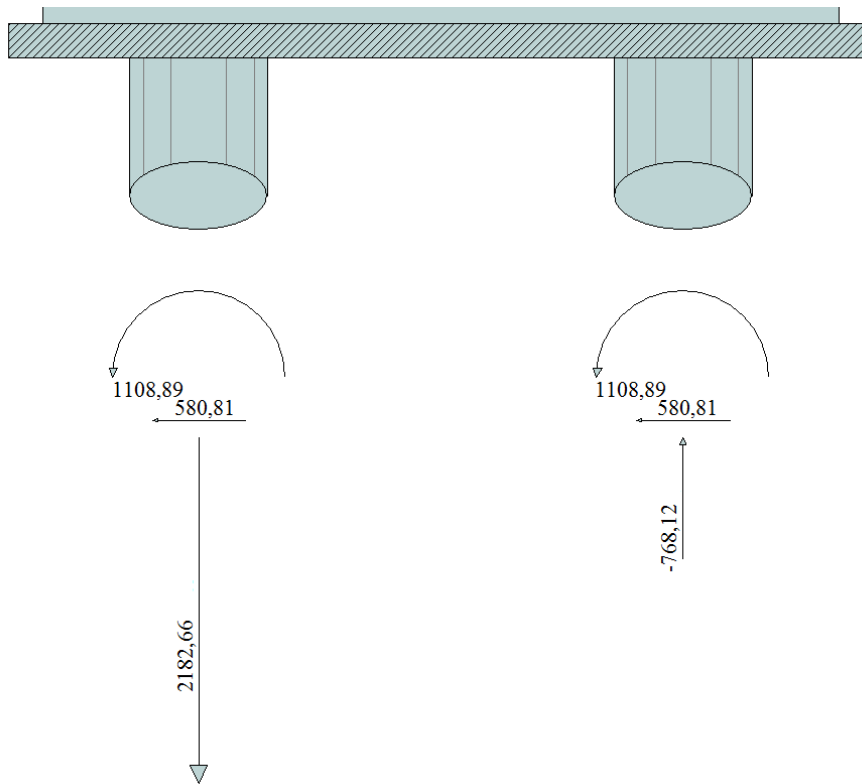
Secondo stralcio funzionale: Matelica Nord – Matelica Sud/Castelraimondo Nord

Opere d'arte minori: Opere di sostegno e dreni

Muri di controripa in dx in c.a. da 4+680.00 a 4+844.40

Relazione tecnica e di calcolo

Opera L073	Tratto 212	Settore E	CEE 17	WBS OS1100	Id.doc. REL	N.prog. 01	Rev. A	Pag. di Pag. 48 di 195
---------------	---------------	--------------	-----------	---------------	----------------	---------------	-----------	---------------------------



Sollecitazioni massime testa palo – SLU

Verifica a pressoflessione - SLU		
$M_{Ed,Max}$	$M_{Rd}$	c.s. Flessione
[kNm]	[kNm]	[-]
1109	1142	1.03

Verifica a taglio - SLU		
$V_{Ed,Max}$	$V_{Rd}$	c.s. Taglio
[kNm]	[kNm]	[-]
580	670	1.16

Verifica tensionale - SLE		
Combo Rara		
$M_{Ed,Max}$	$\sigma_{c,MAX}$	$\sigma_{s,MIN}$
[kNm]	[MPa]	[MPa]
423	8.3	-160

Verifica a fessurazione - SLE			
Combo QP		Combo F	
$M_{Ed,Max}$	w	$M_{Ed,Max}$	w
[kNm]	[mm]	[kNm]	[mm]
390	0.17	412	0.19

### 11.2.3 Verifiche capacità portante

Nel seguito si riportano i risultati riguardanti la valutazione della lunghezza minima dei pali necessaria al soddisfacimento delle verifiche di capacità portante. In particolare da un confronto tra i valori massimi degli sforzi normali massimi attesi e le curve di capacità portante presentate nella "Relazione geotecnica generale sulle opere all'aperto" – L0703212E02GE0001REL01, con riferimento ai pali di diametro D800 si è ottenuto

$N_{Ed,Max} = 2183$  kN;  $N_{Ed,Min} = -768$  kN.

In definitiva si è assunto **Lpali = 16.00m**.



## 2.1.2 PEDEMONTANA DELLE MARCHE

Secondo stralcio funzionale: Matelica Nord – Matelica Sud/Castelraimondo Nord

Opere d'arte minori: Opere di sostegno e dreni

Muri di controripa in dx in c.a. da 4+680.00 a 4+844.40

Relazione tecnica e di calcolo

Opera L073	Tratto 212	Settore E	CEE 17	WBS OS1100	Id.doc. REL	N. prog. 01	Rev. A	Pag. di Pag. 49 di 195
---------------	---------------	--------------	-----------	---------------	----------------	----------------	-----------	---------------------------

## 11.3 RISULTATI ANALISI E VERIFICHE MURI DI TIPO 3

### 11.3.1 Modello di calcolo

Le sollecitazioni provenienti dal muro vengono ripartite sui pali restituendo le sollecitazioni nei pali in termini di Taglio, Momento e sforzo normale. Gli scarichi sui pali vengono determinati mediante il metodo delle rigidezze. La piastra di fondazione viene considerata infinitamente rigida (3 gradi di libertà) ed i pali vengono considerati incastrati o incernierati a tale piastra.

Viene effettuata una prima analisi di ogni palo di ciascuna fila (i pali di ogni fila hanno le stesse caratteristiche) per costruire una curva carichi-spostamenti del palo. Questa curva viene costruita considerando il palo elastico. Si tratta, in definitiva, della matrice di rigidezza del palo  $K_e$ , costruita imponendo traslazioni e rotazioni unitarie per determinare le corrispondenti sollecitazioni in testa al palo. Nota la matrice di rigidezza di ogni palo si assembla la matrice globale (di dimensioni  $3 \times 3$ ) della palificata,  $K$ . A questo punto, note le forze agenti in fondazione ( $N$ ,  $T$ ,  $M$ ) si possono ricavare gli spostamenti della piastra (abbassamento, traslazione e rotazione) e le forze che si scaricano su ciascun palo. Infatti indicando con  $p$  il vettore dei carichi e con  $u$  il vettore degli spostamenti della piastra abbiamo:

$$u = K^{-1}p$$

Noti gli spostamenti della piastra, e quindi della testa dei pali, abbiamo gli scarichi su ciascun palo. Allora per ciascun palo viene effettuata un'analisi elastoplastica incrementale (tramite il metodo degli elementi finiti) che, tenendo conto della plasticizzazione del terreno, calcola le sollecitazioni in tutte le sezioni del palo., le caratteristiche del terreno (rappresentate da  $K_h$ ) sono tali che se non è possibile raggiungere l'equilibrio si ha collasso per rottura del terreno. In tale analisi i pali sono considerati incastrati alla fondazione di base. Di seguito si riportano i principali risultati delle analisi svolte sul muro su pali. Per ulteriori dettagli si ribanda ai tabulati in allegato.

Si riportano di seguito in forma tabellare i valori delle spinte di natura statica e sismica per le combinazioni analizzate, gli involuipi delle sollecitazioni nel muro, sulla fondazione e nei pali.

## 2.1.2 PEDEMONTANA DELLE MARCHE

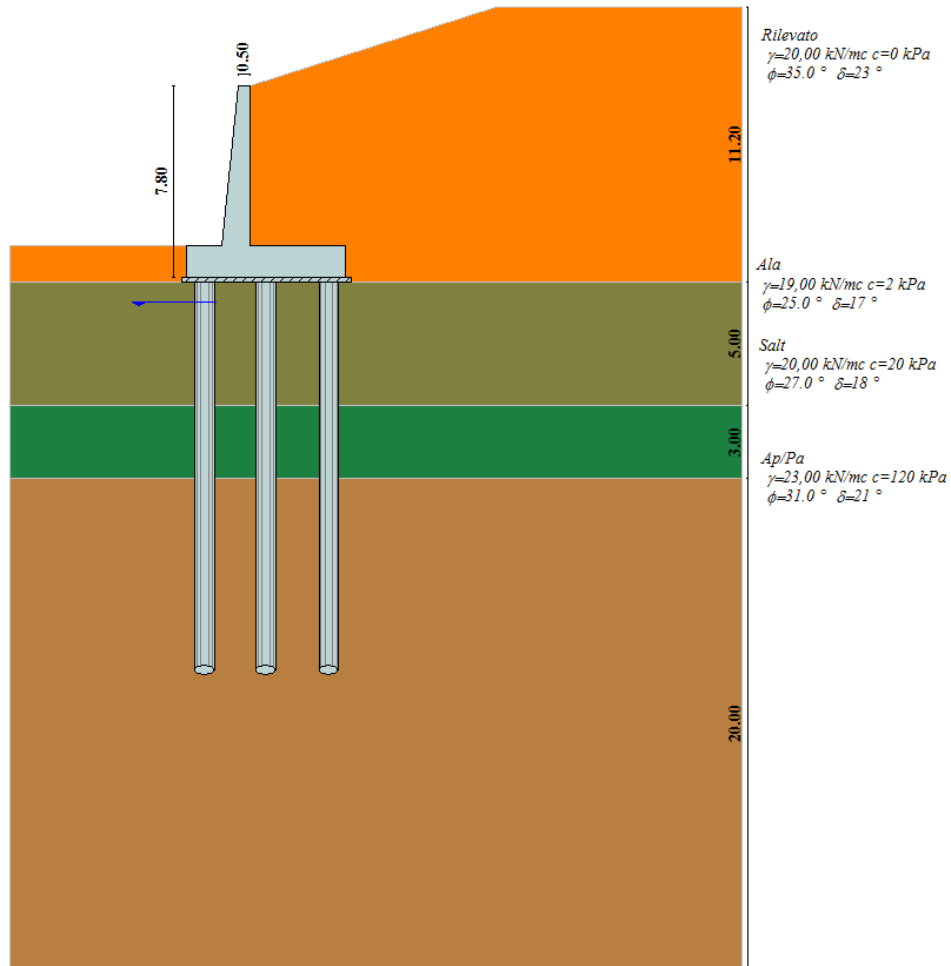
Secondo stralcio funzionale: Matelica Nord – Matelica Sud/Castelraimondo Nord

Opere d'arte minori: Opere di sostegno e dreni

Muri di controripa in dx in c.a. da 4+680.00 a 4+844.40

Relazione tecnica e di calcolo

Opera	Tratto	Settore	CEE	WBS	Id.doc.	N. prog.	Rev.	Pag. di Pag.
L073	212	E	17	OS1100	REL	01	A	50 di 195



Modello di calcolo muro su PALLI

## 2.1.2 PEDEMONTANA DELLE MARCHE

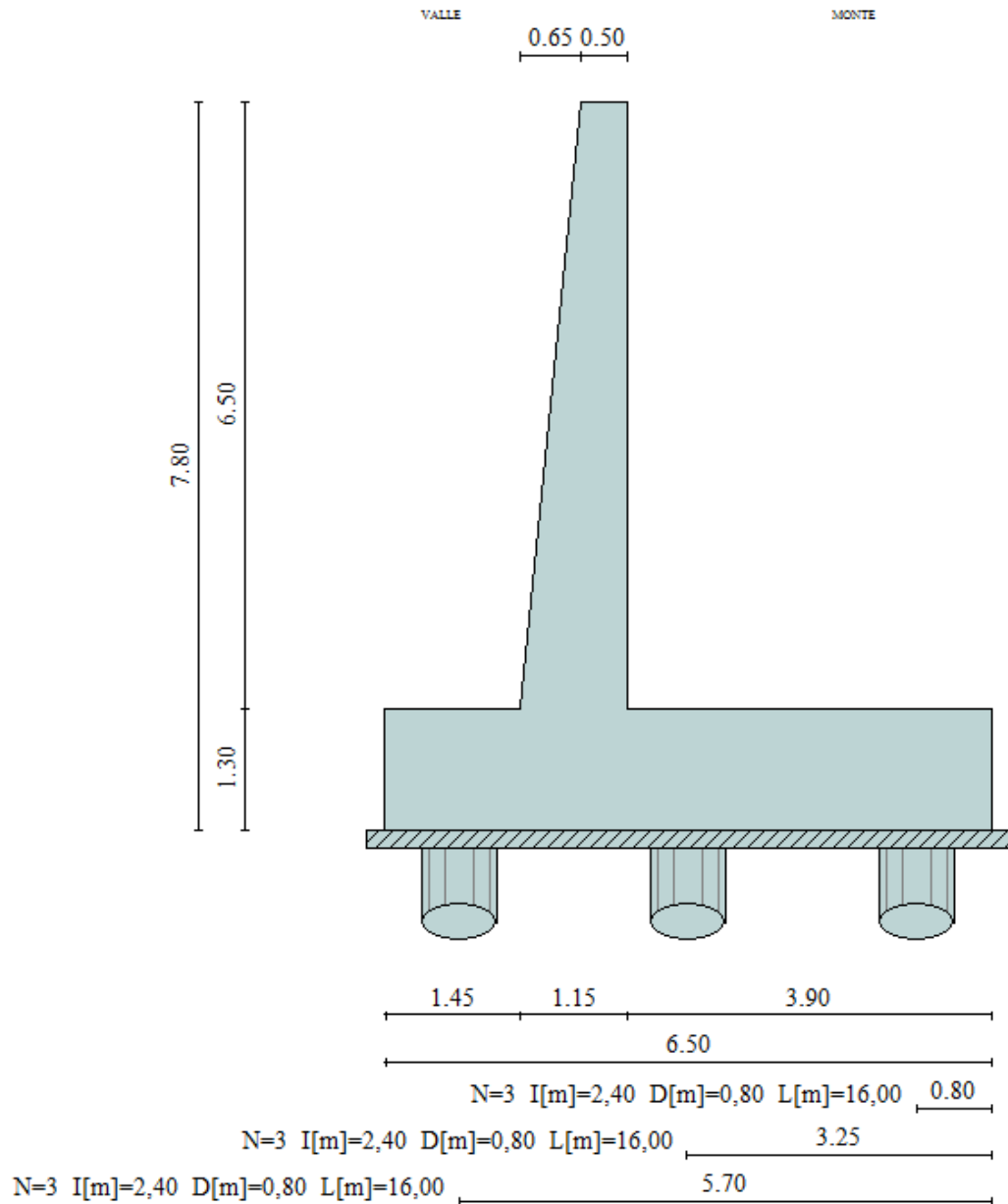
Secondo stralcio funzionale: Matelica Nord – Matelica Sud/Castelraimondo Nord

Opere d'arte minori: Opere di sostegno e dreni

Muri di controripa in dx in c.a. da 4+680.00 a 4+844.40

Relazione tecnica e di calcolo

Opera L073	Tratto 212	Settore E	CEE 17	WBS OS1100	Id.doc. REL	N.prog. 01	Rev. A	Pag. di Pag. 51 di 195
---------------	---------------	--------------	-----------	---------------	----------------	---------------	-----------	---------------------------



Geometria muro

## 2.1.2 PEDEMONTANA DELLE MARCHE

Secondo stralcio funzionale: Matelica Nord – Matelica Sud/Castelraimondo Nord

Opere d'arte minori: Opere di sostegno e dreni

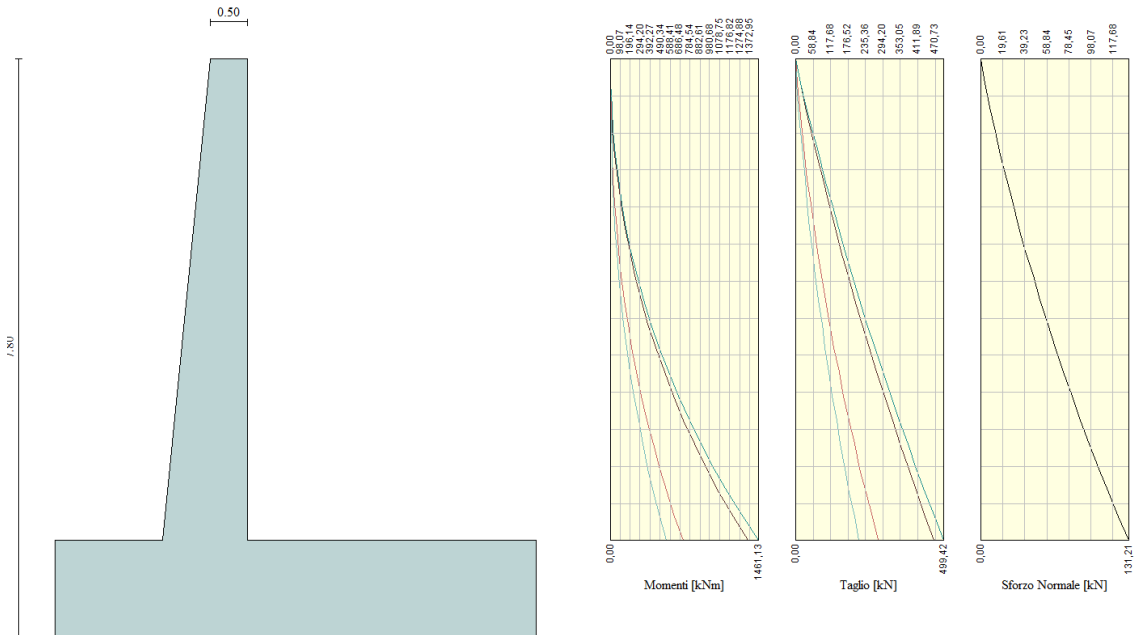
Muri di controripa in dx in c.a. da 4+680.00 a 4+844.40

Relazione tecnica e di calcolo

Opera L073	Tratto 212	Settore E	CEE 17	WBS OS1100	Id.doc. REL	N.prog. 01	Rev. A	Pag. di Pag. 52 di 195
---------------	---------------	--------------	-----------	---------------	----------------	---------------	-----------	---------------------------

Comb.	Tipo comb.	Sisma	FS (ribalt)	FS (scorr)	FS (quilt)	FS (stab)	Spinta[kN]	Incr. sism.[kN]
1	A1-M1 - [1]	--	--	--	--	--	505,0767	0,0000
2	A1-M1 - [2]	--	--	--	--	--	549,2607	0,0000
3	A1-M1 - [3]	SismaH + SismaV positivo	--	--	--	--	388,5205	356,9118
4	A1-M1 - [3]	SismaH + SismaV negativo	--	--	--	--	388,5205	289,9647
5	A1-M1 - [4]	SismaH + SismaV positivo	--	--	--	--	388,5205	356,9118
6	SLEQ - [1]	--	--	--	--	--	388,5205	0,0000
7	SLEF - [1]	--	--	--	--	--	409,1950	0,0000
8	SLER - [1]	--	--	--	--	--	417,3159	0,0000

### Azioni risultanti sul muro



### Involuppo sollecitazioni sul muro

## 2.1.2 PEDEMONTANA DELLE MARCHE

Secondo stralcio funzionale: Matelica Nord – Matelica Sud/Castelraimondo Nord

Opere d'arte minori: Opere di sostegno e dreni

Muri di controripa in dx in c.a. da 4+680.00 a 4+844.40

Relazione tecnica e di calcolo

Opera L073	Tratto 212	Settore E	CEE 17	WBS OS1100	Id.doc. REL	N.prog. 01	Rev. A	Pag. di Pag. 53 di 195
---------------	---------------	--------------	-----------	---------------	----------------	---------------	-----------	---------------------------

### 11.3.2 Verifiche strutturali

Nella tabella seguente si riportano le armature di progetto previste per la sezione di calcolo in questione, come desumibili dagli elaborati grafici di armatura delle opere relative:

Elemento	Armatura a flessione		Elemento	Armatura a flessione	
	Lato monte	Lato valle		Lato inferiore	Lato superiore
PARAMENTO	1φ24/10	1φ22/20	FONDAZIONE	1φ24/10	1φ24/10+1φ24/20

Ai fini delle verifiche si è fatto riferimento per la parte in elevazione (paramento e fondazione muro) ad un copriferro di calcolo (asse armature) pari a 4 cm, mentre per i pali si è assunto un copriferro di calcolo pari a 7 cm.

### Verifiche strutturali per paramento e fondazione

Di seguito si riporta l'inviluppo delle sollecitazioni nel paramento e nella fondazione ed i risultati delle verifiche strutturali.

#### Inviluppo Sollecitazioni paramento

##### Inviluppo combinazioni SLU

Nr.	Y	Nmin	Nmax	Mmin	Mmax	Tmin	Tmax
1	0,00	0,0000	0,0000	0,0000	0,0000	0,0000	0,0000
2	0,33	4,1128	4,1128	1,0177	2,9816	6,5990	18,6648
3	0,65	8,4833	8,4833	4,2401	12,0699	13,9916	38,0032
4	0,98	13,1114	13,1114	9,9193	27,4782	22,1666	58,0068
5	1,30	17,9971	17,9971	18,3047	49,4179	31,1214	78,6734
6	1,63	23,1404	23,1404	29,6453	78,1003	40,8558	100,0030
7	1,95	28,5413	28,5413	44,1905	113,7367	51,3701	121,9956
8	2,27	34,1999	34,1999	62,1895	156,5385	62,6641	144,6513
9	2,60	40,1161	40,1161	83,8915	206,7168	74,7378	167,9700
10	2,93	46,2899	46,2899	109,5457	264,4829	87,5913	191,9518
11	3,25	52,7214	52,7214	139,4012	330,0481	101,2245	216,5965
12	3,58	59,4104	59,4104	173,7074	403,6238	115,6375	241,9044
13	3,90	66,3571	66,3571	212,7134	485,4211	130,8302	267,8752
14	4,23	73,5614	73,5614	256,6684	575,6514	146,8027	294,5091
15	4,55	81,0234	81,0234	305,8217	674,5260	163,5549	321,8060
16	4,88	88,7429	88,7429	360,4224	782,2561	181,0868	349,7660
17	5,20	96,7201	96,7201	420,7198	899,0530	199,3985	378,3890
18	5,53	104,9549	104,9549	486,9631	1025,1279	218,4900	407,6750
19	5,85	113,4474	113,4474	559,4015	1160,6923	238,3612	437,6241
20	6,17	122,1974	122,1974	638,2841	1305,9572	259,0121	468,2362
21	6,50	131,2051	131,2051	723,8495	1461,1258	280,3180	499,4154

##### Inviluppo combinazioni SLE

Nr.	Y	Nmin	Nmax	Mmin	Mmax	Tmin	Tmax
1	0,00	0,0000	0,0000	0,0000	0,0000	0,0000	0,0000
2	0,33	4,1128	4,1128	0,7752	0,7752	5,0762	5,0762
3	0,65	8,4833	8,4833	3,2304	3,2304	10,7628	10,7628
4	0,98	13,1114	13,1114	7,5586	7,5586	17,0512	17,0512
5	1,30	17,9971	17,9971	13,9505	13,9505	23,9395	23,9395
6	1,63	23,1404	23,1404	22,5969	22,5969	31,4276	31,4276
7	1,95	28,5413	28,5413	33,6885	33,6885	39,5155	39,5155

## 2.1.2 PEDEMONTANA DELLE MARCHE

Secondo stralcio funzionale: Matelica Nord – Matelica Sud/Castelraimondo Nord

Opere d'arte minori: Opere di sostegno e dreni

Muri di controripa in dx in c.a. da 4+680.00 a 4+844.40

Relazione tecnica e di calcolo

Opera L073	Tratto 212	Settore E	CEE 17	WBS OS1100	Id.doc. REL	N. prog. 01	Rev. A	Pag. di Pag. 54 di 195
---------------	---------------	--------------	-----------	---------------	----------------	----------------	-----------	---------------------------

8	2,27	34,1999	34,1999	47,4161	47,4161	48,2031	48,2031
9	2,60	40,1161	40,1161	63,9703	63,9703	57,4906	57,4906
10	2,93	46,2899	46,2899	83,5420	83,5420	67,3779	67,3779
11	3,25	52,7214	52,7214	106,3219	106,3219	77,8650	77,8650
12	3,58	59,4104	59,4104	132,5006	132,5006	88,9519	88,9519
13	3,90	66,3571	66,3571	162,2689	162,2689	100,6386	100,6386
14	4,23	73,5614	73,5614	195,8176	195,8176	112,9251	112,9251
15	4,55	81,0234	81,0234	233,3373	233,3373	125,8114	125,8114
16	4,88	88,7429	88,7429	275,0189	275,0189	139,2975	139,2975
17	5,20	96,7201	96,7201	321,0529	321,0529	153,3835	153,3835
18	5,53	104,9549	104,9549	371,6303	371,6303	168,0692	168,0692
19	5,85	113,4474	113,4474	426,9416	426,9416	183,3547	183,3547
20	6,17	122,1974	122,1974	487,1777	487,1777	199,2401	199,2401
21	6,50	131,2051	131,2051	552,5208	552,5208	215,6292	215,6292

### Inviluppo armature e tensioni nei materiali del muro

L'ordinata Y (espressa in [m]) è considerata positiva verso il basso con origine in testa al muro

B	base della sezione espressa in [m]
H	altezza della sezione espressa in [m]
A <sub>fs</sub>	area di armatura in corrispondenza del lembo di monte in [mq]
A <sub>fi</sub>	area di armatura in corrispondenza del lembo di valle in [mq]
σ <sub>c</sub>	tensione nel calcestruzzo espressa in [kPa]
τ <sub>c</sub>	tensione tangenziale nel calcestruzzo espressa in [kPa]
σ <sub>fs</sub>	tensione nell'armatura disposta sul lembo di monte in [kPa]
σ <sub>fi</sub>	tensione nell'armatura disposta sul lembo di valle in [kPa]
N <sub>u</sub>	sforzo normale ultimo espresso in [kN]
M <sub>u</sub>	momento ultimo espresso in [kNm]
CS	coefficiente sicurezza sezione
VRd	Resistenza al taglio, espresso in [kN]

#### Inviluppo SLU

Nr.	Y	B, H	A <sub>fs</sub>	A <sub>fi</sub>	N <sub>u</sub>	M <sub>u</sub>	CS	V <sub>Rd</sub>	V <sub>Rcd</sub>	V <sub>Rsd</sub>
1	0,00	1,00, 0,50	0,000000	0,000000	0,00	0,00	1000,00	173,53	--	--
2	0,33	1,00, 0,53	0,004524	0,001901	1047,43	-960,34	254,67	277,20	--	--
3	0,65	1,00, 0,56	0,004524	0,001901	525,09	-944,22	61,90	286,31	--	--
4	0,98	1,00, 0,60	0,004524	0,001901	370,22	-980,00	28,24	295,25	--	--
5	1,30	1,00, 0,63	0,004524	0,001901	296,38	-1027,25	16,47	304,03	--	--
6	1,63	1,00, 0,66	0,004524	0,001901	253,40	-1078,88	10,95	312,68	--	--
7	1,95	1,00, 0,69	0,004524	0,001901	225,45	-1132,66	7,90	321,22	--	--
8	2,27	1,00, 0,73	0,004524	0,001901	205,94	-1187,66	6,02	329,64	--	--
9	2,60	1,00, 0,76	0,004524	0,001901	191,62	-1243,41	4,78	337,96	--	--
10	2,93	1,00, 0,79	0,004524	0,001901	180,74	-1299,67	3,90	346,19	--	--
11	3,25	1,00, 0,82	0,004524	0,001901	172,24	-1356,29	3,27	354,33	--	--
12	3,58	1,00, 0,86	0,004524	0,001901	165,46	-1413,16	2,79	362,40	--	--
13	3,90	1,00, 0,89	0,004524	0,001901	159,96	-1470,23	2,41	370,40	--	--
14	4,23	1,00, 0,92	0,004524	0,001901	155,43	-1527,46	2,11	378,34	--	--
15	4,55	1,00, 0,95	0,004524	0,001901	151,66	-1584,81	1,87	386,22	--	--
16	4,88	1,00, 0,99	0,004524	0,001901	148,50	-1642,27	1,67	394,04	--	--
17	5,20	1,00, 1,02	0,004524	0,001901	145,83	-1699,82	1,51	401,82	--	--
18	5,53	1,00, 1,05	0,004524	0,001901	143,56	-1757,42	1,37	409,55	--	--
20	6,17	1,00, 1,12	0,004524	0,001901	139,95	-1872,82	1,15	424,90	--	--
21	6,50	1,00, 1,15	0,004524	0,001901	138,51	-1930,60	1,06	432,52	--	--

#### Inviluppo SLE

Nr.	Y	B, H	A <sub>fs</sub>	A <sub>fi</sub>	σ <sub>c</sub>	τ <sub>c</sub>	σ <sub>fs</sub>	σ <sub>fi</sub>
1	0,00	1,00, 0,50	0,000000	0,000000	0	0	0	0
2	0,33	1,00, 0,53	0,004524	0,001901	26	16	185	-341

## 2.1.2 PEDEMONTANA DELLE MARCHE

Secondo stralcio funzionale: Matelica Nord – Matelica Sud/Castelraimondo Nord

Opere d'arte minori: Opere di sostegno e dreni

Muri di controripa in dx in c.a. da 4+680.00 a 4+844.40

Relazione tecnica e di calcolo

Opera L073	Tratto 212	Settore E	CEE 17	WBS OS1100	Id.doc. REL	N. prog. 01	Rev. A	Pag. di Pag. 55 di 195
---------------	---------------	--------------	-----------	---------------	----------------	----------------	-----------	---------------------------

3	0,65	1,00, 0,56	0,004524	0,001901	88	31	1239	-1127
4	0,98	1,00, 0,60	0,004524	0,001901	180	46	3164	-2279
5	1,30	1,00, 0,63	0,004524	0,001901	296	61	5898	-3744
6	1,63	1,00, 0,66	0,004524	0,001901	434	75	9398	-5486
7	1,95	1,00, 0,69	0,004524	0,001901	590	90	13625	-7472
8	2,27	1,00, 0,73	0,004524	0,001901	762	104	18552	-9680
9	2,60	1,00, 0,76	0,004524	0,001901	948	118	24153	-12088
10	2,93	1,00, 0,79	0,004524	0,001901	1148	133	30410	-14681
11	3,25	1,00, 0,82	0,004524	0,001901	1359	147	37306	-17443
12	3,58	1,00, 0,86	0,004524	0,001901	1581	161	44827	-20364
13	3,90	1,00, 0,89	0,004524	0,001901	1814	175	52960	-23432
14	4,23	1,00, 0,92	0,004524	0,001901	2056	189	61697	-26640
15	4,55	1,00, 0,95	0,004524	0,001901	2307	202	71028	-29979
16	4,88	1,00, 0,99	0,004524	0,001901	2566	216	80946	-33442
17	5,20	1,00, 1,02	0,004524	0,001901	2833	230	91444	-37025
18	5,53	1,00, 1,05	0,004524	0,001901	3108	244	102517	-40721
20	6,17	1,00, 1,12	0,004524	0,001901	3679	271	126367	-48437
21	6,50	1,00, 1,15	0,004524	0,001901	3974	284	139133	-52447

### Inviluppo armature e tensioni nei materiali della fondazione

#### Fondazione di valle

(L'ascissa X, espressa in [m], è positiva verso monte con origine in corrispondenza dell'estremo libero della fondazione di valle)

#### Inviluppo SLU

Nr.	Y	B, H	A <sub>fs</sub>	A <sub>fi</sub>	N <sub>u</sub>	M <sub>u</sub>	CS	V <sub>Rd</sub>	V <sub>Rcd</sub>	V <sub>Rsd</sub>
1	0,00	1,00, 1,30	0,002262	0,000000	0,00	-1073,57	1,67	367,73	--	--
2	0,17	1,00, 1,30	0,002262	0,000000	0,00	-1073,57	0,07	367,73	--	--
3	0,35	1,00, 1,30	0,006786	0,004524	0,00	-3202,97	42,91	505,97	--	--
4	0,55	1,00, 1,30	0,006786	0,004524	0,00	-3202,97	20,19	505,97	--	--
5	0,75	1,00, 1,30	0,006786	0,004524	0,00	2157,11	11,25	505,97	--	--
6	0,95	1,00, 1,30	0,006786	0,004524	0,00	2157,11	7,22	505,97	--	--
7	1,15	1,00, 1,30	0,006786	0,004524	0,00	2157,11	4,67	505,97	--	--
8	1,45	1,00, 1,30	0,006786	0,004524	0,00	2157,11	2,03	505,97	--	--

#### Inviluppo SLE

Nr.	X	B, H	A <sub>fs</sub>	A <sub>fi</sub>	σ <sub>c</sub>	τ <sub>c</sub>	σ <sub>fi</sub>	σ <sub>fs</sub>
9	0,00	1,00, 1,30	0,002262	0,000000	966	7	0	6029
10	0,17	1,00, 1,30	0,002262	0,000000	21503	27	0	134250
11	0,35	1,00, 1,30	0,006786	0,004524	82	63	4162	2770
12	0,55	1,00, 1,30	0,006786	0,004524	172	103	8780	3876
13	0,75	1,00, 1,30	0,006786	0,004524	308	236	15729	-3980
14	0,95	1,00, 1,30	0,006786	0,004524	480	361	24476	-6193
15	1,15	1,00, 1,30	0,006786	0,004524	744	482	37961	-9604
16	1,45	1,00, 1,30	0,006786	0,004524	1737	473	88576	-22411

#### Fondazione di monte

(L'ascissa X, espressa in [m], è positiva verso valle con origine in corrispondenza dell'estremo libero della fondazione di monte)

#### Inviluppo SLU

Nr.	Y	B, H	A <sub>fs</sub>	A <sub>fi</sub>	N <sub>u</sub>	M <sub>u</sub>	CS	V <sub>Rd</sub>	V <sub>Rcd</sub>	V <sub>Rsd</sub>
1	0,00	1,00, 1,30	0,002262	0,000000	0,00	1,34	0,55	367,73	--	--
2	0,30	1,00, 1,30	0,006786	0,004524	0,00	-3202,97	154,38	367,73	--	--
3	0,50	1,00, 1,30	0,006786	0,004524	0,00	-3202,97	57,97	505,97	--	--
4	0,70	1,00, 1,30	0,006786	0,004524	0,00	-3202,97	29,57	505,97	--	--
5	0,90	1,00, 1,30	0,006786	0,004524	0,00	-3202,97	17,77	505,97	--	--
6	1,10	1,00, 1,30	0,006786	0,004524	0,00	-3202,97	11,89	505,97	--	--
7	1,32	1,00, 1,30	0,006786	0,004524	0,00	-3202,97	8,24	505,97	--	--

## 2.1.2 PEDEMONTANA DELLE MARCHE

Secondo stralcio funzionale: Matelica Nord – Matelica Sud/Castelraimondo Nord

Opere d'arte minori: Opere di sostegno e dreni

Muri di controripa in dx in c.a. da 4+680.00 a 4+844.40

Relazione tecnica e di calcolo

Opera L073	Tratto 212	Settore E	CEE 17	WBS OS1100	Id.doc. REL	N. prog. 01	Rev. A	Pag. di Pag. 56 di 195
---------------	---------------	--------------	-----------	---------------	----------------	----------------	-----------	---------------------------

8	1,54	1,00, 1,30	0,006786	0,004524	0,00	-3202,97	6,10	505,97	--	--
9	1,76	1,00, 1,30	0,006786	0,004524	0,00	-3202,97	4,81	367,73	--	--
10	1,98	1,00, 1,30	0,006786	0,004524	0,00	-3202,97	3,92	367,73	--	--
11	2,19	1,00, 1,30	0,006786	0,004524	0,00	-3202,97	3,28	505,97	--	--
12	2,41	1,00, 1,30	0,006786	0,004524	0,00	-3202,97	2,79	505,97	--	--
13	2,63	1,00, 1,30	0,006786	0,004524	0,00	-3202,97	2,42	505,97	--	--
14	2,85	1,00, 1,30	0,006786	0,004524	0,00	-3202,97	2,10	505,97	--	--
15	3,05	1,00, 1,30	0,006786	0,004524	0,00	-3202,97	1,88	505,97	--	--
16	3,25	1,00, 1,30	0,006786	0,004524	0,00	-3202,97	1,72	505,97	--	--
17	3,45	1,00, 1,30	0,006786	0,004524	0,00	-3202,97	1,60	505,97	--	--
18	3,65	1,00, 1,30	0,006786	0,004524	0,00	-3202,97	1,51	505,97	--	--
19	3,90	1,00, 1,30	0,006786	0,004524	0,00	-3202,97	1,37	505,97	--	--

Inviluppo SLE

Nr.	X	B, H	A <sub>fs</sub>	A <sub>fi</sub>	σ <sub>c</sub>	τ <sub>c</sub>	σ <sub>fi</sub>	σ <sub>fs</sub>
20	0,00	1,00, 1,30	0,002262	0,000000	3512	0	0	21930
21	0,30	1,00, 1,30	0,006786	0,004524	39	0	-527	1425
22	0,50	1,00, 1,30	0,006786	0,004524	97	0	-1299	3510
23	0,70	1,00, 1,30	0,006786	0,004524	137	0	-1829	4944
24	0,90	1,00, 1,30	0,006786	0,004524	168	0	-2241	6055
25	1,10	1,00, 1,30	0,006786	0,004524	179	6	-2395	6471
26	1,32	1,00, 1,30	0,006786	0,004524	227	0	-3040	8214
27	1,54	1,00, 1,30	0,006786	0,004524	310	0	-4144	11198
28	1,76	1,00, 1,30	0,006786	0,004524	418	0	-5590	15106
29	1,98	1,00, 1,30	0,006786	0,004524	555	0	-7420	20051
30	2,19	1,00, 1,30	0,006786	0,004524	720	0	-9635	26036
31	2,41	1,00, 1,30	0,006786	0,004524	911	0	-12191	32943
32	2,63	1,00, 1,30	0,006786	0,004524	1124	0	-15030	40615
33	2,85	1,00, 1,30	0,006786	0,004524	1422	0	-19017	51387
34	3,05	1,00, 1,30	0,006786	0,004524	1692	0	-22638	61174
35	3,25	1,00, 1,30	0,006786	0,004524	1883	0	-25190	68070
36	3,45	1,00, 1,30	0,006786	0,004524	2004	0	-26811	72450
37	3,65	1,00, 1,30	0,006786	0,004524	2130	56	-28494	76997
38	3,90	1,00, 1,30	0,006786	0,004524	2560	52	-34243	92533

### Verifica fessurazione paramento

N°	Y	A <sub>fs</sub>	A <sub>fi</sub>	M <sub>pf</sub>	M	ε <sub>m</sub>	S <sub>m</sub>	w
1	0,00	0,000000	0,000000	-58,83	0,00	0,0000	0,00	0,000
2	0,33	0,004524	0,001901	-90,13	-0,78	0,0000	0,00	0,000
3	0,65	0,004524	0,001901	-100,35	-3,23	0,0000	0,00	0,000
4	0,98	0,004524	0,001901	-111,08	-7,56	0,0000	0,00	0,000
5	1,30	0,004524	0,001901	-122,30	-13,95	0,0000	0,00	0,000
6	1,63	0,004524	0,001901	-134,02	-22,60	0,0000	0,00	0,000
7	1,95	0,004524	0,001901	-146,23	-33,69	0,0000	0,00	0,000
8	2,27	0,004524	0,001901	-158,94	-47,42	0,0000	0,00	0,000
9	2,60	0,004524	0,001901	-172,15	-63,97	0,0000	0,00	0,000
10	2,93	0,004524	0,001901	-185,85	-83,54	0,0000	0,00	0,000
11	3,25	0,004524	0,001901	-200,05	-106,32	0,0000	0,00	0,000
12	3,58	0,004524	0,001901	-214,75	-132,50	0,0000	0,00	0,000
13	3,90	0,004524	0,001901	-229,94	-162,27	0,0000	0,00	0,000
14	4,23	0,004524	0,001901	-245,62	-195,82	0,0000	0,00	0,000
15	4,55	0,004524	0,001901	-261,80	-233,34	0,0000	0,00	0,000
16	4,88	0,004524	0,001901	-278,48	-275,02	0,0000	0,00	0,000
17	5,20	0,004524	0,001901	-295,65	-321,05	0,0205	97,64	0,034
18	5,53	0,004524	0,001901	-313,32	-371,63	0,0231	97,64	0,038
19	5,85	0,000000	0,000000	-276,46	-426,94	100000,0000	1000,00	1000,000
20	6,17	0,004524	0,001901	-350,15	-487,18	0,0329	97,64	0,055
21	6,50	0,004524	0,001901	-369,30	-552,52	0,0385	97,64	0,064



## 2.1.2 PEDEMONTANA DELLE MARCHE

Secondo stralcio funzionale: Matelica Nord – Matelica Sud/Castelraimondo Nord

Opere d'arte minori: Opere di sostegno e dreni

Muri di controripa in dx in c.a. da 4+680.00 a 4+844.40

Relazione tecnica e di calcolo

Opera L073	Tratto 212	Settore E	CEE 17	WBS OS1100	Id.doc. REL	N. prog. 01	Rev. A	Pag. di Pag. 57 di 195
---------------	---------------	--------------	-----------	---------------	----------------	----------------	-----------	---------------------------

### Verifica fessurazione fondazione

N°	Y	A <sub>rs</sub>	A <sub>ri</sub>	M <sub>pr</sub>	M	ε <sub>m</sub>	S <sub>m</sub>	w
1	-2,60	0,002262	0,000000	-428,11	-0,48	0,0000	0,00	0,000
2	-2,42	0,002262	0,000000	404,93	9,03	0,0000	0,00	0,000
3	-2,25	0,006786	0,004524	480,94	21,67	0,0000	0,00	0,000
4	-2,05	0,006786	0,004524	480,94	45,70	0,0000	0,00	0,000
5	-1,85	0,006786	0,004524	480,94	81,87	0,0000	0,00	0,000
6	-1,65	0,006786	0,004524	480,94	127,38	0,0000	0,00	0,000
7	-1,45	0,006786	0,004524	480,94	197,60	0,0000	0,00	0,000
8	-1,15	0,006786	0,004524	480,94	461,47	0,0000	0,00	0,000
9	0,00	0,006786	0,004524	-504,74	-706,45	0,0329	81,68	0,046
10	0,25	0,006786	0,004524	-504,74	-585,65	0,0232	81,68	0,032
11	0,45	0,006786	0,004524	-504,74	-550,25	0,0204	81,68	0,028
12	0,65	0,006786	0,004524	-504,74	-516,69	0,0192	81,68	0,027
13	0,85	0,006786	0,004524	-504,74	-463,65	0,0000	0,00	0,000
14	1,05	0,006786	0,004524	-504,74	-388,22	0,0000	0,00	0,000
15	1,27	0,006786	0,004524	-504,74	-305,32	0,0000	0,00	0,000
16	1,49	0,006786	0,004524	-504,74	-246,63	0,0000	0,00	0,000
17	1,71	0,006786	0,004524	-504,74	-193,95	0,0000	0,00	0,000
18	1,92	0,006786	0,004524	-504,74	-148,54	0,0000	0,00	0,000
19	2,14	0,006786	0,004524	-504,74	-111,30	0,0000	0,00	0,000
20	2,36	0,006786	0,004524	-504,74	-82,18	0,0000	0,00	0,000
21	2,58	0,006786	0,004524	-504,74	-60,26	0,0000	0,00	0,000
22	2,80	0,006786	0,004524	-504,74	-48,20	0,0000	0,00	0,000
23	3,00	0,006786	0,004524	-504,74	-46,40	0,0000	0,00	0,000
24	3,20	0,006786	0,004524	-504,74	-38,57	0,0000	0,00	0,000
25	3,40	0,006786	0,004524	-504,74	-27,57	0,0000	0,00	0,000
26	3,60	0,006786	0,004524	-504,74	-11,19	0,0000	0,00	0,000
27	3,90	0,002262	0,000000	404,93	1,52	0,0000	0,00	0,000

### VERIFICHE A TAGLIO

I risultati ottenuti dalle verifiche delle sezioni maggiormente sollecitate per la struttura in esame sono riepilogati nella seguente tabella.

Verifica a taglio (per metro lineare di sviluppo longitudinale)						
Sezione	V <sub>Ed</sub>	b	h	V <sub>Rd</sub>	ESITO	Armatura a taglio
[-]	[kN]	[cm]	[cm]	[kN]	[-]	[-]
Paramento	500	100	115	645	verificato	Spilli Φ14/40x40
Fondazione	1423	100	130	1640	verificato	Φ20/20

### VERIFICHE STRUTTURALI PALI DI FONDAZIONE

Per i pali di fondazione si prevedono le seguenti armature:

- Gabbia superiore 29φ26 e staffa a spirale φ14/10
- Gabbia inferiore 18φ20 e staffa a spirale φ14/20

Si riportano i risultati in termini di sollecitazione sul palo e verifiche a flessione e taglio:

## 2.1.2 PEDEMONTANA DELLE MARCHE

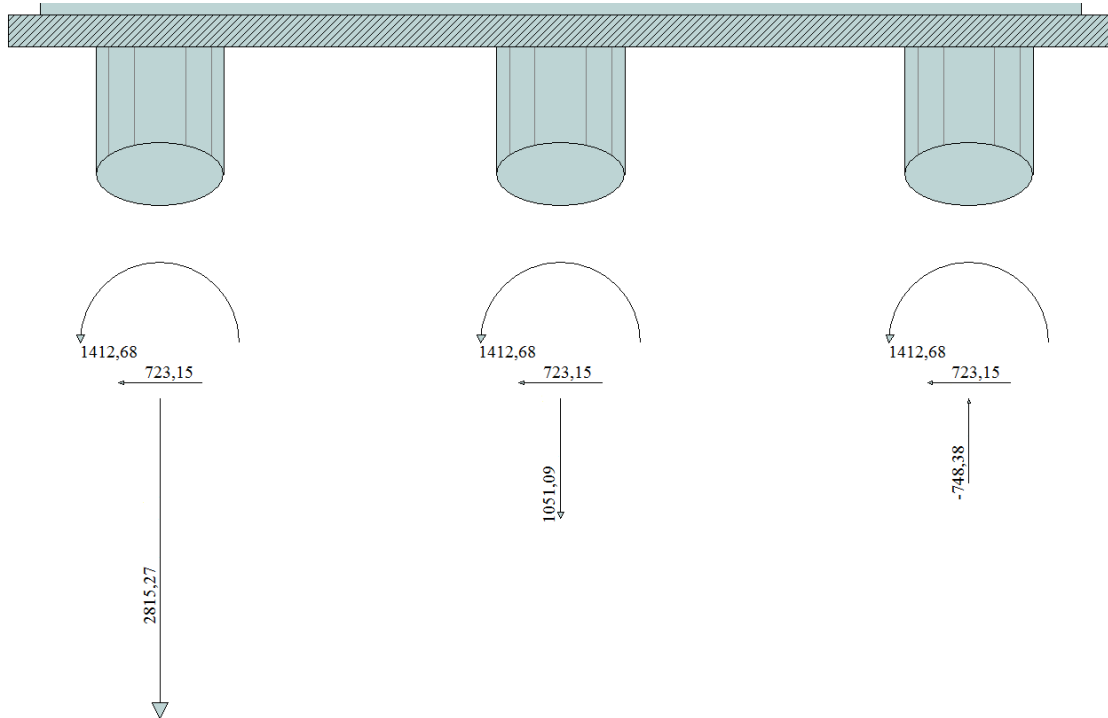
Secondo stralcio funzionale: Matelica Nord – Matelica Sud/Castelraimondo Nord

Opere d'arte minori: Opere di sostegno e dreni

Muri di controripa in dx in c.a. da 4+680.00 a 4+844.40

Relazione tecnica e di calcolo

Opera L073	Tratto 212	Settore E	CEE 17	WBS OS1100	Id.doc. REL	N.prog. 01	Rev. A	Pag. di Pag. 58 di 195
---------------	---------------	--------------	-----------	---------------	----------------	---------------	-----------	---------------------------



Sollecitazioni massime testa palo – SLU

Verifica a pressoflessione - SLU			Verifica a taglio - SLU		
$M_{Ed,Max}$	$M_{Rd}$	c.s. Flessione	$V_{Ed,Max}$	$V_{Rd}$	c.s. Taglio
[kNm]	[kNm]	[-]	[kNm]	[kNm]	[-]
1412	1454	1.03	723	1097	1.52

Verifica tensionale - SLE			Verifica a fessurazione - SLE			
Combo Rara			Combo QP		Combo F	
$M_{Ed,Max}$	$\sigma_{C,MAX}$	$\sigma_{S,MIN}$	$M_{Ed,Max}$	w	$M_{Ed,Max}$	w
[kNm]	[MPa]	[MPa]	[kNm]	[mm]	[kNm]	[mm]
597	9.8	-204	514	0.178	576	0.209

### 11.3.3 Verifiche capacità portante

Nel seguito si riportano i risultati riguardanti la valutazione della lunghezza minima dei pali necessaria al soddisfacimento delle verifiche di capacità portante. In particolare da un confronto tra i valori massimi degli sforzi normali massimi attesi e le curve di capacità portante presentate nella "Relazione geotecnica generale sulle opere all'aperto" – L0703212E02GE0001REL01, con riferimento ai pali di diametro D800 si è ottenuto

$$N_{Ed,Max} = 2815 \text{ kN}; N_{Ed,Min} = -748 \text{ kN}$$

In definitiva si è assunto per il muro **Lpali = 20.00m**.



**QUADRILATERO**  
Marche Umbria S.p.A.

## 2.1.2 PEDEMONTANA DELLE MARCHE

Secondo stralcio funzionale: Matelica Nord – Matelica Sud/Castelraimondo Nord

Opere d'arte minori: Opere di sostegno e dreni

Muri di controripa in dx in c.a. da 4+680.00 a 4+844.40

Relazione tecnica e di calcolo

Opera L073	Tratto 212	Settore E	CEE 17	WBS OS1100	Id.doc. REL	N. prog. 01	Rev. A	Pag. di Pag. 59 di 195
---------------	---------------	--------------	-----------	---------------	----------------	----------------	-----------	---------------------------

# ALLEGATO 1

## TABULATI DI CALCOLO MURO TIPO 1

## 2.1.2 PEDEMONTANA DELLE MARCHE

Secondo stralcio funzionale: Matelica Nord – Matelica Sud/Castelraimondo Nord

Opere d'arte minori: Opere di sostegno e dreni

Muri di controripa in dx in c.a. da 4+680.00 a 4+844.40

Relazione tecnica e di calcolo

Opera L073	Tratto 212	Settore E	CEE 17	WBS OS1100	Id.doc. REL	N.prog. 01	Rev. A	Pag. di Pag. 60 di 195
---------------	---------------	--------------	-----------	---------------	----------------	---------------	-----------	---------------------------

### Normativa

#### N.T.C. 2008 - Approccio 1

##### Simbologia adottata

$\gamma_{Gsfav}$	Coefficiente parziale sfavorevole sulle azioni permanenti
$\gamma_{Gfav}$	Coefficiente parziale favorevole sulle azioni permanenti
$\gamma_{Qsfav}$	Coefficiente parziale sfavorevole sulle azioni variabili
$\gamma_{Qfav}$	Coefficiente parziale favorevole sulle azioni variabili
$\gamma_{tan\phi'}$	Coefficiente parziale di riduzione dell'angolo di attrito drenato
$\gamma_c$	Coefficiente parziale di riduzione della coesione drenata
$\gamma_{cu}$	Coefficiente parziale di riduzione della coesione non drenata
$\gamma_{qu}$	Coefficiente parziale di riduzione del carico ultimo
$\gamma_\gamma$	Coefficiente parziale di riduzione della resistenza a compressione uniaassiale delle rocce

#### Coefficienti di partecipazione combinazioni statiche

##### Coefficienti parziali per le azioni o per l'effetto delle azioni:

Carichi	Effetto		A1	A2	EQU	HYD
Permanenti	Favorevole	$\gamma_{Gfav}$	1,00	1,00	0,90	0,90
Permanenti	Sfavorevole	$\gamma_{Gsfav}$	1,30	1,00	1,10	1,30
Variabili	Favorevole	$\gamma_{Qfav}$	1,00	0,00	0,00	0,00
Variabili	Sfavorevole	$\gamma_{Qsfav}$	1,35	1,15	1,35	1,00

##### Coefficienti parziali per i parametri geotecnici del terreno:

Parametri		M1	M2	M2	M1
Tangente dell'angolo di attrito	$\gamma_{tan\phi'}$	1,00	1,25	1,25	1,00
Coesione efficace	$\gamma_c$	1,00	1,25	1,25	1,00
Resistenza non drenata	$\gamma_{cu}$	1,00	1,40	1,40	1,00
Resistenza a compressione uniaassiale	$\gamma_{qu}$	1,00	1,60	1,60	1,00
Peso dell'unità di volume	$\gamma_\gamma$	1,00	1,00	1,00	1,00

#### Coefficienti di partecipazione combinazioni sismiche

##### Coefficienti parziali per le azioni o per l'effetto delle azioni:

Carichi	Effetto		A1	A2	EQU	HYD
Permanenti	Favorevole	$\gamma_{Gfav}$	1,00	1,00	1,00	0,90
Permanenti	Sfavorevole	$\gamma_{Gsfav}$	1,00	1,00	1,00	1,30
Variabili	Favorevole	$\gamma_{Qfav}$	0,00	0,00	0,00	0,00
Variabili	Sfavorevole	$\gamma_{Qsfav}$	1,00	1,00	1,00	1,00

##### Coefficienti parziali per i parametri geotecnici del terreno:

Parametri		M1	M2	M2	M1
Tangente dell'angolo di attrito	$\gamma_{tan\phi'}$	1,00	1,25	1,25	1,00
Coesione efficace	$\gamma_c$	1,00	1,25	1,25	1,00
Resistenza non drenata	$\gamma_{cu}$	1,00	1,40	1,40	1,00
Resistenza a compressione uniaassiale	$\gamma_{qu}$	1,00	1,60	1,60	1,00
Peso dell'unità di volume	$\gamma_\gamma$	1,00	1,00	1,00	1,00

#### FONDAZIONE SUPERFICIALE

##### Coefficienti parziali $\gamma_R$ per le verifiche agli stati limite ultimi STR e GEO

###### Verifica

	R1	R2	R3
Capacità portante della fondazione	1,00	1,00	1,40
Scorrimento	1,00	1,00	1,10
Resistenza del terreno a valle	1,00	1,00	1,40
Stabilità globale		1,10	

###### Coefficienti parziali

## 2.1.2 PEDEMONTANA DELLE MARCHE

Secondo stralcio funzionale: Matelica Nord – Matelica Sud/Castelraimondo Nord

Opere d'arte minori: Opere di sostegno e dreni

Muri di controripa in dx in c.a. da 4+680.00 a 4+844.40

Relazione tecnica e di calcolo

Opera L073	Tratto 212	Settore E	CEE 17	WBS OS1100	Id.doc. REL	N. prog. 01	Rev. A	Pag. di Pag. 61 di 195
---------------	---------------	--------------	-----------	---------------	----------------	----------------	-----------	---------------------------

### Geometria muro e fondazione

#### Descrizione

Altezza del paramento	3,00 [m]
Spessore in sommità	0,50 [m]
Spessore all'attacco con la fondazione	0,80 [m]
Inclinazione paramento esterno	5,70 [°]
Inclinazione paramento interno	0,00 [°]
Lunghezza del muro	2,40 [m]

#### Muro a mensola in c.a.

#### Fondazione

Lunghezza mensola fondazione di valle	2,00 [m]
Lunghezza mensola fondazione di monte	0,80 [m]
Lunghezza totale fondazione	3,60 [m]
Inclinazione piano di posa della fondazione	0,00 [°]
Spessore fondazione	0,80 [m]
Spessore magrone	0,15 [m]
Altezza dello sperone di fondazione	1,20 [m]
Spessore dello sperone di fondazione	0,50 [m]

Opera L073	Tratto 212	Settore E	CEE 17	WBS OS1100	Id.doc. REL	N.prog. 01	Rev. A	Pag. di Pag. 62 di 195
---------------	---------------	--------------	-----------	---------------	----------------	---------------	-----------	---------------------------

## Materiali utilizzati per la struttura

### Calcestruzzo

Peso specifico	24,517 [kN/mc]
Classe di Resistenza	C25/30
Resistenza caratteristica a compressione $R_{ck}$	30000 [kPa]
Modulo elastico E	31447048 [kPa]

### Acciaio

Tipo	B450C
Tensione di snervamento $\sigma_{fa}$	449936 [kPa]

## Geometria profilo terreno a monte del muro

### Simbologia adottata e sistema di riferimento

(Sistema di riferimento con origine in testa al muro, ascissa X positiva verso monte, ordinata Y positiva verso l'alto)

N numero ordine del punto

X ascissa del punto espressa in [m]

Y ordinata del punto espressa in [m]

A inclinazione del tratto espressa in [°]

N	X	Y	A
1	10,00	4,50	24,23
2	17,20	4,50	0,00

## Terreno a valle del muro

Inclinazione terreno a valle del muro rispetto all'orizzontale	0,00	[°]
Altezza del rinterro rispetto all'attacco fondaz.valle-paramento	0,90	[m]

## Falda

Quota della falda a valle del muro rispetto al piano di posa della fondazione	0,00	[m]
---	------	-----

## Descrizione terreni

### Simbologia adottata

Nr.	Indice del terreno
Descrizione	Descrizione terreno
$\gamma$	Peso di volume del terreno espresso in [kN/mc]
$\gamma_s$	Peso di volume saturo del terreno espresso in [kN/mc]
$\phi$	Angolo d'attrito interno espresso in [°]
$\delta$	Angolo d'attrito terra-muro espresso in [°]
c	Coesione espressa in [kPa]
$c_a$	Adesione terra-muro espressa in [kPa]

Descrizione	$\gamma$	$\gamma_s$	$\phi$	$\delta$	c	$c_a$
Rilevato	20,00	20,00	35,00	23,30	0,0	0,0
Ala	19,00	19,00	25,00	25,00	2,0	2,0
Salt	20,00	20,50	27,00	27,00	20,0	20,0
Pa	23,00	23,00	33,00	33,00	130,0	0,0

## 2.1.2 PEDEMONTANA DELLE MARCHE

Secondo stralcio funzionale: Matelica Nord – Matelica Sud/Castelraimondo Nord

Opere d'arte minori: Opere di sostegno e dreni

Muri di controripa in dx in c.a. da 4+680.00 a 4+844.40

Relazione tecnica e di calcolo

Opera L073	Tratto 212	Settore E	CEE 17	WBS OS1100	Id.doc. REL	N. prog. 01	Rev. A	Pag. di Pag. 63 di 195
---------------	---------------	--------------	-----------	---------------	----------------	----------------	-----------	---------------------------

### Stratigrafia

#### Simbologia adottata

N	Indice dello strato
H	Spessore dello strato espresso in [m]
$\alpha$	Inclinazione espressa in [°]
Kw	Costante di Winkler orizzontale espressa in Kg/cm <sup>2</sup> /cm
Ks	Coefficiente di spinta
Terreno	Terreno dello strato

Nr.	H	Terreno
1	3,80	Rilevato
2	5,00	Ala

## 2.1.2 PEDEMONTANA DELLE MARCHE

Secondo stralcio funzionale: Matelica Nord – Matelica Sud/Castelraimondo Nord

Opere d'arte minori: Opere di sostegno e dreni

Muri di controripa in dx in c.a. da 4+680.00 a 4+844.40

Relazione tecnica e di calcolo

Opera L073	Tratto 212	Settore E	CEE 17	WBS OS1100	Id.doc. REL	N. prog. 01	Rev. A	Pag. di Pag. 64 di 195
---------------	---------------	--------------	-----------	---------------	----------------	----------------	-----------	---------------------------

### Condizioni di carico

#### Simbologia e convenzioni di segno adottate

Carichi verticali positivi verso il basso.

Carichi orizzontali positivi verso sinistra.

Momento positivo senso antiorario.

$X$	Ascissa del punto di applicazione del carico concentrato espressa in [m]
$F_x$	Componente orizzontale del carico concentrato espressa in [kN]
$F_y$	Componente verticale del carico concentrato espressa in [kN]
$M$	Momento espresso in [kNm]
$X_i$	Ascissa del punto iniziale del carico ripartito espressa in [m]
$X_f$	Ascissa del punto finale del carico ripartito espressa in [m]
$Q_i$	Intensità del carico per $x=X_i$ espressa in [kN/m]
$Q_f$	Intensità del carico per $x=X_f$ espressa in [kN/m]
$D/C$	Tipo carico : D=distribuito C=concentrato

#### Condizione n° 1 (Carico stradale)

D	Profilo	$X_i=10,50$	$X_f=17,00$	$Q_i=60,0000$	$Q_f=20,0000$
D	Profilo	$X_i=10,50$	$X_f=13,00$	$Q_i=9,0000$	$Q_f=9,0000$
D	Profilo	$X_i=13,00$	$X_f=17,00$	$Q_i=2,5000$	$Q_f=2,5000$

#### Condizione n° 2 (Urto veicoli)

C	Paramento	$X=-0,25$	$Y=0,00$	$F_x=20,0000$	$F_y=0,0000$
		$M=30,0000$			



## 2.1.2 PEDEMONTANA DELLE MARCHE

Secondo stralcio funzionale: Matelica Nord – Matelica Sud/Castelraimondo Nord

Opere d'arte minori: Opere di sostegno e dreni

Muri di controripa in dx in c.a. da 4+680.00 a 4+844.40

Relazione tecnica e di calcolo

Opera L073	Tratto 212	Settore E	CEE 17	WBS OS1100	Id.doc. REL	N. prog. 01	Rev. A	Pag. di Pag. 65 di 195
---------------	---------------	--------------	-----------	---------------	----------------	----------------	-----------	---------------------------

### Descrizione combinazioni di carico

#### Simbologia adottata

F/S	Effetto dell'azione (FAV: Favorevole, SFAV: Sfavorevole)
$\gamma$	Coefficiente di partecipazione della condizione
$\Psi$	Coefficiente di combinazione della condizione

#### Combinazione n° 1 - Caso A1-M1 (STR)

	S/F	$\gamma$	$\Psi$	$\gamma * \Psi$
Peso proprio muro	FAV	1,00	1,00	1,00
Peso proprio terrapieno	FAV	1,00	1,00	1,00
Spinta terreno	SFAV	1,30	1,00	1,30
Carico stradale	SFAV	1.35	1.00	1.35

#### Combinazione n° 2 - Caso A2-M2 (GEO)

	S/F	$\gamma$	$\Psi$	$\gamma * \Psi$
Peso proprio muro	SFAV	1,00	1,00	1,00
Peso proprio terrapieno	SFAV	1,00	1,00	1,00
Spinta terreno	SFAV	1,00	1,00	1,00
Carico stradale	SFAV	1.15	1.00	1.15

#### Combinazione n° 3 - Caso EQU (SLU)

	S/F	$\gamma$	$\Psi$	$\gamma * \Psi$
Peso proprio muro	FAV	0,90	1,00	0,90
Peso proprio terrapieno	FAV	0,90	1,00	0,90
Spinta terreno	SFAV	1,10	1,00	1,10
Carico stradale	SFAV	1.35	1.00	1.35

#### Combinazione n° 4 - Caso A2-M2 (GEO-STAB)

	S/F	$\gamma$	$\Psi$	$\gamma * \Psi$
Peso proprio muro	SFAV	1,00	1,00	1,00
Peso proprio terrapieno	SFAV	1,00	1,00	1,00
Spinta terreno	SFAV	1,00	1,00	1,00
Carico stradale	SFAV	1.15	1.00	1.15

#### Combinazione n° 5 - Caso A1-M1 (STR)

	S/F	$\gamma$	$\Psi$	$\gamma * \Psi$
Peso proprio muro	FAV	1,00	1,00	1,00
Peso proprio terrapieno	FAV	1,00	1,00	1,00
Spinta terreno	SFAV	1,30	1,00	1,30
Urto veicoli	FAV	1,00	1,00	1,00

#### Combinazione n° 6 - Caso A1-M1 (STR) - Sisma Vert. positivo

	S/F	$\gamma$	$\Psi$	$\gamma * \Psi$
Peso proprio muro	SFAV	1,00	1,00	1,00
Peso proprio terrapieno	SFAV	1,00	1,00	1,00
Spinta terreno	SFAV	1,00	1,00	1,00
Carico stradale	SFAV	1,00	0.20	0.20

#### Combinazione n° 7 - Caso A1-M1 (STR) - Sisma Vert. negativo

	S/F	$\gamma$	$\Psi$	$\gamma * \Psi$
Peso proprio muro	SFAV	1,00	1,00	1,00
Peso proprio terrapieno	SFAV	1,00	1,00	1,00
Spinta terreno	SFAV	1,00	1,00	1,00
Carico stradale	SFAV	1,00	0.20	0.20

#### Combinazione n° 8 - Caso A2-M2 (GEO) - Sisma Vert. positivo

	S/F	$\gamma$	$\Psi$	$\gamma * \Psi$
Peso proprio muro	SFAV	1,00	1,00	1,00
Peso proprio terrapieno	SFAV	1,00	1,00	1,00
Spinta terreno	SFAV	1,00	1,00	1,00

## 2.1.2 PEDEMONTANA DELLE MARCHE

Secondo stralcio funzionale: Matelica Nord – Matelica Sud/Castelraimondo Nord

Opere d'arte minori: Opere di sostegno e dreni

Muri di controripa in dx in c.a. da 4+680.00 a 4+844.40

Relazione tecnica e di calcolo

Opera L073	Tratto 212	Settore E	CEE 17	WBS OS1100	Id.doc. REL	N.prog. 01	Rev. A	Pag. di Pag. 66 di 195
---------------	---------------	--------------	-----------	---------------	----------------	---------------	-----------	---------------------------

Carico stradale SFAV 1.00 0.20 0.20

Combinazione n° 9 - Caso A2-M2 (GEO) - Sisma Vert. negativo

	S/F	$\gamma$	$\Psi$	$\gamma * \Psi$
Peso proprio muro	SFAV	1,00	1,00	1,00
Peso proprio terrapieno	SFAV	1,00	1,00	1,00
Spinta terreno	SFAV	1,00	1,00	1,00
Carico stradale	SFAV	1,00	0,20	0,20

Combinazione n° 10 - Caso EQU (SLU) - Sisma Vert. positivo

	S/F	$\gamma$	$\Psi$	$\gamma * \Psi$
Peso proprio muro	FAV	1,00	1,00	1,00
Peso proprio terrapieno	FAV	1,00	1,00	1,00
Spinta terreno	SFAV	1,00	1,00	1,00
Carico stradale	SFAV	1,00	0,20	0,20

Combinazione n° 11 - Caso EQU (SLU) - Sisma Vert. negativo

	S/F	$\gamma$	$\Psi$	$\gamma * \Psi$
Peso proprio muro	FAV	1,00	1,00	1,00
Peso proprio terrapieno	FAV	1,00	1,00	1,00
Spinta terreno	SFAV	1,00	1,00	1,00
Carico stradale	SFAV	1,00	0,20	0,20

Combinazione n° 12 - Caso A2-M2 (GEO-STAB) - Sisma Vert. positivo

	S/F	$\gamma$	$\Psi$	$\gamma * \Psi$
Peso proprio muro	SFAV	1,00	1,00	1,00
Peso proprio terrapieno	SFAV	1,00	1,00	1,00
Spinta terreno	SFAV	1,00	1,00	1,00
Carico stradale	SFAV	1,00	0,20	0,20

Combinazione n° 13 - Caso A2-M2 (GEO-STAB) - Sisma Vert. negativo

	S/F	$\gamma$	$\Psi$	$\gamma * \Psi$
Peso proprio muro	SFAV	1,00	1,00	1,00
Peso proprio terrapieno	SFAV	1,00	1,00	1,00
Spinta terreno	SFAV	1,00	1,00	1,00
Carico stradale	SFAV	1,00	0,20	0,20

Combinazione n° 14 - Quasi Permanente (SLE)

	S/F	$\gamma$	$\Psi$	$\gamma * \Psi$
Peso proprio muro	--	1,00	1,00	1,00
Peso proprio terrapieno	--	1,00	1,00	1,00
Spinta terreno	--	1,00	1,00	1,00

Combinazione n° 15 - Frequente (SLE)

	S/F	$\gamma$	$\Psi$	$\gamma * \Psi$
Peso proprio muro	--	1,00	1,00	1,00
Peso proprio terrapieno	--	1,00	1,00	1,00
Spinta terreno	--	1,00	1,00	1,00
Carico stradale	SFAV	1,00	0,75	0,75

Combinazione n° 16 - Rara (SLE)

	S/F	$\gamma$	$\Psi$	$\gamma * \Psi$
Peso proprio muro	--	1,00	1,00	1,00
Peso proprio terrapieno	--	1,00	1,00	1,00
Spinta terreno	--	1,00	1,00	1,00
Carico stradale	SFAV	1,00	1,00	1,00

Impostazioni di analisi

## 2.1.2 PEDEMONTANA DELLE MARCHE

Secondo stralcio funzionale: Matelica Nord – Matelica Sud/Castelraimondo Nord

Opere d'arte minori: Opere di sostegno e dreni

Muri di controripa in dx in c.a. da 4+680.00 a 4+844.40

Relazione tecnica e di calcolo

Opera L073	Tratto 212	Settore E	CEE 17	WBS OS1100	Id.doc. REL	N. prog. 01	Rev. A	Pag. di Pag. 67 di 195
---------------	---------------	--------------	-----------	---------------	----------------	----------------	-----------	---------------------------

Metodo verifica sezioni

**Stato limite**

**Impostazioni verifiche SLU**

Coefficienti parziali per resistenze di calcolo dei materiali

Coefficiente di sicurezza calcestruzzo a compressione	1.50
Coefficiente di sicurezza calcestruzzo a trazione	1.50
Coefficiente di sicurezza acciaio	1.15
Fattore riduzione da resistenza cubica a cilindrica	0.83
Fattore di riduzione per carichi di lungo periodo	0.85
Coefficiente di sicurezza per la sezione	1.00

**Impostazioni verifiche SLE**

Condizioni ambientali

Aggressive

Armatura ad aderenza migliorata

Verifica fessurazione

Sensibilità delle armature

Poco sensibile

Valori limite delle aperture delle fessure

$w_1 = 0.20$

$w_2 = 0.30$

$w_3 = 0.40$

Metodo di calcolo aperture delle fessure

Circ. Min. 252 (15/10/1996)

Verifica delle tensioni

Combinazione di carico

Rara  $\sigma_c < 0.60 f_{ck}$  -  $\sigma_f < 0.70 f_{yk}$

Quasi permanente  $\sigma_c < 0.45 f_{ck}$

Calcolo della portanza

metodo di Meyerhof

Coefficiente correttivo su  $N_f$  per effetti cinematici (combinazioni sismiche SLU): 1,00

Coefficiente correttivo su  $N_f$  per effetti cinematici (combinazioni sismiche SLE): 1,00

**Impostazioni avanzate**

Terreno a monte a elevata permeabilità

Diagramma correttivo per eccentricità negativa con aliquota di parzializzazione pari a 0.00

## 2.1.2 PEDEMONTANA DELLE MARCHE

Secondo stralcio funzionale: Matelica Nord – Matelica Sud/Castelraimondo Nord

Opere d'arte minori: Opere di sostegno e dreni

Muri di controripa in dx in c.a. da 4+680.00 a 4+844.40

Relazione tecnica e di calcolo

Opera L073	Tratto 212	Settore E	CEE 17	WBS OS1100	Id.doc. REL	N.prog. 01	Rev. A	Pag. di Pag. 68 di 195
---------------	---------------	--------------	-----------	---------------	----------------	---------------	-----------	---------------------------

### Quadro riassuntivo coeff. di sicurezza calcolati

#### Simbologia adottata

<b>C</b>	Identificativo della combinazione
<b>Tipo</b>	Tipo combinazione
<b>Sisma</b>	Combinazione sismica
<b>CS<sub>SCO</sub></b>	Coeff. di sicurezza allo scorrimento
<b>CS<sub>RIB</sub></b>	Coeff. di sicurezza al ribaltamento
<b>CS<sub>QUM</sub></b>	Coeff. di sicurezza a carico limite
<b>CS<sub>STAB</sub></b>	Coeff. di sicurezza a stabilità globale

<b>C</b>	<b>Tipo</b>	<b>Sisma</b>	<b>CS<sub>SCO</sub></b>	<b>CS<sub>RIB</sub></b>	<b>CS<sub>QUM</sub></b>	<b>CS<sub>STAB</sub></b>
1	A1-M1 - [1]	--	3,56	--	8,51	--
2	A2-M2 - [1]	--	2,51	--	4,92	--
3	EQU - [1]	--	--	4,15	--	--
4	STAB - [1]	--	--	--	--	1,55
5	A1-M1 - [2]	--	2,79	--	8,09	--
6	A1-M1 - [3]	Orizzontale + Verticale positivo	2,77	--	7,56	--
7	A1-M1 - [3]	Orizzontale + Verticale negativo	2,80	--	8,11	--
8	A2-M2 - [3]	Orizzontale + Verticale positivo	1,58	--	4,07	--
9	A2-M2 - [3]	Orizzontale + Verticale negativo	1,61	--	4,39	--
10	EQU - [3]	Orizzontale + Verticale positivo	--	3,24	--	--
11	EQU - [3]	Orizzontale + Verticale negativo	--	2,93	--	--
12	STAB - [3]	Orizzontale + Verticale positivo	--	--	--	1,31
13	STAB - [3]	Orizzontale + Verticale negativo	--	--	--	1,31
14	SLEQ - [1]	--	4,56	--	9,51	--
15	SLEF - [1]	--	4,56	--	9,51	--
16	SLER - [1]	--	4,56	--	9,51	--

## Analisi della spinta e verifiche

Sistema di riferimento adottato per le coordinate :

Origine in testa al muro (spigolo di monte)

Ascisse X (espresse in [m]) positive verso monte

Ordinate Y (espresse in [m]) positive verso l'alto

Le forze orizzontali sono considerate positive se agenti da monte verso valle

Le forze verticali sono considerate positive se agenti dall'alto verso il basso

Calcolo riferito ad 1 metro di muro

### Tipo di analisi

Calcolo della spinta

Calcolo del carico limite

Calcolo della stabilità globale

Calcolo della spinta in condizioni di

metodo di Culmann

metodo di Meyerhof

metodo di Fellenius

Spinta attiva

### Sisma

#### **Combinazioni SLU**

Accelerazione al suolo  $a_g$

2.02 [m/s<sup>2</sup>]

Coefficiente di amplificazione per tipo di sottosuolo (S)

1.39

Coefficiente di amplificazione topografica (St)

1.00

Coefficiente riduzione ( $\beta_m$ )

0.31

Rapporto intensità sismica verticale/orizzontale

0.50

Coefficiente di intensità sismica orizzontale (percento)

$k_h=(a_g/g*\beta_m*St*S) = 8.86$

Coefficiente di intensità sismica verticale (percento)

$k_v=0.50 * k_h = 4.43$

#### **Combinazioni SLE**

Accelerazione al suolo  $a_g$

0.00 [m/s<sup>2</sup>]

Coefficiente di amplificazione per tipo di sottosuolo (S)

1.50

Coefficiente di amplificazione topografica (St)

1.00

Coefficiente riduzione ( $\beta_m$ )

1.00

Rapporto intensità sismica verticale/orizzontale

0.50

Coefficiente di intensità sismica orizzontale (percento)

$k_h=(a_g/g*\beta_m*St*S) = 0.00$

Coefficiente di intensità sismica verticale (percento)

$k_v=0.50 * k_h = 0.00$

Forma diagramma incremento sismico

Stessa forma diagramma statico

Partecipazione spinta passiva (percento)

50,0

Lunghezza del muro

2,40 [m]

Peso muro

133,0958 [kN]

Baricentro del muro

X=-0,68 Y=-2,87

### Superficie di spinta

Punto inferiore superficie di spinta

X = 0,80 Y = -3,80

Punto superiore superficie di spinta

X = 0,80 Y = 0,36

Altezza della superficie di spinta

4,16 [m]

Inclinazione superficie di spinta(rispetto alla verticale)

0,00 [°]

### COMBINAZIONE n° 1

#### **Peso muro favorevole e Peso terrapieno favorevole**

Valore della spinta statica

79,6727 [kN]

Componente orizzontale della spinta statica

73,1751 [kN]

Componente verticale della spinta statica

31,5142 [kN]

Punto d'applicazione della spinta

X = 0,80 [m] Y = -2,41 [m]

## 2.1.2 PEDEMONTANA DELLE MARCHE

Secondo stralcio funzionale: Matelica Nord – Matelica Sud/Castelraimondo Nord

Opere d'arte minori: Opere di sostegno e dreni

Muri di controripa in dx in c.a. da 4+680.00 a 4+844.40

Relazione tecnica e di calcolo

Opera	Tratto	Settore	CEE	WBS	Id.doc.	N. prog.	Rev.	Pag. di Pag.
L073	212	E	17	OS1100	REL	01	A	70 di 195

Inclinaz. della spinta rispetto alla normale alla superficie	23,30	[°]		
Inclinazione linea di rottura in condizioni statiche	51,88	[°]		
Punto d'applicazione della spinta della falda	X = 0,80	[m]	Y = -3,80	[m]
Peso terrapieno gravante sulla fondazione a monte	50,8800	[kN]		
Baricentro terrapieno gravante sulla fondazione a monte	X = 0,41	[m]	Y = -1,41	[m]

### Risultanti

Risultante dei carichi applicati in dir. orizzontale	73,1751	[kN]
Risultante dei carichi applicati in dir. verticale	215,4900	[kN]
Resistenza passiva a valle del muro	-36,0823	[kN]
Resistenza passiva dente di fondazione	-166,6138	[kN]
Sforzo normale sul piano di posa della fondazione	215,4900	[kN]
Sforzo tangenziale sul piano di posa della fondazione	73,1751	[kN]
Eccentricità rispetto al baricentro della fondazione	-0,32	[m]
Lunghezza fondazione reagente	3,60	[m]
Risultante in fondazione	227,5753	[kN]
Inclinazione della risultante (rispetto alla normale)	18,76	[°]
Momento rispetto al baricentro della fondazione	-69,7747	[kNm]
Carico ultimo della fondazione	1833,7560	[kN]

### Tensioni sul terreno

Lunghezza fondazione reagente	3,60	[m]
Tensione terreno allo spigolo di valle	27,55	[kPa]
Tensione terreno allo spigolo di monte	92,18	[kPa]

### Fattori per il calcolo della capacità portante

<b>Coeff. capacità portante</b>	$N_c = 22.25$	$N_q = 11.85$	$N_\gamma = 8.00$
<b>Fattori forma</b>	$s_c = 1,00$	$s_q = 1,00$	$s_\gamma = 1,00$
<b>Fattori inclinazione</b>	$i_c = 0,63$	$i_q = 0,63$	$i_\gamma = 0,08$
<b>Fattori profondità</b>	$d_c = 1,23$	$d_q = 1,12$	$d_\gamma = 1,12$
I coefficienti N' tengono conto dei fattori di forma, profondità, inclinazione carico, inclinazione piano di posa, inclinazione pendio.			
	$N'_c = 17.21$	$N'_q = 8.30$	$N'_\gamma = 0.69$

### COEFFICIENTI DI SICUREZZA

Coefficiente di sicurezza a scorrimento	3.56
Coefficiente di sicurezza a carico ultimo	8.51

## 2.1.2 PEDEMONTANA DELLE MARCHE

Secondo stralcio funzionale: Matelica Nord – Matelica Sud/Castelraimondo Nord

Opere d'arte minori: Opere di sostegno e dreni

Muri di controripa in dx in c.a. da 4+680.00 a 4+844.40

Relazione tecnica e di calcolo

Opera L073	Tratto 212	Settore E	CEE 17	WBS OS1100	Id.doc. REL	N. prog. 01	Rev. A	Pag. di Pag. 71 di 195
---------------	---------------	--------------	-----------	---------------	----------------	----------------	-----------	---------------------------

### Sollecitazioni paramento

#### Combinazione n° 1

L'ordinata Y (espressa in m) è considerata positiva verso il basso con origine in testa al muro

Momento positivo se tende le fibre contro terra (a monte), espresso in kNm

Sforzo normale positivo di compressione, espresso in kN

Taglio positivo se diretto da monte verso valle, espresso in kN

Nr.	Y	N	M	T
1	0,00	0,0000	0,0000	0,0000
2	0,15	1,8662	-0,0022	0,0952
3	0,30	3,7873	0,0099	0,3809
4	0,45	5,7633	0,0645	0,8569
5	0,60	7,7941	0,1898	1,5234
6	0,75	9,8799	0,4138	2,3804
7	0,90	12,0205	0,7648	3,4277
8	1,05	14,2160	1,2709	4,6655
9	1,20	16,4663	1,9603	6,0938
10	1,35	18,7716	2,8610	7,7124
11	1,50	21,1317	4,0013	9,5215
12	1,65	23,5467	5,4093	11,5210
13	1,80	26,0166	7,1131	13,7110
14	1,95	28,5413	9,1410	16,0914
15	2,10	31,1210	11,5210	18,6622
16	2,25	33,7555	14,2813	21,4234
17	2,40	36,4449	17,4500	24,3751
18	2,55	39,1891	21,0554	27,5172
19	2,70	41,9883	25,1255	30,8497
20	2,85	44,8423	29,6885	34,3727
21	3,00	47,7512	34,7714	38,0556

### Sollecitazioni fondazione di valle

#### Combinazione n° 1

L'ascissa X (espressa in m) è considerata positiva verso monte con origine in corrispondenza dell'estremo libero della fondazione di valle

Momento positivo se tende le fibre inferiori, espresso in kNm

Taglio positivo se diretto verso l'alto, espresso in kN

Nr.	X	M	T
1	0,00	0,0000	0,0000
2	0,20	0,1828	1,9473
3	0,40	0,8268	4,6127
4	0,60	2,0757	7,9963
5	0,80	4,0732	12,0982
6	1,00	6,9629	16,9181
7	1,20	10,8883	22,4563
8	1,40	15,9933	28,7127
9	1,60	22,4213	35,6872
10	1,80	30,3160	43,3799
11	2,00	39,8211	51,7908

### Sollecitazioni fondazione di monte

## 2.1.2 PEDEMONTANA DELLE MARCHE

Secondo stralcio funzionale: Matelica Nord – Matelica Sud/Castelraimondo Nord

Opere d'arte minori: Opere di sostegno e dreni

Muri di controripa in dx in c.a. da 4+680.00 a 4+844.40

Relazione tecnica e di calcolo

Opera L073	Tratto 212	Settore E	CEE 17	WBS OS1100	Id.doc. REL	N. prog. 01	Rev. A	Pag. di Pag. 72 di 195
---------------	---------------	--------------	-----------	---------------	----------------	----------------	-----------	---------------------------

### Combinazione n° 1

L'ascissa X (espressa in m) è considerata positiva verso valle con origine in corrispondenza dell'estremo libero della fondazione di monte

Momento positivo se tende le fibre inferiori, espresso in kNm

Taglio positivo se diretto verso l'alto, espresso in kN

Nr.	X	M	T
1	0,00	0,0000	0,0000
2	0,08	-0,0479	-1,2034
3	0,16	-0,1936	-2,4469
4	0,24	-0,4404	-3,7304
5	0,32	-0,7916	-5,0539
6	0,40	-1,2501	-6,4175
7	0,48	-1,8194	-7,8211
8	0,56	-2,5026	-9,2647
9	0,64	-3,3028	-10,7483
10	0,72	-4,2234	-12,2720
11	0,80	-5,2674	-13,8357

### COMBINAZIONE n° 2

Valore della spinta statica	88,2447	[kN]		
Componente orizzontale della spinta statica	83,4317	[kN]		
Componente verticale della spinta statica	28,7451	[kN]		
Punto d'applicazione della spinta	X = 0,80	[m]	Y = -2,45	[m]
Inclinaz. della spinta rispetto alla normale alla superficie	19,01	[°]		
Inclinazione linea di rottura in condizioni statiche	38,32	[°]		
Punto d'applicazione della spinta della falda	X = 0,80	[m]	Y = -3,80	[m]
Peso terrapieno gravante sulla fondazione a monte	50,8800	[kN]		
Baricentro terrapieno gravante sulla fondazione a monte	X = 0,41	[m]	Y = -1,41	[m]

### Risultanti

Risultante dei carichi applicati in dir. orizzontale	83,4317	[kN]
Risultante dei carichi applicati in dir. verticale	212,7209	[kN]
Resistenza passiva a valle del muro	-30,1804	[kN]
Resistenza passiva dente di fondazione	-136,2329	[kN]
Sforzo normale sul piano di posa della fondazione	212,7209	[kN]
Sforzo tangenziale sul piano di posa della fondazione	83,4317	[kN]
Eccentricità rispetto al baricentro della fondazione	-0,25	[m]
Lunghezza fondazione reagente	3,60	[m]
Risultante in fondazione	228,4973	[kN]
Inclinazione della risultante (rispetto alla normale)	21,42	[°]
Momento rispetto al baricentro della fondazione	-53,5316	[kNm]
Carico ultimo della fondazione	1046,9752	[kN]

### Tensioni sul terreno

Lunghezza fondazione reagente	3,60	[m]
Tensione terreno allo spigolo di valle	34,31	[kPa]
Tensione terreno allo spigolo di monte	83,89	[kPa]

### Fattori per il calcolo della capacità portante

<b>Coeff. capacità portante</b>	$N_c = 16.14$	$N_q = 7.30$	$N_\gamma = 3.61$
<b>Fattori forma</b>	$s_c = 1,00$	$s_q = 1,00$	$s_\gamma = 1,00$
<b>Fattori inclinazione</b>	$i_c = 0,58$	$i_q = 0,58$	$i_\gamma = 0,00$
<b>Fattori profondità</b>	$d_c = 1,21$	$d_q = 1,11$	$d_\gamma = 1,11$
I coefficienti N' tengono conto dei fattori di forma, profondità, inclinazione carico, inclinazione piano di posa, inclinazione pendio.			
	$N'_c = 11.38$	$N'_q = 4.69$	$N'_\gamma = 0.00$





**QUADRILATERO**

Marche Umbria S.p.A.

## 2.1.2 PEDEMONTANA DELLE MARCHE

Secondo stralcio funzionale: Matelica Nord – Matelica Sud/Castelraimondo Nord

Opere d'arte minori: Opere di sostegno e dreni

Muri di controripa in dx in c.a. da 4+680.00 a 4+844.40

Relazione tecnica e di calcolo

Opera L073	Tratto 212	Settore E	CEE 17	WBS OS1100	Id.doc. REL	N. prog. 01	Rev. A	Pag. di Pag. 73 di 195
---------------	---------------	--------------	-----------	---------------	----------------	----------------	-----------	---------------------------

### COEFFICIENTI DI SICUREZZA

Coefficiente di sicurezza a scorrimento

2.51

Coefficiente di sicurezza a carico ultimo

4.92

## 2.1.2 PEDEMONTANA DELLE MARCHE

Secondo stralcio funzionale: Matelica Nord – Matelica Sud/Castelraimondo Nord

Opere d'arte minori: Opere di sostegno e dreni

Muri di controripa in dx in c.a. da 4+680.00 a 4+844.40

Relazione tecnica e di calcolo

Opera L073	Tratto 212	Settore E	CEE 17	WBS OS1100	Id.doc. REL	N. prog. 01	Rev. A	Pag. di Pag. 74 di 195
---------------	---------------	--------------	-----------	---------------	----------------	----------------	-----------	---------------------------

### Sollecitazioni paramento

#### Combinazione n° 2

L'ordinata Y (espressa in m) è considerata positiva verso il basso con origine in testa al muro

Momento positivo se tende le fibre contro terra (a monte), espresso in kNm

Sforzo normale positivo di compressione, espresso in kN

Taglio positivo se diretto da monte verso valle, espresso in kN

Nr.	Y	N	M	T
1	0,00	0,0000	0,0000	0,0000
2	0,15	1,8662	-0,0017	0,1053
3	0,30	3,7873	0,0139	0,4211
4	0,45	5,7633	0,0781	0,9475
5	0,60	7,7941	0,2220	1,6845
6	0,75	9,8799	0,4767	2,6320
7	0,90	12,0205	0,8735	3,7901
8	1,05	14,2160	1,4435	5,1587
9	1,20	16,4663	2,2179	6,7379
10	1,35	18,7716	3,2279	8,5276
11	1,50	21,1317	4,5045	10,5279
12	1,65	23,5467	6,0791	12,7388
13	1,80	26,0166	7,9827	15,1602
14	1,95	28,5413	10,2465	17,7922
15	2,10	31,1210	12,9018	20,6348
16	2,25	33,7555	15,9796	23,6879
17	2,40	36,4449	19,5112	26,9515
18	2,55	39,1891	23,5276	30,4257
19	2,70	41,9883	28,0602	34,1105
20	2,85	44,8423	33,1400	38,0059
21	3,00	47,7512	38,7969	42,0781

### Sollecitazioni fondazione di valle

#### Combinazione n° 2

L'ascissa X (espressa in m) è considerata positiva verso monte con origine in corrispondenza dell'estremo libero della fondazione di valle

Momento positivo se tende le fibre inferiori, espresso in kNm

Taglio positivo se diretto verso l'alto, espresso in kN

Nr.	X	M	T
1	0,00	0,0000	0,0000
2	0,20	0,3122	3,2143
3	0,40	1,3224	6,9795
4	0,60	3,1408	11,2958
5	0,80	5,8775	16,1630
6	1,00	9,6427	21,5813
7	1,20	14,5467	27,5505
8	1,40	20,6997	34,0707
9	1,60	28,2118	41,1420
10	1,80	37,1932	48,7642
11	2,00	47,7542	56,9374

### Sollecitazioni fondazione di monte

## 2.1.2 PEDEMONTANA DELLE MARCHE

Secondo stralcio funzionale: Matelica Nord – Matelica Sud/Castelraimondo Nord

Opere d'arte minori: Opere di sostegno e dreni

Muri di controripa in dx in c.a. da 4+680.00 a 4+844.40

Relazione tecnica e di calcolo

Opera L073	Tratto 212	Settore E	CEE 17	WBS OS1100	Id.doc. REL	N. prog. 01	Rev. A	Pag. di Pag. 75 di 195
---------------	---------------	--------------	-----------	---------------	----------------	----------------	-----------	---------------------------

### Combinazione n° 2

L'ascissa X (espressa in m) è considerata positiva verso valle con origine in corrispondenza dell'estremo libero della fondazione di monte

Momento positivo se tende le fibre inferiori, espresso in kNm

Taglio positivo se diretto verso l'alto, espresso in kN

Nr.	X	M	T
1	0,00	0,0000	0,0000
2	0,08	-0,0098	-0,2492
3	0,16	-0,0407	-0,5290
4	0,24	-0,0952	-0,8394
5	0,32	-0,1758	-1,1803
6	0,40	-0,2849	-1,5518
7	0,48	-0,4249	-1,9538
8	0,56	-0,5983	-2,3864
9	0,64	-0,8075	-2,8495
10	0,72	-1,0550	-3,3432
11	0,80	-1,3433	-3,8675

### COMBINAZIONE n° 3

Valore della spinta statica	97,8168	[kN]		
Componente orizzontale della spinta statica	92,4817	[kN]		
Componente verticale della spinta statica	31,8631	[kN]		
Punto d'applicazione della spinta	X = 0,80	[m]	Y = -2,46	[m]
Inclinaz. della spinta rispetto alla normale alla superficie	19,01	[°]		
Inclinazione linea di rottura in condizioni statiche	38,19	[°]		
Punto d'applicazione della spinta della falda	X = 0,80	[m]	Y = -3,80	[m]
Peso terrapieno gravante sulla fondazione a monte	45,7920	[kN]		
Baricentro terrapieno gravante sulla fondazione a monte	X = 0,41	[m]	Y = -1,41	[m]

### Risultanti

Risultante dei carichi applicati in dir. orizzontale	92,4817	[kN]
Risultante dei carichi applicati in dir. verticale	197,4413	[kN]
Resistenza passiva a valle del muro	-27,1624	[kN]
Resistenza passiva dente di fondazione	-128,2336	[kN]
Momento ribaltante rispetto allo spigolo a valle	124,3417	[kNm]
Momento stabilizzante rispetto allo spigolo a valle	515,8287	[kNm]
Sforzo normale sul piano di posa della fondazione	197,4413	[kN]
Sforzo tangenziale sul piano di posa della fondazione	92,4817	[kN]
Eccentricità rispetto al baricentro della fondazione	-0,18	[m]
Lunghezza fondazione reagente	3,60	[m]
Risultante in fondazione	218,0274	[kN]
Inclinazione della risultante (rispetto alla normale)	25,10	[°]
Momento rispetto al baricentro della fondazione	-36,1478	[kNm]

### COEFFICIENTI DI SICUREZZA

Coefficiente di sicurezza a ribaltamento	4.15
--	------

## 2.1.2 PEDEMONTANA DELLE MARCHE

Secondo stralcio funzionale: Matelica Nord – Matelica Sud/Castelraimondo Nord

Opere d'arte minori: Opere di sostegno e dreni

Muri di controripa in dx in c.a. da 4+680.00 a 4+844.40

Relazione tecnica e di calcolo

Opera L073	Tratto 212	Settore E	CEE 17	WBS OS1100	Id.doc. REL	N. prog. 01	Rev. A	Pag. di Pag. 76 di 195
---------------	---------------	--------------	-----------	---------------	----------------	----------------	-----------	---------------------------

### Stabilità globale muro + terreno

#### Combinazione n° 4

Le ascisse X sono considerate positive verso monte

Le ordinate Y sono considerate positive verso l'alto

Origine in testa al muro (spigolo contro terra)

W	peso della striscia espresso in [kN]
$\alpha$	angolo fra la base della striscia e l'orizzontale espresso in [°] (positivo antiorario)
$\phi$	angolo d'attrito del terreno lungo la base della striscia
c	coesione del terreno lungo la base della striscia espressa in [kPa]
b	larghezza della striscia espressa in [m]
u	pressione neutra lungo la base della striscia espressa in [kPa]

Metodo di Fellenius

Numero di cerchi analizzati 36

Numero di strisce 25

Cerchio critico

Coordinate del centro X[m]= 0,00 Y[m]= 3,39

Raggio del cerchio R[m]= 8,41

Ascissa a valle del cerchio Xi[m]= -6,38

Ascissa a monte del cerchio Xs[m]= 8,40

Larghezza della striscia dx[m]= 0,59

Coefficiente di sicurezza C= 1.55

Le strisce sono numerate da monte verso valle

Caratteristiche delle strisce

Striscia	W	$\alpha(^{\circ})$	Wsin $\alpha$	b/cos $\alpha$	$\phi$	c	u
1	23,8662	77.70	23,3188	0,0272	29.26	0	0
2	43,7997	63.66	39,2527	0,0131	29.26	0	0
3	52,8020	55.56	43,5442	0,0102	29.26	0	0
4	58,7573	48.93	44,2949	0,0088	29.26	0	0
5	62,8891	43.10	42,9710	0,0079	29.26	0	0
6	65,7221	37.79	40,2747	0,0073	29.26	0	0
7	67,5404	32.85	36,6324	0,0069	28.10	1	0
8	68,4596	28.16	32,3119	0,0066	21.32	8	2
9	68,6326	23.68	27,5637	0,0063	21.32	8	5
10	68,1782	19.34	22,5842	0,0061	21.32	8	7
11	67,1508	15.12	17,5198	0,0060	21.32	8	9
12	65,5891	10.99	12,4985	0,0059	21.32	8	10
13	63,8355	6.90	7,6741	0,0058	21.32	8	11
14	63,1490	2.86	3,1498	0,0058	21.32	8	12
15	70,1942	-1.17	-1,4360	0,0058	21.32	8	12
16	44,3732	-5.21	-4,0289	0,0058	21.32	8	12
17	34,9930	-9.27	-5,6386	0,0059	21.32	8	11
18	33,6207	-13.38	-7,7824	0,0060	21.32	8	10
19	31,6044	-17.57	-9,5390	0,0061	21.32	8	8
20	27,0675	-21.85	-10,0740	0,0062	21.32	8	6
21	24,0220	-26.27	-10,6308	0,0065	21.32	8	3
22	20,2969	-30.86	-10,4109	0,0068	24.87	4	0
23	15,7183	-35.69	-9,1691	0,0071	29.26	0	0
24	10,1931	-40.83	-6,6641	0,0077	29.26	0	0
25	3,5072	-46.41	-2,5403	0,0084	29.26	0	0

$\Sigma W_i = 1155,9621$  [kN]

$\Sigma W_i \sin \alpha_i = 315,6767$  [kN]

$\Sigma W_i \cos \alpha_i \tan \phi_i = 431,8576$  [kN]

$\Sigma c_i b_i / \cos \alpha_i = 73,0562$  [kN]

## 2.1.2 PEDEMONTANA DELLE MARCHE

Secondo stralcio funzionale: Matelica Nord – Matelica Sud/Castelraimondo Nord

Opere d'arte minori: Opere di sostegno e dreni

Muri di controripa in dx in c.a. da 4+680.00 a 4+844.40

Relazione tecnica e di calcolo

Opera L073	Tratto 212	Settore E	CEE 17	WBS OS1100	Id.doc. REL	N. prog. 01	Rev. A	Pag. di Pag. 77 di 195
---------------	---------------	--------------	-----------	---------------	----------------	----------------	-----------	---------------------------

### COMBINAZIONE n° 5

#### Peso muro favorevole e Peso terrapieno favorevole

Valore della spinta statica	79,6727	[kN]		
Componente orizzontale della spinta statica	73,1751	[kN]		
Componente verticale della spinta statica	31,5142	[kN]		
Punto d'applicazione della spinta	X = 0,80	[m]	Y = -2,41	[m]
Inclinaz. della spinta rispetto alla normale alla superficie	23,30	[°]		
Inclinazione linea di rottura in condizioni statiche	51,88	[°]		
Punto d'applicazione della spinta della falda	X = 0,80	[m]	Y = -3,80	[m]
Peso terrapieno gravante sulla fondazione a monte	50,8800	[kN]		
Baricentro terrapieno gravante sulla fondazione a monte	X = 0,41	[m]	Y = -1,41	[m]

#### Risultanti carichi esterni

Componente dir. X	20,00	[kN]
-------------------	-------	------

#### Risultanti

Risultante dei carichi applicati in dir. orizzontale	93,1751	[kN]
Risultante dei carichi applicati in dir. verticale	215,4900	[kN]
Resistenza passiva a valle del muro	-36,0823	[kN]
Resistenza passiva dente di fondazione	-186,4976	[kN]
Sforzo normale sul piano di posa della fondazione	215,4900	[kN]
Sforzo tangenziale sul piano di posa della fondazione	93,1751	[kN]
Eccentricità rispetto al baricentro della fondazione	0,17	[m]
Lunghezza fondazione reagente	3,60	[m]
Risultante in fondazione	234,7712	[kN]
Inclinazione della risultante (rispetto alla normale)	23,38	[°]
Momento rispetto al baricentro della fondazione	36,2253	[kNm]
Carico ultimo della fondazione	1743,0542	[kN]

#### Tensioni sul terreno

Lunghezza fondazione reagente	3,60	[m]
Tensione terreno allo spigolo di valle	76,64	[kPa]
Tensione terreno allo spigolo di monte	43,09	[kPa]

#### Fattori per il calcolo della capacità portante

<b>Coeff. capacità portante</b>	$N_c = 22.25$	$N_q = 11.85$	$N_\gamma = 8.00$
<b>Fattori forma</b>	$s_c = 1,00$	$s_q = 1,00$	$s_\gamma = 1,00$
<b>Fattori inclinazione</b>	$i_c = 0,55$	$i_q = 0,55$	$i_\gamma = 0,01$
<b>Fattori profondità</b>	$d_c = 1,23$	$d_q = 1,12$	$d_\gamma = 1,12$
I coefficienti N' tengono conto dei fattori di forma, profondità, inclinazione carico, inclinazione piano di posa, inclinazione pendio.			
	$N'_c = 15.05$	$N'_q = 7.26$	$N'_\gamma = 0.09$

#### COEFFICIENTI DI SICUREZZA

Coefficiente di sicurezza a scorrimento	2.79
Coefficiente di sicurezza a carico ultimo	8.09

## 2.1.2 PEDEMONTANA DELLE MARCHE

Secondo stralcio funzionale: Matelica Nord – Matelica Sud/Castelraimondo Nord

Opere d'arte minori: Opere di sostegno e dreni

Muri di controripa in dx in c.a. da 4+680.00 a 4+844.40

Relazione tecnica e di calcolo

Opera L073	Tratto 212	Settore E	CEE 17	WBS OS1100	Id.doc. REL	N. prog. 01	Rev. A	Pag. di Pag. 78 di 195
---------------	---------------	--------------	-----------	---------------	----------------	----------------	-----------	---------------------------

### Sollecitazioni paramento

#### Combinazione n° 5

L'ordinata Y (espressa in m) è considerata positiva verso il basso con origine in testa al muro

Momento positivo se tende le fibre contro terra (a monte), espresso in kNm

Sforzo normale positivo di compressione, espresso in kN

Taglio positivo se diretto da monte verso valle, espresso in kN

Nr.	Y	N	M	T
1	0,00	0,0000	30,0000	20,0000
2	0,15	1,8662	32,9978	20,0952
3	0,30	3,7873	36,0099	20,3809
4	0,45	5,7633	39,0645	20,8569
5	0,60	7,7941	42,1898	21,5234
6	0,75	9,8799	45,4138	22,3804
7	0,90	12,0205	48,7648	23,4277
8	1,05	14,2160	52,2709	24,6655
9	1,20	16,4663	55,9603	26,0938
10	1,35	18,7716	59,8610	27,7124
11	1,50	21,1317	64,0013	29,5215
12	1,65	23,5467	68,4093	31,5210
13	1,80	26,0166	73,1131	33,7110
14	1,95	28,5413	78,1410	36,0914
15	2,10	31,1210	83,5210	38,6622
16	2,25	33,7555	89,2813	41,4234
17	2,40	36,4449	95,4500	44,3751
18	2,55	39,1891	102,0554	47,5172
19	2,70	41,9883	109,1255	50,8497
20	2,85	44,8423	116,6885	54,3727
21	3,00	47,7512	124,7714	58,0556

### Sollecitazioni fondazione di valle

#### Combinazione n° 5

L'ascissa X (espressa in m) è considerata positiva verso monte con origine in corrispondenza dell'estremo libero della fondazione di valle

Momento positivo se tende le fibre inferiori, espresso in kNm

Taglio positivo se diretto verso l'alto, espresso in kN

Nr.	X	M	T
1	0,00	0,0000	0,0000
2	0,20	1,1282	11,2196
3	0,40	4,4630	22,0664
4	0,60	9,9299	32,5403
5	0,80	17,4542	42,6413
6	1,00	26,9615	52,3694
7	1,20	38,3772	61,7247
8	1,40	51,6266	70,7072
9	1,60	66,6352	79,3168
10	1,80	83,3284	87,5535
11	2,00	101,6317	95,4173

### Sollecitazioni fondazione di monte

## 2.1.2 PEDEMONTANA DELLE MARCHE

Secondo stralcio funzionale: Matelica Nord – Matelica Sud/Castelraimondo Nord

Opere d'arte minori: Opere di sostegno e dreni

Muri di controripa in dx in c.a. da 4+680.00 a 4+844.40

Relazione tecnica e di calcolo

Opera L073	Tratto 212	Settore E	CEE 17	WBS OS1100	Id.doc. REL	N. prog. 01	Rev. A	Pag. di Pag. 79 di 195
---------------	---------------	--------------	-----------	---------------	----------------	----------------	-----------	---------------------------

### Combinazione n° 5

L'ascissa X (espressa in m) è considerata positiva verso valle con origine in corrispondenza dell'estremo libero della fondazione di monte

Momento positivo se tende le fibre inferiori, espresso in kNm

Taglio positivo se diretto verso l'alto, espresso in kN

Nr.	X	M	T
1	0,00	0,0000	0,0000
2	0,08	-0,2026	-5,0433
3	0,16	-0,8033	-9,9521
4	0,24	-1,7914	-14,7263
5	0,32	-3,1560	-19,3660
6	0,40	-4,8863	-23,8711
7	0,48	-6,9718	-28,2418
8	0,56	-9,4014	-32,4778
9	0,64	-12,1646	-36,5794
10	0,72	-15,2506	-40,5464
11	0,80	-18,6485	-44,3788

### COMBINAZIONE n° 6

Valore della spinta statica	61,2867	[kN]		
Componente orizzontale della spinta statica	56,2885	[kN]		
Componente verticale della spinta statica	24,2417	[kN]		
Punto d'applicazione della spinta	X = 0,80	[m]	Y = -2,41	[m]
Inclinaz. della spinta rispetto alla normale alla superficie	23,30	[°]		
Inclinazione linea di rottura in condizioni statiche	51,88	[°]		
Incremento sismico della spinta	25,5360	[kN]		
Punto d'applicazione dell'incremento sismico di spinta	X = 0,80	[m]	Y = -2,41	[m]
Inclinazione linea di rottura in condizioni sismiche	44,32	[°]		
Punto d'applicazione della spinta della falda	X = 0,80	[m]	Y = -3,80	[m]
Peso terrapieno gravante sulla fondazione a monte	50,8800	[kN]		
Baricentro terrapieno gravante sulla fondazione a monte	X = 0,41	[m]	Y = -1,41	[m]
Inerzia del muro	11,7916	[kN]		
Inerzia verticale del muro	5,8958	[kN]		
Inerzia del terrapieno fondazione di monte	4,5077	[kN]		
Inerzia verticale del terrapieno fondazione di monte	2,2539	[kN]		
<b>Risultanti</b>				
Risultante dei carichi applicati in dir. orizzontale	96,0412	[kN]		
Risultante dei carichi applicati in dir. verticale	226,4677	[kN]		
Resistenza passiva a valle del muro	-36,0823	[kN]		
Resistenza passiva dente di fondazione	-173,9167	[kN]		
Sforzo normale sul piano di posa della fondazione	226,4677	[kN]		
Sforzo tangenziale sul piano di posa della fondazione	96,0412	[kN]		
Eccentricità rispetto al baricentro della fondazione	-0,22	[m]		
Lunghezza fondazione reagente	3,60	[m]		
Risultante in fondazione	245,9910	[kN]		
Inclinazione della risultante (rispetto alla normale)	22,98	[°]		
Momento rispetto al baricentro della fondazione	-49,0775	[kNm]		
Carico ultimo della fondazione	1713,2008	[kN]		
<b>Tensioni sul terreno</b>				
Lunghezza fondazione reagente	3,60	[m]		
Tensione terreno allo spigolo di valle	40,19	[kPa]		
Tensione terreno allo spigolo di monte	85,65	[kPa]		

## 2.1.2 PEDEMONTANA DELLE MARCHE

Secondo stralcio funzionale: Matelica Nord – Matelica Sud/Castelraimondo Nord

Opere d'arte minori: Opere di sostegno e dreni

Muri di controripa in dx in c.a. da 4+680.00 a 4+844.40

Relazione tecnica e di calcolo

Opera L073	Tratto 212	Settore E	CEE 17	WBS OS1100	Id.doc. REL	N. prog. 01	Rev. A	Pag. di Pag. 80 di 195
---------------	---------------	--------------	-----------	---------------	----------------	----------------	-----------	---------------------------

Fattori per il calcolo della capacità portante

**Coeff. capacità portante**

$N_c = 22.25$

$N_q = 11.85$

$N_\gamma = 8.00$

**Fattori forma**

$s_c = 1,00$

$s_q = 1,00$

$s_\gamma = 1,00$

**Fattori inclinazione**

$i_c = 0,55$

$i_q = 0,55$

$i_\gamma = 0,01$

**Fattori profondità**

$d_c = 1,23$

$d_q = 1,12$

$d_\gamma = 1,12$

I coefficienti  $N'$  tengono conto dei fattori di forma, profondità, inclinazione carico, inclinazione piano di posa, inclinazione pendio.

$N'_c = 15.23$

$N'_q = 7.34$

$N'_\gamma = 0.12$

**COEFFICIENTI DI SICUREZZA**

Coefficiente di sicurezza a scorrimento

2.77

Coefficiente di sicurezza a carico ultimo

7.56



## 2.1.2 PEDEMONTANA DELLE MARCHE

Secondo stralcio funzionale: Matelica Nord – Matelica Sud/Castelraimondo Nord

Opere d'arte minori: Opere di sostegno e dreni

Muri di controripa in dx in c.a. da 4+680.00 a 4+844.40

Relazione tecnica e di calcolo

Opera L073	Tratto 212	Settore E	CEE 17	WBS OS1100	Id.doc. REL	N. prog. 01	Rev. A	Pag. di Pag. 81 di 195
---------------	---------------	--------------	-----------	---------------	----------------	----------------	-----------	---------------------------

### Sollecitazioni paramento

#### Combinazione n° 6

L'ordinata Y (espressa in m) è considerata positiva verso il basso con origine in testa al muro

Momento positivo se tende le fibre contro terra (a monte), espresso in kNm

Sforzo normale positivo di compressione, espresso in kN

Taglio positivo se diretto da monte verso valle, espresso in kN

Nr.	Y	N	M	T
1	0,00	0,0000	0,0000	0,0000
2	0,15	1,8662	0,0106	0,2691
3	0,30	3,7873	0,0632	0,7506
4	0,45	5,7633	0,1893	1,4444
5	0,60	7,7941	0,4204	2,3507
6	0,75	9,8799	0,7879	3,4693
7	0,90	12,0205	1,3232	4,8003
8	1,05	14,2160	2,0579	6,3437
9	1,20	16,4663	3,0232	8,0995
10	1,35	18,7716	4,2507	10,0676
11	1,50	21,1317	5,7719	12,2482
12	1,65	23,5467	7,6181	14,6411
13	1,80	26,0166	9,8208	17,2464
14	1,95	28,5413	12,4115	20,0641
15	2,10	31,1210	15,4216	23,0941
16	2,25	33,7555	18,8825	26,3366
17	2,40	36,4449	22,8257	29,7914
18	2,55	39,1891	27,2826	33,4586
19	2,70	41,9883	32,2847	37,3382
20	2,85	44,8423	37,8633	41,4302
21	3,00	47,7512	44,0488	45,7013

### Sollecitazioni fondazione di valle

#### Combinazione n° 6

L'ascissa X (espressa in m) è considerata positiva verso monte con origine in corrispondenza dell'estremo libero della fondazione di valle

Momento positivo se tende le fibre inferiori, espresso in kNm

Taglio positivo se diretto verso l'alto, espresso in kN

Nr.	X	M	T
1	0,00	0,0000	0,0000
2	0,20	0,4284	4,3677
3	0,40	1,7808	9,2406
4	0,60	4,1583	14,6186
5	0,80	7,6619	20,5018
6	1,00	12,3927	26,8901
7	1,20	18,4516	33,7836
8	1,40	25,9398	41,1822
9	1,60	34,9582	49,0860
10	1,80	45,6078	57,4949
11	2,00	57,9898	66,4089

### Sollecitazioni fondazione di monte

## 2.1.2 PEDEMONTANA DELLE MARCHE

Secondo stralcio funzionale: Matelica Nord – Matelica Sud/Castelraimondo Nord

Opere d'arte minori: Opere di sostegno e dreni

Muri di controripa in dx in c.a. da 4+680.00 a 4+844.40

Relazione tecnica e di calcolo

Opera L073	Tratto 212	Settore E	CEE 17	WBS OS1100	Id.doc. REL	N. prog. 01	Rev. A	Pag. di Pag. 82 di 195
---------------	---------------	--------------	-----------	---------------	----------------	----------------	-----------	---------------------------

### Combinazione n° 6

L'ascissa X (espressa in m) è considerata positiva verso valle con origine in corrispondenza dell'estremo libero della fondazione di monte

Momento positivo se tende le fibre inferiori, espresso in kNm

Taglio positivo se diretto verso l'alto, espresso in kN

Nr.	X	M	T
1	0,00	0,0000	0,0000
2	0,08	-0,0040	-0,1051
3	0,16	-0,0174	-0,2333
4	0,24	-0,0420	-0,3848
5	0,32	-0,0796	-0,5595
6	0,40	-0,1321	-0,7575
7	0,48	-0,2014	-0,9787
8	0,56	-0,2894	-1,2231
9	0,64	-0,3977	-1,4907
10	0,72	-0,5285	-1,7815
11	0,80	-0,6834	-2,0956

### COMBINAZIONE n° 7

Valore della spinta statica	61,2867	[kN]		
Componente orizzontale della spinta statica	56,2885	[kN]		
Componente verticale della spinta statica	24,2417	[kN]		
Punto d'applicazione della spinta	X = 0,80	[m]	Y = -2,41	[m]
Inclinaz. della spinta rispetto alla normale alla superficie	23,30	[°]		
Inclinazione linea di rottura in condizioni statiche	51,88	[°]		
Incremento sismico della spinta	20,7554	[kN]		
Punto d'applicazione dell'incremento sismico di spinta	X = 0,80	[m]	Y = -2,41	[m]
Inclinazione linea di rottura in condizioni sismiche	43,51	[°]		
Punto d'applicazione della spinta della falda	X = 0,80	[m]	Y = -3,80	[m]
Peso terrapieno gravante sulla fondazione a monte	50,8800	[kN]		
Baricentro terrapieno gravante sulla fondazione a monte	X = 0,41	[m]	Y = -1,41	[m]
Inerzia del muro	11,7916	[kN]		
Inerzia verticale del muro	-5,8958	[kN]		
Inerzia del terrapieno fondazione di monte	4,5077	[kN]		
Inerzia verticale del terrapieno fondazione di monte	-2,2539	[kN]		
<b>Risultanti</b>				
Risultante dei carichi applicati in dir. orizzontale	91,6505	[kN]		
Risultante dei carichi applicati in dir. verticale	208,2775	[kN]		
Resistenza passiva a valle del muro	-36,0823	[kN]		
Resistenza passiva dente di fondazione	-169,6490	[kN]		
Sforzo normale sul piano di posa della fondazione	208,2775	[kN]		
Sforzo tangenziale sul piano di posa della fondazione	91,6505	[kN]		
Eccentricità rispetto al baricentro della fondazione	-0,20	[m]		
Lunghezza fondazione reagente	3,60	[m]		
Risultante in fondazione	227,5508	[kN]		
Inclinazione della risultante (rispetto alla normale)	23,75	[°]		
Momento rispetto al baricentro della fondazione	-41,6140	[kNm]		
Carico ultimo della fondazione	1689,0759	[kN]		
<b>Tensioni sul terreno</b>				
Lunghezza fondazione reagente	3,60	[m]		
Tensione terreno allo spigolo di valle	38,59	[kPa]		
Tensione terreno allo spigolo di monte	77,14	[kPa]		

## 2.1.2 PEDEMONTANA DELLE MARCHE

Secondo stralcio funzionale: Matelica Nord – Matelica Sud/Castelraimondo Nord

Opere d'arte minori: Opere di sostegno e dreni

Muri di controripa in dx in c.a. da 4+680.00 a 4+844.40

Relazione tecnica e di calcolo

Opera L073	Tratto 212	Settore E	CEE 17	WBS OS1100	Id.doc. REL	N. prog. 01	Rev. A	Pag. di Pag. 83 di 195
---------------	---------------	--------------	-----------	---------------	----------------	----------------	-----------	---------------------------

Fattori per il calcolo della capacità portante

**Coeff. capacità portante**

$N_c = 22.25$

$N_q = 11.85$

$N_\gamma = 8.00$

**Fattori forma**

$s_c = 1,00$

$s_q = 1,00$

$s_\gamma = 1,00$

**Fattori inclinazione**

$i_c = 0,54$

$i_q = 0,54$

$i_\gamma = 0,01$

**Fattori profondità**

$d_c = 1,23$

$d_q = 1,12$

$d_\gamma = 1,12$

I coefficienti  $N'$  tengono conto dei fattori di forma, profondità, inclinazione carico, inclinazione piano di posa, inclinazione pendio.

$N'_c = 14.88$

$N'_q = 7.18$

$N'_\gamma = 0.07$

**COEFFICIENTI DI SICUREZZA**

Coefficiente di sicurezza a scorrimento

2.80

Coefficiente di sicurezza a carico ultimo

8.11

## 2.1.2 PEDEMONTANA DELLE MARCHE

Secondo stralcio funzionale: Matelica Nord – Matelica Sud/Castelraimondo Nord

Opere d'arte minori: Opere di sostegno e dreni

Muri di controripa in dx in c.a. da 4+680.00 a 4+844.40

Relazione tecnica e di calcolo

Opera L073	Tratto 212	Settore E	CEE 17	WBS OS1100	Id.doc. REL	N. prog. 01	Rev. A	Pag. di Pag. 84 di 195
---------------	---------------	--------------	-----------	---------------	----------------	----------------	-----------	---------------------------

### Sollecitazioni paramento

#### Combinazione n° 7

L'ordinata Y (espressa in m) è considerata positiva verso il basso con origine in testa al muro

Momento positivo se tende le fibre contro terra (a monte), espresso in kNm

Sforzo normale positivo di compressione, espresso in kN

Taglio positivo se diretto da monte verso valle, espresso in kN

Nr.	Y	N	M	T
1	0,00	0,0000	0,0000	0,0000
2	0,15	1,8662	0,0103	0,2634
3	0,30	3,7873	0,0609	0,7277
4	0,45	5,7633	0,1816	1,3930
5	0,60	7,7941	0,4021	2,2593
6	0,75	9,8799	0,7522	3,3265
7	0,90	12,0205	1,2615	4,5946
8	1,05	14,2160	1,9599	6,0638
9	1,20	16,4663	2,8770	7,7338
10	1,35	18,7716	4,0425	9,6049
11	1,50	21,1317	5,4862	11,6768
12	1,65	23,5467	7,2379	13,9498
13	1,80	26,0166	9,3272	16,4237
14	1,95	28,5413	11,7839	19,0985
15	2,10	31,1210	14,6377	21,9743
16	2,25	33,7555	17,9184	25,0511
17	2,40	36,4449	21,6556	28,3288
18	2,55	39,1891	25,8791	31,8075
19	2,70	41,9883	30,6187	35,4871
20	2,85	44,8423	35,9040	39,3677
21	3,00	47,7512	41,7636	43,4179

### Sollecitazioni fondazione di valle

#### Combinazione n° 7

L'ascissa X (espressa in m) è considerata positiva verso monte con origine in corrispondenza dell'estremo libero della fondazione di valle

Momento positivo se tende le fibre inferiori, espresso in kNm

Taglio positivo se diretto verso l'alto, espresso in kN

Nr.	X	M	T
1	0,00	0,0000	0,0000
2	0,20	0,3938	4,0099
3	0,40	1,6325	8,4481
4	0,60	3,8016	13,3146
5	0,80	6,9869	18,6094
6	1,00	11,2740	24,3326
7	1,20	16,7485	30,4841
8	1,40	23,4962	37,0640
9	1,60	31,6026	44,0721
10	1,80	41,1536	51,5086
11	2,00	52,2346	59,3734

### Sollecitazioni fondazione di monte

## 2.1.2 PEDEMONTANA DELLE MARCHE

Secondo stralcio funzionale: Matelica Nord – Matelica Sud/Castelraimondo Nord

Opere d'arte minori: Opere di sostegno e dreni

Muri di controripa in dx in c.a. da 4+680.00 a 4+844.40

Relazione tecnica e di calcolo

Opera L073	Tratto 212	Settore E	CEE 17	WBS OS1100	Id.doc. REL	N. prog. 01	Rev. A	Pag. di Pag. 85 di 195
---------------	---------------	--------------	-----------	---------------	----------------	----------------	-----------	---------------------------

### Combinazione n° 7

L'ascissa X (espressa in m) è considerata positiva verso valle con origine in corrispondenza dell'estremo libero della fondazione di monte

Momento positivo se tende le fibre inferiori, espresso in kNm

Taglio positivo se diretto verso l'alto, espresso in kN

Nr.	X	M	T
1	0,00	0,0000	0,0000
2	0,08	-0,0311	-0,7797
3	0,16	-0,1250	-1,5703
4	0,24	-0,2827	-2,3719
5	0,32	-0,5048	-3,1844
6	0,40	-0,7925	-4,0079
7	0,48	-1,1464	-4,8422
8	0,56	-1,5675	-5,6875
9	0,64	-2,0567	-6,5438
10	0,72	-2,6148	-7,4109
11	0,80	-3,2427	-8,2890

### COMBINAZIONE n° 8

Valore della spinta statica	85,5771	[kN]		
Componente orizzontale della spinta statica	80,9096	[kN]		
Componente verticale della spinta statica	27,8761	[kN]		
Punto d'applicazione della spinta	X = 0,80	[m]	Y = -2,41	[m]
Inclinaz. della spinta rispetto alla normale alla superficie	19,01	[°]		
Inclinazione linea di rottura in condizioni statiche	43,82	[°]		
Incremento sismico della spinta	42,7879	[kN]		
Punto d'applicazione dell'incremento sismico di spinta	X = 0,80	[m]	Y = -2,41	[m]
Inclinazione linea di rottura in condizioni sismiche	37,69	[°]		
Punto d'applicazione della spinta della falda	X = 0,80	[m]	Y = -3,80	[m]
Peso terrapieno gravante sulla fondazione a monte	50,8800	[kN]		
Baricentro terrapieno gravante sulla fondazione a monte	X = 0,41	[m]	Y = -1,41	[m]
Inerzia del muro	11,7916	[kN]		
Inerzia verticale del muro	5,8958	[kN]		
Inerzia del terrapieno fondazione di monte	4,5077	[kN]		
Inerzia verticale del terrapieno fondazione di monte	2,2539	[kN]		
<b>Risultanti</b>				
Risultante dei carichi applicati in dir. orizzontale	137,6631	[kN]		
Risultante dei carichi applicati in dir. verticale	233,9394	[kN]		
Resistenza passiva a valle del muro	-30,1804	[kN]		
Resistenza passiva dente di fondazione	-148,8402	[kN]		
Sforzo normale sul piano di posa della fondazione	233,9394	[kN]		
Sforzo tangenziale sul piano di posa della fondazione	137,6631	[kN]		
Eccentricità rispetto al baricentro della fondazione	-0,02	[m]		
Lunghezza fondazione reagente	3,60	[m]		
Risultante in fondazione	271,4384	[kN]		
Inclinazione della risultante (rispetto alla normale)	30,47	[°]		
Momento rispetto al baricentro della fondazione	-4,7645	[kNm]		
Carico ultimo della fondazione	952,3356	[kN]		
<b>Tensioni sul terreno</b>				
Lunghezza fondazione reagente	3,60	[m]		
Tensione terreno allo spigolo di valle	62,79	[kPa]		
Tensione terreno allo spigolo di monte	67,20	[kPa]		

## 2.1.2 PEDEMONTANA DELLE MARCHE

Secondo stralcio funzionale: Matelica Nord – Matelica Sud/Castelraimondo Nord

Opere d'arte minori: Opere di sostegno e dreni

Muri di controripa in dx in c.a. da 4+680.00 a 4+844.40

Relazione tecnica e di calcolo

Opera L073	Tratto 212	Settore E	CEE 17	WBS OS1100	Id.doc. REL	N. prog. 01	Rev. A	Pag. di Pag. 86 di 195
---------------	---------------	--------------	-----------	---------------	----------------	----------------	-----------	---------------------------

Fattori per il calcolo della capacità portante

**Coeff. capacità portante**

$$N_c = 16.14$$

$$N_q = 7.30$$

$$N_\gamma = 3.61$$

**Fattori forma**

$$s_c = 1,00$$

$$s_q = 1,00$$

$$s_\gamma = 1,00$$

**Fattori inclinazione**

$$i_c = 0,44$$

$$i_q = 0,44$$

$$i_\gamma = 0,18$$

**Fattori profondità**

$$d_c = 1,21$$

$$d_q = 1,11$$

$$d_\gamma = 1,11$$

I coefficienti  $N'$  tengono conto dei fattori di forma, profondità, inclinazione carico, inclinazione piano di posa, inclinazione pendio.

$$N'_c = 8.57$$

$$N'_q = 3.53$$

$$N'_\gamma = 0.74$$

**COEFFICIENTI DI SICUREZZA**

Coefficiente di sicurezza a scorrimento

1.58

Coefficiente di sicurezza a carico ultimo

4.07

## 2.1.2 PEDEMONTANA DELLE MARCHE

Secondo stralcio funzionale: Matelica Nord – Matelica Sud/Castelraimondo Nord

Opere d'arte minori: Opere di sostegno e dreni

Muri di controripa in dx in c.a. da 4+680.00 a 4+844.40

Relazione tecnica e di calcolo

Opera L073	Tratto 212	Settore E	CEE 17	WBS OS1100	Id.doc. REL	N. prog. 01	Rev. A	Pag. di Pag. 87 di 195
---------------	---------------	--------------	-----------	---------------	----------------	----------------	-----------	---------------------------

### Sollecitazioni paramento

#### Combinazione n° 8

L'ordinata Y (espressa in m) è considerata positiva verso il basso con origine in testa al muro

Momento positivo se tende le fibre contro terra (a monte), espresso in kNm

Sforzo normale positivo di compressione, espresso in kN

Taglio positivo se diretto da monte verso valle, espresso in kN

Nr.	Y	N	M	T
1	0,00	0,0000	0,0000	0,0000
2	0,15	1,8662	0,0137	0,3325
3	0,30	3,7873	0,0886	1,0044
4	0,45	5,7633	0,2750	2,0154
5	0,60	7,7941	0,6234	3,3658
6	0,75	9,8799	1,1844	5,0554
7	0,90	12,0205	2,0084	7,0844
8	1,05	14,2160	3,1459	9,4525
9	1,20	16,4663	4,6474	12,1600
10	1,35	18,7716	6,5633	15,2067
11	1,50	21,1317	8,9442	18,5927
12	1,65	23,5467	11,8404	22,3180
13	1,80	26,0166	15,3025	26,3826
14	1,95	28,5413	19,3810	30,7864
15	2,10	31,1210	24,1263	35,5295
16	2,25	33,7555	29,5889	40,6119
17	2,40	36,4449	35,8193	46,0335
18	2,55	39,1891	42,8680	51,7944
19	2,70	41,9883	50,7854	57,8946
20	2,85	44,8423	59,6221	64,3341
21	3,00	47,7512	69,4263	71,0593

### Sollecitazioni fondazione di valle

#### Combinazione n° 8

L'ascissa X (espressa in m) è considerata positiva verso monte con origine in corrispondenza dell'estremo libero della fondazione di valle

Momento positivo se tende le fibre inferiori, espresso in kNm

Taglio positivo se diretto verso l'alto, espresso in kN

Nr.	X	M	T
1	0,00	0,0000	0,0000
2	0,20	0,8651	8,6592
3	0,40	3,4669	17,3674
4	0,60	7,8153	26,1246
5	0,80	13,9201	34,9309
6	1,00	21,7909	43,7862
7	1,20	31,4378	52,6906
8	1,40	42,8705	61,6440
9	1,60	56,0987	70,6464
10	1,80	71,1323	79,6979
11	2,00	87,9811	88,7985

### Sollecitazioni fondazione di monte

## 2.1.2 PEDEMONTANA DELLE MARCHE

Secondo stralcio funzionale: Matelica Nord – Matelica Sud/Castelraimondo Nord

Opere d'arte minori: Opere di sostegno e dreni

Muri di controripa in dx in c.a. da 4+680.00 a 4+844.40

Relazione tecnica e di calcolo

Opera L073	Tratto 212	Settore E	CEE 17	WBS OS1100	Id.doc. REL	N. prog. 01	Rev. A	Pag. di Pag. 88 di 195
---------------	---------------	--------------	-----------	---------------	----------------	----------------	-----------	---------------------------

### Combinazione n° 8

L'ascissa X (espressa in m) è considerata positiva verso valle con origine in corrispondenza dell'estremo libero della fondazione di monte

Momento positivo se tende le fibre inferiori, espresso in kNm

Taglio positivo se diretto verso l'alto, espresso in kN

Nr.	X	M	T
1	0,00	0,0000	0,0000
2	0,08	-0,0621	-1,5442
3	0,16	-0,2458	-3,0387
4	0,24	-0,5470	-4,4834
5	0,32	-0,9618	-5,8784
6	0,40	-1,4862	-7,2236
7	0,48	-2,1162	-8,5191
8	0,56	-2,8479	-9,7648
9	0,64	-3,6773	-10,9608
10	0,72	-4,6003	-12,1070
11	0,80	-5,6131	-13,2034

### COMBINAZIONE n° 9

Valore della spinta statica	85,5771	[kN]		
Componente orizzontale della spinta statica	80,9096	[kN]		
Componente verticale della spinta statica	27,8761	[kN]		
Punto d'applicazione della spinta	X = 0,80	[m]	Y = -2,41	[m]
Inclinaz. della spinta rispetto alla normale alla superficie	19,01	[°]		
Inclinazione linea di rottura in condizioni statiche	43,82	[°]		
Incremento sismico della spinta	35,9025	[kN]		
Punto d'applicazione dell'incremento sismico di spinta	X = 0,80	[m]	Y = -2,41	[m]
Inclinazione linea di rottura in condizioni sismiche	37,38	[°]		
Punto d'applicazione della spinta della falda	X = 0,80	[m]	Y = -3,80	[m]
Peso terrapieno gravante sulla fondazione a monte	50,8800	[kN]		
Baricentro terrapieno gravante sulla fondazione a monte	X = 0,41	[m]	Y = -1,41	[m]
Inerzia del muro	11,7916	[kN]		
Inerzia verticale del muro	-5,8958	[kN]		
Inerzia del terrapieno fondazione di monte	4,5077	[kN]		
Inerzia verticale del terrapieno fondazione di monte	-2,2539	[kN]		
<b>Risultanti</b>				
Risultante dei carichi applicati in dir. orizzontale	131,1531	[kN]		
Risultante dei carichi applicati in dir. verticale	215,3973	[kN]		
Resistenza passiva a valle del muro	-30,1804	[kN]		
Resistenza passiva dente di fondazione	-144,9921	[kN]		
Sforzo normale sul piano di posa della fondazione	215,3973	[kN]		
Sforzo tangenziale sul piano di posa della fondazione	131,1531	[kN]		
Eccentricità rispetto al baricentro della fondazione	0,00	[m]		
Lunghezza fondazione reagente	3,60	[m]		
Risultante in fondazione	252,1847	[kN]		
Inclinazione della risultante (rispetto alla normale)	31,34	[°]		
Momento rispetto al baricentro della fondazione	0,3915	[kNm]		
Carico ultimo della fondazione	945,0615	[kN]		
<b>Tensioni sul terreno</b>				
Lunghezza fondazione reagente	3,60	[m]		
Tensione terreno allo spigolo di valle	60,02	[kPa]		
Tensione terreno allo spigolo di monte	59,66	[kPa]		



## 2.1.2 PEDEMONTANA DELLE MARCHE

Secondo stralcio funzionale: Matelica Nord – Matelica Sud/Castelraimondo Nord

Opere d'arte minori: Opere di sostegno e dreni

Muri di controripa in dx in c.a. da 4+680.00 a 4+844.40

Relazione tecnica e di calcolo

Opera L073	Tratto 212	Settore E	CEE 17	WBS OS1100	Id.doc. REL	N. prog. 01	Rev. A	Pag. di Pag. 89 di 195
---------------	---------------	--------------	-----------	---------------	----------------	----------------	-----------	---------------------------

Fattori per il calcolo della capacità portante

**Coeff. capacità portante**

$$N_c = 16.14$$

$$N_q = 7.30$$

$$N_\gamma = 3.61$$

**Fattori forma**

$$s_c = 1,00$$

$$s_q = 1,00$$

$$s_\gamma = 1,00$$

**Fattori inclinazione**

$$i_c = 0,42$$

$$i_q = 0,42$$

$$i_\gamma = 0,22$$

**Fattori profondità**

$$d_c = 1,21$$

$$d_q = 1,11$$

$$d_\gamma = 1,11$$

I coefficienti  $N'$  tengono conto dei fattori di forma, profondità, inclinazione carico, inclinazione piano di posa, inclinazione pendio.

$$N'_c = 8.33$$

$$N'_q = 3.43$$

$$N'_\gamma = 0.88$$

**COEFFICIENTI DI SICUREZZA**

Coefficiente di sicurezza a scorrimento

1.61

Coefficiente di sicurezza a carico ultimo

4.39

## 2.1.2 PEDEMONTANA DELLE MARCHE

**Secondo stralcio funzionale: Matelica Nord – Matelica Sud/Castelraimondo Nord**

Opere d'arte minori: Opere di sostegno e dreni

Muri di controripa in dx in c.a. da 4+680.00 a 4+844.40

Relazione tecnica e di calcolo

Opera L073	Tratto 212	Settore E	CEE 17	WBS OS1100	Id.doc. REL	N. prog. 01	Rev. A	Pag. di Pag. 90 di 195
---------------	---------------	--------------	-----------	---------------	----------------	----------------	-----------	---------------------------

### Sollecitazioni paramento

#### Combinazione n° 9

L'ordinata Y (espressa in m) è considerata positiva verso il basso con origine in testa al muro

Momento positivo se tende le fibre contro terra (a monte), espresso in kNm

Sforzo normale positivo di compressione, espresso in kN

Taglio positivo se diretto da monte verso valle, espresso in kN

Nr.	Y	N	M	T
1	0,00	0,0000	0,0000	0,0000
2	0,15	1,8662	0,0134	0,3254
3	0,30	3,7873	0,0857	0,9758
4	0,45	5,7633	0,2653	1,9511
5	0,60	7,7941	0,6006	3,2515
6	0,75	9,8799	1,1398	4,8768
7	0,90	12,0205	1,9313	6,8271
8	1,05	14,2160	3,0234	9,1023
9	1,20	16,4663	4,4644	11,7026
10	1,35	18,7716	6,3028	14,6278
11	1,50	21,1317	8,5868	17,8780
12	1,65	23,5467	11,3648	21,4532
13	1,80	26,0166	14,6850	25,3533
14	1,95	28,5413	18,5959	29,5785
15	2,10	31,1210	23,1457	34,1286
16	2,25	33,7555	28,3828	39,0037
17	2,40	36,4449	34,3556	44,2038
18	2,55	39,1891	41,1123	49,7288
19	2,70	41,9883	48,7013	55,5789
20	2,85	44,8423	57,1709	61,7539
21	3,00	47,7512	66,5674	68,2027

### Sollecitazioni fondazione di valle

#### Combinazione n° 9

L'ascissa X (espressa in m) è considerata positiva verso monte con origine in corrispondenza dell'estremo libero della fondazione di valle

Momento positivo se tende le fibre inferiori, espresso in kNm

Taglio positivo se diretto verso l'alto, espresso in kN

Nr.	X	M	T
1	0,00	0,0000	0,0000
2	0,20	0,8081	8,0799
3	0,40	3,2317	16,1558
4	0,60	7,2701	24,2276
5	0,80	12,9225	32,2954
6	1,00	20,1880	40,3592
7	1,20	29,0659	48,4190
8	1,40	39,5553	56,4747
9	1,60	51,6555	64,5264
10	1,80	65,3656	72,5741
11	2,00	80,6849	80,6177

### Sollecitazioni fondazione di monte

## 2.1.2 PEDEMONTANA DELLE MARCHE

Secondo stralcio funzionale: Matelica Nord – Matelica Sud/Castelraimondo Nord

Opere d'arte minori: Opere di sostegno e dreni

Muri di controripa in dx in c.a. da 4+680.00 a 4+844.40

Relazione tecnica e di calcolo

Opera L073	Tratto 212	Settore E	CEE 17	WBS OS1100	Id.doc. REL	N. prog. 01	Rev. A	Pag. di Pag. 91 di 195
---------------	---------------	--------------	-----------	---------------	----------------	----------------	-----------	---------------------------

### Combinazione n° 9

L'ascissa X (espressa in m) è considerata positiva verso valle con origine in corrispondenza dell'estremo libero della fondazione di monte

Momento positivo se tende le fibre inferiori, espresso in kNm

Taglio positivo se diretto verso l'alto, espresso in kN

Nr.	X	M	T
1	0,00	0,0000	0,0000
2	0,08	-0,0861	-2,1431
3	0,16	-0,3413	-4,2280
4	0,24	-0,7610	-6,2546
5	0,32	-1,3405	-8,2230
6	0,40	-2,0752	-10,1332
7	0,48	-2,9603	-11,9851
8	0,56	-3,9912	-13,7787
9	0,64	-5,1633	-15,5141
10	0,72	-6,4719	-17,1913
11	0,80	-7,9124	-18,8102

### COMBINAZIONE n° 10

Valore della spinta statica	85,5771	[kN]		
Componente orizzontale della spinta statica	80,9096	[kN]		
Componente verticale della spinta statica	27,8761	[kN]		
Punto d'applicazione della spinta	X = 0,80	[m]	Y = -2,41	[m]
Inclinaz. della spinta rispetto alla normale alla superficie	19,01	[°]		
Inclinazione linea di rottura in condizioni statiche	43,82	[°]		
Incremento sismico della spinta	42,7879	[kN]		
Punto d'applicazione dell'incremento sismico di spinta	X = 0,80	[m]	Y = -2,41	[m]
Inclinazione linea di rottura in condizioni sismiche	37,69	[°]		
Punto d'applicazione della spinta della falda	X = 0,80	[m]	Y = -3,80	[m]
Peso terrapieno gravante sulla fondazione a monte	50,8800	[kN]		
Baricentro terrapieno gravante sulla fondazione a monte	X = 0,41	[m]	Y = -1,41	[m]
Inerzia del muro	11,7916	[kN]		
Inerzia verticale del muro	5,8958	[kN]		
Inerzia del terrapieno fondazione di monte	4,5077	[kN]		
Inerzia verticale del terrapieno fondazione di monte	2,2539	[kN]		

### Risultanti

Risultante dei carichi applicati in dir. orizzontale	137,6631	[kN]
Risultante dei carichi applicati in dir. verticale	233,9394	[kN]
Resistenza passiva a valle del muro	-30,1804	[kN]
Resistenza passiva dente di fondazione	-148,8402	[kN]
Momento ribaltante rispetto allo spigolo a valle	190,1712	[kNm]
Momento stabilizzante rispetto allo spigolo a valle	615,9611	[kNm]
Sforzo normale sul piano di posa della fondazione	233,9394	[kN]
Sforzo tangenziale sul piano di posa della fondazione	137,6631	[kN]
Eccentricità rispetto al baricentro della fondazione	-0,02	[m]
Lunghezza fondazione reagente	3,60	[m]
Risultante in fondazione	271,4384	[kN]
Inclinazione della risultante (rispetto alla normale)	30,47	[°]
Momento rispetto al baricentro della fondazione	-4,7645	[kNm]

### COEFFICIENTI DI SICUREZZA

Coefficiente di sicurezza a ribaltamento	3.24
--	------

## 2.1.2 PEDEMONTANA DELLE MARCHE

Secondo stralcio funzionale: Matelica Nord – Matelica Sud/Castelraimondo Nord

Opere d'arte minori: Opere di sostegno e dreni

Muri di controripa in dx in c.a. da 4+680.00 a 4+844.40

Relazione tecnica e di calcolo

Opera	Tratto	Settore	CEE	WBS	Id.doc.	N. prog.	Rev.	Pag. di Pag.
L073	212	E	17	OS1100	REL	01	A	92 di 195

### COMBINAZIONE n° 11

Valore della spinta statica	85,5771	[kN]			
Componente orizzontale della spinta statica	80,9096	[kN]			
Componente verticale della spinta statica	27,8761	[kN]			
Punto d'applicazione della spinta	X = 0,80	[m]	Y = -2,41	[m]	
Inclinaz. della spinta rispetto alla normale alla superficie	19,01	[°]			
Inclinazione linea di rottura in condizioni statiche	43,82	[°]			
Incremento sismico della spinta	35,9025	[kN]			
Punto d'applicazione dell'incremento sismico di spinta	X = 0,80	[m]	Y = -2,41	[m]	
Inclinazione linea di rottura in condizioni sismiche	37,38	[°]			
Punto d'applicazione della spinta della falda	X = 0,80	[m]	Y = -3,80	[m]	
Peso terrapieno gravante sulla fondazione a monte	50,8800	[kN]			
Baricentro terrapieno gravante sulla fondazione a monte	X = 0,41	[m]	Y = -1,41	[m]	
Inerzia del muro	11,7916	[kN]			
Inerzia verticale del muro	-5,8958	[kN]			
Inerzia del terrapieno fondazione di monte	4,5077	[kN]			
Inerzia verticale del terrapieno fondazione di monte	-2,2539	[kN]			

### Risultanti

Risultante dei carichi applicati in dir. orizzontale	131,1531	[kN]		
Risultante dei carichi applicati in dir. verticale	215,3973	[kN]		
Resistenza passiva a valle del muro	-30,1804	[kN]		
Resistenza passiva dente di fondazione	-144,9921	[kN]		
Momento ribaltante rispetto allo spigolo a valle	200,8810	[kNm]		
Momento stabilizzante rispetto allo spigolo a valle	588,1441	[kNm]		
Sforzo normale sul piano di posa della fondazione	215,3973	[kN]		
Sforzo tangenziale sul piano di posa della fondazione	131,1531	[kN]		
Eccentricità rispetto al baricentro della fondazione	0,00	[m]		
Lunghezza fondazione reagente	3,60	[m]		
Risultante in fondazione	252,1847	[kN]		
Inclinazione della risultante (rispetto alla normale)	31,34	[°]		
Momento rispetto al baricentro della fondazione	0,3915	[kNm]		

### COEFFICIENTI DI SICUREZZA

Coefficiente di sicurezza a ribaltamento	2.93
--	------

Opera L073	Tratto 212	Settore E	CEE 17	WBS OS1100	Id.doc. REL	N. prog. 01	Rev. A	Pag. di Pag. 93 di 195
---------------	---------------	--------------	-----------	---------------	----------------	----------------	-----------	---------------------------

## Stabilità globale muro + terreno

### Combinazione n° 12

Le ascisse X sono considerate positive verso monte

Le ordinate Y sono considerate positive verso l'alto

Origine in testa al muro (spigolo contro terra)

W	peso della striscia espresso in [kN]
$\alpha$	angolo fra la base della striscia e l'orizzontale espresso in [°] (positivo antiorario)
$\phi$	angolo d'attrito del terreno lungo la base della striscia
c	coesione del terreno lungo la base della striscia espressa in [kPa]
b	larghezza della striscia espressa in [m]
u	pressione neutra lungo la base della striscia espressa in [kPa]

### Metodo di Fellenius

Numero di cerchi analizzati 36

Numero di strisce 25

### Cerchio critico

Coordinate del centro X[m]= 0,00 Y[m]= 3,39

Raggio del cerchio R[m]= 8,41

Ascissa a valle del cerchio Xi[m]= -6,38

Ascissa a monte del cerchio Xs[m]= 8,40

Larghezza della striscia dx[m]= 0,59

Coefficiente di sicurezza C= 1.31

Le strisce sono numerate da monte verso valle

### Caratteristiche delle strisce

Striscia	W	$\alpha(^{\circ})$	Wsin $\alpha$	b/cos $\alpha$	$\phi$	c	u
1	23,8662	77.70	23,3188	0,0272	29.26	0	0
2	43,7997	63.66	39,2527	0,0131	29.26	0	0
3	52,8020	55.56	43,5442	0,0102	29.26	0	0
4	58,7573	48.93	44,2949	0,0088	29.26	0	0
5	62,8891	43.10	42,9710	0,0079	29.26	0	0
6	65,7221	37.79	40,2747	0,0073	29.26	0	0
7	67,5404	32.85	36,6324	0,0069	28.10	1	0
8	68,4596	28.16	32,3119	0,0066	21.32	8	2
9	68,6326	23.68	27,5637	0,0063	21.32	8	5
10	68,1782	19.34	22,5842	0,0061	21.32	8	7
11	67,1508	15.12	17,5198	0,0060	21.32	8	9
12	65,5891	10.99	12,4985	0,0059	21.32	8	10
13	63,8355	6.90	7,6741	0,0058	21.32	8	11
14	63,1490	2.86	3,1498	0,0058	21.32	8	12
15	70,1942	-1.17	-1,4360	0,0058	21.32	8	12
16	44,3732	-5.21	-4,0289	0,0058	21.32	8	12
17	34,9930	-9.27	-5,6386	0,0059	21.32	8	11
18	33,6207	-13.38	-7,7824	0,0060	21.32	8	10
19	31,6044	-17.57	-9,5390	0,0061	21.32	8	8
20	27,0675	-21.85	-10,0740	0,0062	21.32	8	6
21	24,0220	-26.27	-10,6308	0,0065	21.32	8	3
22	20,2969	-30.86	-10,4109	0,0068	24.87	4	0
23	15,7183	-35.69	-9,1691	0,0071	29.26	0	0
24	10,1931	-40.83	-6,6641	0,0077	29.26	0	0
25	3,5072	-46.41	-2,5403	0,0084	29.26	0	0

$\Sigma W_i = 1155,9621$  [kN]

$\Sigma W_i \sin \alpha_i = 315,6767$  [kN]

$\Sigma W_i \cos \alpha_i \tan \phi_i = 431,8576$  [kN]

$\Sigma c_i b_i / \cos \alpha_i = 73,0562$  [kN]

Opera L073	Tratto 212	Settore E	CEE 17	WBS OS1100	Id.doc. REL	N. prog. 01	Rev. A	Pag. di Pag. 94 di 195
---------------	---------------	--------------	-----------	---------------	----------------	----------------	-----------	---------------------------

## Stabilità globale muro + terreno

### Combinazione n° 13

Le ascisse X sono considerate positive verso monte

Le ordinate Y sono considerate positive verso l'alto

Origine in testa al muro (spigolo contro terra)

W	peso della striscia espresso in [kN]
$\alpha$	angolo fra la base della striscia e l'orizzontale espresso in [°] (positivo antiorario)
$\phi$	angolo d'attrito del terreno lungo la base della striscia
c	coesione del terreno lungo la base della striscia espressa in [kPa]
b	larghezza della striscia espressa in [m]
u	pressione neutra lungo la base della striscia espressa in [kPa]

### Metodo di Fellenius

Numero di cerchi analizzati 36

Numero di strisce 25

### Cerchio critico

Coordinate del centro X[m]= 0,00 Y[m]= 3,39

Raggio del cerchio R[m]= 8,41

Ascissa a valle del cerchio Xi[m]= -6,38

Ascissa a monte del cerchio Xs[m]= 8,40

Larghezza della striscia dx[m]= 0,59

Coefficiente di sicurezza C= 1.31

Le strisce sono numerate da monte verso valle

### Caratteristiche delle strisce

Striscia	W	$\alpha(^{\circ})$	Wsin $\alpha$	b/cos $\alpha$	$\phi$	c	u
1	23,8662	77.70	23,3188	0,0272	29.26	0	0
2	43,7997	63.66	39,2527	0,0131	29.26	0	0
3	52,8020	55.56	43,5442	0,0102	29.26	0	0
4	58,7573	48.93	44,2949	0,0088	29.26	0	0
5	62,8891	43.10	42,9710	0,0079	29.26	0	0
6	65,7221	37.79	40,2747	0,0073	29.26	0	0
7	67,5404	32.85	36,6324	0,0069	28.10	1	0
8	68,4596	28.16	32,3119	0,0066	21.32	8	2
9	68,6326	23.68	27,5637	0,0063	21.32	8	5
10	68,1782	19.34	22,5842	0,0061	21.32	8	7
11	67,1508	15.12	17,5198	0,0060	21.32	8	9
12	65,5891	10.99	12,4985	0,0059	21.32	8	10
13	63,8355	6.90	7,6741	0,0058	21.32	8	11
14	63,1490	2.86	3,1498	0,0058	21.32	8	12
15	70,1942	-1.17	-1,4360	0,0058	21.32	8	12
16	44,3732	-5.21	-4,0289	0,0058	21.32	8	12
17	34,9930	-9.27	-5,6386	0,0059	21.32	8	11
18	33,6207	-13.38	-7,7824	0,0060	21.32	8	10
19	31,6044	-17.57	-9,5390	0,0061	21.32	8	8
20	27,0675	-21.85	-10,0740	0,0062	21.32	8	6
21	24,0220	-26.27	-10,6308	0,0065	21.32	8	3
22	20,2969	-30.86	-10,4109	0,0068	24.87	4	0
23	15,7183	-35.69	-9,1691	0,0071	29.26	0	0
24	10,1931	-40.83	-6,6641	0,0077	29.26	0	0
25	3,5072	-46.41	-2,5403	0,0084	29.26	0	0

$\Sigma W_i = 1155,9621$  [kN]

$\Sigma W_i \sin \alpha_i = 315,6767$  [kN]

$\Sigma W_i \cos \alpha_i \tan \phi_i = 431,8576$  [kN]

$\Sigma c_i b_i / \cos \alpha_i = 73,0562$  [kN]

## 2.1.2 PEDEMONTANA DELLE MARCHE

Secondo stralcio funzionale: Matelica Nord – Matelica Sud/Castelraimondo Nord

Opere d'arte minori: Opere di sostegno e dreni

Muri di controripa in dx in c.a. da 4+680.00 a 4+844.40

Relazione tecnica e di calcolo

Opera L073	Tratto 212	Settore E	CEE 17	WBS OS1100	Id.doc. REL	N. prog. 01	Rev. A	Pag. di Pag. 95 di 195
---------------	---------------	--------------	-----------	---------------	----------------	----------------	-----------	---------------------------

### COMBINAZIONE n° 14

Valore della spinta statica	61,2867	[kN]		
Componente orizzontale della spinta statica	56,2885	[kN]		
Componente verticale della spinta statica	24,2417	[kN]		
Punto d'applicazione della spinta	X = 0,80	[m]	Y = -2,41	[m]
Inclinaz. della spinta rispetto alla normale alla superficie	23,30	[°]		
Inclinazione linea di rottura in condizioni statiche	51,88	[°]		
Punto d'applicazione della spinta della falda	X = 0,80	[m]	Y = -3,80	[m]
Peso terrapieno gravante sulla fondazione a monte	50,8800	[kN]		
Baricentro terrapieno gravante sulla fondazione a monte	X = 0,41	[m]	Y = -1,41	[m]

### Risultanti

Risultante dei carichi applicati in dir. orizzontale	56,2885	[kN]
Risultante dei carichi applicati in dir. verticale	208,2175	[kN]
Resistenza passiva a valle del muro	-36,0823	[kN]
Resistenza passiva dente di fondazione	-162,4072	[kN]
Sforzo normale sul piano di posa della fondazione	208,2175	[kN]
Sforzo tangenziale sul piano di posa della fondazione	56,2885	[kN]
Eccentricità rispetto al baricentro della fondazione	-0,38	[m]
Lunghezza fondazione reagente	3,60	[m]
Risultante in fondazione	215,6917	[kN]
Inclinazione della risultante (rispetto alla normale)	15,13	[°]
Momento rispetto al baricentro della fondazione	-80,1202	[kNm]
Carico ultimo della fondazione	1980,9523	[kN]

### Tensioni sul terreno

Lunghezza fondazione reagente	3,60	[m]
Tensione terreno allo spigolo di valle	20,74	[kPa]
Tensione terreno allo spigolo di monte	94,95	[kPa]

### Fattori per il calcolo della capacità portante

<b>Coeff. capacità portante</b>	$N_c = 22.25$	$N_q = 11.85$	$N_\gamma = 8.00$
<b>Fattori forma</b>	$s_c = 1,00$	$s_q = 1,00$	$s_\gamma = 1,00$
<b>Fattori inclinazione</b>	$i_c = 0,69$	$i_q = 0,69$	$i_\gamma = 0,17$
<b>Fattori profondità</b>	$d_c = 1,23$	$d_q = 1,12$	$d_\gamma = 1,12$
I coefficienti N' tengono conto dei fattori di forma, profondità, inclinazione carico, inclinazione piano di posa, inclinazione pendio.			
	$N'_c = 19.01$	$N'_q = 9.16$	$N'_\gamma = 1.56$

### COEFFICIENTI DI SICUREZZA

Coefficiente di sicurezza a scorrimento	4.56
Coefficiente di sicurezza a carico ultimo	9.51

## 2.1.2 PEDEMONTANA DELLE MARCHE

Secondo stralcio funzionale: Matelica Nord – Matelica Sud/Castelraimondo Nord

Opere d'arte minori: Opere di sostegno e dreni

Muri di controripa in dx in c.a. da 4+680.00 a 4+844.40

Relazione tecnica e di calcolo

Opera L073	Tratto 212	Settore E	CEE 17	WBS OS1100	Id.doc. REL	N. prog. 01	Rev. A	Pag. di Pag. 96 di 195
---------------	---------------	--------------	-----------	---------------	----------------	----------------	-----------	---------------------------

### Sollecitazioni paramento

#### Combinazione n° 14

L'ordinata Y (espressa in m) è considerata positiva verso il basso con origine in testa al muro

Momento positivo se tende le fibre contro terra (a monte), espresso in kNm

Sforzo normale positivo di compressione, espresso in kN

Taglio positivo se diretto da monte verso valle, espresso in kN

Nr.	Y	N	M	T
1	0,00	0,0000	0,0000	0,0000
2	0,15	1,8662	-0,0033	0,0732
3	0,30	3,7873	0,0011	0,2930
4	0,45	5,7633	0,0349	0,6592
5	0,60	7,7941	0,1195	1,1719
6	0,75	9,8799	0,2765	1,8311
7	0,90	12,0205	0,5275	2,6367
8	1,05	14,2160	0,8941	3,5889
9	1,20	16,4663	1,3978	4,6875
10	1,35	18,7716	2,0601	5,9326
11	1,50	21,1317	2,9027	7,3242
12	1,65	23,5467	3,9470	8,8623
13	1,80	26,0166	5,2147	10,5469
14	1,95	28,5413	6,7273	12,3780
15	2,10	31,1210	8,5063	14,3555
16	2,25	33,7555	10,5734	16,4796
17	2,40	36,4449	12,9500	18,7501
18	2,55	39,1891	15,6578	21,1671
19	2,70	41,9883	18,7183	23,7306
20	2,85	44,8423	22,1530	26,4405
21	3,00	47,7512	25,9826	29,2736

### Sollecitazioni fondazione di valle

#### Combinazione n° 14

L'ascissa X (espressa in m) è considerata positiva verso monte con origine in corrispondenza dell'estremo libero della fondazione di valle

Momento positivo se tende le fibre inferiori, espresso in kNm

Taglio positivo se diretto verso l'alto, espresso in kN

Nr.	X	M	T
1	0,00	0,0000	0,0000
2	0,20	0,0501	0,6382
3	0,40	0,3103	2,1011
4	0,60	0,9455	4,3886
5	0,80	2,1207	7,5008
6	1,00	4,0008	11,4377
7	1,20	6,7507	16,1992
8	1,40	10,5354	21,7854
9	1,60	15,5199	28,1963
10	1,80	21,8689	35,4318
11	2,00	29,7476	43,4920

### Sollecitazioni fondazione di monte



## 2.1.2 PEDEMONTANA DELLE MARCHE

Secondo stralcio funzionale: Matelica Nord – Matelica Sud/Castelraimondo Nord

Opere d'arte minori: Opere di sostegno e dreni

Muri di controripa in dx in c.a. da 4+680.00 a 4+844.40

Relazione tecnica e di calcolo

Opera L073	Tratto 212	Settore E	CEE 17	WBS OS1100	Id.doc. REL	N. prog. 01	Rev. A	Pag. di Pag. 97 di 195
---------------	---------------	--------------	-----------	---------------	----------------	----------------	-----------	---------------------------

### Combinazione n° 14

L'ascissa X (espressa in m) è considerata positiva verso valle con origine in corrispondenza dell'estremo libero della fondazione di monte

Momento positivo se tende le fibre inferiori, espresso in kNm

Taglio positivo se diretto verso l'alto, espresso in kN

Nr.	X	M	T
1	0,00	0,0000	0,0000
2	0,08	0,0250	0,6139
3	0,16	0,0962	1,1534
4	0,24	0,2076	1,6185
5	0,32	0,3532	2,0093
6	0,40	0,5271	2,3258
7	0,48	0,7234	2,5679
8	0,56	0,9360	2,7357
9	0,64	1,1591	2,8291
10	0,72	1,3867	2,8482
11	0,80	1,6128	2,7929

### COMBINAZIONE n° 15

Valore della spinta statica	61,2867	[kN]		
Componente orizzontale della spinta statica	56,2885	[kN]		
Componente verticale della spinta statica	24,2417	[kN]		
Punto d'applicazione della spinta	X = 0,80	[m]	Y = -2,41	[m]
Inclinaz. della spinta rispetto alla normale alla superficie	23,30	[°]		
Inclinazione linea di rottura in condizioni statiche	51,88	[°]		
Punto d'applicazione della spinta della falda	X = 0,80	[m]	Y = -3,80	[m]
Peso terrapieno gravante sulla fondazione a monte	50,8800	[kN]		
Baricentro terrapieno gravante sulla fondazione a monte	X = 0,41	[m]	Y = -1,41	[m]

### Risultanti

Risultante dei carichi applicati in dir. orizzontale	56,2885	[kN]
Risultante dei carichi applicati in dir. verticale	208,2175	[kN]
Resistenza passiva a valle del muro	-36,0823	[kN]
Resistenza passiva dente di fondazione	-162,4072	[kN]
Sforzo normale sul piano di posa della fondazione	208,2175	[kN]
Sforzo tangenziale sul piano di posa della fondazione	56,2885	[kN]
Eccentricità rispetto al baricentro della fondazione	-0,38	[m]
Lunghezza fondazione reagente	3,60	[m]
Risultante in fondazione	215,6917	[kN]
Inclinazione della risultante (rispetto alla normale)	15,13	[°]
Momento rispetto al baricentro della fondazione	-80,1202	[kNm]
Carico ultimo della fondazione	1980,9523	[kN]

### Tensioni sul terreno

Lunghezza fondazione reagente	3,60	[m]
Tensione terreno allo spigolo di valle	20,74	[kPa]
Tensione terreno allo spigolo di monte	94,95	[kPa]

### Fattori per il calcolo della capacità portante

<b>Coeff. capacità portante</b>	$N_c = 22.25$	$N_q = 11.85$	$N_\gamma = 8.00$
<b>Fattori forma</b>	$s_c = 1,00$	$s_q = 1,00$	$s_\gamma = 1,00$
<b>Fattori inclinazione</b>	$i_c = 0,69$	$i_q = 0,69$	$i_\gamma = 0,17$
<b>Fattori profondità</b>	$d_c = 1,23$	$d_q = 1,12$	$d_\gamma = 1,12$
I coefficienti N' tengono conto dei fattori di forma, profondità, inclinazione carico, inclinazione piano di posa, inclinazione pendio.			
	$N'_c = 19.01$	$N'_q = 9.16$	$N'_\gamma = 1.56$



**QUADRILATERO**

Marche Umbria S.p.A.

## 2.1.2 PEDEMONTANA DELLE MARCHE

Secondo stralcio funzionale: Matelica Nord – Matelica Sud/Castelraimondo Nord

Opere d'arte minori: Opere di sostegno e dreni

Muri di controripa in dx in c.a. da 4+680.00 a 4+844.40

Relazione tecnica e di calcolo

Opera L073	Tratto 212	Settore E	CEE 17	WBS OS1100	Id.doc. REL	N. prog. 01	Rev. A	Pag. di Pag. 98 di 195
---------------	---------------	--------------	-----------	---------------	----------------	----------------	-----------	---------------------------

### COEFFICIENTI DI SICUREZZA

Coefficiente di sicurezza a scorrimento

4.56

Coefficiente di sicurezza a carico ultimo

9.51

## 2.1.2 PEDEMONTANA DELLE MARCHE

Secondo stralcio funzionale: Matelica Nord – Matelica Sud/Castelraimondo Nord

Opere d'arte minori: Opere di sostegno e dreni

Muri di controripa in dx in c.a. da 4+680.00 a 4+844.40

Relazione tecnica e di calcolo

Opera L073	Tratto 212	Settore E	CEE 17	WBS OS1100	Id.doc. REL	N. prog. 01	Rev. A	Pag. di Pag. 99 di 195
---------------	---------------	--------------	-----------	---------------	----------------	----------------	-----------	---------------------------

### Sollecitazioni paramento

#### Combinazione n° 15

L'ordinata Y (espressa in m) è considerata positiva verso il basso con origine in testa al muro

Momento positivo se tende le fibre contro terra (a monte), espresso in kNm

Sforzo normale positivo di compressione, espresso in kN

Taglio positivo se diretto da monte verso valle, espresso in kN

Nr.	Y	N	M	T
1	0,00	0,0000	0,0000	0,0000
2	0,15	1,8662	-0,0033	0,0732
3	0,30	3,7873	0,0011	0,2930
4	0,45	5,7633	0,0349	0,6592
5	0,60	7,7941	0,1195	1,1719
6	0,75	9,8799	0,2765	1,8311
7	0,90	12,0205	0,5275	2,6367
8	1,05	14,2160	0,8941	3,5889
9	1,20	16,4663	1,3978	4,6875
10	1,35	18,7716	2,0601	5,9326
11	1,50	21,1317	2,9027	7,3242
12	1,65	23,5467	3,9470	8,8623
13	1,80	26,0166	5,2147	10,5469
14	1,95	28,5413	6,7273	12,3780
15	2,10	31,1210	8,5063	14,3555
16	2,25	33,7555	10,5734	16,4796
17	2,40	36,4449	12,9500	18,7501
18	2,55	39,1891	15,6578	21,1671
19	2,70	41,9883	18,7183	23,7306
20	2,85	44,8423	22,1530	26,4405
21	3,00	47,7512	25,9826	29,2736

### Sollecitazioni fondazione di valle

#### Combinazione n° 15

L'ascissa X (espressa in m) è considerata positiva verso monte con origine in corrispondenza dell'estremo libero della fondazione di valle

Momento positivo se tende le fibre inferiori, espresso in kNm

Taglio positivo se diretto verso l'alto, espresso in kN

Nr.	X	M	T
1	0,00	0,0000	0,0000
2	0,20	0,0501	0,6382
3	0,40	0,3103	2,1011
4	0,60	0,9455	4,3886
5	0,80	2,1207	7,5008
6	1,00	4,0008	11,4377
7	1,20	6,7507	16,1992
8	1,40	10,5354	21,7854
9	1,60	15,5199	28,1963
10	1,80	21,8689	35,4318
11	2,00	29,7476	43,4920

### Sollecitazioni fondazione di monte

## 2.1.2 PEDEMONTANA DELLE MARCHE

**Secondo stralcio funzionale: Matelica Nord – Matelica Sud/Castelraimondo Nord**

Opere d'arte minori: Opere di sostegno e dreni

Muri di controripa in dx in c.a. da 4+680.00 a 4+844.40

Relazione tecnica e di calcolo

Opera L073	Tratto 212	Settore E	CEE 17	WBS OS1100	Id.doc. REL	N. prog. 01	Rev. A	Pag. di Pag. 100 di 195
---------------	---------------	--------------	-----------	---------------	----------------	----------------	-----------	-------------------------------

### Combinazione n° 15

L'ascissa X (espressa in m) è considerata positiva verso valle con origine in corrispondenza dell'estremo libero della fondazione di monte

Momento positivo se tende le fibre inferiori, espresso in kNm

Taglio positivo se diretto verso l'alto, espresso in kN

Nr.	X	M	T
1	0,00	0,0000	0,0000
2	0,08	0,0250	0,6139
3	0,16	0,0962	1,1534
4	0,24	0,2076	1,6185
5	0,32	0,3532	2,0093
6	0,40	0,5271	2,3258
7	0,48	0,7234	2,5679
8	0,56	0,9360	2,7357
9	0,64	1,1591	2,8291
10	0,72	1,3867	2,8482
11	0,80	1,6128	2,7929

### COMBINAZIONE n° 16

Valore della spinta statica	61,2867	[kN]		
Componente orizzontale della spinta statica	56,2885	[kN]		
Componente verticale della spinta statica	24,2417	[kN]		
Punto d'applicazione della spinta	X = 0,80	[m]	Y = -2,41	[m]
Inclinaz. della spinta rispetto alla normale alla superficie	23,30	[°]		
Inclinazione linea di rottura in condizioni statiche	51,88	[°]		
Punto d'applicazione della spinta della falda	X = 0,80	[m]	Y = -3,80	[m]
Peso terrapieno gravante sulla fondazione a monte	50,8800	[kN]		
Baricentro terrapieno gravante sulla fondazione a monte	X = 0,41	[m]	Y = -1,41	[m]

### Risultanti

Risultante dei carichi applicati in dir. orizzontale	56,2885	[kN]
Risultante dei carichi applicati in dir. verticale	208,2175	[kN]
Resistenza passiva a valle del muro	-36,0823	[kN]
Resistenza passiva dente di fondazione	-162,4072	[kN]
Sforzo normale sul piano di posa della fondazione	208,2175	[kN]
Sforzo tangenziale sul piano di posa della fondazione	56,2885	[kN]
Eccentricità rispetto al baricentro della fondazione	-0,38	[m]
Lunghezza fondazione reagente	3,60	[m]
Risultante in fondazione	215,6917	[kN]
Inclinazione della risultante (rispetto alla normale)	15,13	[°]
Momento rispetto al baricentro della fondazione	-80,1202	[kNm]
Carico ultimo della fondazione	1980,9523	[kN]

### Tensioni sul terreno

Lunghezza fondazione reagente	3,60	[m]
Tensione terreno allo spigolo di valle	20,74	[kPa]
Tensione terreno allo spigolo di monte	94,95	[kPa]

### Fattori per il calcolo della capacità portante

<b>Coeff. capacità portante</b>	$N_c = 22,25$	$N_q = 11,85$	$N_\gamma = 8,00$
<b>Fattori forma</b>	$s_c = 1,00$	$s_q = 1,00$	$s_\gamma = 1,00$
<b>Fattori inclinazione</b>	$i_c = 0,69$	$i_q = 0,69$	$i_\gamma = 0,17$
<b>Fattori profondità</b>	$d_c = 1,23$	$d_q = 1,12$	$d_\gamma = 1,12$
I coefficienti N' tengono conto dei fattori di forma, profondità, inclinazione carico, inclinazione piano di posa, inclinazione pendio.			
	$N'_c = 19,01$	$N'_q = 9,16$	$N'_\gamma = 1,56$



## 2.1.2 PEDEMONTANA DELLE MARCHE

Secondo stralcio funzionale: Matelica Nord – Matelica Sud/Castelraimondo Nord

Opere d'arte minori: Opere di sostegno e dreni

Muri di controripa in dx in c.a. da 4+680.00 a 4+844.40

Relazione tecnica e di calcolo

Opera L073	Tratto 212	Settore E	CEE 17	WBS OS1100	Id.doc. REL	N. prog. 01	Rev. A	Pag. di Pag. 101 di 195
---------------	---------------	--------------	-----------	---------------	----------------	----------------	-----------	-------------------------------

### **COEFFICIENTI DI SICUREZZA**

Coefficiente di sicurezza a scorrimento

4.56

Coefficiente di sicurezza a carico ultimo

9.51

## 2.1.2 PEDEMONTANA DELLE MARCHE

**Secondo stralcio funzionale: Matelica Nord – Matelica Sud/Castelraimondo Nord**

Opere d'arte minori: Opere di sostegno e dreni

Muri di controripa in dx in c.a. da 4+680.00 a 4+844.40

Relazione tecnica e di calcolo

Opera L073	Tratto 212	Settore E	CEE 17	WBS OS1100	Id.doc. REL	N. prog. 01	Rev. A	Pag. di Pag. 102 di 195
---------------	---------------	--------------	-----------	---------------	----------------	----------------	-----------	-------------------------------

### Sollecitazioni paramento

#### Combinazione n° 16

L'ordinata Y (espressa in m) è considerata positiva verso il basso con origine in testa al muro

Momento positivo se tende le fibre contro terra (a monte), espresso in kNm

Sforzo normale positivo di compressione, espresso in kN

Taglio positivo se diretto da monte verso valle, espresso in kN

Nr.	Y	N	M	T
1	0,00	0,0000	0,0000	0,0000
2	0,15	1,8662	-0,0033	0,0732
3	0,30	3,7873	0,0011	0,2930
4	0,45	5,7633	0,0349	0,6592
5	0,60	7,7941	0,1195	1,1719
6	0,75	9,8799	0,2765	1,8311
7	0,90	12,0205	0,5275	2,6367
8	1,05	14,2160	0,8941	3,5889
9	1,20	16,4663	1,3978	4,6875
10	1,35	18,7716	2,0601	5,9326
11	1,50	21,1317	2,9027	7,3242
12	1,65	23,5467	3,9470	8,8623
13	1,80	26,0166	5,2147	10,5469
14	1,95	28,5413	6,7273	12,3780
15	2,10	31,1210	8,5063	14,3555
16	2,25	33,7555	10,5734	16,4796
17	2,40	36,4449	12,9500	18,7501
18	2,55	39,1891	15,6578	21,1671
19	2,70	41,9883	18,7183	23,7306
20	2,85	44,8423	22,1530	26,4405
21	3,00	47,7512	25,9826	29,2736

### Sollecitazioni fondazione di valle

#### Combinazione n° 16

L'ascissa X (espressa in m) è considerata positiva verso monte con origine in corrispondenza dell'estremo libero della fondazione di valle

Momento positivo se tende le fibre inferiori, espresso in kNm

Taglio positivo se diretto verso l'alto, espresso in kN

Nr.	X	M	T
1	0,00	0,0000	0,0000
2	0,20	0,0501	0,6382
3	0,40	0,3103	2,1011
4	0,60	0,9455	4,3886
5	0,80	2,1207	7,5008
6	1,00	4,0008	11,4377
7	1,20	6,7507	16,1992
8	1,40	10,5354	21,7854
9	1,60	15,5199	28,1963
10	1,80	21,8689	35,4318
11	2,00	29,7476	43,4920

### Sollecitazioni fondazione di monte



## 2.1.2 PEDEMONTANA DELLE MARCHE

Secondo stralcio funzionale: Matelica Nord – Matelica Sud/Castelraimondo Nord

Opere d'arte minori: Opere di sostegno e dreni

Muri di controripa in dx in c.a. da 4+680.00 a 4+844.40

Relazione tecnica e di calcolo

Opera L073	Tratto 212	Settore E	CEE 17	WBS OS1100	Id.doc. REL	N. prog. 01	Rev. A	Pag. di Pag. 103 di 195
---------------	---------------	--------------	-----------	---------------	----------------	----------------	-----------	-------------------------------

### Combinazione n° 16

L'ascissa X (espressa in m) è considerata positiva verso valle con origine in corrispondenza dell'estremo libero della fondazione di monte

Momento positivo se tende le fibre inferiori, espresso in kNm

Taglio positivo se diretto verso l'alto, espresso in kN

Nr.	X	M	T
1	0,00	0,0000	0,0000
2	0,08	0,0250	0,6139
3	0,16	0,0962	1,1534
4	0,24	0,2076	1,6185
5	0,32	0,3532	2,0093
6	0,40	0,5271	2,3258
7	0,48	0,7234	2,5679
8	0,56	0,9360	2,7357
9	0,64	1,1591	2,8291
10	0,72	1,3867	2,8482
11	0,80	1,6128	2,7929

## 2.1.2 PEDEMONTANA DELLE MARCHE

Secondo stralcio funzionale: Matelica Nord – Matelica Sud/Castelraimondo Nord

Opere d'arte minori: Opere di sostegno e dreni

Muri di controripa in dx in c.a. da 4+680.00 a 4+844.40

Relazione tecnica e di calcolo

Opera L073	Tratto 212	Settore E	CEE 17	WBS OS1100	Id.doc. REL	N. prog. 01	Rev. A	Pag. di Pag. 104 di 195
---------------	---------------	--------------	-----------	---------------	----------------	----------------	-----------	-------------------------------

### Inviluppo Sollecitazioni paramento

L'ordinata Y (espressa in [m]) è considerata positiva verso il basso con origine in testa al muro  
 Momento positivo se tende le fibre contro terra (a monte), espresso in [kNm]  
 Sforzo normale positivo di compressione, espresso in [kN]  
 Taglio positivo se diretto da monte verso valle, espresso in [kN]

#### Inviluppo combinazioni SLU

Nr.	Y	Nmin	Nmax	Mmin	Mmax	Tmin	Tmax
1	0,00	0,0000	0,0000	0,0000	30,0000	0,0000	20,0000
2	0,15	1,8662	1,8662	-0,0022	32,9978	0,0952	20,0952
3	0,30	3,7873	3,7873	0,0099	36,0099	0,3809	20,3809
4	0,45	5,7633	5,7633	0,0645	39,0645	0,8569	20,8569
5	0,60	7,7941	7,7941	0,1898	42,1898	1,5234	21,5234
6	0,75	9,8799	9,8799	0,4138	45,4138	2,3804	22,3804
7	0,90	12,0205	12,0205	0,7648	48,7648	3,4277	23,4277
8	1,05	14,2160	14,2160	1,2709	52,2709	4,6655	24,6655
9	1,20	16,4663	16,4663	1,9603	55,9603	6,0938	26,0938
10	1,35	18,7716	18,7716	2,8610	59,8610	7,7124	27,7124
11	1,50	21,1317	21,1317	4,0013	64,0013	9,5215	29,5215
12	1,65	23,5467	23,5467	5,4093	68,4093	11,5210	31,5210
13	1,80	26,0166	26,0166	7,1131	73,1131	13,7110	33,7110
14	1,95	28,5413	28,5413	9,1410	78,1410	16,0914	36,0914
15	2,10	31,1210	31,1210	11,5210	83,5210	18,6622	38,6622
16	2,25	33,7555	33,7555	14,2813	89,2813	21,4234	41,4234
17	2,40	36,4449	36,4449	17,4500	95,4500	24,3751	46,0335
18	2,55	39,1891	39,1891	21,0554	102,0554	27,5172	51,7944
19	2,70	41,9883	41,9883	25,1255	109,1255	30,8497	57,8946
20	2,85	44,8423	44,8423	29,6885	116,6885	34,3727	64,3341
21	3,00	47,7512	47,7512	34,7714	124,7714	38,0556	71,0593

#### Inviluppo combinazioni SLE

Nr.	Y	Nmin	Nmax	Mmin	Mmax	Tmin	Tmax
1	0,00	0,0000	0,0000	0,0000	0,0000	0,0000	0,0000
2	0,15	1,8662	1,8662	-0,0033	-0,0033	0,0732	0,0732
3	0,30	3,7873	3,7873	0,0011	0,0011	0,2930	0,2930
4	0,45	5,7633	5,7633	0,0349	0,0349	0,6592	0,6592
5	0,60	7,7941	7,7941	0,1195	0,1195	1,1719	1,1719
6	0,75	9,8799	9,8799	0,2765	0,2765	1,8311	1,8311
7	0,90	12,0205	12,0205	0,5275	0,5275	2,6367	2,6367
8	1,05	14,2160	14,2160	0,8941	0,8941	3,5889	3,5889
9	1,20	16,4663	16,4663	1,3978	1,3978	4,6875	4,6875
10	1,35	18,7716	18,7716	2,0601	2,0601	5,9326	5,9326
11	1,50	21,1317	21,1317	2,9027	2,9027	7,3242	7,3242
12	1,65	23,5467	23,5467	3,9470	3,9470	8,8623	8,8623
13	1,80	26,0166	26,0166	5,2147	5,2147	10,5469	10,5469
14	1,95	28,5413	28,5413	6,7273	6,7273	12,3780	12,3780
15	2,10	31,1210	31,1210	8,5063	8,5063	14,3555	14,3555
16	2,25	33,7555	33,7555	10,5734	10,5734	16,4796	16,4796
17	2,40	36,4449	36,4449	12,9500	12,9500	18,7501	18,7501
18	2,55	39,1891	39,1891	15,6578	15,6578	21,1671	21,1671
19	2,70	41,9883	41,9883	18,7183	18,7183	23,7306	23,7306
20	2,85	44,8423	44,8423	22,1530	22,1530	26,4405	26,4405
21	3,00	47,7512	47,7512	25,9826	25,9826	29,2736	29,2736

### Inviluppo Sollecitazioni fondazione di valle



## 2.1.2 PEDEMONTANA DELLE MARCHE

**Secondo stralcio funzionale: Matelica Nord – Matelica Sud/Castelraimondo Nord**

Opere d'arte minori: Opere di sostegno e dreni

Muri di controripa in dx in c.a. da 4+680.00 a 4+844.40

Relazione tecnica e di calcolo

Opera L073	Tratto 212	Settore E	CEE 17	WBS OS1100	Id.doc. REL	N. prog. 01	Rev. A	Pag. di Pag. 105 di 195
---------------	---------------	--------------	-----------	---------------	----------------	----------------	-----------	-------------------------------

L'ascissa X (espressa in m) è considerata positiva verso monte con origine in corrispondenza dell'estremo libero della fondazione di valle  
 Momento positivo se tende le fibre inferiori, espresso in [kNm]  
 Taglio positivo se diretto verso l'alto, espresso in [kN]

### Inviluppo combinazioni SLU

Nr.	X	Mmin	Mmax	Tmin	Tmax
1	0,00	0,0000	0,0000	0,0000	0,0000
2	0,20	0,1828	1,1282	1,9473	11,2196
3	0,40	0,8268	4,4630	4,6127	22,0664
4	0,60	2,0757	9,9299	7,9963	32,5403
5	0,80	4,0732	17,4542	12,0982	42,6413
6	1,00	6,9629	26,9615	16,9181	52,3694
7	1,20	10,8883	38,3772	22,4563	61,7247
8	1,40	15,9933	51,6266	28,7127	70,7072
9	1,60	22,4213	66,6352	35,6872	79,3168
10	1,80	30,3160	83,3284	43,3799	87,5535
11	2,00	39,8211	101,6317	51,7908	95,4173

### Inviluppo combinazioni SLE

Nr.	X	Mmin	Mmax	Tmin	Tmax
1	0,00	0,0000	0,0000	0,0000	0,0000
2	0,20	0,0501	0,0501	0,6382	0,6382
3	0,40	0,3103	0,3103	2,1011	2,1011
4	0,60	0,9455	0,9455	4,3886	4,3886
5	0,80	2,1207	2,1207	7,5008	7,5008
6	1,00	4,0008	4,0008	11,4377	11,4377
7	1,20	6,7507	6,7507	16,1992	16,1992
8	1,40	10,5354	10,5354	21,7854	21,7854
9	1,60	15,5199	15,5199	28,1963	28,1963
10	1,80	21,8689	21,8689	35,4318	35,4318
11	2,00	29,7476	29,7476	43,4920	43,4920

## Inviluppo Sollecitazioni fondazione di monte

L'ascissa X (espressa in m) è considerata positiva verso valle con origine in corrispondenza dell'estremo libero della fondazione di monte  
 Momento positivo se tende le fibre inferiori, espresso in [kNm]  
 Taglio positivo se diretto verso l'alto, espresso in [kN]

### Inviluppo combinazioni SLU

Nr.	X	Mmin	Mmax	Tmin	Tmax
1	0,00	0,0000	0,0000	0,0000	0,0000
2	0,08	-0,2026	-0,0040	-5,0433	-0,1051
3	0,16	-0,8033	-0,0174	-9,9521	-0,2333
4	0,24	-1,7914	-0,0420	-14,7263	-0,3848
5	0,32	-3,1560	-0,0796	-19,3660	-0,5595
6	0,40	-4,8863	-0,1321	-23,8711	-0,7575
7	0,48	-6,9718	-0,2014	-28,2418	-0,9787
8	0,56	-9,4014	-0,2894	-32,4778	-1,2231
9	0,64	-12,1646	-0,3977	-36,5794	-1,4907
10	0,72	-15,2506	-0,5285	-40,5464	-1,7815
11	0,80	-18,6485	-0,6834	-44,3788	-2,0956

### Inviluppo combinazioni SLE



**QUADRILATERO**

Marche Umbria S.p.A.

## 2.1.2 PEDEMONTANA DELLE MARCHE

Secondo stralcio funzionale: Matelica Nord – Matelica Sud/Castelraimondo Nord

Opere d'arte minori: Opere di sostegno e dreni

Muri di controripa in dx in c.a. da 4+680.00 a 4+844.40

Relazione tecnica e di calcolo

Opera L073	Tratto 212	Settore E	CEE 17	WBS OS1100	Id.doc. REL	N. prog. 01	Rev. A	Pag. di Pag. 106 di 195
---------------	---------------	--------------	-----------	---------------	----------------	----------------	-----------	-------------------------------

Nr.	X	Mmin	Mmax	Tmin	Tmax
1	0,00	0,0000	0,0000	0,0000	0,0000
2	0,08	0,0250	0,0250	0,6139	0,6139
3	0,16	0,0962	0,0962	1,1534	1,1534
4	0,24	0,2076	0,2076	1,6185	1,6185
5	0,32	0,3532	0,3532	2,0093	2,0093
6	0,40	0,5271	0,5271	2,3258	2,3258
7	0,48	0,7234	0,7234	2,5679	2,5679
8	0,56	0,9360	0,9360	2,7357	2,7357
9	0,64	1,1591	1,1591	2,8291	2,8291
10	0,72	1,3867	1,3867	2,8482	2,8482
11	0,80	1,6128	1,6128	2,7929	2,7929



**QUADRILATERO**  
Merche Umbria S.p.A.

## 2.1.2 PEDEMONTANA DELLE MARCHE

Secondo stralcio funzionale: Matelica Nord – Matelica Sud/Castelraimondo Nord

Opere d'arte minori: Opere di sostegno e dreni

Muri di controripa in dx in c.a. da 4+680.00 a 4+844.40

Relazione tecnica e di calcolo

Opera L073	Tratto 212	Settore E	CEE 17	WBS OS1100	Id.doc. REL	N. prog. 01	Rev. A	Pag. di Pag. 107 di 195
---------------	---------------	--------------	-----------	---------------	----------------	----------------	-----------	-------------------------------

# ALLEGATO 1

## TABULATI DI CALCOLO MURO TIPO 2

## 2.1.2 PEDEMONTANA DELLE MARCHE

**Secondo stralcio funzionale: Matelica Nord – Matelica Sud/Castelraimondo Nord**

Opere d'arte minori: Opere di sostegno e dreni

Muri di controripa in dx in c.a. da 4+680.00 a 4+844.40

Relazione tecnica e di calcolo

Opera L073	Tratto 212	Settore E	CEE 17	WBS OS1100	Id.doc. REL	N. prog. 01	Rev. A	Pag. di Pag. 108 di 195
---------------	---------------	--------------	-----------	---------------	----------------	----------------	-----------	-------------------------------

### Normative di riferimento

- Legge nr. 1086 del 05/11/1971.
- Norme per la disciplina delle opere in conglomerato cementizio, normale e precompresso ed a struttura metallica.
- Legge nr. 64 del 02/02/1974.
- Provvedimenti per le costruzioni con particolari prescrizioni per le zone sismiche.
- D.M. LL.PP. del 11/03/1988.
- Norme tecniche riguardanti le indagini sui terreni e sulle rocce, la stabilità dei pendii naturali e delle scarpate, i criteri generali e le prescrizioni per la progettazione, l'esecuzione e il collaudo delle opere di sostegno delle terre e delle opere di fondazione.
- D.M. LL.PP. del 14/02/1992.
- Norme tecniche per l'esecuzione delle opere in cemento armato normale e precompresso e per le strutture metalliche.
- D.M. 9 Gennaio 1996
- Norme Tecniche per il calcolo, l'esecuzione ed il collaudo delle strutture in cemento armato normale e precompresso e per le strutture metalliche
- D.M. 16 Gennaio 1996
- Norme Tecniche relative ai 'Criteri generali per la verifica di sicurezza delle costruzioni e dei carichi e sovraccarichi'
- D.M. 16 Gennaio 1996
- Norme Tecniche per le costruzioni in zone sismiche
- Circolare Ministero LL.PP. 15 Ottobre 1996 N. 252 AA.GG./S.T.C.
- Istruzioni per l'applicazione delle Norme Tecniche di cui al D.M. 9 Gennaio 1996
- Circolare Ministero LL.PP. 10 Aprile 1997 N. 65/AA.GG.
- Istruzioni per l'applicazione delle Norme Tecniche per le costruzioni in zone sismiche di cui al D.M. 16 Gennaio 1996
- Norme Tecniche per le Costruzioni 2008 (D.M. 14 Gennaio 2008)
- Circolare 617 del 02/02/2009
- Circolare C.S.L.P. 02/02/2009 n.617 - Istruzioni per l'applicazione delle Norme Tecniche per le Costruzioni di cui al D.M. 14 gennaio 2008

Il calcolo dei muri di sostegno viene eseguito secondo le seguenti fasi:

- Calcolo della spinta del terreno
  - Verifica a ribaltamento
  - Verifica a scorrimento del muro sul piano di posa
  - Verifica della stabilità complesso fondazione terreno (carico limite)
  - Verifica della stabilità globale
- Calcolo delle sollecitazioni sia del muro che della fondazione, progetto delle armature e relative verifiche dei materiali

Opera L073	Tratto 212	Settore E	CEE 17	WBS OS1100	Id.doc. REL	N. prog. 01	Rev. A	Pag. di Pag. 109 di 195
---------------	---------------	--------------	-----------	---------------	----------------	----------------	-----------	-------------------------------

## Calcolo della spinta sul muro

### Valori caratteristici e valori di calcolo

Effettuando il calcolo tramite gli Eurocodici è necessario fare la distinzione fra i parametri caratteristici ed i valori di calcolo (o di progetto) sia delle azioni che delle resistenze.

I valori di calcolo si ottengono dai valori caratteristici mediante l'applicazione di opportuni coefficienti di sicurezza parziali  $\gamma$ . In particolare si distinguono combinazioni di carico di tipo **A1-M1** nelle quali vengono incrementati i carichi e lasciati inalterati i parametri di resistenza del terreno e combinazioni di carico di tipo **A2-M2** nelle quali vengono ridotti i parametri di resistenza del terreno e incrementati i soli carichi variabili.

### Metodo di Culmann

Il metodo di Culmann adotta le stesse ipotesi di base del metodo di Coulomb. La differenza sostanziale è che mentre Coulomb considera un terrapieno con superficie a pendenza costante e carico uniformemente distribuito (il che permette di ottenere una espressione in forma chiusa per il coefficiente di spinta) il metodo di Culmann consente di analizzare situazioni con profilo di forma generica e carichi sia concentrati che distribuiti comunque disposti. Inoltre, rispetto al metodo di Coulomb, risulta più immediato e lineare tener conto della coesione del masso spingente. Il metodo di Culmann, nato come metodo essenzialmente grafico, si è evoluto per essere trattato mediante analisi numerica (noto in questa forma come metodo del cuneo di tentativo). Come il metodo di Coulomb anche questo metodo considera una superficie di rottura rettilinea.

I passi del procedimento risolutivo sono i seguenti:

- si impone una superficie di rottura (angolo di inclinazione  $\rho$  rispetto all'orizzontale) e si considera il cuneo di spinta delimitato dalla superficie di rottura stessa, dalla parete su cui si calcola la spinta e dal profilo del terreno;
- si valutano tutte le forze agenti sul cuneo di spinta e cioè peso proprio ( $W$ ), carichi sul terrapieno, resistenza per attrito e per coesione lungo la superficie di rottura ( $R$  e  $C$ ) e resistenza per coesione lungo la parete ( $A$ );
- dalle equazioni di equilibrio si ricava il valore della spinta  $S$  sulla parete.

Questo processo viene iterato fino a trovare l'angolo di rottura per cui la spinta risulta massima.

La convergenza non si raggiunge se il terrapieno risulta inclinato di un angolo maggiore dell'angolo d'attrito del terreno.

Nei casi in cui è applicabile il metodo di Coulomb (profilo a monte rettilineo e carico uniformemente distribuito) i risultati ottenuti col metodo di Culmann coincidono con quelli del metodo di Coulomb.

Le pressioni sulla parete di spinta si ricavano derivando l'espressione della spinta  $S$  rispetto all'ordinata  $z$ . Noto il diagramma delle pressioni è possibile ricavare il punto di applicazione della spinta.

### Spinta in presenza di sisma

Per tener conto dell'incremento di spinta dovuta al sisma si fa riferimento al metodo di Mononobe-Okabe (cui fa riferimento la Normativa Italiana).

La Normativa Italiana suggerisce di tener conto di un incremento di spinta dovuto al sisma nel modo seguente.

Detta  $\varepsilon$  l'inclinazione del terrapieno rispetto all'orizzontale e  $\beta$  l'inclinazione della parete rispetto alla verticale, si calcola la spinta  $S'$  considerando un'inclinazione del terrapieno e della parte pari a

$$\varepsilon' = \varepsilon + \theta$$

$$\beta' = \beta + \theta$$

dove  $\theta = \arctg(k_h/(1 \pm k_v))$  essendo  $k_h$  il coefficiente sismico orizzontale e  $k_v$  il coefficiente sismico verticale, definito in funzione di  $k_h$ .

In presenza di falda a monte,  $\theta$  assume le seguenti espressioni:

Terreno a bassa permeabilità

$$\theta = \arctg\left[\left(\frac{\gamma_{sat}}{\gamma_{sat} - \gamma_w}\right) * \left(k_h / (1 \pm k_v)\right)\right]$$

Terreno a permeabilità elevata

## 2.1.2 PEDEMONTANA DELLE MARCHE

**Secondo stralcio funzionale: Matelica Nord – Matelica Sud/Castelraimondo Nord**

Opere d'arte minori: Opere di sostegno e dreni

Muri di controripa in dx in c.a. da 4+680.00 a 4+844.40

Relazione tecnica e di calcolo

Opera L073	Tratto 212	Settore E	CEE 17	WBS OS1100	Id.doc. REL	N. prog. 01	Rev. A	Pag. di Pag. 110 di 195
---------------	---------------	--------------	-----------	---------------	----------------	----------------	-----------	-------------------------------

$$\theta = \arctg[(\gamma/(\gamma_{sat}-\gamma_w)) * (k_h/(1 \pm k_v))]$$

Detta  $S$  la spinta calcolata in condizioni statiche l'incremento di spinta da applicare è espresso da

$$\Delta S = AS' - S$$

dove il coefficiente  $A$  vale

$$A = \frac{\cos^2(\beta + \theta)}{\cos^2\beta \cos\theta}$$

In presenza di falda a monte, nel coefficiente  $A$  si tiene conto dell'influenza dei pesi di volume nel calcolo di  $\theta$ .

Adottando il metodo di Mononobe-Okabe per il calcolo della spinta, il coefficiente  $A$  viene posto pari a 1.

Tale incremento di spinta è applicato a metà altezza della parete di spinta nel caso di forma rettangolare del diagramma di incremento sismico, allo stesso punto di applicazione della spinta statica nel caso in cui la forma del diagramma di incremento sismico è uguale a quella del diagramma statico.

Oltre a questo incremento bisogna tener conto delle forze d'inerzia orizzontali e verticali che si destano per effetto del sisma. Tali forze vengono valutate come

$$F_{IH} = k_h W \quad F_{IV} = \pm k_v W$$

dove  $W$  è il peso del muro, del terreno soprastante la mensola di monte ed i relativi sovraccarichi e va applicata nel baricentro dei pesi.

Il metodo di Culmann tiene conto automaticamente dell'incremento di spinta. Basta inserire nell'equazione risolutiva la forza d'inerzia del cuneo di spinta. La superficie di rottura nel caso di sisma risulta meno inclinata della corrispondente superficie in assenza di sisma.

### Verifica alla stabilità globale

La verifica alla stabilità globale del complesso muro+terreno deve fornire un coefficiente di sicurezza non inferiore a  $\eta_g$

Eseguito il calcolo mediante gli Eurocodici si può impostare  $\eta_g \geq 1.0$

Viene usata la tecnica della suddivisione a strisce della superficie di scorrimento da analizzare. La superficie di scorrimento viene supposta circolare e determinata in modo tale da non avere intersezione con il profilo del muro o con i pali di fondazione. Si determina il minimo coefficiente di sicurezza su una maglia di centri di dimensioni 10x10 posta in prossimità della sommità del muro. Il numero di strisce è pari a 50.

Si adotta per la verifica di stabilità globale il metodo di Bishop.

Il coefficiente di sicurezza nel metodo di Bishop si esprime secondo la seguente formula:

$$\eta = \frac{\sum_i \left( \frac{c_i b_i + (W_i - u_i b_i) \operatorname{tg} \phi_i}{m} \right)}{\sum_i W_i \sin \alpha_i}$$

dove il termine  $m$  è espresso da

$$m = \left( 1 + \frac{\operatorname{tg} \phi_i \operatorname{tg} \alpha_i}{\eta} \right) \cos \alpha_i$$

## 2.1.2 PEDEMONTANA DELLE MARCHE

**Secondo stralcio funzionale: Matelica Nord – Matelica Sud/Castelraimondo Nord**

Opere d'arte minori: Opere di sostegno e dreni

Muri di controripa in dx in c.a. da 4+680.00 a 4+844.40

Relazione tecnica e di calcolo

Opera L073	Tratto 212	Settore E	CEE 17	WBS OS1100	Id.doc. REL	N. prog. 01	Rev. A	Pag. di Pag. 111 di 195
---------------	---------------	--------------	-----------	---------------	----------------	----------------	-----------	-------------------------------

In questa espressione  $n$  è il numero delle strisce considerate,  $b_i$  e  $\alpha_i$  sono la larghezza e l'inclinazione della base della striscia  $i_{esima}$  rispetto all'orizzontale,  $W_i$  è il peso della striscia  $i_{esima}$ ,  $c_i$  e  $\phi_i$  sono le caratteristiche del terreno (coesione ed angolo di attrito) lungo la base della striscia ed  $u_i$  è la pressione neutra lungo la base della striscia.

L'espressione del coefficiente di sicurezza di Bishop contiene al secondo membro il termine  $m$  che è funzione di  $\eta$ . Quindi essa viene risolta per successive approssimazioni assumendo un valore iniziale per  $\eta$  da inserire nell'espressione di  $m$  ed iterare finquando il valore calcolato coincide con il valore assunto.

### Analisi dei pali

Per l'analisi della capacità portante dei pali occorre determinare alcune caratteristiche del terreno in cui si va ad operare. In particolare bisogna conoscere l'angolo d'attrito  $\phi$  e la coesione  $c$ . Per pali soggetti a carichi trasversali è necessario conoscere il modulo di reazione laterale o il modulo elastico laterale.

La capacità portante di un palo solitamente viene valutata come somma di due contributi: portata di base (o di punta) e portata per attrito laterale lungo il fusto. Cioè si assume valida l'espressione:

$$Q_T = Q_P + Q_L - W_P$$

dove:

- $Q_T$  portanza totale del palo
- $Q_P$  portanza di base del palo
- $Q_L$  portanza per attrito laterale del palo
- $W_P$  peso proprio del palo

e le due componenti  $Q_P$  e  $Q_L$  sono calcolate in modo indipendente fra loro.

Dalla capacità portante del palo si ricava il carico ammissibile del palo  $Q_A$  applicando il coefficiente di sicurezza della portanza alla punta  $\eta_p$  ed il coefficiente di sicurezza della portanza per attrito laterale  $\eta_l$ .

Palo compresso:

$$Q_A = Q_P / \eta_p + Q_L / \eta_l - W_P$$

Palo teso:

$$Q_A = Q_L / \eta_l + W_P$$

#### Capacità portante di punta

In generale la capacità portante di punta viene calcolata tramite l'espressione:

$$Q_P = A_p (cN'_c + qN'_q + 1/2B\gamma N'_\gamma)$$

dove  $A_p$  è l'area portante efficace della punta del palo,  $c$  è la coesione,  $q$  è la pressione geostatica alla quota della punta del palo,  $\gamma$  è il peso specifico del terreno,  $D$  è il diametro del palo ed i coefficienti  $N'_c$ ,  $N'_q$ ,  $N'_\gamma$  sono i coefficienti delle formule della capacità portante corretti per tener conto degli effetti di forma e di profondità. Possono essere utilizzati sia i coefficienti di Hansen che quelli di Vesic con i corrispondenti fattori correttivi per la profondità e la forma.

Il parametro  $\eta$  che compare nell'espressione assume il valore:

$$\eta = \frac{1 + 2K_0}{3}$$

quando si usa la formula di Vesic e viene posto uguale ad 1 per le altre formule.

$K_0$  rappresenta il coefficiente di spinta a riposo che può essere espresso come:  $K_0 = 1 - \sin\phi$ .

## 2.1.2 PEDEMONTANA DELLE MARCHE

**Secondo stralcio funzionale: Matelica Nord – Matelica Sud/Castelraimondo Nord**

Opere d'arte minori: Opere di sostegno e dreni

Muri di controripa in dx in c.a. da 4+680.00 a 4+844.40

Relazione tecnica e di calcolo

Opera L073	Tratto 212	Settore E	CEE 17	WBS OS1100	Id.doc. REL	N. prog. 01	Rev. A	Pag. di Pag. 112 di 195
---------------	---------------	--------------	-----------	---------------	----------------	----------------	-----------	-------------------------------

### Capacità portante per resistenza laterale

La resistenza laterale è data dall'integrale esteso a tutta la superficie laterale del palo delle tensioni tangenziali palo-terreno in condizioni limite:

$$Q_L = \int \tau_a dS$$

dove  $\tau_a$  è dato dalla nota relazione di Coulomb

$$\tau_a = c_a + \sigma_n \tan \delta$$

dove  $c_a$  è l'adesione palo-terreno,  $\delta$  è l'angolo di attrito palo-terreno,  $\gamma$  è il peso specifico del terreno,  $z$  è la generica quota a partire dalla testa del palo,  $L$  e  $P$  sono rispettivamente la lunghezza ed il perimetro del palo,  $K_s$  è il coefficiente di spinta che dipende dalle caratteristiche meccaniche e fisiche del terreno dal suo stato di addensamento e dalle modalità di realizzazione del palo.

### Portanza trasversale dei pali - Analisi ad elementi finiti

Nel modello di terreno alla Winkler il terreno viene schematizzato come una serie di molle elastiche indipendenti fra di loro. Le molle che schematizzano il terreno vengono caratterizzate tramite una costante elastica  $K$  espressa in  $\text{Kg/cm}^2/\text{cm}$  che rappresenta la pressione (in  $\text{Kg/cm}^2$ ) che bisogna applicare per ottenere l'abbassamento di 1 cm.

Nel metodo degli elementi finiti occorre discretizzare il particolare problema. Nel caso specifico il palo viene suddiviso in un certo numero di elementi di eguale lunghezza. Ogni elemento è caratterizzato da una sezione avente area ed inerzia coincidente con quella del palo.

Il terreno viene schematizzato come una serie di molle orizzontali che reagiscono agli spostamenti nei due versi. La rigidezza assiale della singola molla è proporzionale alla costante di Winkler orizzontale del terreno, al diametro del palo ed alla lunghezza dell'elemento. La molla, però, non viene vista come un elemento infinitamente elastico ma come un elemento con comportamento del tipo elastoplastico perfetto (diagramma sforzi-deformazioni di tipo bilatero). Essa presenta una resistenza crescente al crescere degli spostamenti fino a che l'entità degli spostamenti si mantiene al di sotto di un certo spostamento limite,  $X_{\max}$  oppure fino a quando non si raggiunge il valore della pressione limite. Superato tale limite non si ha un incremento di resistenza. E' evidente che assumendo un comportamento di questo tipo ci si addentra in un tipico problema non lineare che può essere risolto solo mediante una analisi al passo.

Questa modellazione presenta il notevole vantaggio di poter schematizzare tutti quei comportamenti individuati da Broms e che sarebbe impossibile trattare in un modello numerico. In particolare risulta automatico analizzare casi in cui si ha insufficiente portanza non per rottura del palo ma per rottura del terreno (vedi il caso di un palo molto rigido in un terreno molle).

### Determinazione degli scarichi sul palo.

Gli scarichi sui pali vengono determinati mediante il metodo delle rigidezze.

La piastra di fondazione viene considerata infinitamente rigida (3 gradi di libertà) ed i pali vengono considerati incastrati o incernierati (la scelta del vincolo viene fatta dall'Utente nella tabella CARATTERISTICHE del sottomenu PALI) a tale piastra.

Viene effettuata una prima analisi di ogni palo di ciascuna fila (i pali di ogni fila hanno le stesse caratteristiche) per costruire una curva carichi-spostamenti del palo. Questa curva viene costruita considerando il palo elastico. Si tratta, in definitiva, della matrice di rigidezza del palo  $K_e$ , costruita imponendo traslazioni e rotazioni unitarie per determinare le corrispondenti sollecitazioni in testa al palo.

Nota la matrice di rigidezza di ogni palo si assembla la matrice globale (di dimensioni  $3 \times 3$ ) della palificata,  $K$ .

A questo punto, note le forze agenti in fondazione (N, T, M) si possono ricavare gli spostamenti della piastra (abbassamento, traslazione e rotazione) e le forze che si scaricano su ciascun palo. Infatti indicando con  $p$  il vettore dei carichi e con  $u$  il vettore degli spostamenti della piastra abbiamo:

$$u = K^{-1}p$$

Noti gli spostamenti della piastra, e quindi della testa dei pali, abbiamo gli scarichi su ciascun palo. Allora per ciascun palo viene effettuata un'analisi elastoplastica incrementale (tramite il metodo degli elementi finiti) che, tenendo conto della plasticizzazione del terreno, calcola le sollecitazioni in tutte le sezioni del palo., le caratteristiche del terreno (rappresentate da  $K_h$ ) sono tali che se non è possibile raggiungere l'equilibrio si ha collasso per rottura del terreno.



## 2.1.2 PEDEMONTANA DELLE MARCHE

Secondo stralcio funzionale: Matelica Nord – Matelica Sud/Castelraimondo Nord

Opere d'arte minori: Opere di sostegno e dreni

Muri di controripa in dx in c.a. da 4+680.00 a 4+844.40

Relazione tecnica e di calcolo

Opera L073	Tratto 212	Settore E	CEE 17	WBS OS1100	Id.doc. REL	N. prog. 01	Rev. A	Pag. di Pag. 113 di 195
---------------	---------------	--------------	-----------	---------------	----------------	----------------	-----------	-------------------------------

### Normativa

#### N.T.C. 2008 - Approccio 2

##### Simbologia adottata

$\gamma_{Gsfav}$	Coefficiente parziale sfavorevole sulle azioni permanenti
$\gamma_{Gfav}$	Coefficiente parziale favorevole sulle azioni permanenti
$\gamma_{Qsfav}$	Coefficiente parziale sfavorevole sulle azioni variabili
$\gamma_{Qfav}$	Coefficiente parziale favorevole sulle azioni variabili
$\gamma_{tan\phi'}$	Coefficiente parziale di riduzione dell'angolo di attrito drenato
$\gamma_c$	Coefficiente parziale di riduzione della coesione drenata
$\gamma_{cu}$	Coefficiente parziale di riduzione della coesione non drenata
$\gamma_{qu}$	Coefficiente parziale di riduzione del carico ultimo
$\gamma_\gamma$	Coefficiente parziale di riduzione della resistenza a compressione uniaxiale delle rocce

#### Coefficienti di partecipazione combinazioni statiche

##### Coefficienti parziali per le azioni o per l'effetto delle azioni:

Carichi	Effetto		A1	A2	EQU	HYD
Permanenti	Favorevole	$\gamma_{Gfav}$	1,00	1,00	0,90	0,90
Permanenti	Sfavorevole	$\gamma_{Gsfav}$	1,30	1,00	1,10	1,30
Variabili	Favorevole	$\gamma_{Qfav}$	0,00	0,00	0,00	0,00
Variabili	Sfavorevole	$\gamma_{Qsfav}$	1,50	1,30	1,50	1,50

##### Coefficienti parziali per i parametri geotecnici del terreno:

Parametri		M1	M2	M2	M1
Tangente dell'angolo di attrito	$\gamma_{tan\phi'}$	1,00	1,25	1,25	1,00
Coesione efficace	$\gamma_c$	1,00	1,25	1,25	1,00
Resistenza non drenata	$\gamma_{cu}$	1,00	1,40	1,40	1,00
Resistenza a compressione uniaxiale	$\gamma_{qu}$	1,00	1,60	1,60	1,00
Peso dell'unità di volume	$\gamma_\gamma$	1,00	1,00	1,00	1,00

#### Coefficienti di partecipazione combinazioni sismiche

##### Coefficienti parziali per le azioni o per l'effetto delle azioni:

Carichi	Effetto		A1	A2	EQU	HYD
Permanenti	Favorevole	$\gamma_{Gfav}$	1,00	1,00	1,00	0,90
Permanenti	Sfavorevole	$\gamma_{Gsfav}$	1,00	1,00	1,00	1,30
Variabili	Favorevole	$\gamma_{Qfav}$	0,00	0,00	0,00	0,00
Variabili	Sfavorevole	$\gamma_{Qsfav}$	1,00	1,00	1,00	1,50

##### Coefficienti parziali per i parametri geotecnici del terreno:

Parametri		M1	M2	M2	M1
Tangente dell'angolo di attrito	$\gamma_{tan\phi'}$	1,00	1,25	1,25	1,00
Coesione efficace	$\gamma_c$	1,00	1,25	1,25	1,00
Resistenza non drenata	$\gamma_{cu}$	1,00	1,40	1,40	1,00
Resistenza a compressione uniaxiale	$\gamma_{qu}$	1,00	1,60	1,60	1,00
Peso dell'unità di volume	$\gamma_\gamma$	1,00	1,00	1,00	1,00

#### FONDAZIONE SUPERFICIALE

##### Coefficienti parziali $\gamma_R$ per le verifiche agli stati limite ultimi STR e GEO

###### Verifica

	Coefficienti parziali		
	R1	R2	R3
Capacità portante della fondazione	1,00	1,00	1,40
Scorrimento	1,00	1,00	1,10
Resistenza del terreno a valle	1,00	1,00	1,40
Stabilità globale		1,10	

## 2.1.2 PEDEMONTANA DELLE MARCHE

Secondo stralcio funzionale: Matelica Nord – Matelica Sud/Castelraimondo Nord

Opere d'arte minori: Opere di sostegno e dreni

Muri di controripa in dx in c.a. da 4+680.00 a 4+844.40

Relazione tecnica e di calcolo

Opera L073	Tratto 212	Settore E	CEE 17	WBS OS1100	Id.doc. REL	N.prog. 01	Rev. A	Pag. di Pag. 114 di 195
---------------	---------------	--------------	-----------	---------------	----------------	---------------	-----------	-------------------------------

### PALI DI FONDAZIONE

CARICHI VERTICALI. Coefficienti parziali  $\gamma_R$  per le verifiche dei pali

#### Pali trivellati

		R1	R2	R3
Punta	$\gamma_b$	1,00	1,70	1,35
Laterale compressione	$\gamma_s$	1,00	1,45	1,15
Totale compressione	$\gamma_t$	1,00	1,60	1,30
Laterale trazione	$\gamma_{st}$	1,00	1,60	1,25

CARICHI TRASVERSALI. Coefficienti parziali  $\gamma_T$  per le verifiche dei pali.

		R1	R2	R3
	$\gamma_T$	1,00	1,60	1,30

Coefficienti di riduzione  $\xi$  per la determinazione della resistenza caratteristica dei pali

Numero di verticali indagate	3	$\xi_3=1,60$	$\xi_4=1,48$
------------------------------	---	--------------	--------------

## 2.1.2 PEDEMONTANA DELLE MARCHE

**Secondo stralcio funzionale: Matelica Nord – Matelica Sud/Castelraimondo Nord**

Opere d'arte minori: Opere di sostegno e dreni

Muri di controripa in dx in c.a. da 4+680.00 a 4+844.40

Relazione tecnica e di calcolo

Opera L073	Tratto 212	Settore E	CEE 17	WBS OS1100	Id.doc. REL	N. prog. 01	Rev. A	Pag. di Pag. 115 di 195
---------------	---------------	--------------	-----------	---------------	----------------	----------------	-----------	-------------------------------

### Geometria muro e fondazione

#### Descrizione

Altezza del paramento	4,50 [m]
Spessore in sommità	0,50 [m]
Spessore all'attacco con la fondazione	0,95 [m]
Inclinazione paramento esterno	5,70 [°]
Inclinazione paramento interno	0,00 [°]
Lunghezza del muro	7,20 [m]

#### Muro a mensola in c.a.

#### Fondazione

Lunghezza mensola fondazione di valle	1,35 [m]
Lunghezza mensola fondazione di monte	2,30 [m]
Lunghezza totale fondazione	4,60 [m]
Inclinazione piano di posa della fondazione	0,00 [°]
Spessore fondazione	1,00 [m]
Spessore magrone	0,20 [m]



## 2.1.2 PEDEMONTANA DELLE MARCHE

Secondo stralcio funzionale: Matelica Nord – Matelica Sud/Castelraimondo Nord

Opere d'arte minori: Opere di sostegno e dreni

Muri di controripa in dx in c.a. da 4+680.00 a 4+844.40

Relazione tecnica e di calcolo

Opera L073	Tratto 212	Settore E	CEE 17	WBS OS1100	Id.doc. REL	N. prog. 01	Rev. A	Pag. di Pag. 116 di 195
---------------	---------------	--------------	-----------	---------------	----------------	----------------	-----------	-------------------------------

### Descrizione pali di fondazione

Pali in c.a.	
Numero di file di pali	2
Vincolo pali/fondazione	Incastro
Tipo di portanza	Portanza di punta

#### Simbologia adottata

N	numero d'ordine della fila
X	ascissa della fila misurata dallo spigolo di monte della fondazione espressa in [m]
nr.	Numero di pali della fila
D	diametro dei pali della fila espresso in [m]
L	lunghezza dei pali della fila espressa in [m]
alfa	inclinazione dei pali della fila rispetto alla verticale espressa in [°]
ALL	allineamento dei pali della fila rispetto al baricentro della fondazione (CENTRATI o SFALSATI)

N	X	Nr.	D	L	alfa	ALL
1	0,90	3	0,8000	16,00	0,00	Centrati
2	3,70	3	0,8000	16,00	0,00	Centrati

## 2.1.2 PEDEMONTANA DELLE MARCHE

Secondo stralcio funzionale: Matelica Nord – Matelica Sud/Castelraimondo Nord

Opere d'arte minori: Opere di sostegno e dreni

Muri di controripa in dx in c.a. da 4+680.00 a 4+844.40

Relazione tecnica e di calcolo

Opera L073	Tratto 212	Settore E	CEE 17	WBS OS1100	Id.doc. REL	N. prog. 01	Rev. A	Pag. di Pag. 117 di 195
---------------	---------------	--------------	-----------	---------------	----------------	----------------	-----------	-------------------------------

### Materiali utilizzati per la struttura

#### Calcestruzzo

Peso specifico	24,517 [kN/mc]
Classe di Resistenza	C25/30
Resistenza caratteristica a compressione $R_{ck}$	30000 [kPa]
Modulo elastico E	31447048 [kPa]

#### Acciaio

Tipo	B450C
Tensione di snervamento $\sigma_{fa}$	449936 [kPa]

#### Calcestruzzo utilizzato per i pali

Classe di Resistenza	C32/40
Resistenza caratteristica a compressione $R_{ck}$	40000 [kPa]
Modulo elastico E	33642648 [kPa]

#### Acciaio utilizzato per i pali

Tipo	B450C
Tensione ammissibile $\sigma_{fa}$	449936 [kPa]
Tensione di snervamento $\sigma_{fa}$	449936 [kPa]

### Geometria profilo terreno a monte del muro

#### Simbologia adottata e sistema di riferimento

(Sistema di riferimento con origine in testa al muro, ascissa X positiva verso monte, ordinata Y positiva verso l'alto)

N numero ordine del punto  
 X ascissa del punto espressa in [m]  
 Y ordinata del punto espressa in [m]  
 A inclinazione del tratto espressa in [°]

N	X	Y	A
1	9,62	3,30	18,93
2	20,00	3,30	0,00

### Terreno a valle del muro

Inclinazione terreno a valle del muro rispetto all'orizzontale	0,00	[°]
Altezza del rinterro rispetto all'attacco fondaz.valle-paramento	0,50	[m]

### Falda

Quota della falda a valle del muro rispetto al piano di posa della fondazione	-1,00	[m]
---	-------	-----

### Descrizione terreni

#### Simbologia adottata

Nr.	Descrizione terreno	Indice del terreno
$\gamma$		Peso di volume del terreno espresso in [kN/mc]
$\gamma_s$		Peso di volume saturo del terreno espresso in [kN/mc]
$\phi$		Angolo d'attrito interno espresso in [°]
$\delta$		Angolo d'attrito terra-muro espresso in [°]

## 2.1.2 PEDEMONTANA DELLE MARCHE

Secondo stralcio funzionale: Matelica Nord – Matelica Sud/Castelraimondo Nord

Opere d'arte minori: Opere di sostegno e dreni

Muri di controripa in dx in c.a. da 4+680.00 a 4+844.40

Relazione tecnica e di calcolo

Opera L073	Tratto 212	Settore E	CEE 17	WBS OS1100	Id.doc. REL	N. prog. 01	Rev. A	Pag. di Pag. 118 di 195
---------------	---------------	--------------	-----------	---------------	----------------	----------------	-----------	-------------------------------

c Coesione espressa in [kPa]  
 c<sub>a</sub> Adesione terra-muro espressa in [kPa]

Descrizione	$\gamma$	$\gamma_s$	$\phi$	$\delta$	c	c <sub>a</sub>
Rilevato	20,00	20,00	35.00	23.33	0,0	0,0
Ala	19,00	20,00	25.00	16.67	2,0	0,0
Salt	20,00	20,00	27.00	18.00	20,0	0,0
Ap/Pa	23,00	23,00	31.00	20.67	120,0	0,0

Parametri medi

Descrizione	$\gamma$	$\gamma_s$	$\phi$	$\delta$	c	c <sub>a</sub>
Rilevato	20,00	20,00	35.00	23.33	0,0	0,0
Ala	19,00	20,00	25.00	16.67	2,0	0,0
Salt	20,00	20,00	27.00	18.00	20,0	0,0
Ap/Pa	23,00	23,00	31.00	20.67	120,0	0,0

Parametri minimi

Descrizione	$\gamma$	$\gamma_s$	$\phi$	$\delta$	c	c <sub>a</sub>
Rilevato	20,00	20,00	30.00	20.00	0,0	0,0
Ala	19,00	20,00	25.00	16.67	2,0	0,0
Salt	20,00	20,00	27.00	18.00	20,0	0,0
Ap/Pa	23,00	23,00	31.00	20.67	120,0	0,0



## 2.1.2 PEDEMONTANA DELLE MARCHE

Secondo stralcio funzionale: Matelica Nord – Matelica Sud/Castelraimondo Nord

Opere d'arte minori: Opere di sostegno e dreni

Muri di controripa in dx in c.a. da 4+680.00 a 4+844.40

Relazione tecnica e di calcolo

Opera L073	Tratto 212	Settore E	CEE 17	WBS OS1100	Id.doc. REL	N. prog. 01	Rev. A	Pag. di Pag. 119 di 195
---------------	---------------	--------------	-----------	---------------	----------------	----------------	-----------	-------------------------------

### Condizioni di carico

#### Simbologia e convenzioni di segno adottate

Carichi verticali positivi verso il basso.

Carichi orizzontali positivi verso sinistra.

Momento positivo senso antiorario.

$X$	Ascissa del punto di applicazione del carico concentrato espressa in [m]
$F_x$	Componente orizzontale del carico concentrato espressa in [kN]
$F_y$	Componente verticale del carico concentrato espressa in [kN]
$M$	Momento espresso in [kNm]
$X_i$	Ascissa del punto iniziale del carico ripartito espressa in [m]
$X_f$	Ascissa del punto finale del carico ripartito espressa in [m]
$Q_i$	Intensità del carico per $x=X_i$ espressa in [kN/m]
$Q_f$	Intensità del carico per $x=X_f$ espressa in [kN/m]
$D/C$	Tipo carico : D=distribuito C=concentrato

#### Condizione n° 1 (SOVRACCARICO STRADALE)

D	Profilo	$X_i=9,65$	$X_f=17,45$	$Q_i=60,0000$	$Q_f=20,0000$
---	---------	------------	-------------	---------------	---------------

## 2.1.2 PEDEMONTANA DELLE MARCHE

Secondo stralcio funzionale: Matelica Nord – Matelica Sud/Castelraimondo Nord

Opere d'arte minori: Opere di sostegno e dreni

Muri di controripa in dx in c.a. da 4+680.00 a 4+844.40

Relazione tecnica e di calcolo

Opera L073	Tratto 212	Settore E	CEE 17	WBS OS1100	Id.doc. REL	N. prog. 01	Rev. A	Pag. di Pag. 120 di 195
---------------	---------------	--------------	-----------	---------------	----------------	----------------	-----------	-------------------------------

### Descrizione combinazioni di carico

#### Simbologia adottata

F/S	Effetto dell'azione (FAV: Favorevole, SFAV: Sfavorevole)
$\gamma$	Coefficiente di partecipazione della condizione
$\Psi$	Coefficiente di combinazione della condizione

#### Combinazione n° 1 - Caso A1-M1 (STR)

	S/F	$\gamma$	$\Psi$	$\gamma * \Psi$
Peso proprio muro	FAV	1,00	1,00	1,00
Peso proprio terrapieno	FAV	1,00	1,00	1,00
Spinta terreno	SFAV	1,30	1,00	1,30

#### Combinazione n° 2 - Caso A1-M1 (STR)

	S/F	$\gamma$	$\Psi$	$\gamma * \Psi$
Peso proprio muro	FAV	1,00	1,00	1,00
Peso proprio terrapieno	FAV	1,00	1,00	1,00
Spinta terreno	SFAV	1,30	1,00	1,30
SOVRACCARICO STRADALE	SFAV	1,50	1,00	1,50

#### Combinazione n° 3 - Caso A1-M1 (STR) - Sisma Vert. positivo

	S/F	$\gamma$	$\Psi$	$\gamma * \Psi$
Peso proprio muro	SFAV	1,00	1,00	1,00
Peso proprio terrapieno	SFAV	1,00	1,00	1,00
Spinta terreno	SFAV	1,00	1,00	1,00

#### Combinazione n° 4 - Caso A1-M1 (STR) - Sisma Vert. negativo

	S/F	$\gamma$	$\Psi$	$\gamma * \Psi$
Peso proprio muro	SFAV	1,00	1,00	1,00
Peso proprio terrapieno	SFAV	1,00	1,00	1,00
Spinta terreno	SFAV	1,00	1,00	1,00

#### Combinazione n° 5 - Caso A1-M1 (STR) - Sisma Vert. positivo

	S/F	$\gamma$	$\Psi$	$\gamma * \Psi$
Peso proprio muro	FAV	1,00	1,00	1,00
Peso proprio terrapieno	FAV	1,00	1,00	1,00
Spinta terreno	SFAV	1,00	1,00	1,00

#### Combinazione n° 6 - Quasi Permanente (SLE)

	S/F	$\gamma$	$\Psi$	$\gamma * \Psi$
Peso proprio muro	--	1,00	1,00	1,00
Peso proprio terrapieno	--	1,00	1,00	1,00
Spinta terreno	--	1,00	1,00	1,00

#### Combinazione n° 7 - Frequente (SLE)

	S/F	$\gamma$	$\Psi$	$\gamma * \Psi$
Peso proprio muro	--	1,00	1,00	1,00
Peso proprio terrapieno	--	1,00	1,00	1,00
Spinta terreno	--	1,00	1,00	1,00
SOVRACCARICO STRADALE	SFAV	1,00	0,75	0,75

#### Combinazione n° 8 - Rara (SLE)

	S/F	$\gamma$	$\Psi$	$\gamma * \Psi$
Peso proprio muro	--	1,00	1,00	1,00
Peso proprio terrapieno	--	1,00	1,00	1,00
Spinta terreno	--	1,00	1,00	1,00
SOVRACCARICO STRADALE	SFAV	1,00	1,00	1,00



## 2.1.2 PEDEMONTANA DELLE MARCHE

Secondo stralcio funzionale: Matelica Nord – Matelica Sud/Castelraimondo Nord

Opere d'arte minori: Opere di sostegno e dreni

Muri di controripa in dx in c.a. da 4+680.00 a 4+844.40

Relazione tecnica e di calcolo

Opera L073	Tratto 212	Settore E	CEE 17	WBS OS1100	Id.doc. REL	N. prog. 01	Rev. A	Pag. di Pag. 121 di 195
---------------	---------------	--------------	-----------	---------------	----------------	----------------	-----------	-------------------------------

### Impostazioni analisi pali

<u>Numero elementi palo</u>	40
<u>Tipo carico palo</u>	Distribuito
<u>Calcolo della portanza</u>	metodo di Vesic
<u>Costante di Winkler</u>	da Strato

Criterio di rottura del sistema terreno-palo

Spostamento limite pari a 0,0150 m

Pressione limite passiva con moltiplicatore pari a 1,00

Andamento pressione verticale

Geostatica

### Impostazioni di analisi

Metodo verifica sezioni

**Stato limite**

***Impostazioni verifiche SLU***

Coefficienti parziali per resistenze di calcolo dei materiali

Coefficiente di sicurezza calcestruzzo a compressione	1.50
Coefficiente di sicurezza calcestruzzo a trazione	1.50
Coefficiente di sicurezza acciaio	1.15
Fattore riduzione da resistenza cubica a cilindrica	0.83
Fattore di riduzione per carichi di lungo periodo	0.85
Coefficiente di sicurezza per la sezione	1.00

***Impostazioni verifiche SLE***

Condizioni ambientali

Aggressive

Armatura ad aderenza migliorata

Verifica fessurazione

Sensibilità delle armature

Poco sensibile

Valori limite delle aperture delle fessure

$w_1 = 0.20$

$w_2 = 0.30$

$w_3 = 0.40$

Metodo di calcolo aperture delle fessure

Circ. Min. 252 (15/10/1996)

Verifica delle tensioni

Combinazione di carico

Rara  $\sigma_c < 0.60 f_{ck}$  -  $\sigma_f < 0.80 f_{yk}$

Quasi permanente  $\sigma_c < 0.45 f_{ck}$

***Impostazioni avanzate***

Terreno a monte a elevata permeabilità

## 2.1.2 PEDEMONTANA DELLE MARCHE

Secondo stralcio funzionale: Matelica Nord – Matelica Sud/Castelraimondo Nord

Opere d'arte minori: Opere di sostegno e dreni

Muri di controripa in dx in c.a. da 4+680.00 a 4+844.40

Relazione tecnica e di calcolo

Opera L073	Tratto 212	Settore E	CEE 17	WBS OS1100	Id.doc. REL	N. prog. 01	Rev. A	Pag. di Pag. 122 di 195
---------------	---------------	--------------	-----------	---------------	----------------	----------------	-----------	-------------------------------

### Quadro riassuntivo coeff. di sicurezza calcolati

#### Simbologia adottata

<i>C</i>	Identificativo della combinazione
<i>Tipo</i>	Tipo combinazione
<i>Sisma</i>	Combinazione sismica
<i>CS<sub>SCO</sub></i>	Coeff. di sicurezza allo scorrimento
<i>CS<sub>RIB</sub></i>	Coeff. di sicurezza al ribaltamento
<i>CS<sub>QLIM</sub></i>	Coeff. di sicurezza a carico limite
<i>CS<sub>STAB</sub></i>	Coeff. di sicurezza a stabilità globale

<b>C</b>	<b>Tipo</b>	<b>Sisma</b>	<b>CS<sub>SCO</sub></b>	<b>CS<sub>RIB</sub></b>	<b>CS<sub>QLIM</sub></b>	<b>CS<sub>STAB</sub></b>
1	A1-M1 - [1]	--	--	--	--	--
2	A1-M1 - [2]	--	--	--	--	--
3	A1-M1 - [3]	Orizzontale + Verticale positivo	--	--	--	--
4	A1-M1 - [3]	Orizzontale + Verticale negativo	--	--	--	--
5	A1-M1 - [4]	Orizzontale + Verticale positivo	--	--	--	--
6	SLEQ - [1]	--	--	--	--	--
7	SLEF - [1]	--	--	--	--	--
8	SLER - [1]	--	--	--	--	--

## 2.1.2 PEDEMONTANA DELLE MARCHE

**Secondo stralcio funzionale: Matelica Nord – Matelica Sud/Castelraimondo Nord**

Opere d'arte minori: Opere di sostegno e dreni

Muri di controripa in dx in c.a. da 4+680.00 a 4+844.40

Relazione tecnica e di calcolo

Opera L073	Tratto 212	Settore E	CEE 17	WBS OS1100	Id.doc. REL	N. prog. 01	Rev. A	Pag. di Pag. 123 di 195
---------------	---------------	--------------	-----------	---------------	----------------	----------------	-----------	-------------------------------

### Analisi della spinta e verifiche

Sistema di riferimento adottato per le coordinate :

Origine in testa al muro (spigolo di monte)

Ascisse X (espresse in [m]) positive verso monte

Ordinate Y (espresse in [m]) positive verso l'alto

Le forze orizzontali sono considerate positive se agenti da monte verso valle

Le forze verticali sono considerate positive se agenti dall'alto verso il basso

Calcolo riferito ad 1 metro di muro

#### Tipo di analisi

Calcolo della spinta

metodo di Culmann

Calcolo della stabilità globale

metodo di Bishop

Calcolo della spinta in condizioni di

Spinta a riposo

#### Sisma

##### **Combinazioni SLU**

Accelerazione al suolo  $a_g$

2.06 [m/s<sup>2</sup>]

Coefficiente di amplificazione per tipo di sottosuolo (S)

1.19

Coefficiente di amplificazione topografica (St)

1.00

Coefficiente riduzione ( $\beta_m$ )

1.00

Rapporto intensità sismica verticale/orizzontale

0.50

Coefficiente di intensità sismica orizzontale (percento)

$k_h = (a_g/g * \beta_m * St * S) = 24.51$

Coefficiente di intensità sismica verticale (percento)

$k_v = 0.50 * k_h = 12.25$

Forma diagramma incremento sismico

Rettangolare

Partecipazione spinta passiva (percento)

0,0

Lunghezza del muro

7,20 [m]

Peso muro

192,6981 [kN]

Baricentro del muro

X=-0,15 Y=-3,96

#### Superficie di spinta

Punto inferiore superficie di spinta

X = 2,30 Y = -5,50

Punto superiore superficie di spinta

X = 2,30 Y = 0,79

Altezza della superficie di spinta

6,29 [m]

Inclinazione superficie di spinta (rispetto alla verticale)

0,00 [°]

#### COMBINAZIONE n° 1

##### **Peso muro favorevole e Peso terrapieno favorevole**

Valore della spinta statica

255,5081 [kN]

Componente orizzontale della spinta statica

234,6117 [kN]

Componente verticale della spinta statica

101,2016 [kN]

Punto d'applicazione della spinta

X = 2,30 [m] Y = -3,02 [m]

Inclinaz. della spinta rispetto alla normale alla superficie

23,33 [°]

Inclinazione linea di rottura in condizioni statiche

54,19 [°]

Punto d'applicazione della spinta della falda

X = 2,30 [m] Y = -5,50 [m]

Peso terrapieno gravante sulla fondazione a monte

225,1466 [kN]

Baricentro terrapieno gravante sulla fondazione a monte

X = 1,18 [m] Y = -2,05 [m]

#### Risultanti

Risultante dei carichi applicati in dir. orizzontale

234,6117 [kN]

Risultante dei carichi applicati in dir. verticale

519,0462 [kN]



## 2.1.2 PEDEMONTANA DELLE MARCHE

Secondo stralcio funzionale: Matelica Nord – Matelica Sud/Castelraimondo Nord

Opere d'arte minori: Opere di sostegno e dreni

Muri di controripa in dx in c.a. da 4+680.00 a 4+844.40

Relazione tecnica e di calcolo

Opera L073	Tratto 212	Settore E	CEE 17	WBS OS1100	Id.doc. REL	N. prog. 01	Rev. A	Pag. di Pag. 124 di 195
---------------	---------------	--------------	-----------	---------------	----------------	----------------	-----------	-------------------------------

Sforzo normale sul piano di posa della fondazione	519,0462	[kN]
Sforzo tangenziale sul piano di posa della fondazione	234,6117	[kN]
Eccentricità rispetto al baricentro della fondazione	0,22	[m]
Lunghezza fondazione reagente	4,60	[m]
Risultante in fondazione	569,6066	[kN]
Inclinazione della risultante (rispetto alla normale)	24,32	[°]
Momento rispetto al baricentro della fondazione	113,1162	[kNm]

## 2.1.2 PEDEMONTANA DELLE MARCHE

**Secondo stralcio funzionale: Matelica Nord – Matelica Sud/Castelraimondo Nord**

Opere d'arte minori: Opere di sostegno e dreni

Muri di controripa in dx in c.a. da 4+680.00 a 4+844.40

Relazione tecnica e di calcolo

Opera L073	Tratto 212	Settore E	CEE 17	WBS OS1100	Id.doc. REL	N. prog. 01	Rev. A	Pag. di Pag. 125 di 195
---------------	---------------	--------------	-----------	---------------	----------------	----------------	-----------	-------------------------------

### Sollecitazioni paramento

#### Combinazione n° 1

L'ordinata Y (espressa in m) è considerata positiva verso il basso con origine in testa al muro

Momento positivo se tende le fibre contro terra (a monte), espresso in kNm

Sforzo normale positivo di compressione, espresso in kN

Taglio positivo se diretto da monte verso valle, espresso in kN

Nr.	Y	N	M	T
1	0,00	0,0000	0,0000	0,0000
2	0,23	2,8199	0,3414	3,2405
3	0,45	5,7633	1,4236	6,8727
4	0,68	8,8301	3,3325	10,8887
5	0,90	12,0205	6,1527	15,2866
6	1,13	15,3343	9,9688	20,0664
7	1,35	18,7716	14,8652	25,2281
8	1,57	22,3323	20,9265	30,7717
9	1,80	26,0166	28,2372	36,6971
10	2,02	29,8243	36,8818	43,0045
11	2,25	33,7555	46,9450	49,6937
12	2,48	37,8101	58,5112	56,7649
13	2,70	41,9883	71,6649	64,2179
14	2,93	46,2899	86,4907	72,0529
15	3,15	50,7150	103,0731	80,2697
16	3,38	55,2636	121,4966	88,8684
17	3,60	59,9356	141,8458	97,8490
18	3,83	64,7312	164,2052	107,2116
19	4,05	69,6502	188,6593	116,9560
20	4,28	74,6927	215,2927	127,0823
21	4,50	79,8586	244,1862	137,5293

## 2.1.2 PEDEMONTANA DELLE MARCHE

Secondo stralcio funzionale: Matelica Nord – Matelica Sud/Castelraimondo Nord

Opere d'arte minori: Opere di sostegno e dreni

Muri di controripa in dx in c.a. da 4+680.00 a 4+844.40

Relazione tecnica e di calcolo

Opera L073	Tratto 212	Settore E	CEE 17	WBS OS1100	Id.doc. REL	N. prog. 01	Rev. A	Pag. di Pag. 126 di 195
---------------	---------------	--------------	-----------	---------------	----------------	----------------	-----------	-------------------------------

### Inviluppo sollecitazioni piastra di fondazione

#### Combinazione n° 1

Dimensioni della piastra

Larghezza(m) = 7.20 Altezza(m) = 4.60

Origine all'attacco con il muro all'estremità sinistra del muro

Ascissa X positiva verso destra

Ordinata Y positiva dall'attacco con il muro verso l'estremo libero

I momenti negativi tendono le fibre superiori

#### Sollecitazioni in direzione Y

Nr.	Y	M <sub>ymin</sub>	M <sub>ymax</sub>	T <sub>ymin</sub>	T <sub>ymax</sub>
1	0,00	-0,2063	0,2311	-4,9898	8,8450
2	0,17	-2,4889	3,8771	-40,5877	28,5527
3	0,33	-4,4736	8,2933	-95,0260	57,4275
4	0,50	-21,5309	17,7612	-123,3435	85,5328
5	0,63	-30,9424	28,6899	0,0000	119,8643
6	0,77	-20,4518	42,2942	0,0000	191,6835
7	0,90	0,0000	57,1261	0,0000	351,6258
8	1,03	0,0000	76,8635	0,0000	513,0102
9	1,17	0,0000	131,9058	0,0000	704,9084
10	1,30	0,0000	256,2767	-48,0632	984,0450
11	1,35	0,0000	318,3585	-48,9443	982,8268
12	2,30	-344,6657	0,0000	-315,4168	0,0000
13	2,44	-300,5225	0,0000	-295,2445	0,0000
14	2,58	-260,7866	0,0000	-266,2548	0,0000
15	2,73	-224,6552	0,0000	-241,6284	0,0000
16	2,87	-191,7838	0,0000	-220,5175	0,0000
17	3,01	-161,9176	0,0000	-201,7915	0,0000
18	3,16	-135,2046	0,0000	-183,6386	0,0000
19	3,30	-113,4231	0,0000	-165,8026	0,0000
20	3,43	-95,6548	0,0000	-149,8284	0,0000
21	3,57	-78,4819	0,0000	-133,9739	0,0000
22	3,70	-62,4066	0,0000	-120,8788	0,0000
23	3,83	-47,5656	0,0000	-113,6247	0,0000
24	3,97	-33,8716	0,0000	-106,7463	0,0000
25	4,10	-20,8920	0,0000	-101,3034	0,0000
26	4,27	-9,0903	0,0000	-66,0555	0,0000
27	4,43	-2,5344	0,0000	-32,6648	0,0000
28	4,60	0,0000	0,3856	-5,0061	0,0000

#### Sollecitazioni in direzione X

Nr.	X	M <sub>xmin</sub>	M <sub>xmax</sub>	T <sub>xmin</sub>	T <sub>xmax</sub>
1	0,00	-0,8296	2,3100	-10,5373	159,6984
2	0,40	-2,0682	13,2613	-123,0306	247,7248
3	0,80	-27,4696	8,6132	-230,9075	246,9365
4	1,20	-51,6949	1,0789	-179,3556	175,2375
5	1,60	-23,4167	9,3543	-263,3437	252,5157
6	1,92	-2,1899	22,4145	-264,2229	158,1479
7	2,24	0,0000	30,4853	-98,0375	56,8624
8	2,56	0,0000	30,5293	-55,5724	95,0030
9	2,88	-2,1827	22,4051	-156,5941	260,8103
10	3,20	-23,1102	9,3262	-236,5458	259,9326
11	3,60	-50,2189	1,0758	-175,8887	175,8887
12	4,00	-23,1102	9,3262	-259,9326	236,5458
13	4,32	-2,1827	22,4051	-260,8103	156,5941
14	4,64	0,0000	30,5293	-95,0030	55,5724
15	4,96	0,0000	30,4853	-56,8624	98,0375
16	5,28	-2,1899	22,4145	-158,1479	264,2229

## 2.1.2 PEDEMONTANA DELLE MARCHE

**Secondo stralcio funzionale: Matelica Nord – Matelica Sud/Castelraimondo Nord**

Opere d'arte minori: Opere di sostegno e dreni

Muri di controripa in dx in c.a. da 4+680.00 a 4+844.40

Relazione tecnica e di calcolo

Opera	Tratto	Settore	CEE	WBS	Id.doc.	N. prog.	Rev.	Pag. di Pag.
L073	212	E	17	OS1100	REL	01	A	127 di 195

17	5,60	-23,4167	9,3543	-252,5157	263,3437
18	6,00	-51,6949	1,0789	-175,2375	179,3556
19	6,40	-27,4696	8,6132	-246,9365	230,9075
20	6,80	-2,0682	13,2613	-247,7248	123,0306
21	7,20	-0,8296	2,3100	-159,6984	10,5373

### COMBINAZIONE n° 2

#### **Peso muro favorevole e Peso terrapieno favorevole**

Valore della spinta statica	255,5081	[kN]		
Componente orizzontale della spinta statica	234,6117	[kN]		
Componente verticale della spinta statica	101,2016	[kN]		
Punto d'applicazione della spinta	X = 2,30	[m]	Y = -3,02	[m]
Inclinaz. della spinta rispetto alla normale alla superficie	23,33	[°]		
Inclinazione linea di rottura in condizioni statiche	54,19	[°]		
Punto d'applicazione della spinta della falda	X = 2,30	[m]	Y = -5,50	[m]
Peso terrapieno gravante sulla fondazione a monte	225,1466	[kN]		
Baricentro terrapieno gravante sulla fondazione a monte	X = 1,18	[m]	Y = -2,05	[m]

#### Risultanti

Risultante dei carichi applicati in dir. orizzontale	234,6117	[kN]
Risultante dei carichi applicati in dir. verticale	519,0462	[kN]
Sforzo normale sul piano di posa della fondazione	519,0462	[kN]
Sforzo tangenziale sul piano di posa della fondazione	234,6117	[kN]
Eccentricità rispetto al baricentro della fondazione	0,22	[m]
Lunghezza fondazione reagente	4,60	[m]
Risultante in fondazione	569,6066	[kN]
Inclinazione della risultante (rispetto alla normale)	24,32	[°]
Momento rispetto al baricentro della fondazione	113,1162	[kNm]



## 2.1.2 PEDEMONTANA DELLE MARCHE

**Secondo stralcio funzionale: Matelica Nord – Matelica Sud/Castelraimondo Nord**

Opere d'arte minori: Opere di sostegno e dreni

Muri di controripa in dx in c.a. da 4+680.00 a 4+844.40

Relazione tecnica e di calcolo

Opera L073	Tratto 212	Settore E	CEE 17	WBS OS1100	Id.doc. REL	N. prog. 01	Rev. A	Pag. di Pag. 128 di 195
---------------	---------------	--------------	-----------	---------------	----------------	----------------	-----------	-------------------------------

### Sollecitazioni paramento

#### Combinazione n° 2

L'ordinata Y (espressa in m) è considerata positiva verso il basso con origine in testa al muro

Momento positivo se tende le fibre contro terra (a monte), espresso in kNm

Sforzo normale positivo di compressione, espresso in kN

Taglio positivo se diretto da monte verso valle, espresso in kN

Nr.	Y	N	M	T
1	0,00	0,0000	0,0000	0,0000
2	0,23	2,8199	0,3414	3,2405
3	0,45	5,7633	1,4236	6,8727
4	0,68	8,8301	3,3325	10,8887
5	0,90	12,0205	6,1527	15,2866
6	1,13	15,3343	9,9688	20,0664
7	1,35	18,7716	14,8652	25,2281
8	1,57	22,3323	20,9265	30,7717
9	1,80	26,0166	28,2372	36,6971
10	2,02	29,8243	36,8818	43,0045
11	2,25	33,7555	46,9450	49,6937
12	2,48	37,8101	58,5112	56,7649
13	2,70	41,9883	71,6649	64,2179
14	2,93	46,2899	86,4907	72,0529
15	3,15	50,7150	103,0731	80,2697
16	3,38	55,2636	121,4966	88,8684
17	3,60	59,9356	141,8458	97,8490
18	3,83	64,7312	164,2052	107,2116
19	4,05	69,6502	188,6593	116,9560
20	4,28	74,6927	215,2927	127,0823
21	4,50	79,8586	244,1862	137,5293



## 2.1.2 PEDEMONTANA DELLE MARCHE

Secondo stralcio funzionale: Matelica Nord – Matelica Sud/Castelraimondo Nord

Opere d'arte minori: Opere di sostegno e dreni

Muri di controripa in dx in c.a. da 4+680.00 a 4+844.40

Relazione tecnica e di calcolo

Opera L073	Tratto 212	Settore E	CEE 17	WBS OS1100	Id.doc. REL	N. prog. 01	Rev. A	Pag. di Pag. 129 di 195
---------------	---------------	--------------	-----------	---------------	----------------	----------------	-----------	-------------------------------

### Inviluppo sollecitazioni piastra di fondazione

#### Combinazione n° 2

Dimensioni della piastra

Larghezza(m) = 7.20 Altezza(m) = 4.60

Origine all'attacco con il muro all'estremità sinistra del muro

Ascissa X positiva verso destra

Ordinata Y positiva dall'attacco con il muro verso l'estremo libero

I momenti negativi tendono le fibre superiori

#### Sollecitazioni in direzione Y

Nr.	Y	M <sub>ymin</sub>	M <sub>ymax</sub>	T <sub>ymin</sub>	T <sub>ymax</sub>
1	0,00	-0,2063	0,2311	-4,9898	8,8450
2	0,17	-2,4889	3,8771	-40,5877	28,5527
3	0,33	-4,4736	8,2933	-95,0260	57,4275
4	0,50	-21,5309	17,7612	-123,3435	85,5328
5	0,63	-30,9424	28,6899	0,0000	119,8643
6	0,77	-20,4518	42,2942	0,0000	191,6835
7	0,90	0,0000	57,1261	0,0000	351,6258
8	1,03	0,0000	76,8635	0,0000	513,0102
9	1,17	0,0000	131,9058	0,0000	704,9084
10	1,30	0,0000	256,2767	-48,0632	984,0450
11	1,35	0,0000	318,3585	-48,9443	982,8268
12	2,30	-344,6657	0,0000	-315,4168	0,0000
13	2,44	-300,5225	0,0000	-295,2445	0,0000
14	2,58	-260,7866	0,0000	-266,2548	0,0000
15	2,73	-224,6552	0,0000	-241,6284	0,0000
16	2,87	-191,7838	0,0000	-220,5175	0,0000
17	3,01	-161,9176	0,0000	-201,7915	0,0000
18	3,16	-135,2046	0,0000	-183,6386	0,0000
19	3,30	-113,4231	0,0000	-165,8026	0,0000
20	3,43	-95,6548	0,0000	-149,8284	0,0000
21	3,57	-78,4819	0,0000	-133,9739	0,0000
22	3,70	-62,4066	0,0000	-120,8788	0,0000
23	3,83	-47,5656	0,0000	-113,6247	0,0000
24	3,97	-33,8716	0,0000	-106,7463	0,0000
25	4,10	-20,8920	0,0000	-101,3034	0,0000
26	4,27	-9,0903	0,0000	-66,0555	0,0000
27	4,43	-2,5344	0,0000	-32,6648	0,0000
28	4,60	0,0000	0,3856	-5,0061	0,0000

#### Sollecitazioni in direzione X

Nr.	X	M <sub>xmin</sub>	M <sub>xmax</sub>	T <sub>xmin</sub>	T <sub>xmax</sub>
1	0,00	-0,8296	2,3100	-10,5373	159,6984
2	0,40	-2,0682	13,2613	-123,0306	247,7248
3	0,80	-27,4696	8,6132	-230,9075	246,9365
4	1,20	-51,6949	1,0789	-179,3556	175,2375
5	1,60	-23,4167	9,3543	-263,3437	252,5157
6	1,92	-2,1899	22,4145	-264,2229	158,1479
7	2,24	0,0000	30,4853	-98,0375	56,8624
8	2,56	0,0000	30,5293	-55,5724	95,0030
9	2,88	-2,1827	22,4051	-156,5941	260,8103
10	3,20	-23,1102	9,3262	-236,5458	259,9326
11	3,60	-50,2189	1,0758	-175,8887	175,8887
12	4,00	-23,1102	9,3262	-259,9326	236,5458
13	4,32	-2,1827	22,4051	-260,8103	156,5941
14	4,64	0,0000	30,5293	-95,0030	55,5724
15	4,96	0,0000	30,4853	-56,8624	98,0375
16	5,28	-2,1899	22,4145	-158,1479	264,2229

## 2.1.2 PEDEMONTANA DELLE MARCHE

Secondo stralcio funzionale: Matelica Nord – Matelica Sud/Castelraimondo Nord

Opere d'arte minori: Opere di sostegno e dreni

Muri di controripa in dx in c.a. da 4+680.00 a 4+844.40

Relazione tecnica e di calcolo

Opera	Tratto	Settore	CEE	WBS	Id.doc.	N. prog.	Rev.	Pag. di Pag.
L073	212	E	17	OS1100	REL	01	A	130 di 195

17	5,60	-23,4167	9,3543	-252,5157	263,3437
18	6,00	-51,6949	1,0789	-175,2375	179,3556
19	6,40	-27,4696	8,6132	-246,9365	230,9075
20	6,80	-2,0682	13,2613	-247,7248	123,0306
21	7,20	-0,8296	2,3100	-159,6984	10,5373

### COMBINAZIONE n° 3

Valore della spinta statica	196,5447	[kN]		
Componente orizzontale della spinta statica	180,4705	[kN]		
Componente verticale della spinta statica	77,8474	[kN]		
Punto d'applicazione della spinta	X = 2,30	[m]	Y = -3,02	[m]
Inclinaz. della spinta rispetto alla normale alla superficie	23,33	[°]		
Inclinazione linea di rottura in condizioni statiche	54,19	[°]		
Incremento sismico della spinta	211,9216	[kN]		
Punto d'applicazione dell'incremento sismico di spinta	X = 2,30	[m]	Y = -2,36	[m]
Inclinazione linea di rottura in condizioni sismiche	43,32	[°]		
Punto d'applicazione della spinta della falda	X = 2,30	[m]	Y = -5,50	[m]
Peso terrapieno gravante sulla fondazione a monte	225,1466	[kN]		
Baricentro terrapieno gravante sulla fondazione a monte	X = 1,18	[m]	Y = -2,05	[m]
Inerzia del muro	47,2951	[kN]		
Inerzia verticale del muro	23,6476	[kN]		
Inerzia del terrapieno fondazione di monte	55,2592	[kN]		
Inerzia verticale del terrapieno fondazione di monte	27,6296	[kN]		
<b><u>Risultanti</u></b>				
Risultante dei carichi applicati in dir. orizzontale	477,6146	[kN]		
Risultante dei carichi applicati in dir. verticale	630,9070	[kN]		
Sforzo normale sul piano di posa della fondazione	630,9070	[kN]		
Sforzo tangenziale sul piano di posa della fondazione	477,6146	[kN]		
Eccentricità rispetto al baricentro della fondazione	1,09	[m]		
Lunghezza fondazione reagente	3,64	[m]		
Risultante in fondazione	791,3024	[kN]		
Inclinazione della risultante (rispetto alla normale)	37,13	[°]		
Momento rispetto al baricentro della fondazione	686,3311	[kNm]		



## 2.1.2 PEDEMONTANA DELLE MARCHE

Secondo stralcio funzionale: Matelica Nord – Matelica Sud/Castelraimondo Nord

Opere d'arte minori: Opere di sostegno e dreni

Muri di controripa in dx in c.a. da 4+680.00 a 4+844.40

Relazione tecnica e di calcolo

Opera L073	Tratto 212	Settore E	CEE 17	WBS OS1100	Id.doc. REL	N. prog. 01	Rev. A	Pag. di Pag. 131 di 195
---------------	---------------	--------------	-----------	---------------	----------------	----------------	-----------	-------------------------------

### Sollecitazioni paramento

#### Combinazione n° 3

L'ordinata Y (espressa in m) è considerata positiva verso il basso con origine in testa al muro

Momento positivo se tende le fibre contro terra (a monte), espresso in kNm

Sforzo normale positivo di compressione, espresso in kN

Taglio positivo se diretto da monte verso valle, espresso in kN

Nr.	Y	N	M	T
1	0,00	0,0000	0,0000	0,0000
2	0,23	2,8199	1,1225	10,1731
3	0,45	5,7633	4,5388	20,6777
4	0,68	8,8301	10,3215	31,5079
5	0,90	12,0205	18,5422	42,6622
6	1,13	15,3343	29,2724	54,1405
7	1,35	18,7716	42,5836	65,9429
8	1,57	22,3323	58,5474	78,0694
9	1,80	26,0166	77,2352	90,5199
10	2,02	29,8243	98,7187	103,2945
11	2,25	33,7555	123,0692	116,3932
12	2,48	37,8101	150,3584	129,8160
13	2,70	41,9883	180,6578	143,5628
14	2,93	46,2899	214,0388	157,6337
15	3,15	50,7150	250,5730	172,0287
16	3,38	55,2636	290,3319	186,7477
17	3,60	59,9356	333,3871	201,7908
18	3,83	64,7312	379,8100	217,1580
19	4,05	69,6502	429,6721	232,8492
20	4,28	74,6927	483,0451	248,8645
21	4,50	79,8586	539,9976	265,1569

## 2.1.2 PEDEMONTANA DELLE MARCHE

Secondo stralcio funzionale: Matelica Nord – Matelica Sud/Castelraimondo Nord

Opere d'arte minori: Opere di sostegno e dreni

Muri di controripa in dx in c.a. da 4+680.00 a 4+844.40

Relazione tecnica e di calcolo

Opera L073	Tratto 212	Settore E	CEE 17	WBS OS1100	Id.doc. REL	N. prog. 01	Rev. A	Pag. di Pag. 132 di 195
---------------	---------------	--------------	-----------	---------------	----------------	----------------	-----------	-------------------------------

### Inviluppo sollecitazioni piastra di fondazione

#### Combinazione n° 3

Dimensioni della piastra

Larghezza(m) = 7.20 Altezza(m) = 4.60

Origine all'attacco con il muro all'estremità sinistra del muro

Ascissa X positiva verso destra

Ordinata Y positiva dall'attacco con il muro verso l'estremo libero

I momenti negativi tendono le fibre superiori

#### Sollecitazioni in direzione Y

Nr.	Y	M <sub>ymin</sub>	M <sub>ymax</sub>	T <sub>ymin</sub>	T <sub>ymax</sub>
1	0,00	-0,4465	0,3903	-8,0770	17,5357
2	0,17	-4,4887	7,6458	-73,0626	58,4986
3	0,33	-7,3689	17,0484	-173,3492	117,1025
4	0,50	-38,3389	36,6653	-216,4609	174,2845
5	0,63	-54,6066	59,1804	0,0000	243,1344
6	0,77	-32,5244	87,1877	0,0000	385,3356
7	0,90	0,0000	117,9217	0,0000	691,3505
8	1,03	0,0000	158,3866	0,0000	1001,6578
9	1,17	0,0000	266,6443	0,0000	1370,3345
10	1,30	0,0000	507,5235	-63,1700	1905,7676
11	1,35	0,0000	627,4276	-63,9456	1904,5490
12	2,30	-714,9904	0,0000	-605,2842	0,0000
13	2,44	-629,4421	0,0000	-589,0716	0,0000
14	2,58	-552,0063	0,0000	-560,1307	0,0000
15	2,73	-479,0692	0,0000	-534,8688	0,0000
16	2,87	-409,3817	0,0000	-520,0127	0,0000
17	3,01	-341,8730	0,0000	-514,7626	0,0000
18	3,16	-275,1287	0,0000	-521,4383	0,0000
19	3,30	-219,4509	0,0000	-540,0114	0,0000
20	3,43	-173,8367	0,0000	-445,4029	0,0000
21	3,57	-133,2470	0,0000	-359,1711	0,0000
22	3,70	-98,0459	0,0000	-275,1806	0,0000
23	3,83	-68,5390	0,0000	-213,6905	0,0000
24	3,97	-44,5872	0,0000	-172,8693	0,0000
25	4,10	-26,0018	0,0000	-133,4791	11,0132
26	4,27	-11,0112	0,0000	-88,1458	6,0427
27	4,43	-6,1176	1,8126	-41,7655	0,0000
28	4,60	0,0000	0,4045	-10,0469	2,1829

#### Sollecitazioni in direzione X

Nr.	X	M <sub>xmin</sub>	M <sub>xmax</sub>	T <sub>xmin</sub>	T <sub>xmax</sub>
1	0,00	-1,8707	2,5871	-95,0314	305,3986
2	0,40	-3,9399	25,1647	-235,6286	471,9850
3	0,80	-52,4379	36,2569	-467,3061	471,2277
4	1,20	-98,6085	57,6960	-342,2983	334,2651
5	1,60	-44,7063	27,5000	-502,8190	506,9382
6	1,92	-17,8119	42,7637	-503,6640	302,8774
7	2,24	-30,4308	58,1533	-186,0757	109,8928
8	2,56	-31,2674	58,2365	-107,4259	180,2735
9	2,88	-20,1888	42,7447	-299,9325	497,1398
10	3,20	-44,1245	22,7135	-473,8738	496,2966
11	3,60	-95,7990	49,4185	-335,6824	335,6824
12	4,00	-44,1245	22,7135	-496,2966	473,8738
13	4,32	-20,1888	42,7447	-497,1398	299,9325
14	4,64	-31,2674	58,2365	-180,2735	107,4259
15	4,96	-30,4308	58,1533	-109,8928	186,0757
16	5,28	-17,8119	42,7637	-302,8774	503,6640

## 2.1.2 PEDEMONTANA DELLE MARCHE

Secondo stralcio funzionale: Matelica Nord – Matelica Sud/Castelraimondo Nord

Opere d'arte minori: Opere di sostegno e dreni

Muri di controripa in dx in c.a. da 4+680.00 a 4+844.40

Relazione tecnica e di calcolo

Opera	Tratto	Settore	CEE	WBS	Id.doc.	N. prog.	Rev.	Pag. di Pag.
L073	212	E	17	OS1100	REL	01	A	133 di 195

17	5,60	-44,7063	27,5000	-506,9382	502,8190
18	6,00	-98,6085	57,6960	-334,2651	342,2983
19	6,40	-52,4379	36,2569	-471,2277	467,3061
20	6,80	-3,9399	25,1647	-471,9850	235,6286
21	7,20	-1,8707	2,5871	-305,3986	95,0314

### COMBINAZIONE n° 4

Valore della spinta statica	196,5447	[kN]		
Componente orizzontale della spinta statica	180,4705	[kN]		
Componente verticale della spinta statica	77,8474	[kN]		
Punto d'applicazione della spinta	X = 2,30	[m]	Y = -3,02	[m]
Inclinaz. della spinta rispetto alla normale alla superficie	23,33	[°]		
Inclinazione linea di rottura in condizioni statiche	54,19	[°]		
Incremento sismico della spinta	181,0184	[kN]		
Punto d'applicazione dell'incremento sismico di spinta	X = 2,30	[m]	Y = -2,36	[m]
Inclinazione linea di rottura in condizioni sismiche	39,69	[°]		
Punto d'applicazione della spinta della falda	X = 2,30	[m]	Y = -5,50	[m]
Peso terrapieno gravante sulla fondazione a monte	225,1466	[kN]		
Baricentro terrapieno gravante sulla fondazione a monte	X = 1,18	[m]	Y = -2,05	[m]
Inerzia del muro	47,2951	[kN]		
Inerzia verticale del muro	-23,6476	[kN]		
Inerzia del terrapieno fondazione di monte	55,2592	[kN]		
Inerzia verticale del terrapieno fondazione di monte	-27,6296	[kN]		
<b><u>Risultanti</u></b>				
Risultante dei carichi applicati in dir. orizzontale	449,2388	[kN]		
Risultante dei carichi applicati in dir. verticale	516,1126	[kN]		
Sforzo normale sul piano di posa della fondazione	516,1126	[kN]		
Sforzo tangenziale sul piano di posa della fondazione	449,2388	[kN]		
Eccentricità rispetto al baricentro della fondazione	1,32	[m]		
Lunghezza fondazione reagente	2,93	[m]		
Risultante in fondazione	684,2424	[kN]		
Inclinazione della risultante (rispetto alla normale)	41,04	[°]		
Momento rispetto al baricentro della fondazione	683,1387	[kNm]		



## 2.1.2 PEDEMONTANA DELLE MARCHE

**Secondo stralcio funzionale: Matelica Nord – Matelica Sud/Castelraimondo Nord**

Opere d'arte minori: Opere di sostegno e dreni

Muri di controripa in dx in c.a. da 4+680.00 a 4+844.40

Relazione tecnica e di calcolo

Opera L073	Tratto 212	Settore E	CEE 17	WBS OS1100	Id.doc. REL	N. prog. 01	Rev. A	Pag. di Pag. 134 di 195
---------------	---------------	--------------	-----------	---------------	----------------	----------------	-----------	-------------------------------

### Sollecitazioni paramento

#### Combinazione n° 4

L'ordinata Y (espressa in m) è considerata positiva verso il basso con origine in testa al muro

Momento positivo se tende le fibre contro terra (a monte), espresso in kNm

Sforzo normale positivo di compressione, espresso in kN

Taglio positivo se diretto da monte verso valle, espresso in kN

Nr.	Y	N	M	T
1	0,00	0,0000	0,0000	0,0000
2	0,23	2,8199	1,0616	9,6318
3	0,45	5,7633	4,2952	19,5951
4	0,68	8,8301	9,7734	29,8840
5	0,90	12,0205	17,5678	40,4970
6	1,13	15,3343	27,7500	51,4341
7	1,35	18,7716	40,3914	62,6952
8	1,57	22,3323	55,5635	74,2803
9	1,80	26,0166	73,3380	86,1896
10	2,02	29,8243	93,7862	98,4229
11	2,25	33,7555	116,9797	110,9803
12	2,48	37,8101	142,9901	123,8618
13	2,70	41,9883	171,8889	137,0673
14	2,93	46,2899	203,7475	150,5969
15	3,15	50,7150	238,6375	164,4506
16	3,38	55,2636	276,6305	178,6283
17	3,60	59,9356	317,7979	193,1301
18	3,83	64,7312	362,2113	207,9560
19	4,05	69,6502	409,9421	223,1060
20	4,28	74,6927	461,0619	238,5800
21	4,50	79,8586	515,6395	254,3311

## 2.1.2 PEDEMONTANA DELLE MARCHE

Secondo stralcio funzionale: Matelica Nord – Matelica Sud/Castelraimondo Nord

Opere d'arte minori: Opere di sostegno e dreni

Muri di controripa in dx in c.a. da 4+680.00 a 4+844.40

Relazione tecnica e di calcolo

Opera L073	Tratto 212	Settore E	CEE 17	WBS OS1100	Id.doc. REL	N. prog. 01	Rev. A	Pag. di Pag. 135 di 195
---------------	---------------	--------------	-----------	---------------	----------------	----------------	-----------	-------------------------------

### Inviluppo sollecitazioni piastra di fondazione

#### Combinazione n° 4

Dimensioni della piastra

Larghezza(m) = 7.20 Altezza(m) = 4.60

Origine all'attacco con il muro all'estremità sinistra del muro

Ascissa X positiva verso destra

Ordinata Y positiva dall'attacco con il muro verso l'estremo libero

I momenti negativi tendono le fibre superiori

#### Sollecitazioni in direzione Y

Nr.	Y	M <sub>ymin</sub>	M <sub>ymax</sub>	T <sub>ymin</sub>	T <sub>ymax</sub>
1	0,00	-0,4017	0,3606	-7,5052	15,9192
2	0,17	-4,1155	6,9426	-67,0055	52,9132
3	0,33	-6,8286	15,4147	-158,7360	105,9686
4	0,50	-35,2026	33,1379	-199,1397	157,7242
5	0,63	-50,1909	53,4911	0,0000	220,1345
6	0,77	-30,2717	78,8108	0,0000	349,2140
7	0,90	0,0000	106,5775	0,0000	627,9614
8	1,03	0,0000	143,1747	0,0000	910,4790
9	1,17	0,0000	241,5027	0,0000	1246,1689
10	1,30	0,0000	460,6420	-60,3539	1733,7784
11	1,35	0,0000	569,7567	-61,1436	1732,5598
12	2,30	-768,6333	0,0000	-650,2599	0,0000
13	2,44	-676,6326	0,0000	-634,0622	0,0000
14	2,58	-593,5328	0,0000	-603,3769	0,0000
15	2,73	-515,2096	0,0000	-576,9846	0,0000
16	2,87	-440,2491	0,0000	-562,5184	0,0000
17	3,01	-367,4326	0,0000	-558,9326	0,0000
18	3,16	-295,1464	0,0000	-568,9842	0,0000
19	3,30	-235,0894	0,0000	-592,4661	0,0000
20	3,43	-185,9899	0,0000	-486,8560	0,0000
21	3,57	-142,3184	0,0000	-390,7907	0,0000
22	3,70	-104,4829	0,0000	-297,2079	0,0000
23	3,83	-72,8298	0,0000	-229,8538	0,0000
24	3,97	-47,1990	0,0000	-185,6795	0,0000
25	4,10	-27,3726	0,0000	-143,1410	16,2621
26	4,27	-11,5912	0,0000	-94,4479	15,9069
27	4,43	-6,7643	2,2739	-44,5605	0,0000
28	4,60	0,0000	0,4191	-10,9745	2,3333

#### Sollecitazioni in direzione X

Nr.	X	M <sub>xmin</sub>	M <sub>xmax</sub>	T <sub>xmin</sub>	T <sub>xmax</sub>
1	0,00	-1,6764	2,3865	-107,2783	278,2336
2	0,40	-3,8913	22,9436	-214,6235	430,1378
3	0,80	-47,7790	41,1921	-422,9718	429,3773
4	1,20	-89,8546	65,6629	-311,8941	304,5915
5	1,60	-40,7337	31,2665	-458,1354	459,2779
6	1,92	-20,2837	38,9666	-458,9839	275,8768
7	2,24	-34,6626	52,9906	-169,6353	100,0053
8	2,56	-35,6122	53,0665	-97,7581	164,3492
9	2,88	-22,9816	38,9494	-273,1916	453,0404
10	3,20	-40,2033	25,8344	-429,4275	452,1936
11	3,60	-87,2940	56,2734	-305,8658	305,8658
12	4,00	-40,2033	25,8344	-452,1936	429,4275
13	4,32	-22,9816	38,9494	-453,0404	273,1916
14	4,64	-35,6122	53,0665	-164,3492	97,7581
15	4,96	-34,6626	52,9906	-100,0053	169,6353
16	5,28	-20,2837	38,9666	-275,8768	458,9839

## 2.1.2 PEDEMONTANA DELLE MARCHE

Secondo stralcio funzionale: Matelica Nord – Matelica Sud/Castelraimondo Nord

Opere d'arte minori: Opere di sostegno e dreni

Muri di controripa in dx in c.a. da 4+680.00 a 4+844.40

Relazione tecnica e di calcolo

Opera	Tratto	Settore	CEE	WBS	Id.doc.	N. prog.	Rev.	Pag. di Pag.
L073	212	E	17	OS1100	REL	01	A	136 di 195

17	5,60	-40,7337	31,2665	-459,2779	458,1354
18	6,00	-89,8546	65,6629	-304,5915	311,8941
19	6,40	-47,7790	41,1921	-429,3773	422,9718
20	6,80	-3,8913	22,9436	-430,1378	214,6235
21	7,20	-1,6764	2,3865	-278,2336	107,2783

### COMBINAZIONE n° 5

#### Peso muro favorevole e Peso terrapieno favorevole

Valore della spinta statica	196,5447	[kN]		
Componente orizzontale della spinta statica	180,4705	[kN]		
Componente verticale della spinta statica	77,8474	[kN]		
Punto d'applicazione della spinta	X = 2,30	[m]	Y = -3,02	[m]
Inclinaz. della spinta rispetto alla normale alla superficie	23,33	[°]		
Inclinazione linea di rottura in condizioni statiche	54,19	[°]		
Incremento sismico della spinta	211,9216	[kN]		
Punto d'applicazione dell'incremento sismico di spinta	X = 2,30	[m]	Y = -2,36	[m]
Inclinazione linea di rottura in condizioni sismiche	43,32	[°]		
Punto d'applicazione della spinta della falda	X = 2,30	[m]	Y = -5,50	[m]
Peso terrapieno gravante sulla fondazione a monte	225,1466	[kN]		
Baricentro terrapieno gravante sulla fondazione a monte	X = 1,18	[m]	Y = -2,05	[m]
Inerzia del muro	47,2951	[kN]		
Inerzia verticale del muro	23,6476	[kN]		
Inerzia del terrapieno fondazione di monte	55,2592	[kN]		
Inerzia verticale del terrapieno fondazione di monte	27,6296	[kN]		
<b>Risultanti</b>				
Risultante dei carichi applicati in dir. orizzontale	477,6146	[kN]		
Risultante dei carichi applicati in dir. verticale	630,9070	[kN]		
Sforzo normale sul piano di posa della fondazione	630,9070	[kN]		
Sforzo tangenziale sul piano di posa della fondazione	477,6146	[kN]		
Eccentricità rispetto al baricentro della fondazione	1,09	[m]		
Lunghezza fondazione reagente	3,64	[m]		
Risultante in fondazione	791,3024	[kN]		
Inclinazione della risultante (rispetto alla normale)	37,13	[°]		
Momento rispetto al baricentro della fondazione	686,3311	[kNm]		



## 2.1.2 PEDEMONTANA DELLE MARCHE

**Secondo stralcio funzionale: Matelica Nord – Matelica Sud/Castelraimondo Nord**

Opere d'arte minori: Opere di sostegno e dreni

Muri di controripa in dx in c.a. da 4+680.00 a 4+844.40

Relazione tecnica e di calcolo

Opera L073	Tratto 212	Settore E	CEE 17	WBS OS1100	Id.doc. REL	N. prog. 01	Rev. A	Pag. di Pag. 137 di 195
---------------	---------------	--------------	-----------	---------------	----------------	----------------	-----------	-------------------------------

### Sollecitazioni paramento

#### Combinazione n° 5

L'ordinata Y (espressa in m) è considerata positiva verso il basso con origine in testa al muro

Momento positivo se tende le fibre contro terra (a monte), espresso in kNm

Sforzo normale positivo di compressione, espresso in kN

Taglio positivo se diretto da monte verso valle, espresso in kN

Nr.	Y	N	M	T
1	0,00	0,0000	0,0000	0,0000
2	0,23	2,8199	1,1225	10,1731
3	0,45	5,7633	4,5388	20,6777
4	0,68	8,8301	10,3215	31,5079
5	0,90	12,0205	18,5422	42,6622
6	1,13	15,3343	29,2724	54,1405
7	1,35	18,7716	42,5836	65,9429
8	1,57	22,3323	58,5474	78,0694
9	1,80	26,0166	77,2352	90,5199
10	2,02	29,8243	98,7187	103,2945
11	2,25	33,7555	123,0692	116,3932
12	2,48	37,8101	150,3584	129,8160
13	2,70	41,9883	180,6578	143,5628
14	2,93	46,2899	214,0388	157,6337
15	3,15	50,7150	250,5730	172,0287
16	3,38	55,2636	290,3319	186,7477
17	3,60	59,9356	333,3871	201,7908
18	3,83	64,7312	379,8100	217,1580
19	4,05	69,6502	429,6721	232,8492
20	4,28	74,6927	483,0451	248,8645
21	4,50	79,8586	539,9976	265,1569

## 2.1.2 PEDEMONTANA DELLE MARCHE

Secondo stralcio funzionale: Matelica Nord – Matelica Sud/Castelraimondo Nord

Opere d'arte minori: Opere di sostegno e dreni

Muri di controripa in dx in c.a. da 4+680.00 a 4+844.40

Relazione tecnica e di calcolo

Opera L073	Tratto 212	Settore E	CEE 17	WBS OS1100	Id.doc. REL	N. prog. 01	Rev. A	Pag. di Pag. 138 di 195
---------------	---------------	--------------	-----------	---------------	----------------	----------------	-----------	-------------------------------

### Inviluppo sollecitazioni piastra di fondazione

#### Combinazione n° 5

Dimensioni della piastra

Larghezza(m) = 7.20 Altezza(m) = 4.60

Origine all'attacco con il muro all'estremità sinistra del muro

Ascissa X positiva verso destra

Ordinata Y positiva dall'attacco con il muro verso l'estremo libero

I momenti negativi tendono le fibre superiori

#### Sollecitazioni in direzione Y

Nr.	Y	M <sub>ymin</sub>	M <sub>ymax</sub>	T <sub>ymin</sub>	T <sub>ymax</sub>
1	0,00	-0,4465	0,3903	-8,0770	17,5357
2	0,17	-4,4887	7,6458	-73,0626	58,4986
3	0,33	-7,3689	17,0484	-173,3492	117,1025
4	0,50	-38,3389	36,6653	-216,4609	174,2845
5	0,63	-54,6066	59,1804	0,0000	243,1344
6	0,77	-32,5244	87,1877	0,0000	385,3356
7	0,90	0,0000	117,9217	0,0000	691,3505
8	1,03	0,0000	158,3866	0,0000	1001,6578
9	1,17	0,0000	266,6443	0,0000	1370,3345
10	1,30	0,0000	507,5235	-63,1700	1905,7676
11	1,35	0,0000	627,4276	-63,9456	1904,5490
12	2,30	-714,9904	0,0000	-605,2842	0,0000
13	2,44	-629,4421	0,0000	-589,0716	0,0000
14	2,58	-552,0063	0,0000	-560,1307	0,0000
15	2,73	-479,0692	0,0000	-534,8688	0,0000
16	2,87	-409,3817	0,0000	-520,0127	0,0000
17	3,01	-341,8730	0,0000	-514,7626	0,0000
18	3,16	-275,1287	0,0000	-521,4383	0,0000
19	3,30	-219,4509	0,0000	-540,0114	0,0000
20	3,43	-173,8367	0,0000	-445,4029	0,0000
21	3,57	-133,2470	0,0000	-359,1711	0,0000
22	3,70	-98,0459	0,0000	-275,1806	0,0000
23	3,83	-68,5390	0,0000	-213,6905	0,0000
24	3,97	-44,5872	0,0000	-172,8693	0,0000
25	4,10	-26,0018	0,0000	-133,4791	11,0132
26	4,27	-11,0112	0,0000	-88,1458	6,0427
27	4,43	-6,1176	1,8126	-41,7655	0,0000
28	4,60	0,0000	0,4045	-10,0469	2,1829

#### Sollecitazioni in direzione X

Nr.	X	M <sub>xmin</sub>	M <sub>xmax</sub>	T <sub>xmin</sub>	T <sub>xmax</sub>
1	0,00	-1,8707	2,5871	-95,0314	305,3986
2	0,40	-3,9399	25,1647	-235,6286	471,9850
3	0,80	-52,4379	36,2569	-467,3061	471,2277
4	1,20	-98,6085	57,6960	-342,2983	334,2651
5	1,60	-44,7063	27,5000	-502,8190	506,9382
6	1,92	-17,8119	42,7637	-503,6640	302,8774
7	2,24	-30,4308	58,1533	-186,0757	109,8928
8	2,56	-31,2674	58,2365	-107,4259	180,2735
9	2,88	-20,1888	42,7447	-299,9325	497,1398
10	3,20	-44,1245	22,7135	-473,8738	496,2966
11	3,60	-95,7990	49,4185	-335,6824	335,6824
12	4,00	-44,1245	22,7135	-496,2966	473,8738
13	4,32	-20,1888	42,7447	-497,1398	299,9325
14	4,64	-31,2674	58,2365	-180,2735	107,4259
15	4,96	-30,4308	58,1533	-109,8928	186,0757
16	5,28	-17,8119	42,7637	-302,8774	503,6640

## 2.1.2 PEDEMONTANA DELLE MARCHE

Secondo stralcio funzionale: Matelica Nord – Matelica Sud/Castelraimondo Nord

Opere d'arte minori: Opere di sostegno e dreni

Muri di controripa in dx in c.a. da 4+680.00 a 4+844.40

Relazione tecnica e di calcolo

Opera	Tratto	Settore	CEE	WBS	Id.doc.	N. prog.	Rev.	Pag. di Pag.
L073	212	E	17	OS1100	REL	01	A	139 di 195

17	5,60	-44,7063	27,5000	-506,9382	502,8190
18	6,00	-98,6085	57,6960	-334,2651	342,2983
19	6,40	-52,4379	36,2569	-471,2277	467,3061
20	6,80	-3,9399	25,1647	-471,9850	235,6286
21	7,20	-1,8707	2,5871	-305,3986	95,0314

### COMBINAZIONE n° 6

Valore della spinta statica	196,5447	[kN]		
Componente orizzontale della spinta statica	180,4705	[kN]		
Componente verticale della spinta statica	77,8474	[kN]		
Punto d'applicazione della spinta	X = 2,30	[m]	Y = -3,02	[m]
Inclinaz. della spinta rispetto alla normale alla superficie	23,33	[°]		
Inclinazione linea di rottura in condizioni statiche	54,19	[°]		
Punto d'applicazione della spinta della falda	X = 2,30	[m]	Y = -5,50	[m]
Peso terrapieno gravante sulla fondazione a monte	225,1466	[kN]		
Baricentro terrapieno gravante sulla fondazione a monte	X = 1,18	[m]	Y = -2,05	[m]

### Risultanti

Risultante dei carichi applicati in dir. orizzontale	180,4705	[kN]
Risultante dei carichi applicati in dir. verticale	495,6920	[kN]
Sforzo normale sul piano di posa della fondazione	495,6920	[kN]
Sforzo tangenziale sul piano di posa della fondazione	180,4705	[kN]
Eccentricità rispetto al baricentro della fondazione	0,07	[m]
Lunghezza fondazione reagente	4,60	[m]
Risultante in fondazione	527,5227	[kN]
Inclinazione della risultante (rispetto alla normale)	20,01	[°]
Momento rispetto al baricentro della fondazione	32,5838	[kNm]



## 2.1.2 PEDEMONTANA DELLE MARCHE

**Secondo stralcio funzionale: Matelica Nord – Matelica Sud/Castelraimondo Nord**

Opere d'arte minori: Opere di sostegno e dreni

Muri di controripa in dx in c.a. da 4+680.00 a 4+844.40

Relazione tecnica e di calcolo

Opera L073	Tratto 212	Settore E	CEE 17	WBS OS1100	Id.doc. REL	N. prog. 01	Rev. A	Pag. di Pag. 140 di 195
---------------	---------------	--------------	-----------	---------------	----------------	----------------	-----------	-------------------------------

### Sollecitazioni paramento

#### Combinazione n° 6

L'ordinata Y (espressa in m) è considerata positiva verso il basso con origine in testa al muro

Momento positivo se tende le fibre contro terra (a monte), espresso in kNm

Sforzo normale positivo di compressione, espresso in kN

Taglio positivo se diretto da monte verso valle, espresso in kN

Nr.	Y	N	M	T
1	0,00	0,0000	0,0000	0,0000
2	0,23	2,8199	0,2590	2,4927
3	0,45	5,7633	1,0803	5,2867
4	0,68	8,8301	2,5298	8,3759
5	0,90	12,0205	4,6721	11,7589
6	1,13	15,3343	7,5719	15,4357
7	1,35	18,7716	11,2941	19,4062
8	1,57	22,3323	15,9032	23,6705
9	1,80	26,0166	21,4639	28,2286
10	2,02	29,8243	28,0411	33,0804
11	2,25	33,7555	35,6993	38,2260
12	2,48	37,8101	44,5033	43,6653
13	2,70	41,9883	54,5178	49,3984
14	2,93	46,2899	65,8074	55,4253
15	3,15	50,7150	78,4369	61,7459
16	3,38	55,2636	92,4710	68,3603
17	3,60	59,9356	107,9744	75,2685
18	3,83	64,7312	125,0118	82,4704
19	4,05	69,6502	143,6478	89,9661
20	4,28	74,6927	163,9472	97,7556
21	4,50	79,8586	185,9719	105,7918

## 2.1.2 PEDEMONTANA DELLE MARCHE

Secondo stralcio funzionale: Matelica Nord – Matelica Sud/Castelraimondo Nord

Opere d'arte minori: Opere di sostegno e dreni

Muri di controripa in dx in c.a. da 4+680.00 a 4+844.40

Relazione tecnica e di calcolo

Opera L073	Tratto 212	Settore E	CEE 17	WBS OS1100	Id.doc. REL	N. prog. 01	Rev. A	Pag. di Pag. 141 di 195
---------------	---------------	--------------	-----------	---------------	----------------	----------------	-----------	-------------------------------

### Inviluppo sollecitazioni piastra di fondazione

#### Combinazione n° 6

Dimensioni della piastra

Larghezza(m) = 7.20 Altezza(m) = 4.60

Origine all'attacco con il muro all'estremità sinistra del muro

Ascissa X positiva verso destra

Ordinata Y positiva dall'attacco con il muro verso l'estremo libero

I momenti negativi tendono le fibre superiori

#### Sollecitazioni in direzione Y

Nr.	Y	M <sub>ymin</sub>	M <sub>ymax</sub>	T <sub>ymin</sub>	T <sub>ymax</sub>
1	0,00	-0,1623	0,2019	-4,4110	7,2325
2	0,17	-2,1219	3,1855	-34,6201	23,0486
3	0,33	-3,9422	6,6864	-80,6464	46,4711
4	0,50	-18,4460	14,2916	-106,1073	69,2422
5	0,63	-26,5992	23,0937	0,0000	97,2339
6	0,77	-18,2360	34,0545	0,0000	156,0991
7	0,90	0,0000	45,9678	0,0000	289,2669
8	1,03	0,0000	61,9009	0,0000	423,3229
9	1,17	0,0000	107,1761	0,0000	582,7774
10	1,30	0,0000	210,1632	-45,2844	814,8733
11	1,35	0,0000	261,6324	-46,1971	813,6553
12	2,30	-204,9944	0,0000	-218,8540	0,0000
13	2,44	-170,2957	0,0000	-203,1448	0,0000
14	2,58	-143,8078	0,0000	-166,1090	0,0000
15	2,73	-121,8934	0,0000	-140,0345	0,0000
16	2,87	-103,2587	0,0000	-121,8960	0,0000
17	3,01	-87,1996	0,0000	-109,3699	0,0000
18	3,16	-74,2978	0,0000	-98,4000	0,0000
19	3,30	-67,4534	0,0000	-88,4647	0,0000
20	3,43	-62,7727	0,0000	-80,5639	0,0000
21	3,57	-56,0223	0,0000	-73,2590	0,0000
22	3,70	-48,1889	0,0000	-68,2694	0,0000
23	3,83	-39,5340	0,0000	-79,1966	0,0000
24	3,97	-29,8551	0,0000	-90,9302	0,0000
25	4,10	-18,2516	0,0000	-105,9563	0,0000
26	4,27	-8,0213	0,0000	-68,2159	0,0000
27	4,43	-2,8668	0,4435	-32,9193	0,0000
28	4,60	0,0000	0,3302	-6,9513	0,0000

#### Sollecitazioni in direzione X

Nr.	X	M <sub>xmin</sub>	M <sub>xmax</sub>	T <sub>xmin</sub>	T <sub>xmax</sub>
1	0,00	-0,6385	2,0481	-8,7421	132,9085
2	0,40	-1,9875	11,0766	-102,3478	206,5685
3	0,80	-22,8869	7,1795	-188,1122	205,7663
4	1,20	-43,0845	0,8977	-149,4489	146,0494
5	1,60	-19,5092	7,7882	-219,3863	206,3199
6	1,92	-1,8236	18,6796	-220,2806	131,5680
7	2,24	0,0000	25,4072	-81,9285	47,1043
8	2,56	0,0000	25,4440	-46,0301	79,4039
9	2,88	-1,8176	18,6720	-130,2690	217,4392
10	3,20	-19,2533	7,7646	-193,4238	216,5462
11	3,60	-41,8532	0,8949	-146,5600	146,5600
12	4,00	-19,2533	7,7646	-216,5462	193,4238
13	4,32	-1,8176	18,6720	-217,4392	130,2690
14	4,64	0,0000	25,4440	-79,4039	46,0301
15	4,96	0,0000	25,4072	-47,1043	81,9285
16	5,28	-1,8236	18,6796	-131,5680	220,2806

## 2.1.2 PEDEMONTANA DELLE MARCHE

Secondo stralcio funzionale: Matelica Nord – Matelica Sud/Castelraimondo Nord

Opere d'arte minori: Opere di sostegno e dreni

Muri di controripa in dx in c.a. da 4+680.00 a 4+844.40

Relazione tecnica e di calcolo

Opera	Tratto	Settore	CEE	WBS	Id.doc.	N. prog.	Rev.	Pag. di Pag.
L073	212	E	17	OS1100	REL	01	A	142 di 195

17	5,60	-19,5092	7,7882	-206,3199	219,3863
18	6,00	-43,0845	0,8977	-146,0494	149,4489
19	6,40	-22,8869	7,1795	-205,7663	188,1122
20	6,80	-1,9875	11,0766	-206,5685	102,3478
21	7,20	-0,6385	2,0481	-132,9085	8,7421

### COMBINAZIONE n° 7

Valore della spinta statica	196,5447	[kN]		
Componente orizzontale della spinta statica	180,4705	[kN]		
Componente verticale della spinta statica	77,8474	[kN]		
Punto d'applicazione della spinta	X = 2,30	[m]	Y = -3,02	[m]
Inclinaz. della spinta rispetto alla normale alla superficie	23,33	[°]		
Inclinazione linea di rottura in condizioni statiche	54,19	[°]		
Punto d'applicazione della spinta della falda	X = 2,30	[m]	Y = -5,50	[m]
Peso terrapieno gravante sulla fondazione a monte	225,1466	[kN]		
Baricentro terrapieno gravante sulla fondazione a monte	X = 1,18	[m]	Y = -2,05	[m]

### Risultanti

Risultante dei carichi applicati in dir. orizzontale	180,4705	[kN]
Risultante dei carichi applicati in dir. verticale	495,6920	[kN]
Sforzo normale sul piano di posa della fondazione	495,6920	[kN]
Sforzo tangenziale sul piano di posa della fondazione	180,4705	[kN]
Eccentricità rispetto al baricentro della fondazione	0,07	[m]
Lunghezza fondazione reagente	4,60	[m]
Risultante in fondazione	527,5227	[kN]
Inclinazione della risultante (rispetto alla normale)	20,01	[°]
Momento rispetto al baricentro della fondazione	32,5838	[kNm]



## 2.1.2 PEDEMONTANA DELLE MARCHE

Secondo stralcio funzionale: Matelica Nord – Matelica Sud/Castelraimondo Nord

Opere d'arte minori: Opere di sostegno e dreni

Muri di controripa in dx in c.a. da 4+680.00 a 4+844.40

Relazione tecnica e di calcolo

Opera L073	Tratto 212	Settore E	CEE 17	WBS OS1100	Id.doc. REL	N. prog. 01	Rev. A	Pag. di Pag. 143 di 195
---------------	---------------	--------------	-----------	---------------	----------------	----------------	-----------	-------------------------------

### Sollecitazioni paramento

#### Combinazione n° 7

L'ordinata Y (espressa in m) è considerata positiva verso il basso con origine in testa al muro

Momento positivo se tende le fibre contro terra (a monte), espresso in kNm

Sforzo normale positivo di compressione, espresso in kN

Taglio positivo se diretto da monte verso valle, espresso in kN

Nr.	Y	N	M	T
1	0,00	0,0000	0,0000	0,0000
2	0,23	2,8199	0,2590	2,4927
3	0,45	5,7633	1,0803	5,2867
4	0,68	8,8301	2,5298	8,3759
5	0,90	12,0205	4,6721	11,7589
6	1,13	15,3343	7,5719	15,4357
7	1,35	18,7716	11,2941	19,4062
8	1,57	22,3323	15,9032	23,6705
9	1,80	26,0166	21,4639	28,2286
10	2,02	29,8243	28,0411	33,0804
11	2,25	33,7555	35,6993	38,2260
12	2,48	37,8101	44,5033	43,6653
13	2,70	41,9883	54,5178	49,3984
14	2,93	46,2899	65,8074	55,4253
15	3,15	50,7150	78,4369	61,7459
16	3,38	55,2636	92,4710	68,3603
17	3,60	59,9356	107,9744	75,2685
18	3,83	64,7312	125,0118	82,4704
19	4,05	69,6502	143,6478	89,9661
20	4,28	74,6927	163,9472	97,7556
21	4,50	79,8586	185,9719	105,7918

## 2.1.2 PEDEMONTANA DELLE MARCHE

Secondo stralcio funzionale: Matelica Nord – Matelica Sud/Castelraimondo Nord

Opere d'arte minori: Opere di sostegno e dreni

Muri di controripa in dx in c.a. da 4+680.00 a 4+844.40

Relazione tecnica e di calcolo

Opera L073	Tratto 212	Settore E	CEE 17	WBS OS1100	Id.doc. REL	N. prog. 01	Rev. A	Pag. di Pag. 144 di 195
---------------	---------------	--------------	-----------	---------------	----------------	----------------	-----------	-------------------------------

### Inviluppo sollecitazioni piastra di fondazione

#### Combinazione n° 7

Dimensioni della piastra

Larghezza(m) = 7.20 Altezza(m) = 4.60

Origine all'attacco con il muro all'estremità sinistra del muro

Ascissa X positiva verso destra

Ordinata Y positiva dall'attacco con il muro verso l'estremo libero

I momenti negativi tendono le fibre superiori

#### Sollecitazioni in direzione Y

Nr.	Y	M <sub>ymin</sub>	M <sub>ymax</sub>	T <sub>ymin</sub>	T <sub>ymax</sub>
1	0,00	-0,1623	0,2019	-4,4110	7,2325
2	0,17	-2,1219	3,1855	-34,6201	23,0486
3	0,33	-3,9422	6,6864	-80,6464	46,4711
4	0,50	-18,4460	14,2916	-106,1073	69,2422
5	0,63	-26,5992	23,0937	0,0000	97,2339
6	0,77	-18,2360	34,0545	0,0000	156,0991
7	0,90	0,0000	45,9678	0,0000	289,2669
8	1,03	0,0000	61,9009	0,0000	423,3229
9	1,17	0,0000	107,1761	0,0000	582,7774
10	1,30	0,0000	210,1632	-45,2844	814,8733
11	1,35	0,0000	261,6324	-46,1971	813,6553
12	2,30	-204,9944	0,0000	-218,8540	0,0000
13	2,44	-170,2957	0,0000	-203,1448	0,0000
14	2,58	-143,8078	0,0000	-166,1090	0,0000
15	2,73	-121,8934	0,0000	-140,0345	0,0000
16	2,87	-103,2587	0,0000	-121,8960	0,0000
17	3,01	-87,1996	0,0000	-109,3699	0,0000
18	3,16	-74,2978	0,0000	-98,4000	0,0000
19	3,30	-67,4534	0,0000	-88,4647	0,0000
20	3,43	-62,7727	0,0000	-80,5639	0,0000
21	3,57	-56,0223	0,0000	-73,2590	0,0000
22	3,70	-48,1889	0,0000	-68,2694	0,0000
23	3,83	-39,5340	0,0000	-79,1966	0,0000
24	3,97	-29,8551	0,0000	-90,9302	0,0000
25	4,10	-18,2516	0,0000	-105,9563	0,0000
26	4,27	-8,0213	0,0000	-68,2159	0,0000
27	4,43	-2,8668	0,4435	-32,9193	0,0000
28	4,60	0,0000	0,3302	-6,9513	0,0000

#### Sollecitazioni in direzione X

Nr.	X	M <sub>xmin</sub>	M <sub>xmax</sub>	T <sub>xmin</sub>	T <sub>xmax</sub>
1	0,00	-0,6385	2,0481	-8,7421	132,9085
2	0,40	-1,9875	11,0766	-102,3478	206,5685
3	0,80	-22,8869	7,1795	-188,1122	205,7663
4	1,20	-43,0845	0,8977	-149,4489	146,0494
5	1,60	-19,5092	7,7882	-219,3863	206,3199
6	1,92	-1,8236	18,6796	-220,2806	131,5680
7	2,24	0,0000	25,4072	-81,9285	47,1043
8	2,56	0,0000	25,4440	-46,0301	79,4039
9	2,88	-1,8176	18,6720	-130,2690	217,4392
10	3,20	-19,2533	7,7646	-193,4238	216,5462
11	3,60	-41,8532	0,8949	-146,5600	146,5600
12	4,00	-19,2533	7,7646	-216,5462	193,4238
13	4,32	-1,8176	18,6720	-217,4392	130,2690
14	4,64	0,0000	25,4440	-79,4039	46,0301
15	4,96	0,0000	25,4072	-47,1043	81,9285
16	5,28	-1,8236	18,6796	-131,5680	220,2806



## 2.1.2 PEDEMONTANA DELLE MARCHE

Secondo stralcio funzionale: Matelica Nord – Matelica Sud/Castelraimondo Nord

Opere d'arte minori: Opere di sostegno e dreni

Muri di controripa in dx in c.a. da 4+680.00 a 4+844.40

Relazione tecnica e di calcolo

Opera	Tratto	Settore	CEE	WBS	Id.doc.	N. prog.	Rev.	Pag. di Pag.
L073	212	E	17	OS1100	REL	01	A	145 di 195

17	5,60	-19,5092	7,7882	-206,3199	219,3863
18	6,00	-43,0845	0,8977	-146,0494	149,4489
19	6,40	-22,8869	7,1795	-205,7663	188,1122
20	6,80	-1,9875	11,0766	-206,5685	102,3478
21	7,20	-0,6385	2,0481	-132,9085	8,7421

### COMBINAZIONE n° 8

Valore della spinta statica	196,5447	[kN]		
Componente orizzontale della spinta statica	180,4705	[kN]		
Componente verticale della spinta statica	77,8474	[kN]		
Punto d'applicazione della spinta	X = 2,30	[m]	Y = -3,02	[m]
Inclinaz. della spinta rispetto alla normale alla superficie	23,33	[°]		
Inclinazione linea di rottura in condizioni statiche	54,19	[°]		
Punto d'applicazione della spinta della falda	X = 2,30	[m]	Y = -5,50	[m]
Peso terrapieno gravante sulla fondazione a monte	225,1466	[kN]		
Baricentro terrapieno gravante sulla fondazione a monte	X = 1,18	[m]	Y = -2,05	[m]

### Risultanti

Risultante dei carichi applicati in dir. orizzontale	180,4705	[kN]
Risultante dei carichi applicati in dir. verticale	495,6920	[kN]
Sforzo normale sul piano di posa della fondazione	495,6920	[kN]
Sforzo tangenziale sul piano di posa della fondazione	180,4705	[kN]
Eccentricità rispetto al baricentro della fondazione	0,07	[m]
Lunghezza fondazione reagente	4,60	[m]
Risultante in fondazione	527,5227	[kN]
Inclinazione della risultante (rispetto alla normale)	20,01	[°]
Momento rispetto al baricentro della fondazione	32,5838	[kNm]

## 2.1.2 PEDEMONTANA DELLE MARCHE

**Secondo stralcio funzionale: Matelica Nord – Matelica Sud/Castelraimondo Nord**

Opere d'arte minori: Opere di sostegno e dreni

Muri di controripa in dx in c.a. da 4+680.00 a 4+844.40

Relazione tecnica e di calcolo

Opera L073	Tratto 212	Settore E	CEE 17	WBS OS1100	Id.doc. REL	N. prog. 01	Rev. A	Pag. di Pag. 146 di 195
---------------	---------------	--------------	-----------	---------------	----------------	----------------	-----------	-------------------------------

### Sollecitazioni paramento

#### Combinazione n° 8

L'ordinata Y (espressa in m) è considerata positiva verso il basso con origine in testa al muro

Momento positivo se tende le fibre contro terra (a monte), espresso in kNm

Sforzo normale positivo di compressione, espresso in kN

Taglio positivo se diretto da monte verso valle, espresso in kN

Nr.	Y	N	M	T
1	0,00	0,0000	0,0000	0,0000
2	0,23	2,8199	0,2590	2,4927
3	0,45	5,7633	1,0803	5,2867
4	0,68	8,8301	2,5298	8,3759
5	0,90	12,0205	4,6721	11,7589
6	1,13	15,3343	7,5719	15,4357
7	1,35	18,7716	11,2941	19,4062
8	1,57	22,3323	15,9032	23,6705
9	1,80	26,0166	21,4639	28,2286
10	2,02	29,8243	28,0411	33,0804
11	2,25	33,7555	35,6993	38,2260
12	2,48	37,8101	44,5033	43,6653
13	2,70	41,9883	54,5178	49,3984
14	2,93	46,2899	65,8074	55,4253
15	3,15	50,7150	78,4369	61,7459
16	3,38	55,2636	92,4710	68,3603
17	3,60	59,9356	107,9744	75,2685
18	3,83	64,7312	125,0118	82,4704
19	4,05	69,6502	143,6478	89,9661
20	4,28	74,6927	163,9472	97,7556
21	4,50	79,8586	185,9719	105,7918

## 2.1.2 PEDEMONTANA DELLE MARCHE

Secondo stralcio funzionale: Matelica Nord – Matelica Sud/Castelraimondo Nord

Opere d'arte minori: Opere di sostegno e dreni

Muri di controripa in dx in c.a. da 4+680.00 a 4+844.40

Relazione tecnica e di calcolo

Opera L073	Tratto 212	Settore E	CEE 17	WBS OS1100	Id.doc. REL	N. prog. 01	Rev. A	Pag. di Pag. 147 di 195
---------------	---------------	--------------	-----------	---------------	----------------	----------------	-----------	-------------------------------

### Inviluppo sollecitazioni piastra di fondazione

#### Combinazione n° 8

Dimensioni della piastra

Larghezza(m) = 7.20 Altezza(m) = 4.60

Origine all'attacco con il muro all'estremità sinistra del muro

Ascissa X positiva verso destra

Ordinata Y positiva dall'attacco con il muro verso l'estremo libero

I momenti negativi tendono le fibre superiori

#### Sollecitazioni in direzione Y

Nr.	Y	M <sub>ymin</sub>	M <sub>ymax</sub>	T <sub>ymin</sub>	T <sub>ymax</sub>
1	0,00	-0,1623	0,2019	-4,4110	7,2325
2	0,17	-2,1219	3,1855	-34,6201	23,0486
3	0,33	-3,9422	6,6864	-80,6464	46,4711
4	0,50	-18,4460	14,2916	-106,1073	69,2422
5	0,63	-26,5992	23,0937	0,0000	97,2339
6	0,77	-18,2360	34,0545	0,0000	156,0991
7	0,90	0,0000	45,9678	0,0000	289,2669
8	1,03	0,0000	61,9009	0,0000	423,3229
9	1,17	0,0000	107,1761	0,0000	582,7774
10	1,30	0,0000	210,1632	-45,2844	814,8733
11	1,35	0,0000	261,6324	-46,1971	813,6553
12	2,30	-204,9944	0,0000	-218,8540	0,0000
13	2,44	-170,2957	0,0000	-203,1448	0,0000
14	2,58	-143,8078	0,0000	-166,1090	0,0000
15	2,73	-121,8934	0,0000	-140,0345	0,0000
16	2,87	-103,2587	0,0000	-121,8960	0,0000
17	3,01	-87,1996	0,0000	-109,3699	0,0000
18	3,16	-74,2978	0,0000	-98,4000	0,0000
19	3,30	-67,4534	0,0000	-88,4647	0,0000
20	3,43	-62,7727	0,0000	-80,5639	0,0000
21	3,57	-56,0223	0,0000	-73,2590	0,0000
22	3,70	-48,1889	0,0000	-68,2694	0,0000
23	3,83	-39,5340	0,0000	-79,1966	0,0000
24	3,97	-29,8551	0,0000	-90,9302	0,0000
25	4,10	-18,2516	0,0000	-105,9563	0,0000
26	4,27	-8,0213	0,0000	-68,2159	0,0000
27	4,43	-2,8668	0,4435	-32,9193	0,0000
28	4,60	0,0000	0,3302	-6,9513	0,0000

#### Sollecitazioni in direzione X

Nr.	X	M <sub>xmin</sub>	M <sub>xmax</sub>	T <sub>xmin</sub>	T <sub>xmax</sub>
1	0,00	-0,6385	2,0481	-8,7421	132,9085
2	0,40	-1,9875	11,0766	-102,3478	206,5685
3	0,80	-22,8869	7,1795	-188,1122	205,7663
4	1,20	-43,0845	0,8977	-149,4489	146,0494
5	1,60	-19,5092	7,7882	-219,3863	206,3199
6	1,92	-1,8236	18,6796	-220,2806	131,5680
7	2,24	0,0000	25,4072	-81,9285	47,1043
8	2,56	0,0000	25,4440	-46,0301	79,4039
9	2,88	-1,8176	18,6720	-130,2690	217,4392
10	3,20	-19,2533	7,7646	-193,4238	216,5462
11	3,60	-41,8532	0,8949	-146,5600	146,5600
12	4,00	-19,2533	7,7646	-216,5462	193,4238
13	4,32	-1,8176	18,6720	-217,4392	130,2690
14	4,64	0,0000	25,4440	-79,4039	46,0301
15	4,96	0,0000	25,4072	-47,1043	81,9285
16	5,28	-1,8236	18,6796	-131,5680	220,2806



**QUADRILATERO**

Marche Umbria S.p.A.

## 2.1.2 PEDEMONTANA DELLE MARCHE

**Secondo stralcio funzionale: Matelica Nord – Matelica Sud/Castelraimondo Nord**

Opere d'arte minori: Opere di sostegno e dreni

Muri di controripa in dx in c.a. da 4+680.00 a 4+844.40

Relazione tecnica e di calcolo

Opera L073	Tratto 212	Settore E	CEE 17	WBS OS1100	Id.doc. REL	N. prog. 01	Rev. A	Pag. di Pag. 148 di 195
---------------	---------------	--------------	-----------	---------------	----------------	----------------	-----------	-------------------------------

17	5,60	-19,5092	7,7882	-206,3199	219,3863
18	6,00	-43,0845	0,8977	-146,0494	149,4489
19	6,40	-22,8869	7,1795	-205,7663	188,1122
20	6,80	-1,9875	11,0766	-206,5685	102,3478
21	7,20	-0,6385	2,0481	-132,9085	8,7421

## 2.1.2 PEDEMONTANA DELLE MARCHE

Secondo stralcio funzionale: Matelica Nord – Matelica Sud/Castelraimondo Nord

Opere d'arte minori: Opere di sostegno e dreni

Muri di controripa in dx in c.a. da 4+680.00 a 4+844.40

Relazione tecnica e di calcolo

Opera L073	Tratto 212	Settore E	CEE 17	WBS OS1100	Id.doc. REL	N. prog. 01	Rev. A	Pag. di Pag. 149 di 195
---------------	---------------	--------------	-----------	---------------	----------------	----------------	-----------	-------------------------------

### Inviluppo Sollecitazioni paramento

L'ordinata Y (espressa in [m]) è considerata positiva verso il basso con origine in testa al muro

Momento positivo se tende le fibre contro terra (a monte), espresso in [kNm]

Sforzo normale positivo di compressione, espresso in [kN]

Taglio positivo se diretto da monte verso valle, espresso in [kN]

#### Inviluppo combinazioni SLU

Nr.	Y	Nmin	Nmax	Mmin	Mmax	Tmin	Tmax
1	0,00	0,0000	0,0000	0,0000	0,0000	0,0000	0,0000
2	0,23	2,8199	2,8199	0,3414	1,1225	3,2405	10,1731
3	0,45	5,7633	5,7633	1,4236	4,5388	6,8727	20,6777
4	0,68	8,8301	8,8301	3,3325	10,3215	10,8887	31,5079
5	0,90	12,0205	12,0205	6,1527	18,5422	15,2866	42,6622
6	1,13	15,3343	15,3343	9,9688	29,2724	20,0664	54,1405
7	1,35	18,7716	18,7716	14,8652	42,5836	25,2281	65,9429
8	1,57	22,3323	22,3323	20,9265	58,5474	30,7717	78,0694
9	1,80	26,0166	26,0166	28,2372	77,2352	36,6971	90,5199
10	2,02	29,8243	29,8243	36,8818	98,7187	43,0045	103,2945
11	2,25	33,7555	33,7555	46,9450	123,0692	49,6937	116,3932
12	2,48	37,8101	37,8101	58,5112	150,3584	56,7649	129,8160
13	2,70	41,9883	41,9883	71,6649	180,6578	64,2179	143,5628
14	2,93	46,2899	46,2899	86,4907	214,0388	72,0529	157,6337
15	3,15	50,7150	50,7150	103,0731	250,5730	80,2697	172,0287
16	3,38	55,2636	55,2636	121,4966	290,3319	88,8684	186,7477
17	3,60	59,9356	59,9356	141,8458	333,3871	97,8490	201,7908
18	3,83	64,7312	64,7312	164,2052	379,8100	107,2116	217,1580
19	4,05	69,6502	69,6502	188,6593	429,6721	116,9560	232,8492
20	4,28	74,6927	74,6927	215,2927	483,0451	127,0823	248,8645
21	4,50	79,8586	79,8586	244,1862	539,9976	137,5293	265,1569

#### Inviluppo combinazioni SLE

Nr.	Y	Nmin	Nmax	Mmin	Mmax	Tmin	Tmax
1	0,00	0,0000	0,0000	0,0000	0,0000	0,0000	0,0000
2	0,23	2,8199	2,8199	0,2590	0,2590	2,4927	2,4927
3	0,45	5,7633	5,7633	1,0803	1,0803	5,2867	5,2867
4	0,68	8,8301	8,8301	2,5298	2,5298	8,3759	8,3759
5	0,90	12,0205	12,0205	4,6721	4,6721	11,7589	11,7589
6	1,13	15,3343	15,3343	7,5719	7,5719	15,4357	15,4357
7	1,35	18,7716	18,7716	11,2941	11,2941	19,4062	19,4062
8	1,57	22,3323	22,3323	15,9032	15,9032	23,6705	23,6705
9	1,80	26,0166	26,0166	21,4639	21,4639	28,2286	28,2286
10	2,02	29,8243	29,8243	28,0411	28,0411	33,0804	33,0804
11	2,25	33,7555	33,7555	35,6993	35,6993	38,2260	38,2260
12	2,48	37,8101	37,8101	44,5033	44,5033	43,6653	43,6653
13	2,70	41,9883	41,9883	54,5178	54,5178	49,3984	49,3984
14	2,93	46,2899	46,2899	65,8074	65,8074	55,4253	55,4253
15	3,15	50,7150	50,7150	78,4369	78,4369	61,7459	61,7459
16	3,38	55,2636	55,2636	92,4710	92,4710	68,3603	68,3603
17	3,60	59,9356	59,9356	107,9744	107,9744	75,2685	75,2685
18	3,83	64,7312	64,7312	125,0118	125,0118	82,4704	82,4704
19	4,05	69,6502	69,6502	143,6478	143,6478	89,9661	89,9661
20	4,28	74,6927	74,6927	163,9472	163,9472	97,7556	97,7556
21	4,50	79,8586	79,8586	185,9719	185,9719	105,7918	105,7918

**2.1.2 PEDEMONTANA DELLE MARCHE****Secondo stralcio funzionale: Matelica Nord – Matelica Sud/Castelraimondo Nord**

Opere d'arte minori: Opere di sostegno e dreni

Muri di controripa in dx in c.a. da 4+680.00 a 4+844.40

Relazione tecnica e di calcolo

Opera L073	Tratto 212	Settore E	CEE 17	WBS OS1100	Id.doc. REL	N. prog. 01	Rev. A	Pag. di Pag. 150 di 195
---------------	---------------	--------------	-----------	---------------	----------------	----------------	-----------	-------------------------------

**Dichiarazioni secondo N.T.C. 2008 (punto 10.2)****Analisi e verifiche svolte con l'ausilio di codici di calcolo**

Il sottoscritto, in qualità di calcolatore delle opere in progetto, dichiara quanto segue.

**Tipo di analisi svolta**

L'analisi strutturale e le verifiche sono condotte con l'ausilio di un codice di calcolo automatico. La verifica della sicurezza degli elementi strutturali è stata valutata con i metodi della scienza delle costruzioni.

Il calcolo dei muri di sostegno viene eseguito secondo le seguenti fasi:

- Calcolo della spinta del terreno
- Verifica a ribaltamento
- Verifica a scorrimento del muro sul piano di posa
- Verifica della stabilità complesso fondazione terreno (carico limite)
- Verifica della stabilità globale
- Calcolo delle sollecitazioni sia del muro che della fondazione, progetto delle armature e relative verifiche dei materiali.
- Calcolo della portanza assiale e trasversale dei pali. Progetto e verifica delle armature dei pali inseriti.

L'analisi strutturale sotto le azioni sismiche è condotta con il metodo dell'analisi statica equivalente secondo le disposizioni del capitolo 7 del DM 14/01/2008.

La verifica delle sezioni degli elementi strutturali è eseguita con il metodo degli Stati Limite. Le combinazioni di carico adottate sono esaustive relativamente agli scenari di carico più gravosi cui l'opera sarà soggetta.

**Origine e caratteristiche dei codici di calcolo**

Titolo	MAX - Analisi e Calcolo Muri di Sostegno
Versione	10.10
Produttore	Aztec Informatica srl, Casole Bruzio (CS)
Utente	PROGIN S.P.A.
Licenza	AIU01054U

**Affidabilità dei codici di calcolo**

Un attento esame preliminare della documentazione a corredo del software ha consentito di valutarne l'affidabilità. La documentazione fornita dal produttore del software contiene un'esauriente descrizione delle basi teoriche, degli algoritmi impiegati e l'individuazione dei campi d'impiego. La società produttrice Aztec Informatica srl ha verificato l'affidabilità e la robustezza del codice di calcolo attraverso un numero significativo di casi prova in cui i risultati dell'analisi numerica sono stati confrontati con soluzioni teoriche.

**Modalità di presentazione dei risultati**

La relazione di calcolo strutturale presenta i dati di calcolo tale da garantirne la leggibilità, la corretta interpretazione e la riproducibilità. La relazione di calcolo illustra in modo esaustivo i dati in ingresso ed i risultati delle analisi in forma tabellare.

**Informazioni generali sull'elaborazione**

Il software prevede una serie di controlli automatici che consentono l'individuazione di errori di modellazione, di non rispetto di limitazioni geometriche e di armatura e di presenza di elementi non verificati. Il codice di calcolo consente di visualizzare e controllare, sia in forma grafica che tabellare, i dati del modello strutturale, in modo da avere una visione consapevole del comportamento corretto del modello strutturale.

**Giudizio motivato di accettabilità dei risultati**

I risultati delle elaborazioni sono stati sottoposti a controlli dal sottoscritto utente del software. Tale valutazione ha compreso il confronto con i risultati di semplici calcoli, eseguiti con metodi tradizionali. Inoltre sulla base di considerazioni riguardanti gli stati tensionali e deformativi determinati, si è valutata la validità delle scelte operate in sede di schematizzazione e di modellazione della struttura e delle azioni.

In base a quanto sopra, io sottoscritto asserisco che l'elaborazione è corretta ed idonea al caso specifico, pertanto i risultati di calcolo sono da ritenersi validi ed accettabili.



**QUADRILATERO**  
Merche Umbria S.p.A.

## 2.1.2 PEDEMONTANA DELLE MARCHE

Secondo stralcio funzionale: Matelica Nord – Matelica Sud/Castelraimondo Nord

Opere d'arte minori: Opere di sostegno e dreni

Muri di controripa in dx in c.a. da 4+680.00 a 4+844.40

Relazione tecnica e di calcolo

Opera L073	Tratto 212	Settore E	CEE 17	WBS OS1100	Id.doc. REL	N. prog. 01	Rev. A	Pag. di Pag. 151 di 195
---------------	---------------	--------------	-----------	---------------	----------------	----------------	-----------	-------------------------------

# ALLEGATO 2

## TABULATI DI CALCOLO MURO TIPO 3

## 2.1.2 PEDEMONTANA DELLE MARCHE

**Secondo stralcio funzionale: Matelica Nord – Matelica Sud/Castelraimondo Nord**

Opere d'arte minori: Opere di sostegno e dreni

Muri di controripa in dx in c.a. da 4+680.00 a 4+844.40

Relazione tecnica e di calcolo

Opera L073	Tratto 212	Settore E	CEE 17	WBS OS1100	Id.doc. REL	N. prog. 01	Rev. A	Pag. di Pag. 152 di 195
---------------	---------------	--------------	-----------	---------------	----------------	----------------	-----------	-------------------------------

### Normative di riferimento

- Legge nr. 1086 del 05/11/1971.

Norme per la disciplina delle opere in conglomerato cementizio, normale e precompresso ed a struttura metallica.

- Legge nr. 64 del 02/02/1974.

Provvedimenti per le costruzioni con particolari prescrizioni per le zone sismiche.

- D.M. LL.PP. del 11/03/1988.

Norme tecniche riguardanti le indagini sui terreni e sulle rocce, la stabilità dei pendii naturali e delle scarpate, i criteri generali e le prescrizioni per la progettazione, l'esecuzione e il collaudo delle opere di sostegno delle terre e delle opere di fondazione.

- D.M. LL.PP. del 14/02/1992.

Norme tecniche per l'esecuzione delle opere in cemento armato normale e precompresso e per le strutture metalliche.

- D.M. 9 Gennaio 1996

Norme Tecniche per il calcolo, l'esecuzione ed il collaudo delle strutture in cemento armato normale e precompresso e per le strutture metalliche

- D.M. 16 Gennaio 1996

Norme Tecniche relative ai 'Criteri generali per la verifica di sicurezza delle costruzioni e dei carichi e sovraccarichi'

- D.M. 16 Gennaio 1996

Norme Tecniche per le costruzioni in zone sismiche

- Circolare Ministero LL.PP. 15 Ottobre 1996 N. 252 AA.GG./S.T.C.

Istruzioni per l'applicazione delle Norme Tecniche di cui al D.M. 9 Gennaio 1996

- Circolare Ministero LL.PP. 10 Aprile 1997 N. 65/AA.GG.

Istruzioni per l'applicazione delle Norme Tecniche per le costruzioni in zone sismiche di cui al D.M. 16 Gennaio 1996

- Norme Tecniche per le Costruzioni 2008 (D.M. 14 Gennaio 2008)

- Circolare 617 del 02/02/2009

- Circolare C.S.L.P. 02/02/2009 n.617 - Istruzioni per l'applicazione delle Norme Tecniche per le Costruzioni di cui al D.M. 14 gennaio 2008

Il calcolo dei muri di sostegno viene eseguito secondo le seguenti fasi:

- Calcolo della spinta del terreno

- Verifica a ribaltamento

- Verifica a scorrimento del muro sul piano di posa

- Verifica della stabilità complesso fondazione terreno (carico limite)

- Verifica della stabilità globale

Calcolo delle sollecitazioni sia del muro che della fondazione, progetto delle armature e relative verifiche dei materiali



Opera L073	Tratto 212	Settore E	CEE 17	WBS OS1100	Id.doc. REL	N. prog. 01	Rev. A	Pag. di Pag. 153 di 195
---------------	---------------	--------------	-----------	---------------	----------------	----------------	-----------	-------------------------------

## Calcolo della spinta sul muro

### Valori caratteristici e valori di calcolo

Effettuando il calcolo tramite gli Eurocodici è necessario fare la distinzione fra i parametri caratteristici ed i valori di calcolo (o di progetto) sia delle azioni che delle resistenze.

I valori di calcolo si ottengono dai valori caratteristici mediante l'applicazione di opportuni coefficienti di sicurezza parziali  $\gamma$ . In particolare si distinguono combinazioni di carico di tipo **A1-M1** nelle quali vengono incrementati i carichi e lasciati inalterati i parametri di resistenza del terreno e combinazioni di carico di tipo **A2-M2** nelle quali vengono ridotti i parametri di resistenza del terreno e incrementati i soli carichi variabili.

### Metodo di Culmann

Il metodo di Culmann adotta le stesse ipotesi di base del metodo di Coulomb. La differenza sostanziale è che mentre Coulomb considera un terrapieno con superficie a pendenza costante e carico uniformemente distribuito (il che permette di ottenere una espressione in forma chiusa per il coefficiente di spinta) il metodo di Culmann consente di analizzare situazioni con profilo di forma generica e carichi sia concentrati che distribuiti comunque disposti. Inoltre, rispetto al metodo di Coulomb, risulta più immediato e lineare tener conto della coesione del masso spingente. Il metodo di Culmann, nato come metodo essenzialmente grafico, si è evoluto per essere trattato mediante analisi numerica (noto in questa forma come metodo del cuneo di tentativo). Come il metodo di Coulomb anche questo metodo considera una superficie di rottura rettilinea.

I passi del procedimento risolutivo sono i seguenti:

- si impone una superficie di rottura (angolo di inclinazione  $\rho$  rispetto all'orizzontale) e si considera il cuneo di spinta delimitato dalla superficie di rottura stessa, dalla parete su cui si calcola la spinta e dal profilo del terreno;
- si valutano tutte le forze agenti sul cuneo di spinta e cioè peso proprio ( $W$ ), carichi sul terrapieno, resistenza per attrito e per coesione lungo la superficie di rottura ( $R$  e  $C$ ) e resistenza per coesione lungo la parete ( $A$ );
- dalle equazioni di equilibrio si ricava il valore della spinta  $S$  sulla parete.

Questo processo viene iterato fino a trovare l'angolo di rottura per cui la spinta risulta massima.

La convergenza non si raggiunge se il terrapieno risulta inclinato di un angolo maggiore dell'angolo d'attrito del terreno.

Nei casi in cui è applicabile il metodo di Coulomb (profilo a monte rettilineo e carico uniformemente distribuito) i risultati ottenuti col metodo di Culmann coincidono con quelli del metodo di Coulomb.

Le pressioni sulla parete di spinta si ricavano derivando l'espressione della spinta  $S$  rispetto all'ordinata  $z$ . Noto il diagramma delle pressioni è possibile ricavare il punto di applicazione della spinta.

### Spinta in presenza di sisma

Per tener conto dell'incremento di spinta dovuta al sisma si fa riferimento al metodo di Mononobe-Okabe (cui fa riferimento la Normativa Italiana).

La Normativa Italiana suggerisce di tener conto di un incremento di spinta dovuto al sisma nel modo seguente.

Detta  $\varepsilon$  l'inclinazione del terrapieno rispetto all'orizzontale e  $\beta$  l'inclinazione della parete rispetto alla verticale, si calcola la spinta  $S'$  considerando un'inclinazione del terrapieno e della parte pari a

$$\varepsilon' = \varepsilon + \theta$$

$$\beta' = \beta + \theta$$

dove  $\theta = \arctg(k_h/(1 \pm k_v))$  essendo  $k_h$  il coefficiente sismico orizzontale e  $k_v$  il coefficiente sismico verticale, definito in funzione di  $k_h$ .

In presenza di falda a monte,  $\theta$  assume le seguenti espressioni:

Terreno a bassa permeabilità

$$\theta = \arctg\left[\left(\frac{\gamma_{sat}}{\gamma_{sat} - \gamma_w}\right) * \left(k_h / (1 \pm k_v)\right)\right]$$

Terreno a permeabilità elevata

## 2.1.2 PEDEMONTANA DELLE MARCHE

**Secondo stralcio funzionale: Matelica Nord – Matelica Sud/Castelraimondo Nord**

Opere d'arte minori: Opere di sostegno e dreni

Muri di controripa in dx in c.a. da 4+680.00 a 4+844.40

Relazione tecnica e di calcolo

Opera L073	Tratto 212	Settore E	CEE 17	WBS OS1100	Id.doc. REL	N. prog. 01	Rev. A	Pag. di Pag. 154 di 195
---------------	---------------	--------------	-----------	---------------	----------------	----------------	-----------	-------------------------------

$$\theta = \arctg[(\gamma/(\gamma_{sat}-\gamma_w)) * (k_r/(1 \pm k_v))]$$

Detta  $S$  la spinta calcolata in condizioni statiche l'incremento di spinta da applicare è espresso da

$$\Delta S = AS' - S$$

dove il coefficiente  $A$  vale

$$A = \frac{\cos^2(\beta + \theta)}{\cos^2\beta \cos\theta}$$

In presenza di falda a monte, nel coefficiente  $A$  si tiene conto dell'influenza dei pesi di volume nel calcolo di  $\theta$ .

Adottando il metodo di Mononobe-Okabe per il calcolo della spinta, il coefficiente  $A$  viene posto pari a 1.

Tale incremento di spinta è applicato a metà altezza della parete di spinta nel caso di forma rettangolare del diagramma di incremento sismico, allo stesso punto di applicazione della spinta statica nel caso in cui la forma del diagramma di incremento sismico è uguale a quella del diagramma statico.

Oltre a questo incremento bisogna tener conto delle forze d'inerzia orizzontali e verticali che si destano per effetto del sisma. Tali forze vengono valutate come

$$F_{IH} = k_H W \quad F_{IV} = \pm k_V W$$

dove  $W$  è il peso del muro, del terreno soprastante la mensola di monte ed i relativi sovraccarichi e va applicata nel baricentro dei pesi.

Il metodo di Culmann tiene conto automaticamente dell'incremento di spinta. Basta inserire nell'equazione risolutiva la forza d'inerzia del cuneo di spinta. La superficie di rottura nel caso di sisma risulta meno inclinata della corrispondente superficie in assenza di sisma.

### Verifica alla stabilità globale

La verifica alla stabilità globale del complesso muro+terreno deve fornire un coefficiente di sicurezza non inferiore a  $\eta_g$

Eseguito il calcolo mediante gli Eurocodici si può impostare  $\eta_g \geq 1.0$

Viene usata la tecnica della suddivisione a strisce della superficie di scorrimento da analizzare. La superficie di scorrimento viene supposta circolare e determinata in modo tale da non avere intersezione con il profilo del muro o con i pali di fondazione. Si determina il minimo coefficiente di sicurezza su una maglia di centri di dimensioni 10x10 posta in prossimità della sommità del muro. Il numero di strisce è pari a 50.

Si adotta per la verifica di stabilità globale il metodo di Bishop.

Il coefficiente di sicurezza nel metodo di Bishop si esprime secondo la seguente formula:

$$\eta = \frac{\sum_i \left( \frac{c_i b_i + (W_i - u_i b_i) \operatorname{tg} \phi_i}{m} \right)}{\sum_i W_i \sin \alpha_i}$$

dove il termine  $m$  è espresso da

$$m = \left( 1 + \frac{\operatorname{tg} \phi_i \operatorname{tg} \alpha_i}{\eta} \right) \cos \alpha_i$$

## 2.1.2 PEDEMONTANA DELLE MARCHE

**Secondo stralcio funzionale: Matelica Nord – Matelica Sud/Castelraimondo Nord**

Opere d'arte minori: Opere di sostegno e dreni

Muri di controripa in dx in c.a. da 4+680.00 a 4+844.40

Relazione tecnica e di calcolo

Opera L073	Tratto 212	Settore E	CEE 17	WBS OS1100	Id.doc. REL	N. prog. 01	Rev. A	Pag. di Pag. 155 di 195
---------------	---------------	--------------	-----------	---------------	----------------	----------------	-----------	-------------------------------

In questa espressione  $n$  è il numero delle strisce considerate,  $b_i$  e  $\alpha_i$  sono la larghezza e l'inclinazione della base della striscia  $i_{esima}$  rispetto all'orizzontale,  $W_i$  è il peso della striscia  $i_{esima}$ ,  $c_i$  e  $\phi_i$  sono le caratteristiche del terreno (coesione ed angolo di attrito) lungo la base della striscia ed  $u_i$  è la pressione neutra lungo la base della striscia.

L'espressione del coefficiente di sicurezza di Bishop contiene al secondo membro il termine  $m$  che è funzione di  $\eta$ . Quindi essa viene risolta per successive approssimazioni assumendo un valore iniziale per  $\eta$  da inserire nell'espressione di  $m$  ed iterare finquando il valore calcolato coincide con il valore assunto.

### Analisi dei pali

Per l'analisi della capacità portante dei pali occorre determinare alcune caratteristiche del terreno in cui si va ad operare. In particolare bisogna conoscere l'angolo d'attrito  $\phi$  e la coesione  $c$ . Per pali soggetti a carichi trasversali è necessario conoscere il modulo di reazione laterale o il modulo elastico laterale.

La capacità portante di un palo solitamente viene valutata come somma di due contributi: portata di base (o di punta) e portata per attrito laterale lungo il fusto. Cioè si assume valida l'espressione:

$$Q_T = Q_P + Q_L - W_P$$

dove:

$Q_T$  portanza totale del palo

$Q_P$  portanza di base del palo

$Q_L$  portanza per attrito laterale del palo

$W_P$  peso proprio del palo

e le due componenti  $Q_P$  e  $Q_L$  sono calcolate in modo indipendente fra loro.

Dalla capacità portante del palo si ricava il carico ammissibile del palo  $Q_A$  applicando il coefficiente di sicurezza della portanza alla punta  $\eta_p$  ed il coefficiente di sicurezza della portanza per attrito laterale  $\eta_l$ .

Palo compresso:

$$Q_A = Q_P / \eta_p + Q_L / \eta_l - W_P$$

Palo teso:

$$Q_A = Q_L / \eta_l + W_P$$

#### Capacità portante di punta

In generale la capacità portante di punta viene calcolata tramite l'espressione:

$$Q_P = A_p (cN'_c + qN'_q + 1/2B\gamma N'_\gamma)$$

dove  $A_p$  è l'area portante efficace della punta del palo,  $c$  è la coesione,  $q$  è la pressione geostatica alla quota della punta del palo,  $\gamma$  è il peso specifico del terreno,  $D$  è il diametro del palo ed i coefficienti  $N'_c$ ,  $N'_q$ ,  $N'_\gamma$  sono i coefficienti delle formule della capacità portante corretti per tener conto degli effetti di forma e di profondità. Possono essere utilizzati sia i coefficienti di Hansen che quelli di Vesic con i corrispondenti fattori correttivi per la profondità e la forma.

Il parametro  $\eta$  che compare nell'espressione assume il valore:

$$\eta = \frac{1 + 2K_0}{3}$$

quando si usa la formula di Vesic e viene posto uguale ad 1 per le altre formule.

$K_0$  rappresenta il coefficiente di spinta a riposo che può essere espresso come:  $K_0 = 1 - \sin\phi$ .

## 2.1.2 PEDEMONTANA DELLE MARCHE

**Secondo stralcio funzionale: Matelica Nord – Matelica Sud/Castelraimondo Nord**

Opere d'arte minori: Opere di sostegno e dreni

Muri di controripa in dx in c.a. da 4+680.00 a 4+844.40

Relazione tecnica e di calcolo

Opera L073	Tratto 212	Settore E	CEE 17	WBS OS1100	Id.doc. REL	N. prog. 01	Rev. A	Pag. di Pag. 156 di 195
---------------	---------------	--------------	-----------	---------------	----------------	----------------	-----------	-------------------------------

### Capacità portante per resistenza laterale

La resistenza laterale è data dall'integrale esteso a tutta la superficie laterale del palo delle tensioni tangenziali palo-terreno in condizioni limite:

$$Q_L = \int \tau_a dS$$

dove  $\tau_a$  è dato dalla nota relazione di Coulomb

$$\tau_a = c_a + \sigma_n \tan \delta$$

dove  $c_a$  è l'adesione palo-terreno,  $\delta$  è l'angolo di attrito palo-terreno,  $\gamma$  è il peso specifico del terreno,  $z$  è la generica quota a partire dalla testa del palo,  $L$  e  $P$  sono rispettivamente la lunghezza ed il perimetro del palo,  $K_s$  è il coefficiente di spinta che dipende dalle caratteristiche meccaniche e fisiche del terreno dal suo stato di addensamento e dalle modalità di realizzazione del palo.

### Portanza trasversale dei pali - Analisi ad elementi finiti

Nel modello di terreno alla Winkler il terreno viene schematizzato come una serie di molle elastiche indipendenti fra di loro. Le molle che schematizzano il terreno vengono caratterizzate tramite una costante elastica  $K$  espressa in Kg/cm<sup>2</sup>/cm che rappresenta la pressione (in Kg/cm<sup>2</sup>) che bisogna applicare per ottenere l'abbassamento di 1 cm.

Nel metodo degli elementi finiti occorre discretizzare il particolare problema. Nel caso specifico il palo viene suddiviso in un certo numero di elementi di eguale lunghezza. Ogni elemento è caratterizzato da una sezione avente area ed inerzia coincidente con quella del palo.

Il terreno viene schematizzato come una serie di molle orizzontali che reagiscono agli spostamenti nei due versi. La rigidità assiale della singola molla è proporzionale alla costante di Winkler orizzontale del terreno, al diametro del palo ed alla lunghezza dell'elemento. La molla, però, non viene vista come un elemento infinitamente elastico ma come un elemento con comportamento del tipo elastoplastico perfetto (diagramma sforzi-deformazioni di tipo bilatero). Essa presenta una resistenza crescente al crescere degli spostamenti fino a che l'entità degli spostamenti si mantiene al di sotto di un certo spostamento limite,  $X_{max}$  oppure fino a quando non si raggiunge il valore della pressione limite. Superato tale limite non si ha un incremento di resistenza. E' evidente che assumendo un comportamento di questo tipo ci si addentra in un tipico problema non lineare che può essere risolto solo mediante una analisi al passo.

Questa modellazione presenta il notevole vantaggio di poter schematizzare tutti quei comportamenti individuati da Broms e che sarebbe impossibile trattare in un modello numerico. In particolare risulta automatico analizzare casi in cui si ha insufficiente portanza non per rottura del palo ma per rottura del terreno (vedi il caso di un palo molto rigido in un terreno molle).

### Determinazione degli scarichi sul palo.

Gli scarichi sui pali vengono determinati mediante il metodo delle rigidità.

La piastra di fondazione viene considerata infinitamente rigida (3 gradi di libertà) ed i pali vengono considerati incastrati o incernierati (la scelta del vincolo viene fatta dall'Utente nella tabella CARATTERISTICHE del sottomenu PALI) a tale piastra.

Viene effettuata una prima analisi di ogni palo di ciascuna fila (i pali di ogni fila hanno le stesse caratteristiche) per costruire una curva carichi-spostamenti del palo. Questa curva viene costruita considerando il palo elastico. Si tratta, in definitiva, della matrice di rigidità del palo  $K_e$ , costruita imponendo traslazioni e rotazioni unitarie per determinare le corrispondenti sollecitazioni in testa al palo.

Nota la matrice di rigidità di ogni palo si assembla la matrice globale (di dimensioni 3x3) della palificata,  $K$ .

A questo punto, note le forze agenti in fondazione (N, T, M) si possono ricavare gli spostamenti della piastra (abbassamento, traslazione e rotazione) e le forze che si scaricano su ciascun palo. Infatti indicando con  $p$  il vettore dei carichi e con  $u$  il vettore degli spostamenti della piastra abbiamo:

$$u = K^{-1}p$$

Noti gli spostamenti della piastra, e quindi della testa dei pali, abbiamo gli scarichi su ciascun palo. Allora per ciascun palo viene effettuata un'analisi elastoplastica incrementale (tramite il metodo degli elementi finiti) che, tenendo conto della plasticizzazione del terreno, calcola le sollecitazioni in tutte le sezioni del palo., le caratteristiche del terreno (rappresentate da  $K_h$ ) sono tali che se non è possibile raggiungere l'equilibrio si ha collasso per rottura del terreno.

## 2.1.2 PEDEMONTANA DELLE MARCHE

Secondo stralcio funzionale: Matelica Nord – Matelica Sud/Castelraimondo Nord

Opere d'arte minori: Opere di sostegno e dreni

Muri di controripa in dx in c.a. da 4+680.00 a 4+844.40

Relazione tecnica e di calcolo

Opera L073	Tratto 212	Settore E	CEE 17	WBS OS1100	Id.doc. REL	N. prog. 01	Rev. A	Pag. di Pag. 157 di 195
---------------	---------------	--------------	-----------	---------------	----------------	----------------	-----------	-------------------------------

### Normativa

#### N.T.C. 2008 - Approccio 2

##### Simbologia adottata

$\gamma_{Gsfav}$	Coefficiente parziale sfavorevole sulle azioni permanenti
$\gamma_{Gfav}$	Coefficiente parziale favorevole sulle azioni permanenti
$\gamma_{Qsfav}$	Coefficiente parziale sfavorevole sulle azioni variabili
$\gamma_{Qfav}$	Coefficiente parziale favorevole sulle azioni variabili
$\gamma_{tan\phi'}$	Coefficiente parziale di riduzione dell'angolo di attrito drenato
$\gamma_c$	Coefficiente parziale di riduzione della coesione drenata
$\gamma_{cu}$	Coefficiente parziale di riduzione della coesione non drenata
$\gamma_{qu}$	Coefficiente parziale di riduzione del carico ultimo
$\gamma_\gamma$	Coefficiente parziale di riduzione della resistenza a compressione uniaxiale delle rocce

#### Coefficienti di partecipazione combinazioni statiche

##### Coefficienti parziali per le azioni o per l'effetto delle azioni:

Carichi	Effetto		A1	A2	EQU	HYD
Permanenti	Favorevole	$\gamma_{Gfav}$	1,00	1,00	0,90	0,90
Permanenti	Sfavorevole	$\gamma_{Gsfav}$	1,30	1,00	1,10	1,30
Variabili	Favorevole	$\gamma_{Qfav}$	0,00	0,00	0,00	0,00
Variabili	Sfavorevole	$\gamma_{Qsfav}$	1,50	1,30	1,50	1,50

##### Coefficienti parziali per i parametri geotecnici del terreno:

Parametri		M1	M2	M2	M1
Tangente dell'angolo di attrito	$\gamma_{tan\phi'}$	1,00	1,25	1,25	1,00
Coesione efficace	$\gamma_c$	1,00	1,25	1,25	1,00
Resistenza non drenata	$\gamma_{cu}$	1,00	1,40	1,40	1,00
Resistenza a compressione uniaxiale	$\gamma_{qu}$	1,00	1,60	1,60	1,00
Peso dell'unità di volume	$\gamma_\gamma$	1,00	1,00	1,00	1,00

#### Coefficienti di partecipazione combinazioni sismiche

##### Coefficienti parziali per le azioni o per l'effetto delle azioni:

Carichi	Effetto		A1	A2	EQU	HYD
Permanenti	Favorevole	$\gamma_{Gfav}$	1,00	1,00	1,00	0,90
Permanenti	Sfavorevole	$\gamma_{Gsfav}$	1,00	1,00	1,00	1,30
Variabili	Favorevole	$\gamma_{Qfav}$	0,00	0,00	0,00	0,00
Variabili	Sfavorevole	$\gamma_{Qsfav}$	1,00	1,00	1,00	1,50

##### Coefficienti parziali per i parametri geotecnici del terreno:

Parametri		M1	M2	M2	M1
Tangente dell'angolo di attrito	$\gamma_{tan\phi'}$	1,00	1,25	1,25	1,00
Coesione efficace	$\gamma_c$	1,00	1,25	1,25	1,00
Resistenza non drenata	$\gamma_{cu}$	1,00	1,40	1,40	1,00
Resistenza a compressione uniaxiale	$\gamma_{qu}$	1,00	1,60	1,60	1,00
Peso dell'unità di volume	$\gamma_\gamma$	1,00	1,00	1,00	1,00

#### FONDAZIONE SUPERFICIALE

##### Coefficienti parziali $\gamma_R$ per le verifiche agli stati limite ultimi STR e GEO

###### Verifica

	R1	R2	R3
Capacità portante della fondazione	1,00	1,00	1,40
Scorrimento	1,00	1,00	1,10
Resistenza del terreno a valle	1,00	1,00	1,40
Stabilità globale		1,10	

###### Coefficienti parziali

## 2.1.2 PEDEMONTANA DELLE MARCHE

Secondo stralcio funzionale: Matelica Nord – Matelica Sud/Castelraimondo Nord

Opere d'arte minori: Opere di sostegno e dreni

Muri di controripa in dx in c.a. da 4+680.00 a 4+844.40

Relazione tecnica e di calcolo

Opera L073	Tratto 212	Settore E	CEE 17	WBS OS1100	Id.doc. REL	N. prog. 01	Rev. A	Pag. di Pag. 158 di 195
---------------	---------------	--------------	-----------	---------------	----------------	----------------	-----------	-------------------------------

### PALI DI FONDAZIONE

CARICHI VERTICALI. Coefficienti parziali  $\gamma_R$  per le verifiche dei pali

#### Pali trivellati

		R1	R2	R3
Punta	$\gamma_b$	1,00	1,70	1,35
Laterale compressione	$\gamma_s$	1,00	1,45	1,15
Totale compressione	$\gamma_t$	1,00	1,60	1,30
Laterale trazione	$\gamma_{st}$	1,00	1,60	1,25

CARICHI TRASVERSALI. Coefficienti parziali  $\gamma_T$  per le verifiche dei pali.

		R1	R2	R3
	$\gamma_T$	1,00	1,60	1,30

Coefficienti di riduzione  $\xi$  per la determinazione della resistenza caratteristica dei pali

Numero di verticali indagate	3	$\xi_3=1,60$	$\xi_4=1,48$
------------------------------	---	--------------	--------------

## 2.1.2 PEDEMONTANA DELLE MARCHE

**Secondo stralcio funzionale: Matelica Nord – Matelica Sud/Castelraimondo Nord**

Opere d'arte minori: Opere di sostegno e dreni

Muri di controripa in dx in c.a. da 4+680.00 a 4+844.40

Relazione tecnica e di calcolo

Opera L073	Tratto 212	Settore E	CEE 17	WBS OS1100	Id.doc. REL	N. prog. 01	Rev. A	Pag. di Pag. 159 di 195
---------------	---------------	--------------	-----------	---------------	----------------	----------------	-----------	-------------------------------

### Geometria muro e fondazione

#### Descrizione

#### Muro a mensola in c.a.

Altezza del paramento	6,50 [m]
Spessore in sommità	0,50 [m]
Spessore all'attacco con la fondazione	1,15 [m]
Inclinazione paramento esterno	5,70 [°]
Inclinazione paramento interno	0,00 [°]
Lunghezza del muro	7,20 [m]

#### Fondazione

Lunghezza mensola fondazione di valle	1,45 [m]
Lunghezza mensola fondazione di monte	3,90 [m]
Lunghezza totale fondazione	6,50 [m]
Inclinazione piano di posa della fondazione	0,00 [°]
Spessore fondazione	1,30 [m]
Spessore magrone	0,20 [m]



## 2.1.2 PEDEMONTANA DELLE MARCHE

Secondo stralcio funzionale: Matelica Nord – Matelica Sud/Castelraimondo Nord

Opere d'arte minori: Opere di sostegno e dreni

Muri di controripa in dx in c.a. da 4+680.00 a 4+844.40

Relazione tecnica e di calcolo

Opera L073	Tratto 212	Settore E	CEE 17	WBS OS1100	Id.doc. REL	N. prog. 01	Rev. A	Pag. di Pag. 160 di 195
---------------	---------------	--------------	-----------	---------------	----------------	----------------	-----------	-------------------------------

### Descrizione pali di fondazione

Pali in c.a.	
Numero di file di pali	3
Vincolo pali/fondazione	Incastro
Tipo di portanza	Portanza di punta

#### Simbologia adottata

N	numero d'ordine della fila
X	ascissa della fila misurata dallo spigolo di monte della fondazione espressa in [m]
nr.	Numero di pali della fila
D	diametro dei pali della fila espresso in [m]
L	lunghezza dei pali della fila espressa in [m]
alfa	inclinazione dei pali della fila rispetto alla verticale espressa in [°]
ALL	allineamento dei pali della fila rispetto al baricentro della fondazione (CENTRATI o SFALSATI)

N	X	Nr.	D	L	alfa	ALL
1	0,70	3	0,8000	20,00	0,00	Centrati
2	3,25	3	0,8000	20,00	0,00	Centrati
3	5,75	3	0,8000	20,00	0,00	Centrati



## 2.1.2 PEDEMONTANA DELLE MARCHE

Secondo stralcio funzionale: Matelica Nord – Matelica Sud/Castelraimondo Nord

Opere d'arte minori: Opere di sostegno e dreni

Muri di controripa in dx in c.a. da 4+680.00 a 4+844.40

Relazione tecnica e di calcolo

Opera L073	Tratto 212	Settore E	CEE 17	WBS OS1100	Id.doc. REL	N. prog. 01	Rev. A	Pag. di Pag. 161 di 195
---------------	---------------	--------------	-----------	---------------	----------------	----------------	-----------	-------------------------------

### Materiali utilizzati per la struttura

#### Calcestruzzo

Peso specifico 24,517 [kN/mc]

Classe di Resistenza C25/30

Resistenza caratteristica a compressione  $R_{ck}$  30000 [kPa]

Modulo elastico E 31447048 [kPa]

#### Acciaio

Tipo B450C

Tensione di snervamento  $\sigma_{fa}$  449936 [kPa]

#### Calcestruzzo utilizzato per i pali

Classe di Resistenza C32/40

Resistenza caratteristica a compressione  $R_{ck}$  40000 [kPa]

Modulo elastico E 33642648 [kPa]

#### Acciaio utilizzato per i pali

Tipo B450C

Tensione ammissibile  $\sigma_{fa}$  449936 [kPa]

Tensione di snervamento  $\sigma_{fa}$  449936 [kPa]

### Geometria profilo terreno a monte del muro

#### Simbologia adottata e sistema di riferimento

(Sistema di riferimento con origine in testa al muro, ascissa X positiva verso monte, ordinata Y positiva verso l'alto)

N numero ordine del punto

X ascissa del punto espressa in [m]

Y ordinata del punto espressa in [m]

A inclinazione del tratto espressa in [°]

N	X	Y	A
1	10,00	3,20	17,74
2	20,00	3,20	0,00

### Terreno a valle del muro

Inclinazione terreno a valle del muro rispetto all'orizzontale 0,00 [°]

Altezza del rinterro rispetto all'attacco fondaz.valle-paramento 0,00 [m]

### Falda

Quota della falda a valle del muro rispetto al piano di posa della fondazione -1,00 [m]

### Descrizione terreni

#### Simbologia adottata

Nr. Indice del terreno

Descrizione Descrizione terreno

$\gamma$  Peso di volume del terreno espresso in [kN/mc]

$\gamma_s$  Peso di volume saturo del terreno espresso in [kN/mc]

$\phi$  Angolo d'attrito interno espresso in [°]

$\delta$  Angolo d'attrito terra-muro espresso in [°]

## 2.1.2 PEDEMONTANA DELLE MARCHE

Secondo stralcio funzionale: Matelica Nord – Matelica Sud/Castelraimondo Nord

Opere d'arte minori: Opere di sostegno e dreni

Muri di controripa in dx in c.a. da 4+680.00 a 4+844.40

Relazione tecnica e di calcolo

Opera L073	Tratto 212	Settore E	CEE 17	WBS OS1100	Id.doc. REL	N. prog. 01	Rev. A	Pag. di Pag. 162 di 195
---------------	---------------	--------------	-----------	---------------	----------------	----------------	-----------	-------------------------------

c Coesione espressa in [kPa]  
 c<sub>a</sub> Adesione terra-muro espressa in [kPa]

Descrizione	$\gamma$	$\gamma_s$	$\phi$	$\delta$	c	c <sub>a</sub>
Rilevato	20,00	20,00	35.00	23.33	0,0	0,0
Ala	19,00	20,00	25.00	16.67	2,0	0,0
Salt	20,00	20,00	27.00	18.00	20,0	0,0
Ap/Pa	23,00	23,00	31.00	20.67	120,0	0,0

Parametri medi

Descrizione	$\gamma$	$\gamma_s$	$\phi$	$\delta$	c	c <sub>a</sub>
Rilevato	20,00	20,00	35.00	23.33	0,0	0,0
Ala	19,00	20,00	25.00	16.67	2,0	0,0
Salt	20,00	20,00	27.00	18.00	20,0	0,0
Ap/Pa	23,00	23,00	31.00	20.67	120,0	0,0

Parametri minimi

Descrizione	$\gamma$	$\gamma_s$	$\phi$	$\delta$	c	c <sub>a</sub>
Rilevato	20,00	20,00	30.00	20.00	0,0	0,0
Ala	19,00	20,00	25.00	16.67	2,0	0,0
Salt	20,00	20,00	27.00	18.00	20,0	0,0
Ap/Pa	23,00	23,00	31.00	20.67	120,0	0,0

## 2.1.2 PEDEMONTANA DELLE MARCHE

Secondo stralcio funzionale: Matelica Nord – Matelica Sud/Castelraimondo Nord

Opere d'arte minori: Opere di sostegno e dreni

Muri di controripa in dx in c.a. da 4+680.00 a 4+844.40

Relazione tecnica e di calcolo

Opera L073	Tratto 212	Settore E	CEE 17	WBS OS1100	Id.doc. REL	N. prog. 01	Rev. A	Pag. di Pag. 163 di 195
---------------	---------------	--------------	-----------	---------------	----------------	----------------	-----------	-------------------------------

### Condizioni di carico

#### Simbologia e convenzioni di segno adottate

Carichi verticali positivi verso il basso.

Carichi orizzontali positivi verso sinistra.

Momento positivo senso antiorario.

$X$	Ascissa del punto di applicazione del carico concentrato espressa in [m]
$F_x$	Componente orizzontale del carico concentrato espressa in [kN]
$F_y$	Componente verticale del carico concentrato espressa in [kN]
$M$	Momento espresso in [kNm]
$X_i$	Ascissa del punto iniziale del carico ripartito espressa in [m]
$X_f$	Ascissa del punto finale del carico ripartito espressa in [m]
$Q_i$	Intensità del carico per $x=X_i$ espressa in [kN/m]
$Q_f$	Intensità del carico per $x=X_f$ espressa in [kN/m]
$D/C$	Tipo carico : D=distribuito C=concentrato

#### Condizione n° 1 (SOVRACCARICO STRADALE)

D	Profilo	$X_i=10,00$	$X_f=17,45$	$Q_i=60,0000$	$Q_f=20,0000$
---	---------	-------------	-------------	---------------	---------------

## 2.1.2 PEDEMONTANA DELLE MARCHE

Secondo stralcio funzionale: Matelica Nord – Matelica Sud/Castelraimondo Nord

Opere d'arte minori: Opere di sostegno e dreni

Muri di controripa in dx in c.a. da 4+680.00 a 4+844.40

Relazione tecnica e di calcolo

Opera L073	Tratto 212	Settore E	CEE 17	WBS OS1100	Id.doc. REL	N. prog. 01	Rev. A	Pag. di Pag. 164 di 195
---------------	---------------	--------------	-----------	---------------	----------------	----------------	-----------	-------------------------------

### Descrizione combinazioni di carico

#### Simbologia adottata

F/S	Effetto dell'azione (FAV: Favorevole, SFAV: Sfavorevole)
$\gamma$	Coefficiente di partecipazione della condizione
$\Psi$	Coefficiente di combinazione della condizione

#### Combinazione n° 1 - Caso A1-M1 (STR)

	S/F	$\gamma$	$\Psi$	$\gamma * \Psi$
Peso proprio muro	FAV	1,00	1,00	1,00
Peso proprio terrapieno	FAV	1,00	1,00	1,00
Spinta terreno	SFAV	1,30	1,00	1,30

#### Combinazione n° 2 - Caso A1-M1 (STR)

	S/F	$\gamma$	$\Psi$	$\gamma * \Psi$
Peso proprio muro	FAV	1,00	1,00	1,00
Peso proprio terrapieno	FAV	1,00	1,00	1,00
Spinta terreno	SFAV	1,30	1,00	1,30
SOVRACCARICO STRADALE	SFAV	1,50	1,00	1,50

#### Combinazione n° 3 - Caso A1-M1 (STR) - Sisma Vert. positivo

	S/F	$\gamma$	$\Psi$	$\gamma * \Psi$
Peso proprio muro	SFAV	1,00	1,00	1,00
Peso proprio terrapieno	SFAV	1,00	1,00	1,00
Spinta terreno	SFAV	1,00	1,00	1,00

#### Combinazione n° 4 - Caso A1-M1 (STR) - Sisma Vert. negativo

	S/F	$\gamma$	$\Psi$	$\gamma * \Psi$
Peso proprio muro	SFAV	1,00	1,00	1,00
Peso proprio terrapieno	SFAV	1,00	1,00	1,00
Spinta terreno	SFAV	1,00	1,00	1,00

#### Combinazione n° 5 - Caso A1-M1 (STR) - Sisma Vert. positivo

	S/F	$\gamma$	$\Psi$	$\gamma * \Psi$
Peso proprio muro	FAV	1,00	1,00	1,00
Peso proprio terrapieno	FAV	1,00	1,00	1,00
Spinta terreno	SFAV	1,00	1,00	1,00

#### Combinazione n° 6 - Quasi Permanente (SLE)

	S/F	$\gamma$	$\Psi$	$\gamma * \Psi$
Peso proprio muro	--	1,00	1,00	1,00
Peso proprio terrapieno	--	1,00	1,00	1,00
Spinta terreno	--	1,00	1,00	1,00

#### Combinazione n° 7 - Frequente (SLE)

	S/F	$\gamma$	$\Psi$	$\gamma * \Psi$
Peso proprio muro	--	1,00	1,00	1,00
Peso proprio terrapieno	--	1,00	1,00	1,00
Spinta terreno	--	1,00	1,00	1,00
SOVRACCARICO STRADALE	SFAV	1,00	0,75	0,75

#### Combinazione n° 8 - Rara (SLE)

	S/F	$\gamma$	$\Psi$	$\gamma * \Psi$
Peso proprio muro	--	1,00	1,00	1,00
Peso proprio terrapieno	--	1,00	1,00	1,00
Spinta terreno	--	1,00	1,00	1,00
SOVRACCARICO STRADALE	SFAV	1,00	1,00	1,00

## 2.1.2 PEDEMONTANA DELLE MARCHE

Secondo stralcio funzionale: Matelica Nord – Matelica Sud/Castelraimondo Nord

Opere d'arte minori: Opere di sostegno e dreni

Muri di controripa in dx in c.a. da 4+680.00 a 4+844.40

Relazione tecnica e di calcolo

Opera L073	Tratto 212	Settore E	CEE 17	WBS OS1100	Id.doc. REL	N. prog. 01	Rev. A	Pag. di Pag. 165 di 195
---------------	---------------	--------------	-----------	---------------	----------------	----------------	-----------	-------------------------------

### Impostazioni analisi pali

<u>Numero elementi palo</u>	40
<u>Tipo carico palo</u>	Distribuito
<u>Calcolo della portanza</u>	metodo di Vesic
<u>Costante di Winkler</u>	da Strato

Criterio di rottura del sistema terreno-palo

Spostamento limite pari a 0,0150 m

Pressione limite passiva con moltiplicatore pari a 1,00

Andamento pressione verticale

Geostatica

### Impostazioni di analisi

Metodo verifica sezioni

**Stato limite**

***Impostazioni verifiche SLU***

Coefficienti parziali per resistenze di calcolo dei materiali

Coefficiente di sicurezza calcestruzzo a compressione	1.50
Coefficiente di sicurezza calcestruzzo a trazione	1.50
Coefficiente di sicurezza acciaio	1.15
Fattore riduzione da resistenza cubica a cilindrica	0.83
Fattore di riduzione per carichi di lungo periodo	0.85
Coefficiente di sicurezza per la sezione	1.00

***Impostazioni verifiche SLE***

Condizioni ambientali

Aggressive

Armatura ad aderenza migliorata

Verifica fessurazione

Sensibilità delle armature

Poco sensibile

Valori limite delle aperture delle fessure

$w_1 = 0.20$

$w_2 = 0.30$

$w_3 = 0.40$

Metodo di calcolo aperture delle fessure

Circ. Min. 252 (15/10/1996)

Verifica delle tensioni

Combinazione di carico

Rara  $\sigma_c < 0.60 f_{ck}$  -  $\sigma_f < 0.80 f_{yk}$

Quasi permanente  $\sigma_c < 0.45 f_{ck}$

***Impostazioni avanzate***

Terreno a monte a elevata permeabilità

## 2.1.2 PEDEMONTANA DELLE MARCHE

Secondo stralcio funzionale: Matelica Nord – Matelica Sud/Castelraimondo Nord

Opere d'arte minori: Opere di sostegno e dreni

Muri di controripa in dx in c.a. da 4+680.00 a 4+844.40

Relazione tecnica e di calcolo

Opera L073	Tratto 212	Settore E	CEE 17	WBS OS1100	Id.doc. REL	N. prog. 01	Rev. A	Pag. di Pag. 166 di 195
---------------	---------------	--------------	-----------	---------------	----------------	----------------	-----------	-------------------------------

### Quadro riassuntivo coeff. di sicurezza calcolati

#### Simbologia adottata

<i>C</i>	Identificativo della combinazione
<i>Tipo</i>	Tipo combinazione
<i>Sisma</i>	Combinazione sismica
<i>CS<sub>SCO</sub></i>	Coeff. di sicurezza allo scorrimento
<i>CS<sub>RIB</sub></i>	Coeff. di sicurezza al ribaltamento
<i>CS<sub>QLIM</sub></i>	Coeff. di sicurezza a carico limite
<i>CS<sub>STAB</sub></i>	Coeff. di sicurezza a stabilità globale

<b>C</b>	<b>Tipo</b>	<b>Sisma</b>	<b>CS<sub>SCO</sub></b>	<b>CS<sub>RIB</sub></b>	<b>CS<sub>QLIM</sub></b>	<b>CS<sub>STAB</sub></b>
1	A1-M1 - [1]	--	--	--	--	--
2	A1-M1 - [2]	--	--	--	--	--
3	A1-M1 - [3]	Orizzontale + Verticale positivo	--	--	--	--
4	A1-M1 - [3]	Orizzontale + Verticale negativo	--	--	--	--
5	A1-M1 - [4]	Orizzontale + Verticale positivo	--	--	--	--
6	SLEQ - [1]	--	--	--	--	--
7	SLEF - [1]	--	--	--	--	--
8	SLER - [1]	--	--	--	--	--

## 2.1.2 PEDEMONTANA DELLE MARCHE

**Secondo stralcio funzionale: Matelica Nord – Matelica Sud/Castelraimondo Nord**

Opere d'arte minori: Opere di sostegno e dreni

Muri di controripa in dx in c.a. da 4+680.00 a 4+844.40

Relazione tecnica e di calcolo

Opera L073	Tratto 212	Settore E	CEE 17	WBS OS1100	Id.doc. REL	N. prog. 01	Rev. A	Pag. di Pag. 167 di 195
---------------	---------------	--------------	-----------	---------------	----------------	----------------	-----------	-------------------------------

### Analisi della spinta e verifiche

Sistema di riferimento adottato per le coordinate :

Origine in testa al muro (spigolo di monte)

Ascisse X (espresse in [m]) positive verso monte

Ordinate Y (espresse in [m]) positive verso l'alto

Le forze orizzontali sono considerate positive se agenti da monte verso valle

Le forze verticali sono considerate positive se agenti dall'alto verso il basso

Calcolo riferito ad 1 metro di muro

#### Tipo di analisi

Calcolo della spinta

metodo di Culmann

Calcolo della stabilità globale

metodo di Bishop

Calcolo della spinta in condizioni di

Spinta a riposo

#### Sisma

##### **Combinazioni SLU**

Accelerazione al suolo  $a_g$

2.06 [m/s<sup>2</sup>]

Coefficiente di amplificazione per tipo di sottosuolo (S)

1.19

Coefficiente di amplificazione topografica (St)

1.00

Coefficiente riduzione ( $\beta_m$ )

1.00

Rapporto intensità sismica verticale/orizzontale

0.50

Coefficiente di intensità sismica orizzontale (percento)

$k_h = (a_g/g * \beta_m * St * S) = 24.51$

Coefficiente di intensità sismica verticale (percento)

$k_v = 0.50 * k_h = 12.25$

Forma diagramma incremento sismico

Rettangolare

Partecipazione spinta passiva (percento)

0,0

Lunghezza del muro

7,20 [m]

Peso muro

338,5059 [kN]

Baricentro del muro

X=0,23 Y=-5,80

#### Superficie di spinta

Punto inferiore superficie di spinta

X = 3,90 Y = -7,80

Punto superiore superficie di spinta

X = 3,90 Y = 1,25

Altezza della superficie di spinta

9,05 [m]

Inclinazione superficie di spinta (rispetto alla verticale)

0,00 [°]

#### COMBINAZIONE n° 1

##### **Peso muro favorevole e Peso terrapieno favorevole**

Valore della spinta statica

505,0767 [kN]

Componente orizzontale della spinta statica

463,7696 [kN]

Componente verticale della spinta statica

200,0507 [kN]

Punto d'applicazione della spinta

X = 3,90 [m] Y = -4,17 [m]

Inclinaz. della spinta rispetto alla normale alla superficie

23,33 [°]

Inclinazione linea di rottura in condizioni statiche

57,07 [°]

Punto d'applicazione della spinta della falda

X = 3,90 [m] Y = -7,80 [m]

Peso terrapieno gravante sulla fondazione a monte

555,6720 [kN]

Baricentro terrapieno gravante sulla fondazione a monte

X = 2,01 [m] Y = -2,93 [m]

#### Risultanti

Risultante dei carichi applicati in dir. orizzontale

463,7696 [kN]

Risultante dei carichi applicati in dir. verticale

1094,2285 [kN]



## 2.1.2 PEDEMONTANA DELLE MARCHE

Secondo stralcio funzionale: Matelica Nord – Matelica Sud/Castelraimondo Nord

Opere d'arte minori: Opere di sostegno e dreni

Muri di controripa in dx in c.a. da 4+680.00 a 4+844.40

Relazione tecnica e di calcolo

Opera L073	Tratto 212	Settore E	CEE 17	WBS OS1100	Id.doc. REL	N. prog. 01	Rev. A	Pag. di Pag. 168 di 195
---------------	---------------	--------------	-----------	---------------	----------------	----------------	-----------	-------------------------------

Sforzo normale sul piano di posa della fondazione	1094,2285	[kN]
Sforzo tangenziale sul piano di posa della fondazione	463,7696	[kN]
Eccentricità rispetto al baricentro della fondazione	0,39	[m]
Lunghezza fondazione reagente	6,50	[m]
Risultante in fondazione	1188,4521	[kN]
Inclinazione della risultante (rispetto alla normale)	22,97	[°]
Momento rispetto al baricentro della fondazione	422,6700	[kNm]



## 2.1.2 PEDEMONTANA DELLE MARCHE

**Secondo stralcio funzionale: Matelica Nord – Matelica Sud/Castelraimondo Nord**

Opere d'arte minori: Opere di sostegno e dreni

Muri di controripa in dx in c.a. da 4+680.00 a 4+844.40

Relazione tecnica e di calcolo

Opera L073	Tratto 212	Settore E	CEE 17	WBS OS1100	Id.doc. REL	N. prog. 01	Rev. A	Pag. di Pag. 169 di 195
---------------	---------------	--------------	-----------	---------------	----------------	----------------	-----------	-------------------------------

### Sollecitazioni paramento

#### Combinazione n° 1

L'ordinata Y (espressa in m) è considerata positiva verso il basso con origine in testa al muro

Momento positivo se tende le fibre contro terra (a monte), espresso in kNm

Sforzo normale positivo di compressione, espresso in kN

Taglio positivo se diretto da monte verso valle, espresso in kN

Nr.	Y	N	M	T
1	0,00	0,0000	0,0000	0,0000
2	0,33	4,1128	1,0177	6,5990
3	0,65	8,4833	4,2401	13,9916
4	0,98	13,1114	9,9193	22,1666
5	1,30	17,9971	18,3047	31,1214
6	1,63	23,1404	29,6453	40,8558
7	1,95	28,5413	44,1905	51,3701
8	2,27	34,1999	62,1895	62,6641
9	2,60	40,1161	83,8915	74,7378
10	2,93	46,2899	109,5457	87,5913
11	3,25	52,7214	139,4012	101,2245
12	3,58	59,4104	173,7074	115,6375
13	3,90	66,3571	212,7134	130,8302
14	4,23	73,5614	256,6684	146,8027
15	4,55	81,0234	305,8217	163,5549
16	4,88	88,7429	360,4224	181,0868
17	5,20	96,7201	420,7198	199,3985
18	5,53	104,9549	486,9631	218,4900
19	5,85	113,4474	559,4015	238,3612
20	6,17	122,1974	638,2841	259,0121
21	6,50	131,2051	723,8495	280,3180

## 2.1.2 PEDEMONTANA DELLE MARCHE

Secondo stralcio funzionale: Matelica Nord – Matelica Sud/Castelraimondo Nord

Opere d'arte minori: Opere di sostegno e dreni

Muri di controripa in dx in c.a. da 4+680.00 a 4+844.40

Relazione tecnica e di calcolo

Opera L073	Tratto 212	Settore E	CEE 17	WBS OS1100	Id.doc. REL	N. prog. 01	Rev. A	Pag. di Pag. 170 di 195
---------------	---------------	--------------	-----------	---------------	----------------	----------------	-----------	-------------------------------

### Inviluppo sollecitazioni piastra di fondazione

#### Combinazione n° 1

Dimensioni della piastra

Larghezza(m) = 7.20 Altezza(m) = 6.50

Origine all'attacco con il muro all'estremità sinistra del muro

Ascissa X positiva verso destra

Ordinata Y positiva dall'attacco con il muro verso l'estremo libero

I momenti negativi tendono le fibre superiori

#### Sollecitazioni in direzione Y

Nr.	Y	M <sub>ymin</sub>	M <sub>ymax</sub>	T <sub>ymin</sub>	T <sub>ymax</sub>
1	0,00	-0,5896	0,4724	-15,6488	33,1570
2	0,17	-3,7191	10,8848	-113,0665	85,5785
3	0,35	-25,0182	26,2967	-116,7535	151,6823
4	0,55	-34,6646	55,5864	0,0000	242,5911
5	0,75	0,0000	99,6384	0,0000	418,0071
6	0,95	0,0000	155,1132	0,0000	712,8884
7	1,15	0,0000	240,3566	0,0000	1045,7860
8	1,45	0,0000	558,3464	0,0000	1025,2680
9	2,60	-1258,6104	0,0000	-640,8848	0,0000
10	2,85	-1085,6985	0,0000	-594,3092	0,0000
11	3,05	-1012,6179	0,0000	-491,9366	0,0000
12	3,25	-937,7603	0,0000	-485,4678	0,0000
13	3,45	-843,9527	0,0000	-560,7738	0,0000
14	3,65	-728,1075	0,0000	-687,3692	0,0000
15	3,87	-602,1719	0,0000	-571,9419	0,0000
16	4,09	-502,7939	0,0000	-485,5144	0,0000
17	4,31	-411,3810	0,0000	-419,4452	0,0000
18	4,52	-329,1594	0,0000	-361,5353	0,0000
19	4,74	-257,1535	0,0000	-306,4813	0,0000
20	4,96	-195,5132	0,0000	-262,0113	0,0000
21	5,18	-143,8197	0,0000	-222,5975	0,0000
22	5,40	-102,9337	0,0000	-185,3741	0,0000
23	5,60	-76,8172	0,0000	-152,9032	0,0000
24	5,80	-52,2552	0,0000	-128,1120	0,0000
25	6,00	-30,8920	0,0000	-116,5597	0,0000
26	6,20	-11,5625	0,0000	-107,6156	0,0000
27	6,50	0,0000	1,7917	-18,4566	0,0000

#### Sollecitazioni in direzione X

Nr.	X	M <sub>xmin</sub>	M <sub>xmax</sub>	T <sub>xmin</sub>	T <sub>xmax</sub>
1	0,00	-1,0090	3,4006	-23,4792	170,8058
2	0,40	-3,7622	20,2838	-225,8252	188,3112
3	0,80	-60,3684	1,6804	-513,4574	185,9080
4	1,20	-107,1594	0,0000	-173,6513	205,2464
5	1,60	-46,4073	2,2579	-144,2946	565,6793
6	2,00	0,0000	51,7778	-146,3932	269,3831
7	2,40	0,0000	70,5254	-70,8952	75,2357
8	2,80	0,0000	52,1813	-263,4153	140,7756
9	3,20	-44,6453	2,3003	-529,5486	138,7112
10	3,60	-101,1334	0,0000	-167,8389	167,8389
11	4,00	-44,6453	2,3003	-138,7112	529,5486
12	4,40	0,0000	52,1813	-140,7756	263,4153
13	4,80	0,0000	70,5254	-75,2357	70,8952
14	5,20	0,0000	51,7778	-269,3831	146,3932
15	5,60	-46,4073	2,2579	-565,6793	144,2946
16	6,00	-107,1594	0,0000	-205,2464	173,6513
17	6,40	-60,3684	1,6804	-185,9080	513,4574



## 2.1.2 PEDEMONTANA DELLE MARCHE

Secondo stralcio funzionale: Matelica Nord – Matelica Sud/Castelraimondo Nord

Opere d'arte minori: Opere di sostegno e dreni

Muri di controripa in dx in c.a. da 4+680.00 a 4+844.40

Relazione tecnica e di calcolo

Opera	Tratto	Settore	CEE	WBS	Id.doc.	N. prog.	Rev.	Pag. di Pag.
L073	212	E	17	OS1100	REL	01	A	171 di 195

18	6,80	-3,7622	20,2838	-188,3112	225,8252
19	7,20	-1,0090	3,4006	-170,8058	23,4792

### COMBINAZIONE n° 2

#### Peso muro favorevole e Peso terrapieno favorevole

Valore della spinta statica	549,2607	[kN]		
Componente orizzontale della spinta statica	504,3400	[kN]		
Componente verticale della spinta statica	217,5511	[kN]		
Punto d'applicazione della spinta	X = 3,90	[m]	Y = -4,34	[m]
Inclinaz. della spinta rispetto alla normale alla superficie	23,33	[°]		
Inclinazione linea di rottura in condizioni statiche	53,94	[°]		
Punto d'applicazione della spinta della falda	X = 3,90	[m]	Y = -7,80	[m]
Peso terrapieno gravante sulla fondazione a monte	555,6720	[kN]		
Baricentro terrapieno gravante sulla fondazione a monte	X = 2,01	[m]	Y = -2,93	[m]

#### Risultanti

Risultante dei carichi applicati in dir. orizzontale	504,3400	[kN]
Risultante dei carichi applicati in dir. verticale	1111,7289	[kN]
Sforzo normale sul piano di posa della fondazione	1111,7289	[kN]
Sforzo tangenziale sul piano di posa della fondazione	504,3400	[kN]
Eccentricità rispetto al baricentro della fondazione	0,38	[m]
Lunghezza fondazione reagente	6,50	[m]
Risultante in fondazione	1220,7785	[kN]
Inclinazione della risultante (rispetto alla normale)	24,40	[°]
Momento rispetto al baricentro della fondazione	426,2218	[kNm]

## 2.1.2 PEDEMONTANA DELLE MARCHE

**Secondo stralcio funzionale: Matelica Nord – Matelica Sud/Castelraimondo Nord**

Opere d'arte minori: Opere di sostegno e dreni

Muri di controripa in dx in c.a. da 4+680.00 a 4+844.40

Relazione tecnica e di calcolo

Opera L073	Tratto 212	Settore E	CEE 17	WBS OS1100	Id.doc. REL	N. prog. 01	Rev. A	Pag. di Pag. 172 di 195
---------------	---------------	--------------	-----------	---------------	----------------	----------------	-----------	-------------------------------

### Sollecitazioni paramento

#### Combinazione n° 2

L'ordinata Y (espressa in m) è considerata positiva verso il basso con origine in testa al muro

Momento positivo se tende le fibre contro terra (a monte), espresso in kNm

Sforzo normale positivo di compressione, espresso in kN

Taglio positivo se diretto da monte verso valle, espresso in kN

Nr.	Y	N	M	T
1	0,00	0,0000	0,0000	0,0000
2	0,33	4,1128	1,0177	6,5990
3	0,65	8,4833	4,2401	13,9916
4	0,98	13,1114	9,9193	22,1666
5	1,30	17,9971	18,3047	31,1214
6	1,63	23,1404	29,6453	40,8558
7	1,95	28,5413	44,1905	51,3701
8	2,27	34,1999	62,1895	62,6641
9	2,60	40,1161	83,8915	74,7378
10	2,93	46,2899	109,5457	87,5913
11	3,25	52,7214	139,4012	101,2245
12	3,58	59,4104	173,7074	115,6375
13	3,90	66,3571	212,7134	130,8302
14	4,23	73,5614	256,6684	146,8027
15	4,55	81,0234	305,8217	163,5549
16	4,88	88,7429	360,4224	181,0868
17	5,20	96,7201	420,7198	199,3985
18	5,53	104,9549	486,9631	218,4900
19	5,85	113,4474	559,4015	238,3612
20	6,17	122,1974	638,2841	259,0121
21	6,50	131,2051	723,8495	280,3180

## 2.1.2 PEDEMONTANA DELLE MARCHE

Secondo stralcio funzionale: Matelica Nord – Matelica Sud/Castelraimondo Nord

Opere d'arte minori: Opere di sostegno e dreni

Muri di controripa in dx in c.a. da 4+680.00 a 4+844.40

Relazione tecnica e di calcolo

Opera L073	Tratto 212	Settore E	CEE 17	WBS OS1100	Id.doc. REL	N. prog. 01	Rev. A	Pag. di Pag. 173 di 195
---------------	---------------	--------------	-----------	---------------	----------------	----------------	-----------	-------------------------------

### Inviluppo sollecitazioni piastra di fondazione

#### Combinazione n° 2

Dimensioni della piastra

Larghezza(m) = 7.20 Altezza(m) = 6.50

Origine all'attacco con il muro all'estremità sinistra del muro

Ascissa X positiva verso destra

Ordinata Y positiva dall'attacco con il muro verso l'estremo libero

I momenti negativi tendono le fibre superiori

#### Sollecitazioni in direzione Y

Nr.	Y	M <sub>ymin</sub>	M <sub>ymax</sub>	T <sub>ymin</sub>	T <sub>ymax</sub>
1	0,00	-0,6138	0,4865	-16,1470	34,3725
2	0,17	-3,8385	11,2929	-116,8999	88,8710
3	0,35	-25,8526	27,3119	-120,5837	157,5462
4	0,55	-35,7432	57,7568	0,0000	251,9845
5	0,75	0,0000	103,5411	0,0000	434,0083
6	0,95	0,0000	161,2029	0,0000	739,6511
7	1,15	0,0000	249,7474	0,0000	1084,7241
8	1,45	0,0000	579,6215	0,0000	1063,7954
9	2,60	-1290,9998	0,0000	-648,4662	0,0000
10	2,85	-1116,1540	0,0000	-601,8605	0,0000
11	3,05	-1042,5468	0,0000	-500,7552	0,0000
12	3,25	-966,3148	0,0000	-494,1991	0,0000
13	3,45	-870,7050	0,0000	-572,0653	0,0000
14	3,65	-752,5726	0,0000	-701,1683	0,0000
15	3,87	-623,9406	0,0000	-584,6556	0,0000
16	4,09	-522,0805	0,0000	-497,6657	0,0000
17	4,31	-428,1556	0,0000	-431,4060	0,0000
18	4,52	-343,3952	0,0000	-373,4860	0,0000
19	4,74	-268,8485	0,0000	-318,5660	0,0000
20	4,96	-204,6952	0,0000	-272,0921	0,0000
21	5,18	-150,5923	0,0000	-231,7209	0,0000
22	5,40	-107,1051	0,0000	-193,2142	0,0000
23	5,60	-78,6630	0,0000	-159,2805	0,0000
24	5,80	-52,6584	0,0000	-132,6094	0,0000
25	6,00	-30,5499	0,0000	-116,9498	0,0000
26	6,20	-11,3288	0,0000	-103,5185	0,0000
27	6,50	0,0000	1,7808	-16,7042	0,0000

#### Sollecitazioni in direzione X

Nr.	X	M <sub>xmin</sub>	M <sub>xmax</sub>	T <sub>xmin</sub>	T <sub>xmax</sub>
1	0,00	-1,0603	3,3636	-24,3424	176,8864
2	0,40	-3,5124	21,0055	-234,0132	195,0488
3	0,80	-62,5429	1,7266	-533,9374	192,6502
4	1,20	-111,0138	0,0000	-181,6120	214,6576
5	1,60	-48,0762	2,3059	-149,5240	587,7435
6	2,00	0,0000	53,6396	-151,6181	279,1606
7	2,40	0,0000	73,0614	-73,5222	78,0228
8	2,80	0,0000	54,0577	-272,9770	145,7977
9	3,20	-46,2505	2,3410	-550,2400	143,7378
10	3,60	-104,7696	0,0000	-175,5246	175,5246
11	4,00	-46,2505	2,3410	-143,7378	550,2400
12	4,40	0,0000	54,0577	-145,7977	272,9770
13	4,80	0,0000	73,0614	-78,0228	73,5222
14	5,20	0,0000	53,6396	-279,1606	151,6181
15	5,60	-48,0762	2,3059	-587,7435	149,5240
16	6,00	-111,0138	0,0000	-214,6576	181,6120
17	6,40	-62,5429	1,7266	-192,6502	533,9374

## 2.1.2 PEDEMONTANA DELLE MARCHE

Secondo stralcio funzionale: Matelica Nord – Matelica Sud/Castelraimondo Nord

Opere d'arte minori: Opere di sostegno e dreni

Muri di controripa in dx in c.a. da 4+680.00 a 4+844.40

Relazione tecnica e di calcolo

Opera	Tratto	Settore	CEE	WBS	Id.doc.	N. prog.	Rev.	Pag. di Pag.
L073	212	E	17	OS1100	REL	01	A	174 di 195

18	6,80	-3,5124	21,0055	-195,0488	234,0132
19	7,20	-1,0603	3,3636	-176,8864	24,3424

### COMBINAZIONE n° 3

Valore della spinta statica	388,5205	[kN]		
Componente orizzontale della spinta statica	356,7458	[kN]		
Componente verticale della spinta statica	153,8851	[kN]		
Punto d'applicazione della spinta	X = 3,90	[m]	Y = -4,17	[m]
Inclinaz. della spinta rispetto alla normale alla superficie	23,33	[°]		
Inclinazione linea di rottura in condizioni statiche	57,07	[°]		
Incremento sismico della spinta	356,9118	[kN]		
Punto d'applicazione dell'incremento sismico di spinta	X = 3,90	[m]	Y = -3,28	[m]
Inclinazione linea di rottura in condizioni sismiche	45,51	[°]		
Punto d'applicazione della spinta della falda	X = 3,90	[m]	Y = -7,80	[m]
Peso terrapieno gravante sulla fondazione a monte	555,6720	[kN]		
Baricentro terrapieno gravante sulla fondazione a monte	X = 2,01	[m]	Y = -2,93	[m]
Inerzia del muro	83,0817	[kN]		
Inerzia verticale del muro	41,5408	[kN]		
Inerzia del terrapieno fondazione di monte	136,3821	[kN]		
Inerzia verticale del terrapieno fondazione di monte	68,1911	[kN]		

### Risultanti

Risultante dei carichi applicati in dir. orizzontale	903,9318	[kN]
Risultante dei carichi applicati in dir. verticale	1299,1605	[kN]
Sforzo normale sul piano di posa della fondazione	1299,1605	[kN]
Sforzo tangenziale sul piano di posa della fondazione	903,9318	[kN]
Eccentricità rispetto al baricentro della fondazione	1,51	[m]
Lunghezza fondazione reagente	5,22	[m]
Risultante in fondazione	1582,6909	[kN]
Inclinazione della risultante (rispetto alla normale)	34,83	[°]
Momento rispetto al baricentro della fondazione	1962,6672	[kNm]

## 2.1.2 PEDEMONTANA DELLE MARCHE

**Secondo stralcio funzionale: Matelica Nord – Matelica Sud/Castelraimondo Nord**

Opere d'arte minori: Opere di sostegno e dreni

Muri di controripa in dx in c.a. da 4+680.00 a 4+844.40

Relazione tecnica e di calcolo

Opera L073	Tratto 212	Settore E	CEE 17	WBS OS1100	Id.doc. REL	N. prog. 01	Rev. A	Pag. di Pag. 175 di 195
---------------	---------------	--------------	-----------	---------------	----------------	----------------	-----------	-------------------------------

### Sollecitazioni paramento

#### Combinazione n° 3

L'ordinata Y (espressa in m) è considerata positiva verso il basso con origine in testa al muro

Momento positivo se tende le fibre contro terra (a monte), espresso in kNm

Sforzo normale positivo di compressione, espresso in kN

Taglio positivo se diretto da monte verso valle, espresso in kN

Nr.	Y	N	M	T
1	0,00	0,0000	0,0000	0,0000
2	0,33	4,1128	2,9816	18,6648
3	0,65	8,4833	12,0699	38,0032
4	0,98	13,1114	27,4782	58,0068
5	1,30	17,9971	49,4179	78,6734
6	1,63	23,1404	78,1003	100,0030
7	1,95	28,5413	113,7367	121,9956
8	2,27	34,1999	156,5385	144,6513
9	2,60	40,1161	206,7168	167,9700
10	2,93	46,2899	264,4829	191,9518
11	3,25	52,7214	330,0481	216,5965
12	3,58	59,4104	403,6238	241,9044
13	3,90	66,3571	485,4211	267,8752
14	4,23	73,5614	575,6514	294,5091
15	4,55	81,0234	674,5260	321,8060
16	4,88	88,7429	782,2561	349,7660
17	5,20	96,7201	899,0530	378,3890
18	5,53	104,9549	1025,1279	407,6750
19	5,85	113,4474	1160,6923	437,6241
20	6,17	122,1974	1305,9572	468,2362
21	6,50	131,2051	1461,1258	499,4154

## 2.1.2 PEDEMONTANA DELLE MARCHE

Secondo stralcio funzionale: Matelica Nord – Matelica Sud/Castelraimondo Nord

Opere d'arte minori: Opere di sostegno e dreni

Muri di controripa in dx in c.a. da 4+680.00 a 4+844.40

Relazione tecnica e di calcolo

Opera L073	Tratto 212	Settore E	CEE 17	WBS OS1100	Id.doc. REL	N. prog. 01	Rev. A	Pag. di Pag. 176 di 195
---------------	---------------	--------------	-----------	---------------	----------------	----------------	-----------	-------------------------------

### Inviluppo sollecitazioni piastra di fondazione

#### Combinazione n° 3

Dimensioni della piastra

Larghezza(m) = 7.20 Altezza(m) = 6.50

Origine all'attacco con il muro all'estremità sinistra del muro

Ascissa X positiva verso destra

Ordinata Y positiva dall'attacco con il muro verso l'estremo libero

I momenti negativi tendono le fibre superiori

#### Sollecitazioni in direzione Y

Nr.	Y	M <sub>ymin</sub>	M <sub>ymax</sub>	T <sub>ymin</sub>	T <sub>ymax</sub>
1	0,00	-1,1610	0,8061	-27,3795	61,8478
2	0,17	-6,5378	20,5226	-203,5855	163,3296
3	0,35	-44,7251	50,2738	-207,2301	290,1660
4	0,55	-60,1366	106,8479	0,0000	464,4184
5	0,75	0,0000	191,8129	0,0000	795,8552
6	0,95	0,0000	298,9381	0,0000	1344,9460
7	1,15	0,0000	462,1466	0,0000	1965,4119
8	1,45	0,0000	1060,8166	0,0000	1935,2017
9	2,60	-2149,1599	0,0000	-812,1869	0,0000
10	2,85	-1950,9452	0,0000	-772,7624	0,0000
11	3,05	-1856,9723	0,0000	-725,7893	0,0000
12	3,25	-1738,6028	0,0000	-730,8469	0,0000
13	3,45	-1595,3038	0,0000	-842,9046	0,0000
14	3,65	-1423,0930	0,0000	-1007,7500	0,0000
15	3,87	-1230,4132	0,0000	-884,8648	0,0000
16	4,09	-1064,9465	0,0000	-800,1612	0,0000
17	4,31	-905,2506	0,0000	-743,5203	0,0000
18	4,52	-752,7248	0,0000	-698,2604	0,0000
19	4,74	-613,6740	0,0000	-666,1795	0,0000
20	4,96	-482,3675	0,0000	-643,7890	0,0000
21	5,18	-357,0679	0,0000	-641,3521	0,0000
22	5,40	-248,5377	0,0000	-667,4561	0,0000
23	5,60	-166,3334	0,0000	-496,1187	0,0000
24	5,80	-100,0887	0,0000	-334,7505	0,0000
25	6,00	-51,1524	0,0000	-227,1820	0,0000
26	6,20	-19,2552	0,0000	-141,7768	17,9176
27	6,50	0,0000	2,3381	-35,4417	0,0000

#### Sollecitazioni in direzione X

Nr.	X	M <sub>xmin</sub>	M <sub>xmax</sub>	T <sub>xmin</sub>	T <sub>xmax</sub>
1	0,00	-2,2208	4,1850	-43,8378	314,5481
2	0,40	-1,6474	37,3293	-419,1616	347,4634
3	0,80	-111,7242	51,6890	-1000,2657	345,1192
4	1,20	-198,1913	79,9049	-363,7579	430,6348
5	1,60	-85,8229	40,9427	-267,7767	1088,8784
6	2,00	-24,1447	95,7494	-269,8169	500,2565
7	2,40	-39,1888	130,4198	-132,8756	140,9984
8	2,80	-27,2120	96,4978	-489,1899	259,4096
9	3,20	-82,5549	34,2231	-1020,2882	257,4039
10	3,60	-187,0130	68,6796	-351,4131	351,4131
11	4,00	-82,5549	34,2231	-257,4039	1020,2882
12	4,40	-27,2120	96,4978	-259,4096	489,1899
13	4,80	-39,1888	130,4198	-140,9984	132,8756
14	5,20	-24,1447	95,7494	-500,2565	269,8169
15	5,60	-85,8229	40,9427	-1088,8784	267,7767
16	6,00	-198,1913	79,9049	-430,6348	363,7579
17	6,40	-111,7242	51,6890	-345,1192	1000,2657



## 2.1.2 PEDEMONTANA DELLE MARCHE

Secondo stralcio funzionale: Matelica Nord – Matelica Sud/Castelraimondo Nord

Opere d'arte minori: Opere di sostegno e dreni

Muri di controripa in dx in c.a. da 4+680.00 a 4+844.40

Relazione tecnica e di calcolo

Opera	Tratto	Settore	CEE	WBS	Id.doc.	N. prog.	Rev.	Pag. di Pag.
L073	212	E	17	OS1100	REL	01	A	177 di 195

18	6,80	-1,6474	37,3293	-347,4634	419,1616
19	7,20	-2,2208	4,1850	-314,5481	43,8378

### COMBINAZIONE n° 4

Valore della spinta statica	388,5205	[kN]		
Componente orizzontale della spinta statica	356,7458	[kN]		
Componente verticale della spinta statica	153,8851	[kN]		
Punto d'applicazione della spinta	X = 3,90	[m]	Y = -4,17	[m]
Inclinaz. della spinta rispetto alla normale alla superficie	23,33	[°]		
Inclinazione linea di rottura in condizioni statiche	57,07	[°]		
Incremento sismico della spinta	289,9647	[kN]		
Punto d'applicazione dell'incremento sismico di spinta	X = 3,90	[m]	Y = -3,28	[m]
Inclinazione linea di rottura in condizioni sismiche	41,63	[°]		
Punto d'applicazione della spinta della falda	X = 3,90	[m]	Y = -7,80	[m]
Peso terrapieno gravante sulla fondazione a monte	555,6720	[kN]		
Baricentro terrapieno gravante sulla fondazione a monte	X = 2,01	[m]	Y = -2,93	[m]
Inerzia del muro	83,0817	[kN]		
Inerzia verticale del muro	-41,5408	[kN]		
Inerzia del terrapieno fondazione di monte	136,3821	[kN]		
Inerzia verticale del terrapieno fondazione di monte	-68,1911	[kN]		

### Risultanti

Risultante dei carichi applicati in dir. orizzontale	842,4599	[kN]
Risultante dei carichi applicati in dir. verticale	1053,1802	[kN]
Sforzo normale sul piano di posa della fondazione	1053,1802	[kN]
Sforzo tangenziale sul piano di posa della fondazione	842,4599	[kN]
Eccentricità rispetto al baricentro della fondazione	1,82	[m]
Lunghezza fondazione reagente	4,28	[m]
Risultante in fondazione	1348,6761	[kN]
Inclinazione della risultante (rispetto alla normale)	38,66	[°]
Momento rispetto al baricentro della fondazione	1920,7537	[kNm]

## 2.1.2 PEDEMONTANA DELLE MARCHE

**Secondo stralcio funzionale: Matelica Nord – Matelica Sud/Castelraimondo Nord**

Opere d'arte minori: Opere di sostegno e dreni

Muri di controripa in dx in c.a. da 4+680.00 a 4+844.40

Relazione tecnica e di calcolo

Opera L073	Tratto 212	Settore E	CEE 17	WBS OS1100	Id.doc. REL	N. prog. 01	Rev. A	Pag. di Pag. 178 di 195
---------------	---------------	--------------	-----------	---------------	----------------	----------------	-----------	-------------------------------

### Sollecitazioni paramento

#### Combinazione n° 4

L'ordinata Y (espressa in m) è considerata positiva verso il basso con origine in testa al muro

Momento positivo se tende le fibre contro terra (a monte), espresso in kNm

Sforzo normale positivo di compressione, espresso in kN

Taglio positivo se diretto da monte verso valle, espresso in kN

Nr.	Y	N	M	T
1	0,00	0,0000	0,0000	0,0000
2	0,33	4,1128	2,7250	17,0853
3	0,65	8,4833	11,0432	34,8442
4	0,98	13,1114	25,1681	53,2682
5	1,30	17,9971	45,3111	72,3553
6	1,63	23,1404	71,6835	92,1054
7	1,95	28,5413	104,4966	112,5185
8	2,27	34,1999	143,9616	133,5947
9	2,60	40,1161	190,2898	155,3339
10	2,93	46,2899	243,6925	177,7361
11	3,25	52,7214	304,3810	200,8014
12	3,58	59,4104	372,5666	224,5297
13	3,90	66,3571	448,4605	248,9210
14	4,23	73,5614	532,2740	273,9754
15	4,55	81,0234	624,2184	299,6928
16	4,88	88,7429	724,5051	326,0733
17	5,20	96,7201	833,3451	353,1168
18	5,53	104,9549	950,9500	380,8233
19	5,85	113,4474	1077,5308	409,1928
20	6,17	122,1974	1213,2990	438,2254
21	6,50	131,2051	1358,4574	467,8251

## 2.1.2 PEDEMONTANA DELLE MARCHE

Secondo stralcio funzionale: Matelica Nord – Matelica Sud/Castelraimondo Nord

Opere d'arte minori: Opere di sostegno e dreni

Muri di controripa in dx in c.a. da 4+680.00 a 4+844.40

Relazione tecnica e di calcolo

Opera L073	Tratto 212	Settore E	CEE 17	WBS OS1100	Id.doc. REL	N. prog. 01	Rev. A	Pag. di Pag. 179 di 195
---------------	---------------	--------------	-----------	---------------	----------------	----------------	-----------	-------------------------------

### Inviluppo sollecitazioni piastra di fondazione

#### Combinazione n° 4

Dimensioni della piastra

Larghezza(m) = 7.20 Altezza(m) = 6.50

Origine all'attacco con il muro all'estremità sinistra del muro

Ascissa X positiva verso destra

Ordinata Y positiva dall'attacco con il muro verso l'estremo libero

I momenti negativi tendono le fibre superiori

#### Sollecitazioni in direzione Y

Nr.	Y	M <sub>ymin</sub>	M <sub>ymax</sub>	T <sub>ymin</sub>	T <sub>ymax</sub>
1	0,00	-1,0386	0,7346	-24,8714	55,7060
2	0,17	-5,9343	18,4589	-184,2046	146,6821
3	0,35	-40,5053	45,1396	-187,8547	260,5136
4	0,55	-54,6823	95,8713	0,0000	416,9213
5	0,75	0,0000	172,0757	0,0000	714,9543
6	0,95	0,0000	268,1411	0,0000	1209,6064
7	1,15	0,0000	414,6551	0,0000	1768,4944
8	1,45	0,0000	953,2235	0,0000	1740,3587
9	2,60	-2345,1271	0,0000	-897,3641	0,0000
10	2,85	-2125,7521	0,0000	-857,5626	0,0000
11	3,05	-2004,8293	0,0000	-812,9997	0,0000
12	3,25	-1864,7036	0,0000	-810,6498	0,0000
13	3,45	-1705,6567	0,0000	-898,4985	0,0000
14	3,65	-1524,4803	0,0000	-1024,9830	0,0000
15	3,87	-1323,5291	0,0000	-916,5238	0,0000
16	4,09	-1146,4227	0,0000	-840,1944	0,0000
17	4,31	-975,8711	0,0000	-787,9076	0,0000
18	4,52	-816,1655	0,0000	-747,3727	0,0000
19	4,74	-666,5825	0,0000	-717,7972	0,0000
20	4,96	-524,7081	0,0000	-698,7267	0,0000
21	5,18	-388,5469	0,0000	-702,5403	0,0000
22	5,40	-269,4874	0,0000	-738,7205	0,0000
23	5,60	-180,2369	0,0000	-546,3667	0,0000
24	5,80	-108,3148	0,0000	-365,8996	0,0000
25	6,00	-55,2520	0,0000	-247,7846	0,0000
26	6,20	-20,7476	0,0000	-154,7925	23,8958
27	6,50	0,0000	2,4547	-40,1604	4,9633

#### Sollecitazioni in direzione X

Nr.	X	M <sub>xmin</sub>	M <sub>xmax</sub>	T <sub>xmin</sub>	T <sub>xmax</sub>
1	0,00	-1,9613	3,8154	-39,4813	283,7550
2	0,40	-1,5017	33,6794	-377,7676	313,3818
3	0,80	-100,7275	60,5372	-895,6670	311,0302
4	1,20	-178,6988	93,3146	-322,8122	382,0135
5	1,60	-77,3829	48,1872	-287,1673	976,6082
6	2,00	-27,3180	86,3338	-243,3858	450,8253
7	2,40	-44,8703	117,5947	-119,6105	126,9235
8	2,80	-31,1047	87,0084	-440,8507	234,0041
9	3,20	-74,4374	40,0350	-914,9723	269,1197
10	3,60	-168,6238	79,8973	-311,8700	311,8700
11	4,00	-74,4374	40,0350	-269,1197	914,9723
12	4,40	-31,1047	87,0084	-234,0041	440,8507
13	4,80	-44,8703	117,5947	-126,9235	119,6105
14	5,20	-27,3180	86,3338	-450,8253	243,3858
15	5,60	-77,3829	48,1872	-976,6082	287,1673
16	6,00	-178,6988	93,3146	-382,0135	322,8122
17	6,40	-100,7275	60,5372	-311,0302	895,6670

## 2.1.2 PEDEMONTANA DELLE MARCHE

**Secondo stralcio funzionale: Matelica Nord – Matelica Sud/Castelraimondo Nord**

Opere d'arte minori: Opere di sostegno e dreni

Muri di controripa in dx in c.a. da 4+680.00 a 4+844.40

Relazione tecnica e di calcolo

Opera	Tratto	Settore	CEE	WBS	Id.doc.	N. prog.	Rev.	Pag. di Pag.
L073	212	E	17	OS1100	REL	01	A	180 di 195

18	6,80	-1,5017	33,6794	-313,3818	377,7676
19	7,20	-1,9613	3,8154	-283,7550	39,4813

### COMBINAZIONE n° 5

#### Peso muro favorevole e Peso terrapieno favorevole

Valore della spinta statica	388,5205	[kN]		
Componente orizzontale della spinta statica	356,7458	[kN]		
Componente verticale della spinta statica	153,8851	[kN]		
Punto d'applicazione della spinta	X = 3,90	[m]	Y = -4,17	[m]
Inclinaz. della spinta rispetto alla normale alla superficie	23,33	[°]		
Inclinazione linea di rottura in condizioni statiche	57,07	[°]		
Incremento sismico della spinta	356,9118	[kN]		
Punto d'applicazione dell'incremento sismico di spinta	X = 3,90	[m]	Y = -3,28	[m]
Inclinazione linea di rottura in condizioni sismiche	45,51	[°]		
Punto d'applicazione della spinta della falda	X = 3,90	[m]	Y = -7,80	[m]
Peso terrapieno gravante sulla fondazione a monte	555,6720	[kN]		
Baricentro terrapieno gravante sulla fondazione a monte	X = 2,01	[m]	Y = -2,93	[m]
Inerzia del muro	83,0817	[kN]		
Inerzia verticale del muro	41,5408	[kN]		
Inerzia del terrapieno fondazione di monte	136,3821	[kN]		
Inerzia verticale del terrapieno fondazione di monte	68,1911	[kN]		

#### Risultanti

Risultante dei carichi applicati in dir. orizzontale	903,9318	[kN]
Risultante dei carichi applicati in dir. verticale	1299,1605	[kN]
Sforzo normale sul piano di posa della fondazione	1299,1605	[kN]
Sforzo tangenziale sul piano di posa della fondazione	903,9318	[kN]
Eccentricità rispetto al baricentro della fondazione	1,51	[m]
Lunghezza fondazione reagente	5,22	[m]
Risultante in fondazione	1582,6909	[kN]
Inclinazione della risultante (rispetto alla normale)	34,83	[°]
Momento rispetto al baricentro della fondazione	1962,6672	[kNm]

## 2.1.2 PEDEMONTANA DELLE MARCHE

**Secondo stralcio funzionale: Matelica Nord – Matelica Sud/Castelraimondo Nord**

Opere d'arte minori: Opere di sostegno e dreni

Muri di controripa in dx in c.a. da 4+680.00 a 4+844.40

Relazione tecnica e di calcolo

Opera L073	Tratto 212	Settore E	CEE 17	WBS OS1100	Id.doc. REL	N. prog. 01	Rev. A	Pag. di Pag. 181 di 195
---------------	---------------	--------------	-----------	---------------	----------------	----------------	-----------	-------------------------------

### Sollecitazioni paramento

#### Combinazione n° 5

L'ordinata Y (espressa in m) è considerata positiva verso il basso con origine in testa al muro

Momento positivo se tende le fibre contro terra (a monte), espresso in kNm

Sforzo normale positivo di compressione, espresso in kN

Taglio positivo se diretto da monte verso valle, espresso in kN

Nr.	Y	N	M	T
1	0,00	0,0000	0,0000	0,0000
2	0,33	4,1128	2,9816	18,6648
3	0,65	8,4833	12,0699	38,0032
4	0,98	13,1114	27,4782	58,0068
5	1,30	17,9971	49,4179	78,6734
6	1,63	23,1404	78,1003	100,0030
7	1,95	28,5413	113,7367	121,9956
8	2,27	34,1999	156,5385	144,6513
9	2,60	40,1161	206,7168	167,9700
10	2,93	46,2899	264,4829	191,9518
11	3,25	52,7214	330,0481	216,5965
12	3,58	59,4104	403,6238	241,9044
13	3,90	66,3571	485,4211	267,8752
14	4,23	73,5614	575,6514	294,5091
15	4,55	81,0234	674,5260	321,8060
16	4,88	88,7429	782,2561	349,7660
17	5,20	96,7201	899,0530	378,3890
18	5,53	104,9549	1025,1279	407,6750
19	5,85	113,4474	1160,6923	437,6241
20	6,17	122,1974	1305,9572	468,2362
21	6,50	131,2051	1461,1258	499,4154

## 2.1.2 PEDEMONTANA DELLE MARCHE

Secondo stralcio funzionale: Matelica Nord – Matelica Sud/Castelraimondo Nord

Opere d'arte minori: Opere di sostegno e dreni

Muri di controripa in dx in c.a. da 4+680.00 a 4+844.40

Relazione tecnica e di calcolo

Opera L073	Tratto 212	Settore E	CEE 17	WBS OS1100	Id.doc. REL	N. prog. 01	Rev. A	Pag. di Pag. 182 di 195
---------------	---------------	--------------	-----------	---------------	----------------	----------------	-----------	-------------------------------

### Inviluppo sollecitazioni piastra di fondazione

#### Combinazione n° 5

Dimensioni della piastra

Larghezza(m) = 7.20 Altezza(m) = 6.50

Origine all'attacco con il muro all'estremità sinistra del muro

Ascissa X positiva verso destra

Ordinata Y positiva dall'attacco con il muro verso l'estremo libero

I momenti negativi tendono le fibre superiori

#### Sollecitazioni in direzione Y

Nr.	Y	M <sub>ymin</sub>	M <sub>ymax</sub>	T <sub>ymin</sub>	T <sub>ymax</sub>
1	0,00	-1,1610	0,8061	-27,3795	61,8478
2	0,17	-6,5378	20,5226	-203,5855	163,3296
3	0,35	-44,7251	50,2738	-207,2301	290,1660
4	0,55	-60,1366	106,8479	0,0000	464,4184
5	0,75	0,0000	191,8129	0,0000	795,8552
6	0,95	0,0000	298,9381	0,0000	1344,9460
7	1,15	0,0000	462,1466	0,0000	1965,4119
8	1,45	0,0000	1060,8166	0,0000	1935,2017
9	2,60	-2149,1599	0,0000	-812,1869	0,0000
10	2,85	-1950,9452	0,0000	-772,7624	0,0000
11	3,05	-1856,9723	0,0000	-725,7893	0,0000
12	3,25	-1738,6028	0,0000	-730,8469	0,0000
13	3,45	-1595,3038	0,0000	-842,9046	0,0000
14	3,65	-1423,0930	0,0000	-1007,7500	0,0000
15	3,87	-1230,4132	0,0000	-884,8648	0,0000
16	4,09	-1064,9465	0,0000	-800,1612	0,0000
17	4,31	-905,2506	0,0000	-743,5203	0,0000
18	4,52	-752,7248	0,0000	-698,2604	0,0000
19	4,74	-613,6740	0,0000	-666,1795	0,0000
20	4,96	-482,3675	0,0000	-643,7890	0,0000
21	5,18	-357,0679	0,0000	-641,3521	0,0000
22	5,40	-248,5377	0,0000	-667,4561	0,0000
23	5,60	-166,3334	0,0000	-496,1187	0,0000
24	5,80	-100,0887	0,0000	-334,7505	0,0000
25	6,00	-51,1524	0,0000	-227,1820	0,0000
26	6,20	-19,2552	0,0000	-141,7768	17,9176
27	6,50	0,0000	2,3381	-35,4417	0,0000

#### Sollecitazioni in direzione X

Nr.	X	M <sub>xmin</sub>	M <sub>xmax</sub>	T <sub>xmin</sub>	T <sub>xmax</sub>
1	0,00	-2,2208	4,1850	-43,8378	314,5481
2	0,40	-1,6474	37,3293	-419,1616	347,4634
3	0,80	-111,7242	51,6890	-1000,2657	345,1192
4	1,20	-198,1913	79,9049	-363,7579	430,6348
5	1,60	-85,8229	40,9427	-267,7767	1088,8784
6	2,00	-24,1447	95,7494	-269,8169	500,2565
7	2,40	-39,1888	130,4198	-132,8756	140,9984
8	2,80	-27,2120	96,4978	-489,1899	259,4096
9	3,20	-82,5549	34,2231	-1020,2882	257,4039
10	3,60	-187,0130	68,6796	-351,4131	351,4131
11	4,00	-82,5549	34,2231	-257,4039	1020,2882
12	4,40	-27,2120	96,4978	-259,4096	489,1899
13	4,80	-39,1888	130,4198	-140,9984	132,8756
14	5,20	-24,1447	95,7494	-500,2565	269,8169
15	5,60	-85,8229	40,9427	-1088,8784	267,7767
16	6,00	-198,1913	79,9049	-430,6348	363,7579
17	6,40	-111,7242	51,6890	-345,1192	1000,2657

## 2.1.2 PEDEMONTANA DELLE MARCHE

Secondo stralcio funzionale: Matelica Nord – Matelica Sud/Castelraimondo Nord

Opere d'arte minori: Opere di sostegno e dreni

Muri di controripa in dx in c.a. da 4+680.00 a 4+844.40

Relazione tecnica e di calcolo

Opera	Tratto	Settore	CEE	WBS	Id.doc.	N. prog.	Rev.	Pag. di Pag.
L073	212	E	17	OS1100	REL	01	A	183 di 195

18	6,80	-1,6474	37,3293	-347,4634	419,1616
19	7,20	-2,2208	4,1850	-314,5481	43,8378

### COMBINAZIONE n° 6

Valore della spinta statica	388,5205	[kN]		
Componente orizzontale della spinta statica	356,7458	[kN]		
Componente verticale della spinta statica	153,8851	[kN]		
Punto d'applicazione della spinta	X = 3,90	[m]	Y = -4,17	[m]
Inclinaz. della spinta rispetto alla normale alla superficie	23,33	[°]		
Inclinazione linea di rottura in condizioni statiche	57,07	[°]		
Punto d'applicazione della spinta della falda	X = 3,90	[m]	Y = -7,80	[m]
Peso terrapieno gravante sulla fondazione a monte	555,6720	[kN]		
Baricentro terrapieno gravante sulla fondazione a monte	X = 2,01	[m]	Y = -2,93	[m]

### Risultanti

Risultante dei carichi applicati in dir. orizzontale	356,7458	[kN]
Risultante dei carichi applicati in dir. verticale	1048,0630	[kN]
Sforzo normale sul piano di posa della fondazione	1048,0630	[kN]
Sforzo tangenziale sul piano di posa della fondazione	356,7458	[kN]
Eccentricità rispetto al baricentro della fondazione	0,18	[m]
Lunghezza fondazione reagente	6,50	[m]
Risultante in fondazione	1107,1150	[kN]
Inclinazione della risultante (rispetto alla normale)	18,80	[°]
Momento rispetto al baricentro della fondazione	184,0727	[kNm]

## 2.1.2 PEDEMONTANA DELLE MARCHE

**Secondo stralcio funzionale: Matelica Nord – Matelica Sud/Castelraimondo Nord**

Opere d'arte minori: Opere di sostegno e dreni

Muri di controripa in dx in c.a. da 4+680.00 a 4+844.40

Relazione tecnica e di calcolo

Opera L073	Tratto 212	Settore E	CEE 17	WBS OS1100	Id.doc. REL	N. prog. 01	Rev. A	Pag. di Pag. 184 di 195
---------------	---------------	--------------	-----------	---------------	----------------	----------------	-----------	-------------------------------

### Sollecitazioni paramento

#### Combinazione n° 6

L'ordinata Y (espressa in m) è considerata positiva verso il basso con origine in testa al muro

Momento positivo se tende le fibre contro terra (a monte), espresso in kNm

Sforzo normale positivo di compressione, espresso in kN

Taglio positivo se diretto da monte verso valle, espresso in kN

Nr.	Y	N	M	T
1	0,00	0,0000	0,0000	0,0000
2	0,33	4,1128	0,7752	5,0762
3	0,65	8,4833	3,2304	10,7628
4	0,98	13,1114	7,5586	17,0512
5	1,30	17,9971	13,9505	23,9395
6	1,63	23,1404	22,5969	31,4276
7	1,95	28,5413	33,6885	39,5155
8	2,27	34,1999	47,4161	48,2031
9	2,60	40,1161	63,9703	57,4906
10	2,93	46,2899	83,5420	67,3779
11	3,25	52,7214	106,3219	77,8650
12	3,58	59,4104	132,5006	88,9519
13	3,90	66,3571	162,2689	100,6386
14	4,23	73,5614	195,8176	112,9251
15	4,55	81,0234	233,3373	125,8114
16	4,88	88,7429	275,0189	139,2975
17	5,20	96,7201	321,0529	153,3835
18	5,53	104,9549	371,6303	168,0692
19	5,85	113,4474	426,9416	183,3547
20	6,17	122,1974	487,1777	199,2401
21	6,50	131,2051	552,5208	215,6292



## 2.1.2 PEDEMONTANA DELLE MARCHE

Secondo stralcio funzionale: Matelica Nord – Matelica Sud/Castelraimondo Nord

Opere d'arte minori: Opere di sostegno e dreni

Muri di controripa in dx in c.a. da 4+680.00 a 4+844.40

Relazione tecnica e di calcolo

Opera L073	Tratto 212	Settore E	CEE 17	WBS OS1100	Id.doc. REL	N. prog. 01	Rev. A	Pag. di Pag. 185 di 195
---------------	---------------	--------------	-----------	---------------	----------------	----------------	-----------	-------------------------------

### Inviluppo sollecitazioni piastra di fondazione

#### Combinazione n° 6

Dimensioni della piastra

Larghezza(m) = 7.20 Altezza(m) = 6.50

Origine all'attacco con il muro all'estremità sinistra del muro

Ascissa X positiva verso destra

Ordinata Y positiva dall'attacco con il muro verso l'estremo libero

I momenti negativi tendono le fibre superiori

#### Sollecitazioni in direzione Y

Nr.	Y	M <sub>ymin</sub>	M <sub>ymax</sub>	T <sub>ymin</sub>	T <sub>ymax</sub>
1	0,00	-0,4794	0,4081	-13,3772	27,6206
2	0,17	-3,1757	9,0267	-95,6102	70,5849
3	0,35	-21,2187	21,6740	-99,3146	124,9808
4	0,55	-29,7538	45,7033	0,0000	199,8169
5	0,75	0,0000	81,8675	0,0000	345,1395
6	0,95	0,0000	127,3844	0,0000	591,0254
7	1,15	0,0000	197,5964	0,0000	868,4849
8	1,45	0,0000	461,4723	0,0000	849,8378
9	2,60	-706,4542	0,0000	-418,5809	98,2287
10	2,85	-585,6533	0,0000	-382,8947	128,5663
11	3,05	-550,2493	0,0000	-278,8184	0,0000
12	3,25	-516,6869	0,0000	-279,3148	0,0000
13	3,45	-463,6494	0,0000	-347,2753	0,0000
14	3,65	-388,2212	0,0000	-478,4878	0,0000
15	3,87	-305,3228	0,0000	-378,2621	0,0000
16	4,09	-246,6260	0,0000	-302,1863	0,0000
17	4,31	-193,9543	0,0000	-245,5014	0,0000
18	4,52	-148,5409	0,0000	-196,3312	0,0000
19	4,74	-111,2992	0,0000	-155,0692	0,0000
20	4,96	-82,1830	0,0000	-126,4894	0,0000
21	5,18	-60,2625	0,0000	-102,7359	0,0000
22	5,40	-48,2040	0,0000	-83,3745	14,6415
23	5,60	-46,3955	0,0000	-69,1991	0,0000
24	5,80	-38,5722	0,0000	-58,5132	0,0000
25	6,00	-27,5672	0,0000	-81,5382	0,0000
26	6,20	-11,1915	0,0000	-115,7845	0,0000
27	6,50	0,0000	1,5171	-26,5558	0,9096

#### Sollecitazioni in direzione X

Nr.	X	M <sub>xmin</sub>	M <sub>xmax</sub>	T <sub>xmin</sub>	T <sub>xmax</sub>
1	0,00	-0,7754	3,0222	-19,5460	143,1339
2	0,40	-6,0992	16,9975	-188,5372	157,6346
3	0,80	-50,4673	1,4757	-420,5003	155,2054
4	1,20	-89,6089	0,0000	-137,6058	162,6899
5	1,60	-38,8082	2,0848	-120,4805	465,4151
6	2,00	0,0000	43,3002	-122,6050	224,8566
7	2,40	0,0000	58,9780	-58,9267	62,5376
8	2,80	0,0000	43,6373	-219,8715	117,9109
9	3,20	-37,3365	2,1787	-435,5317	115,8203
10	3,60	-84,5762	0,0000	-133,0422	133,0422
11	4,00	-37,3365	2,1787	-115,8203	435,5317
12	4,40	0,0000	43,6373	-117,9109	219,8715
13	4,80	0,0000	58,9780	-62,5376	58,9267
14	5,20	0,0000	43,3002	-224,8566	122,6050
15	5,60	-38,8082	2,0848	-465,4151	120,4805
16	6,00	-89,6089	0,0000	-162,6899	137,6058
17	6,40	-50,4673	1,4757	-155,2054	420,5003

## 2.1.2 PEDEMONTANA DELLE MARCHE

Secondo stralcio funzionale: Matelica Nord – Matelica Sud/Castelraimondo Nord

Opere d'arte minori: Opere di sostegno e dreni

Muri di controripa in dx in c.a. da 4+680.00 a 4+844.40

Relazione tecnica e di calcolo

Opera	Tratto	Settore	CEE	WBS	Id.doc.	N. prog.	Rev.	Pag. di Pag.
L073	212	E	17	OS1100	REL	01	A	186 di 195

18	6,80	-6,0992	16,9975	-157,6346	188,5372
19	7,20	-0,7754	3,0222	-143,1339	19,5460

### COMBINAZIONE n° 7

Valore della spinta statica	409,1950	[kN]		
Componente orizzontale della spinta statica	375,7295	[kN]		
Componente verticale della spinta statica	162,0739	[kN]		
Punto d'applicazione della spinta	X = 3,90	[m]	Y = -4,29	[m]
Inclinaz. della spinta rispetto alla normale alla superficie	23,33	[°]		
Inclinazione linea di rottura in condizioni statiche	54,69	[°]		
Punto d'applicazione della spinta della falda	X = 3,90	[m]	Y = -7,80	[m]
Peso terrapieno gravante sulla fondazione a monte	555,6720	[kN]		
Baricentro terrapieno gravante sulla fondazione a monte	X = 2,01	[m]	Y = -2,93	[m]

### Risultanti

Risultante dei carichi applicati in dir. orizzontale	375,7295	[kN]
Risultante dei carichi applicati in dir. verticale	1056,2517	[kN]
Sforzo normale sul piano di posa della fondazione	1056,2517	[kN]
Sforzo tangenziale sul piano di posa della fondazione	375,7295	[kN]
Eccentricità rispetto al baricentro della fondazione	0,17	[m]
Lunghezza fondazione reagente	6,50	[m]
Risultante in fondazione	1121,0889	[kN]
Inclinazione della risultante (rispetto alla normale)	19,58	[°]
Momento rispetto al baricentro della fondazione	182,7185	[kNm]

## 2.1.2 PEDEMONTANA DELLE MARCHE

**Secondo stralcio funzionale: Matelica Nord – Matelica Sud/Castelraimondo Nord**

Opere d'arte minori: Opere di sostegno e dreni

Muri di controripa in dx in c.a. da 4+680.00 a 4+844.40

Relazione tecnica e di calcolo

Opera L073	Tratto 212	Settore E	CEE 17	WBS OS1100	Id.doc. REL	N. prog. 01	Rev. A	Pag. di Pag. 187 di 195
---------------	---------------	--------------	-----------	---------------	----------------	----------------	-----------	-------------------------------

### Sollecitazioni paramento

#### Combinazione n° 7

L'ordinata Y (espressa in m) è considerata positiva verso il basso con origine in testa al muro

Momento positivo se tende le fibre contro terra (a monte), espresso in kNm

Sforzo normale positivo di compressione, espresso in kN

Taglio positivo se diretto da monte verso valle, espresso in kN

Nr.	Y	N	M	T
1	0,00	0,0000	0,0000	0,0000
2	0,33	4,1128	0,7752	5,0762
3	0,65	8,4833	3,2304	10,7628
4	0,98	13,1114	7,5586	17,0512
5	1,30	17,9971	13,9505	23,9395
6	1,63	23,1404	22,5969	31,4276
7	1,95	28,5413	33,6885	39,5155
8	2,27	34,1999	47,4161	48,2031
9	2,60	40,1161	63,9703	57,4906
10	2,93	46,2899	83,5420	67,3779
11	3,25	52,7214	106,3219	77,8650
12	3,58	59,4104	132,5006	88,9519
13	3,90	66,3571	162,2689	100,6386
14	4,23	73,5614	195,8176	112,9251
15	4,55	81,0234	233,3373	125,8114
16	4,88	88,7429	275,0189	139,2975
17	5,20	96,7201	321,0529	153,3835
18	5,53	104,9549	371,6303	168,0692
19	5,85	113,4474	426,9416	183,3547
20	6,17	122,1974	487,1777	199,2401
21	6,50	131,2051	552,5208	215,6292

## 2.1.2 PEDEMONTANA DELLE MARCHE

Secondo stralcio funzionale: Matelica Nord – Matelica Sud/Castelraimondo Nord

Opere d'arte minori: Opere di sostegno e dreni

Muri di controripa in dx in c.a. da 4+680.00 a 4+844.40

Relazione tecnica e di calcolo

Opera L073	Tratto 212	Settore E	CEE 17	WBS OS1100	Id.doc. REL	N. prog. 01	Rev. A	Pag. di Pag. 188 di 195
---------------	---------------	--------------	-----------	---------------	----------------	----------------	-----------	-------------------------------

### Inviluppo sollecitazioni piastra di fondazione

#### Combinazione n° 7

Dimensioni della piastra

Larghezza(m) = 7.20 Altezza(m) = 6.50

Origine all'attacco con il muro all'estremità sinistra del muro

Ascissa X positiva verso destra

Ordinata Y positiva dall'attacco con il muro verso l'estremo libero

I momenti negativi tendono le fibre superiori

#### Sollecitazioni in direzione Y

Nr.	Y	M <sub>ymin</sub>	M <sub>ymax</sub>	T <sub>ymin</sub>	T <sub>ymax</sub>
1	0,00	-0,4901	0,4143	-13,5983	28,1590
2	0,17	-3,2285	9,2073	-97,3076	72,0428
3	0,35	-21,5882	22,1235	-101,0100	127,5770
4	0,55	-30,2312	46,6642	0,0000	203,9760
5	0,75	0,0000	83,5953	0,0000	352,2249
6	0,95	0,0000	130,0804	0,0000	602,8740
7	1,15	0,0000	201,7539	0,0000	885,7235
8	1,45	0,0000	470,8911	0,0000	866,8944
9	2,60	-719,8345	0,0000	-421,6477	98,2210
10	2,85	-598,2346	0,0000	-385,9384	128,5323
11	3,05	-562,6658	0,0000	-281,9732	0,0000
12	3,25	-528,5750	0,0000	-282,8413	0,0000
13	3,45	-474,8085	0,0000	-351,8595	0,0000
14	3,65	-398,4243	0,0000	-484,3636	0,0000
15	3,87	-314,3917	0,0000	-383,6205	0,0000
16	4,09	-254,6631	0,0000	-307,2786	0,0000
17	4,31	-200,9455	0,0000	-250,5000	0,0000
18	4,52	-154,4738	0,0000	-201,3173	0,0000
19	4,74	-116,1731	0,0000	-159,5007	0,0000
20	4,96	-86,0094	0,0000	-130,7218	0,0000
21	5,18	-63,0848	0,0000	-106,6058	0,0000
22	5,40	-49,9411	0,0000	-86,7335	0,9204
23	5,60	-47,1642	0,0000	-71,9752	0,0000
24	5,80	-38,7395	0,0000	-60,5833	0,0000
25	6,00	-27,4248	0,0000	-82,6013	0,0000
26	6,20	-11,0942	0,0000	-114,4296	0,0000
27	6,50	0,0000	1,5126	-26,0229	0,8197

#### Sollecitazioni in direzione X

Nr.	X	M <sub>xmin</sub>	M <sub>xmax</sub>	T <sub>xmin</sub>	T <sub>xmax</sub>
1	0,00	-0,7981	3,0068	-19,9287	145,8230
2	0,40	-5,9982	17,3170	-192,1631	160,6170
3	0,80	-51,4299	1,4964	-429,5131	158,1907
4	1,20	-91,3153	0,0000	-141,0931	166,8023
5	1,60	-39,5470	2,1066	-122,7961	475,1462
6	2,00	0,0000	44,1245	-124,9176	229,1863
7	2,40	0,0000	60,1007	-60,0910	63,7728
8	2,80	0,0000	44,4680	-224,1057	120,1337
9	3,20	-38,0471	2,1975	-444,6557	118,0462
10	3,60	-86,1860	0,0000	-136,4084	136,4084
11	4,00	-38,0471	2,1975	-118,0462	444,6557
12	4,40	0,0000	44,4680	-120,1337	224,1057
13	4,80	0,0000	60,1007	-63,7728	60,0910
14	5,20	0,0000	44,1245	-229,1863	124,9176
15	5,60	-39,5470	2,1066	-475,1462	122,7961
16	6,00	-91,3153	0,0000	-166,8023	141,0931
17	6,40	-51,4299	1,4964	-158,1907	429,5131

## 2.1.2 PEDEMONTANA DELLE MARCHE

Secondo stralcio funzionale: Matelica Nord – Matelica Sud/Castelraimondo Nord

Opere d'arte minori: Opere di sostegno e dreni

Muri di controripa in dx in c.a. da 4+680.00 a 4+844.40

Relazione tecnica e di calcolo

Opera	Tratto	Settore	CEE	WBS	Id.doc.	N. prog.	Rev.	Pag. di Pag.
L073	212	E	17	OS1100	REL	01	A	189 di 195

18	6,80	-5,9982	17,3170	-160,6170	192,1631
19	7,20	-0,7981	3,0068	-145,8230	19,9287

### COMBINAZIONE n° 8

Valore della spinta statica	417,3159	[kN]		
Componente orizzontale della spinta statica	383,1862	[kN]		
Componente verticale della spinta statica	165,2904	[kN]		
Punto d'applicazione della spinta	X = 3,90	[m]	Y = -4,32	[m]
Inclinaz. della spinta rispetto alla normale alla superficie	23,33	[°]		
Inclinazione linea di rottura in condizioni statiche	54,19	[°]		
Punto d'applicazione della spinta della falda	X = 3,90	[m]	Y = -7,80	[m]
Peso terrapieno gravante sulla fondazione a monte	555,6720	[kN]		
Baricentro terrapieno gravante sulla fondazione a monte	X = 2,01	[m]	Y = -2,93	[m]

### Risultanti

Risultante dei carichi applicati in dir. orizzontale	383,1862	[kN]
Risultante dei carichi applicati in dir. verticale	1059,4683	[kN]
Sforzo normale sul piano di posa della fondazione	1059,4683	[kN]
Sforzo tangenziale sul piano di posa della fondazione	383,1862	[kN]
Eccentricità rispetto al baricentro della fondazione	0,17	[m]
Lunghezza fondazione reagente	6,50	[m]
Risultante in fondazione	1126,6342	[kN]
Inclinazione della risultante (rispetto alla normale)	19,88	[°]
Momento rispetto al baricentro della fondazione	184,9417	[kNm]

## 2.1.2 PEDEMONTANA DELLE MARCHE

**Secondo stralcio funzionale: Matelica Nord – Matelica Sud/Castelraimondo Nord**

Opere d'arte minori: Opere di sostegno e dreni

Muri di controripa in dx in c.a. da 4+680.00 a 4+844.40

Relazione tecnica e di calcolo

Opera L073	Tratto 212	Settore E	CEE 17	WBS OS1100	Id.doc. REL	N. prog. 01	Rev. A	Pag. di Pag. 190 di 195
---------------	---------------	--------------	-----------	---------------	----------------	----------------	-----------	-------------------------------

### Sollecitazioni paramento

#### Combinazione n° 8

L'ordinata Y (espressa in m) è considerata positiva verso il basso con origine in testa al muro

Momento positivo se tende le fibre contro terra (a monte), espresso in kNm

Sforzo normale positivo di compressione, espresso in kN

Taglio positivo se diretto da monte verso valle, espresso in kN

Nr.	Y	N	M	T
1	0,00	0,0000	0,0000	0,0000
2	0,33	4,1128	0,7752	5,0762
3	0,65	8,4833	3,2304	10,7628
4	0,98	13,1114	7,5586	17,0512
5	1,30	17,9971	13,9505	23,9395
6	1,63	23,1404	22,5969	31,4276
7	1,95	28,5413	33,6885	39,5155
8	2,27	34,1999	47,4161	48,2031
9	2,60	40,1161	63,9703	57,4906
10	2,93	46,2899	83,5420	67,3779
11	3,25	52,7214	106,3219	77,8650
12	3,58	59,4104	132,5006	88,9519
13	3,90	66,3571	162,2689	100,6386
14	4,23	73,5614	195,8176	112,9251
15	4,55	81,0234	233,3373	125,8114
16	4,88	88,7429	275,0189	139,2975
17	5,20	96,7201	321,0529	153,3835
18	5,53	104,9549	371,6303	168,0692
19	5,85	113,4474	426,9416	183,3547
20	6,17	122,1974	487,1777	199,2401
21	6,50	131,2051	552,5208	215,6292

## 2.1.2 PEDEMONTANA DELLE MARCHE

Secondo stralcio funzionale: Matelica Nord – Matelica Sud/Castelraimondo Nord

Opere d'arte minori: Opere di sostegno e dreni

Muri di controripa in dx in c.a. da 4+680.00 a 4+844.40

Relazione tecnica e di calcolo

Opera L073	Tratto 212	Settore E	CEE 17	WBS OS1100	Id.doc. REL	N. prog. 01	Rev. A	Pag. di Pag. 191 di 195
---------------	---------------	--------------	-----------	---------------	----------------	----------------	-----------	-------------------------------

### Inviluppo sollecitazioni piastra di fondazione

#### Combinazione n° 8

Dimensioni della piastra

Larghezza(m) = 7.20 Altezza(m) = 6.50

Origine all'attacco con il muro all'estremità sinistra del muro

Ascissa X positiva verso destra

Ordinata Y positiva dall'attacco con il muro verso l'estremo libero

I momenti negativi tendono le fibre superiori

#### Sollecitazioni in direzione Y

Nr.	Y	M <sub>ymin</sub>	M <sub>ymax</sub>	T <sub>ymin</sub>	T <sub>ymax</sub>
1	0,00	-0,4949	0,4171	-13,6967	28,3985
2	0,17	-3,2520	9,2877	-98,0626	72,6912
3	0,35	-21,7525	22,3234	-101,7641	128,7318
4	0,55	-30,4436	47,0916	0,0000	205,8259
5	0,75	0,0000	84,3638	0,0000	355,3763
6	0,95	0,0000	131,2796	0,0000	608,1442
7	1,15	0,0000	203,6031	0,0000	893,3911
8	1,45	0,0000	475,0805	0,0000	874,4811
9	2,60	-726,7118	0,0000	-423,2991	97,6995
10	2,85	-604,7014	0,0000	-387,5735	127,9669
11	3,05	-568,9933	0,0000	-283,7148	0,0000
12	3,25	-534,5902	0,0000	-284,7392	0,0000
13	3,45	-480,4330	0,0000	-354,2213	0,0000
14	3,65	-403,5689	0,0000	-487,2193	0,0000
15	3,87	-318,9743	0,0000	-386,2605	0,0000
16	4,09	-258,7220	0,0000	-309,8173	0,0000
17	4,31	-204,4753	0,0000	-253,0067	0,0000
18	4,52	-157,4694	0,0000	-203,8257	0,0000
19	4,74	-118,6342	0,0000	-161,7442	0,0000
20	4,96	-87,9418	0,0000	-132,8623	0,0000
21	5,18	-64,5101	0,0000	-108,5605	0,0000
22	5,40	-50,8196	0,0000	-88,4285	2,1986
23	5,60	-47,5529	0,0000	-73,3744	0,0000
24	5,80	-38,8241	0,0000	-61,6258	0,0000
25	6,00	-27,3527	0,0000	-83,1168	0,0000
26	6,20	-11,0450	0,0000	-113,7395	0,0000
27	6,50	0,0000	1,5103	-25,7518	0,7740

#### Sollecitazioni in direzione X

Nr.	X	M <sub>xmin</sub>	M <sub>xmax</sub>	T <sub>xmin</sub>	T <sub>xmax</sub>
1	0,00	-0,8082	2,9990	-20,0989	147,0192
2	0,40	-5,9440	17,4592	-193,7758	161,9436
3	0,80	-51,8581	1,5053	-433,5239	159,5186
4	1,20	-92,0743	0,0000	-142,6455	168,6335
5	1,60	-39,8756	2,1157	-123,8261	479,4759
6	2,00	0,0000	44,4911	-125,9463	231,1121
7	2,40	0,0000	60,6001	-60,6088	64,3222
8	2,80	0,0000	44,8375	-225,9890	121,1225
9	3,20	-38,3632	2,2051	-448,7154	119,0362
10	3,60	-86,9020	0,0000	-137,9070	137,9070
11	4,00	-38,3632	2,2051	-119,0362	448,7154
12	4,40	0,0000	44,8375	-121,1225	225,9890
13	4,80	0,0000	60,6001	-64,3222	60,6088
14	5,20	0,0000	44,4911	-231,1121	125,9463
15	5,60	-39,8756	2,1157	-479,4759	123,8261
16	6,00	-92,0743	0,0000	-168,6335	142,6455
17	6,40	-51,8581	1,5053	-159,5186	433,5239



## 2.1.2 PEDEMONTANA DELLE MARCHE

**Secondo stralcio funzionale: Matelica Nord – Matelica Sud/Castelraimondo Nord**

Opere d'arte minori: Opere di sostegno e dreni

Muri di controripa in dx in c.a. da 4+680.00 a 4+844.40

Relazione tecnica e di calcolo

Opera L073	Tratto 212	Settore E	CEE 17	WBS OS1100	Id.doc. REL	N. prog. 01	Rev. A	Pag. di Pag. 192 di 195
---------------	---------------	--------------	-----------	---------------	----------------	----------------	-----------	-------------------------------

18	6,80	-5,9440	17,4592	-161,9436	193,7758
19	7,20	-0,8082	2,9990	-147,0192	20,0989



## 2.1.2 PEDEMONTANA DELLE MARCHE

Secondo stralcio funzionale: Matelica Nord – Matelica Sud/Castelraimondo Nord

Opere d'arte minori: Opere di sostegno e dreni

Muri di controripa in dx in c.a. da 4+680.00 a 4+844.40

Relazione tecnica e di calcolo

Opera L073	Tratto 212	Settore E	CEE 17	WBS OS1100	Id.doc. REL	N. prog. 01	Rev. A	Pag. di Pag. 193 di 195
---------------	---------------	--------------	-----------	---------------	----------------	----------------	-----------	-------------------------------

### Inviluppo Sollecitazioni paramento

L'ordinata Y (espressa in [m]) è considerata positiva verso il basso con origine in testa al muro

Momento positivo se tende le fibre contro terra (a monte), espresso in [kNm]

Sforzo normale positivo di compressione, espresso in [kN]

Taglio positivo se diretto da monte verso valle, espresso in [kN]

#### Inviluppo combinazioni SLU

Nr.	Y	Nmin	Nmax	Mmin	Mmax	Tmin	Tmax
1	0,00	0,0000	0,0000	0,0000	0,0000	0,0000	0,0000
2	0,33	4,1128	4,1128	1,0177	2,9816	6,5990	18,6648
3	0,65	8,4833	8,4833	4,2401	12,0699	13,9916	38,0032
4	0,98	13,1114	13,1114	9,9193	27,4782	22,1666	58,0068
5	1,30	17,9971	17,9971	18,3047	49,4179	31,1214	78,6734
6	1,63	23,1404	23,1404	29,6453	78,1003	40,8558	100,0030
7	1,95	28,5413	28,5413	44,1905	113,7367	51,3701	121,9956
8	2,27	34,1999	34,1999	62,1895	156,5385	62,6641	144,6513
9	2,60	40,1161	40,1161	83,8915	206,7168	74,7378	167,9700
10	2,93	46,2899	46,2899	109,5457	264,4829	87,5913	191,9518
11	3,25	52,7214	52,7214	139,4012	330,0481	101,2245	216,5965
12	3,58	59,4104	59,4104	173,7074	403,6238	115,6375	241,9044
13	3,90	66,3571	66,3571	212,7134	485,4211	130,8302	267,8752
14	4,23	73,5614	73,5614	256,6684	575,6514	146,8027	294,5091
15	4,55	81,0234	81,0234	305,8217	674,5260	163,5549	321,8060
16	4,88	88,7429	88,7429	360,4224	782,2561	181,0868	349,7660
17	5,20	96,7201	96,7201	420,7198	899,0530	199,3985	378,3890
18	5,53	104,9549	104,9549	486,9631	1025,1279	218,4900	407,6750
19	5,85	113,4474	113,4474	559,4015	1160,6923	238,3612	437,6241
20	6,17	122,1974	122,1974	638,2841	1305,9572	259,0121	468,2362
21	6,50	131,2051	131,2051	723,8495	1461,1258	280,3180	499,4154

#### Inviluppo combinazioni SLE

Nr.	Y	Nmin	Nmax	Mmin	Mmax	Tmin	Tmax
1	0,00	0,0000	0,0000	0,0000	0,0000	0,0000	0,0000
2	0,33	4,1128	4,1128	0,7752	0,7752	5,0762	5,0762
3	0,65	8,4833	8,4833	3,2304	3,2304	10,7628	10,7628
4	0,98	13,1114	13,1114	7,5586	7,5586	17,0512	17,0512
5	1,30	17,9971	17,9971	13,9505	13,9505	23,9395	23,9395
6	1,63	23,1404	23,1404	22,5969	22,5969	31,4276	31,4276
7	1,95	28,5413	28,5413	33,6885	33,6885	39,5155	39,5155
8	2,27	34,1999	34,1999	47,4161	47,4161	48,2031	48,2031
9	2,60	40,1161	40,1161	63,9703	63,9703	57,4906	57,4906
10	2,93	46,2899	46,2899	83,5420	83,5420	67,3779	67,3779
11	3,25	52,7214	52,7214	106,3219	106,3219	77,8650	77,8650
12	3,58	59,4104	59,4104	132,5006	132,5006	88,9519	88,9519
13	3,90	66,3571	66,3571	162,2689	162,2689	100,6386	100,6386
14	4,23	73,5614	73,5614	195,8176	195,8176	112,9251	112,9251
15	4,55	81,0234	81,0234	233,3373	233,3373	125,8114	125,8114
16	4,88	88,7429	88,7429	275,0189	275,0189	139,2975	139,2975
17	5,20	96,7201	96,7201	321,0529	321,0529	153,3835	153,3835
18	5,53	104,9549	104,9549	371,6303	371,6303	168,0692	168,0692
19	5,85	113,4474	113,4474	426,9416	426,9416	183,3547	183,3547
20	6,17	122,1974	122,1974	487,1777	487,1777	199,2401	199,2401
21	6,50	131,2051	131,2051	552,5208	552,5208	215,6292	215,6292

**2.1.2 PEDEMONTANA DELLE MARCHE****Secondo stralcio funzionale: Matelica Nord – Matelica Sud/Castelraimondo Nord**

Opere d'arte minori: Opere di sostegno e dreni

Muri di controripa in dx in c.a. da 4+680.00 a 4+844.40

Relazione tecnica e di calcolo

Opera L073	Tratto 212	Settore E	CEE 17	WBS OS1100	Id.doc. REL	N. prog. 01	Rev. A	Pag. di Pag. 194 di 195
---------------	---------------	--------------	-----------	---------------	----------------	----------------	-----------	-------------------------------

**Dichiarazioni secondo N.T.C. 2008 (punto 10.2)****Analisi e verifiche svolte con l'ausilio di codici di calcolo**

Il sottoscritto, in qualità di calcolatore delle opere in progetto, dichiara quanto segue.

**Tipo di analisi svolta**

L'analisi strutturale e le verifiche sono condotte con l'ausilio di un codice di calcolo automatico. La verifica della sicurezza degli elementi strutturali è stata valutata con i metodi della scienza delle costruzioni.

Il calcolo dei muri di sostegno viene eseguito secondo le seguenti fasi:

- Calcolo della spinta del terreno
- Verifica a ribaltamento
- Verifica a scorrimento del muro sul piano di posa
- Verifica della stabilità complesso fondazione terreno (carico limite)
- Verifica della stabilità globale
- Calcolo delle sollecitazioni sia del muro che della fondazione, progetto delle armature e relative verifiche dei materiali.
- Calcolo della portanza assiale e trasversale dei pali. Progetto e verifica delle armature dei pali inseriti.

L'analisi strutturale sotto le azioni sismiche è condotta con il metodo dell'analisi statica equivalente secondo le disposizioni del capitolo 7 del DM 14/01/2008.

La verifica delle sezioni degli elementi strutturali è eseguita con il metodo degli Stati Limite. Le combinazioni di carico adottate sono esaustive relativamente agli scenari di carico più gravosi cui l'opera sarà soggetta.

**Origine e caratteristiche dei codici di calcolo**

Titolo	MAX - Analisi e Calcolo Muri di Sostegno
Versione	10.10
Produttore	Aztec Informatica srl, Casole Bruzio (CS)
Utente	PROGIN S.P.A.
Licenza	AIU01054U

**Affidabilità dei codici di calcolo**

Un attento esame preliminare della documentazione a corredo del software ha consentito di valutarne l'affidabilità. La documentazione fornita dal produttore del software contiene un'esauriente descrizione delle basi teoriche, degli algoritmi impiegati e l'individuazione dei campi d'impiego. La società produttrice Aztec Informatica srl ha verificato l'affidabilità e la robustezza del codice di calcolo attraverso un numero significativo di casi prova in cui i risultati dell'analisi numerica sono stati confrontati con soluzioni teoriche.

**Modalità di presentazione dei risultati**

La relazione di calcolo strutturale presenta i dati di calcolo tale da garantirne la leggibilità, la corretta interpretazione e la riproducibilità. La relazione di calcolo illustra in modo esaustivo i dati in ingresso ed i risultati delle analisi in forma tabellare.

**Informazioni generali sull'elaborazione**

Il software prevede una serie di controlli automatici che consentono l'individuazione di errori di modellazione, di non rispetto di limitazioni geometriche e di armatura e di presenza di elementi non verificati. Il codice di calcolo consente di visualizzare e controllare, sia in forma grafica che tabellare, i dati del modello strutturale, in modo da avere una visione consapevole del comportamento corretto del modello strutturale.

**Giudizio motivato di accettabilità dei risultati**

I risultati delle elaborazioni sono stati sottoposti a controlli dal sottoscritto utente del software. Tale valutazione ha compreso il confronto con i risultati di semplici calcoli, eseguiti con metodi tradizionali. Inoltre sulla base di considerazioni riguardanti gli stati tensionali e deformativi determinati, si è valutata la validità delle scelte operate in sede di schematizzazione e di modellazione della struttura e delle azioni.

In base a quanto sopra, io sottoscritto asserisco che l'elaborazione è corretta ed idonea al caso specifico, pertanto i risultati di calcolo sono da ritenersi validi ed accettabili.



## 2.1.2 PEDEMONTANA DELLE MARCHE

**Secondo stralcio funzionale: Matelica Nord – Matelica Sud/Castelraimondo Nord**

Opere d'arte minori: Opere di sostegno e dreni

Muri di controripa in dx in c.a. da 4+680.00 a 4+844.40

Relazione tecnica e di calcolo

Opera L073	Tratto 212	Settore E	CEE 17	WBS OS1100	Id.doc. REL	N. prog. 01	Rev. A	Pag. di Pag. 195 di 195
---------------	---------------	--------------	-----------	---------------	----------------	----------------	-----------	-------------------------------